

Научный журнал
«Вестник Уральского государственного
университета путей сообщения»
№ 3 (31), 2016 год

**Главный редактор,
научный редактор**
Василий Михайлович Сай

Литературный и выпускающий редактор
Людмила Станиславовна Барышникова

Техническое редактирование и верстка
Светлана Николаевна Наймушина

Дизайн обложки
Ольга Петровна Игнатьева

Учредитель и издатель:
Уральский государственный
университет путей сообщения
(УрГУПС)

Адрес для корреспонденции:
620034, Екатеринбург,
ул. Колмогорова, 66, УрГУПС,
редакция журнала
«Вестник УрГУПС»

Телефон редакции: (342) 221-25-60.
Веб-сайт: www.vestnik.usurt.ru;
e-mail: vestnik@usurt.ru.

Журнал издается по решению
ученого совета университета
©УрГУПС

«Вестник УрГУПС» включен ВАКом
в перечень периодических, научных
и научно-технических изданий,
выпускаемых в Российской Федерации,
в которых рекомендуется публикация
основных результатов диссертаций.

DOI:10.20291/2079-0392

Свидетельство о регистрации
средства массовой информации
Роскомнадзора ПИ № ФС77–38188
от 30 ноября 2009 г.

Подписной индекс журнала
в общероссийском
каталоге «Роспечать» — 70070

Отпечатано в издательстве
Уральского государственного
университета путей сообщения,
620034, Екатеринбург,
ул. Колмогорова, 66.

Подписано в печать 1.10.2016.

Тираж 300 экз. 1-й з-д: 1–80.
Формат 70×100/16.
Заказ 233

Scientific journal «Herald of the
Ural State University
of Railway Transport»
№ 3 (31), 2016

**Editor-in-chief,
Science editor**
Vasily M. Say

Script and copy editor
Lyudmila S. Baryshnikova

Technical editing and make-up
Svetlana N. Naymushina

Cover design
Olga P. Ignatjeva

Founder and publisher:
The Ural State University
of Railway Transport
(USURT)

Correspondence address:
«Herald of USURT» editorial office
The Ural State University of Railway Transport»
66 Kolmogorov Street,
620034, Ekaterinburg

Telephone: +7 (342) 221-25-60.
Web-site: www.vestnik.usurt.ru;
e-mail: vestnik@usurt.ru.

The journal is published by the decision of
University Academic Board
©USURT

DOI:10.20291/2079-0392

Certificate of registration of mass media
by the Federal Service for Supervision
in the sphere of communications,
information technology and mass communications
(Roskomnadzor) PI № FS77–38188
of November 30, 2009.

Subscription reference number of the issue
in the All Russia Catalogue «Rospechat» — 70070

Printed in the Publishing house
of the Ural State University of
Railway Transport
66 Kolmogorov Street,
620034, Ekaterinburg.

Passed for printing 1.10.2016.

Circulation 300. 1-й з-д: 1–80.
Format 70×100/16.
Order 233

МЕЖДУНАРОДНЫЙ РЕДАКЦИОННЫЙ СОВЕТ

Кейт Бурнхам, профессор, Университет г. Ковентри, факультет машиностроения и вычислительной техники, Великобритания

Петер Копачек, профессор, Венский технологический университет, Венский институт транспорта и робототехники, интеллектуальный транспорт и робототехника, Вена, Австрия

Владимир Цыганов, д-р техн. наук, профессор, Институт проблем управления Российской академии наук, Москва, Россия

Сергей Герман-Галкин, д-р техн. наук, профессор, Морская академия, Институт судовой автоматики и электротехники, Щецин, Польша

Клаус Беккер, профессор, Университет прикладных наук г. Кельна, Институт автомобильной техники, лаборатория NVH, Германия

Василий Сай, д-р техн. наук, профессор, Уральский государственный университет путей сообщения, Екатеринбург, Россия

РЕДКОЛЛЕГИЯ

Вовк Алексей Александрович, д-р экон. наук, профессор, МГУПС, Москва

Воскресенская Тамара Петровна, д-р техн. наук, профессор, СибГИУ, Новокузнецк

Воробьев Александр Алексеевич, д-р техн. наук, профессор, МГУПС, Москва

Корнилов Сергей Николаевич, д-р техн. наук, профессор, МГТУ, Магнитогорск

Нестеров Валерий Леонидович, д-р техн. наук, профессор, УрГУПС, Екатеринбург

Кузнецов Константин Борисович, д-р техн. наук, профессор, УрГУПС, Екатеринбург

Сапожников Валерий Владимирович, д-р техн. наук, профессор, ПГУПС, Санкт-Петербург

Сизый Сергей Викторович, д-р техн. наук, профессор, УрФУ, Екатеринбург

Щурин Константин Владимирович, д-р техн. наук, профессор, ОГУ, Оренбург

Тимофеева Галина Адольфовна, д-р физ.-мат. наук, профессор, УрГУПС, Екатеринбург

INTERNATIONAL EDITORIAL BOARD

Keith Burnham, professor, Coventry University, Faculty of Engineering and Computing, Great Britain

Peter Kopachek, professor, Vienna University of Technology, Vienna Institute of Transportation and Robotics, Intelligent Transportation and Robotics, Vienna, Austria

Vladimir Tsyganov, DSc, professor, Russian Academy of Sciences, Institute of Control Sciences, Moscow, Russia

Sergey German-Galkin, DSc, professor Maritime Academy, Institute of naval automation and electric engineering, Szczecin, Poland

Klaus Becker, professor, Cologne University of Applied Sciences, Institute of Automotive Engineering, NVH Laboratory, Germany

Vasily Say, DSc, professor, The Ural State University of Railway Transport, Ekaterinburg, Russia

EDITORIAL BOARD

Vovk Alexei Aleksandrovich, DSc, professor, Moscow State University of Railway Transport, Moscow

Voskresenskaya Tamara Petrovna, DSc, professor, Siberian State Industrial University, Novokuznetsk

Vorobjev Alexander Alexeevich, DSc, professor, Moscow State University of Railway Transport, Moscow

Kornilov Sergey Nikolaevich, DSc, professor, Magnitogorsk State Technical University, Magnitogorsk

Nesterov Valery Leonidovich, DSc, professor, The Ural State University of Railway Transport, Ekaterinburg

Kuznetsov Konstantin Borisovich, DSc, professor, The Ural State University of Railway Transport, Ekaterinburg

Sapozhnikov Valery Vladimirovich, DSc, professor, Petersburg State University of Railway Transport, Saint-Petersburg

Sizyi Sergey Viktorovich, D. Sc. in engineering, professor, Ural Federal University, Ekaterinburg

Shchurin Konstantin Vladimirovich, DSc, professor, Orenburg State University, Orenburg

Timofeeva Galina Adolfova, DSc, professor, The Ural State University of Railway Transport, Ekaterinburg

Содержание

Математические модели технологических процессов

- 4 В. В. Стружанов, А. В. Коркин. Об устойчивости процесса растяжения одной стержневой системы с разупрочняющимися элементами
- 18 К. В. Курмаева, С. С. Титов. Специальные ряды с кратными частотами для одномерных течений сжимаемого газа в обобщении теорем В. Е. Замыслова

Управление в технических системах

- 29 Х. Т. Туранов, А. А. Гордиенко, Я. А. Бугров. Результаты вычислений времени движения и скорости вагона на первом скоростном участке сортировочной горки при воздействии встречного ветра с учётом сопротивлений среды
- 39 В. Ф. Лапшин, А. В. Намятов, В. Н. Панкин. Обеспечение безопасности технологического специального железнодорожного подвижного состава в условиях термонагруженности

Организация и логистика

- 54 Д. С. Муравьев, А. Н. Рахмангулов. Оценка направлений развития систем «морской порт – сухой» порт» методом имитационного моделирования
- 73 А. В. Мартыненко, М. А. Журавская, Цяо Цун. Оценка времени транспортировки грузов в логистической цепи поставок
- 82 Д. А. Брусаянин. Экономико-математическая модель полигона транспортной инфраструктуры Тюменского железнодорожного узла для организации городских перевозок
- 98 В. С. Миронов, А. В. Петрушин. Рекомендации по укладке трассы новой железнодорожной линии в условиях высокой сейсмичности

Управление. Экономика

- 108 Н. И. Шаталова, Т. В. Окунева. Методика конструирования культуры организации
- 121 И. В. Воскресенский. Анализ стоимостных параметров организации автомобильных перевозок по кольцевым маршрутам

Безопасность деятельности человека

- 128 В. А. Корчагин, В. А. Антропов, С. А. Ляпин, Ю. Н. Ризаева. Экологические проблемы развития России
- 139 Ю. В. Дементьева. Корреляционный анализ влияния количественных факторных признаков на статистические показатели производственного травматизма (на примере хозяйства пути Куйбышевской железной дороги)

Строительные конструкции

- 148 С. М. Skorobogatov, A. V. Kurshpel. К расчету остаточного ресурса железобетонных конструкций существующих зданий и сооружений

Организация образовательного процесса

- 156 Я. В. Чуб. Формирование общепрофессиональных компетентностей студента средствами непрофильных учебных дисциплин в контексте будущей профессиональной деятельности

Аспирантская тетрадь

- 166 В. В. Беляев. Особенности продвижения и переработки вагонопотоков, обслуживающих углепогрузочные районы, в современных условиях

Contents

Mathematic models of technological processes

- 4 V. V. Struzhanov, A. V. Korkin. Regarding stretching process stability of one bar system with softening elements
- 18 K. V. Kurmaeva, S. S. Titov. Specific sequences with multiple frequencies for one-dimensional flows of compressible gas as generalization of v.e. Zamylov's theorems

Control in engineering systems

- 29 Kh. T. Turanov, A. A. Gordienko, Ya. A. Bugrov. Calculation results in respect of movement time and railcar speed at first speed section of hump under dead wind influence taking into account resistance of ambient environment
- 39 V. F. Lapshin, A. V. Namyatov, V. N. Pankin. Safety assurance for techlogical special-purpose railway rolling stock under conditions of thermal load

Organization and logistics

- 54 A. N. Rakhmangulov, D. S. Muraviev. Assessment of development options for sea port – «dry» port system using simulation method
- 73 A. V. Martynenko, M. A. Zhuravskaya, Cong Qiao. Assessment of cargo transportation time in logistics supply chain
- 82 D. A. Brusyanin. Economic and mathematical model of transport infrastructure operation ground of Tyumen railway junction for urban transportation arrangement
- 98 V. S. Mironov, A. V. Petrushin. Recommendations on laying new railway track under high seismic conditions

Management. Economics

- 108 N. I. Shatalova, T. V. Okuneva. Methods of corporate culture creation
- 121 I. V. Voskresenskiy. Analysis of cost parameters of automobile transportation arrangement on circular routes

Personal and social safety

- 128 V. A. Korchagin, V. A. Antropov, S. A. Lyapin, Yu. N. Rizaeva. Invironmental issues of development of Russia
- 139 Yu. V. Dementyeva. Correlation analysis of quantitative factor characteristic influence on statistic indicators of workplace injuries (using the Kuibyshev railway track facilities as an example)

Building structures

- 148 S. M. Skorobogatov, A. V. Kurshpel. On calculation of remaining life time of reinforced concrete structures of existing buildings and facilities

Study process organization

- 156 Ya. V. Chub. Forming of student's general professional competence using means of non-major subjects within context of future professional activity

Research of young scientists

- 166 V. V. Belyaev. Special aspects of forwarding and yard operations of railway cars servicing coal loading areas under modern conditions

Математические модели технологических процессов

УДК 539.3

В. В. Стружанов, А. В. Коркин

Об устойчивости процесса растяжения одной стержневой системы с разупрочняющимися элементами

UDC 539.3

V. V. Struzhanov, A. V. Korkin

Regarding stretching process stability of one bar system with softening elements

Аннотация

Изучение простых дискретных градиентных механических систем с разупрочняющимися элементами необходимо для того, чтобы установить связь между теорией и практикой и отточить физическую интуицию с целью перехода к решению более сложных задач. Исследована устойчивость процесса растяжения системы параллельных стержней, на которую нагрузка передается через абсолютно упругий параллелепипед. Стержни выполнены из разупрочняющихся материалов и способны нести нагрузку и на закритической (неустойчивой) стадии деформирования. Свойства стержней определяет полная диаграмма деформирования, обладающая восходящей и падающей до нуля ветвями. Показана идеология применения методов математической теории катастроф к решению задач об устойчивости деформирования механических систем с разупрочняющимися элементами. Рассмотрены мягкое и жесткое нагружения системы. Установлено, что начиная с некоторого

момента у системы появляется несколько положений равновесия как устойчивых, так и неустойчивых. Определены моменты потери устойчивости (катастрофы), когда система скачком переходит в новое устойчивое состояние. Выявлено стабилизирующее влияние включения в систему параллельных стержней идеально упругого стержня.

Ключевые слова: стержневая система, устойчивость, равновесие, катастрофа сборки, лагранжиан, матрица Гессе.

DOI:10.20291/2079-0392-2016-3-4-17

Abstract

It is necessary to study simple discrete gradient mechanical systems with softening elements in order to establish a connection between the theory and practice and to refine the physical intuition for the purposes of proceeding with solving more complicated problems. The authors have analyzed the stretching process stability in system of parallel bars, the load on which is applied through a completely flexible parallelepiped. The bars are

Валерий Владимирович Стружанов, д-р физ.-мат. наук, главный научный сотрудник Института машиноведения УрО РАН; профессор кафедры «Высшая и прикладная математика» Уральского государственного университета путей сообщения; Екатеринбург, Россия. E-mail: stru@imach.uran.ru.

Александр Владимирович Коркин, аспирант; Институт математики и компьютерных наук Уральского федерального университета; Екатеринбург, Россия. E-mail: alexkorkin@list.ru.

Valeriy Vladimirovich Struzhanov, DSc. (Physics and Mathematics), Chief Research Fellow of Institute of Engineering Science, the Ural Branch of Russian Academy of Sciences; Professor, Department of Higher and Applied Mathematics, Ural State University of Railway Transport; Ekaterinburg, Russia. E-mail: stru@imach.uran.ru.

Alexander Vladimirovich Korkin, Ph.D. student; Institute of Mathematics and Computer Sciences, Ural Federal University; Ekaterinburg, Russia. E-mail: alexkorkin@list.ru.

made of softening materials and are able to bear loads even at the postcritical (unsteady) deformation stage. The properties of the bars are defined by the complete diagram of deformations which has a rising branch and a branch descending to the zero. The article gives the platform for application of catastrophe mathematical theory methods to solve problems of deformational stability of mechanical systems with softening elements. The authors consider soft and rigid loading of the system. It was found that starting

from some point the system obtains several balance positions, both stable and unstable. The moments of loss of stability (catastrophe) were also detected when the system suddenly transits to a new stable position. It was detected that inclusion of a perfectly-elastic bar into the system of parallel bars will have a stabilizing effect.

Key words: bar system, stability, balance, assembly catastrophe, Lagrangian, Hessian matrix.

DOI:10.20291/2079-0392-2016-3-4-17

Введение

При деформировании механических систем часть их элементов может переходить на неустойчивую стадию – стадию деформационного разупрочнения, которая предшествует разрушению. Закритическое состояние (разупрочнение) неоднократно фиксировалось как в экспериментах [1–4], так и при исследовании различных моделей [5–8]. Классические методы расчета на прочность не учитывают возможность работы элементов конструкций на закритической стадии. Поэтому не возникает проблем, связанных с устойчивостью системы (за исключением случаев потери устойчивости при сжатии). Но при введении в рассмотрение разупрочняющихся элементов, входящих в механическую систему, устойчивость процесса деформирования приобретает особое значение, т.к. разрушение конструкций различных сооружений в общем случае представляет собой глобальное явление того же характера, как явление невозможности равновесия [9].

Исследование влияния разупрочнения на устойчивость процесса деформирования механических систем естественно начать с изучения простейших случаев. Тем самым простые механические системы становятся модельными примерами для общей теории, которые помогают установить связь между теорией и практикой и отточить физическую интуицию.

В данной работе проведено полное исследование устойчивости процесса растяжения в одномерной механической

системе пакета параллельных стержней, выполненных из разупрочняющегося материала. Показано влияние учета падающих ветвей диаграмм деформирования стержней, которые характеризуют их разупрочнение, на устойчивость процесса. Установлено, что начиная с некоторого момента система имеет несколько возможных положений равновесия. Определен момент потери устойчивости, когда система скачком переходит из одного положения равновесия в другое. Изучение устойчивости основано на существенном использовании аппарата теории катастроф (или теории особенностей дифференцируемых отображений) – области математики на стыке классического анализа и дифференциальной геометрии [10–14].

Устройство для растяжения пакета параллельных стержней

Механизм для растяжения стержней состоит из абсолютно жесткого неподвижного параллелепипеда I и упругого параллелепипеда II с жесткостью при растяжении, равной s . К элементам I и II шарнирами прикреплены параллельно друг к другу n стержней из нелинейного материала. Шарниры позволяют стержням перемещаться в вертикальном направлении, сохраняя параллельность. Кроме того, в пакет включен $(n + 1)$ -й абсолютно упругий стержень с жесткостью при растяжении, равной k . Растяжение осуществляется при поступательном перемещении параллелепипеда II под действием

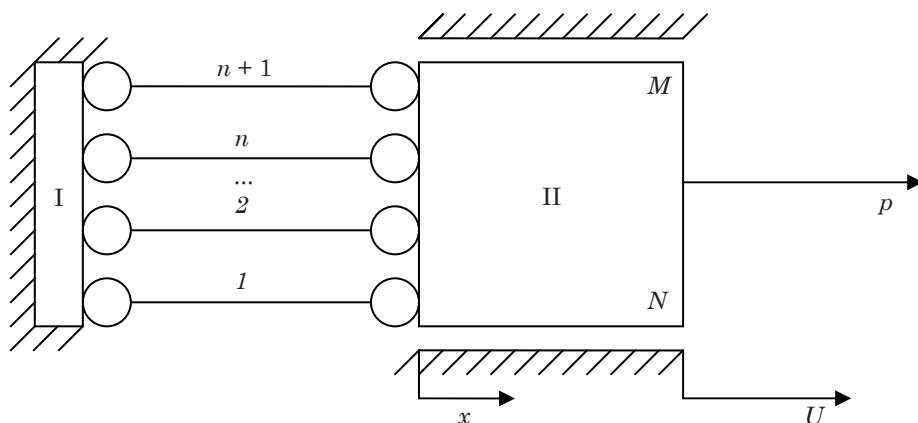


Рис. 1. Механическая система

равномерно распределенных по свободной поверхности MN сил равнодействующей p (мягкое нагружение) либо точкам плоскости MN задается одинаковое перемещение U (жесткое нагружение) (рис. 1).

Процесс происходит при неизменной температуре (изотермически). Нагрузки возрастают чрезвычайно медленно (квазистатически). При задании растягивающей силы p положение элементов системы определяют две обобщенные координаты U и x (x – удлинение стержней), а при задании перемещения U – одна обобщенная координата x . В первом случае естественно считать p параметром управления, а величины U и x – параметрами состояния. Во втором случае параметр управления U , а состояния – x .

Свойства стержня

Свойства отдельного стержня определяются в ходе его равновесного растяжения при постоянной температуре, когда удлинение x и растягивающая сила $q(x)$, приложенная к стержню, изменяются таким образом, чтобы кинетическая энергия частиц стержня была пренебрежительно мала вплоть до разрушения (разделения на фрагменты).

Удлинение x , вообще говоря, не ограничено. Поэтому работа внешней силы равна величине несобственного

интеграла $A = \int_0^{\infty} q(x) dx$. Данный инте-

грал должен сходиться, так как работа, затрачиваемая на разрушение образца, является величиной конечной. На рис. 2 показаны возможные варианты диаграмм деформирования (вид функции $q(x)$). Диаграмма на рис. 2, а характерна для относительно коротких стержней, выполненных из структурно неоднородных материалов. На рис. 2, б показана диаграмма деформирования стержня, у которого между фрагментами после разрушения, сохраняется некоторое взаимодействие, быстро (экспоненциально) убывающее при $x \rightarrow \infty$.

На рис. 2, в изображена диаграмма растяжения достаточно длинного стержня с локализацией деформаций. В этом случае части, расположенные вне зоны локализации, упруго разгружаются при неизменном перемещении торцов стержня, высвобождая энергию, идущую на развитие деформации и разрушение материала в зоне локализации. В результате происходит динамический разрыв. Поэтому для реализации равновесного растяжения необходимо с данного момента ($x = x_k$) уменьшать удлинение до некоторого значения $x = x_d$ с тем, чтобы рассеять излишнюю энергию. Затем удлинение снова увеличиваем и равновесно доламываем стержень. Наконец, диаграмма

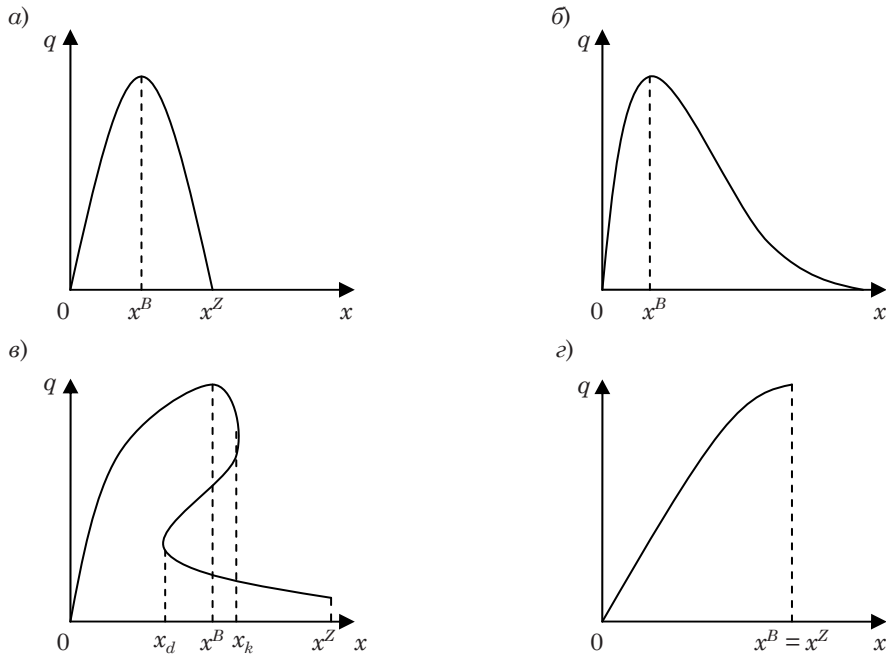


Рис. 2. Варианты диаграмм равновесного растяжения (x^B – удлинение, отвечающее максимальному значению силы, x^Z – удлинение разрушения)

на рис. 2, g относится к идеально однородным стержням (падающая ветвь вертикальна). Такие стержни взрывообразно разделяются на множество мельчайших фрагментов.

Если вычислять работу внешней силы, затрачиваемую на деформирование и разрушение стержня, как функ-

$$цию удлинения $A(x) = \Pi(x) = \int_0^x q(x)dx$,$$

где $\Pi(x)$ есть потенциал внешней силы, то получаем графики, изображенные на рис. 3, каждый из которых соответствует определенной диаграмме деформирования на рис. 2. Видно, что наличие падающей ветви на диаграмме растяжения стержня приводит к выпукловогнутому потенциалу Π .

Полное приращение работы растягивающей силы равно $\Delta\Pi = d\Pi + 0,5d^2\Pi + o(dx) = \Pi_{,x}dx + 0,5\Pi_{,xx}dxdx + o(dx)$. Ясно, что $\Pi_{,x} = q(x)$, $\Pi_{,xx} = \lambda^p(x)$ – касательная к кривой $q(x)$ (инкрементальный модуль). Здесь запятой обозначены производные по соответствующему

аргументу, $o(dx)$ – бесконечно малая высшего порядка. Если $d^2\Pi > 0$ и, следовательно, $\Delta\Pi > d\Pi$, то функция Π имеет выпуклость вниз. В этом случае сопротивление стержня растет вместе с ростом удлинения (упрочнение, $\lambda^p > 0$). Когда $d^2\Pi < 0$ и $\Delta\Pi < d\Pi$, то функция $\Pi(x)$ выпукла вверх. При росте удлинения сопротивление стержня падает (разупрочнение, $\lambda^p < 0$). Такое состояние, характеризуемое падающей ветвью диаграммы растяжения, можно определить как собственную (физическую) неустойчивость. Процесс растяжения в данном случае теряет устойчивость или сохраняет её в зависимости от внешних условий, например, при уменьшении растягивающей силы по определенному закону. Отметим, что при вертикальной падающей ветви ($\lambda^p = -\infty$) собственная неустойчивость является неустранимой. Наконец, равенство $d^2\Pi = 0$ означает, что разность $(\Delta\Pi - d\Pi)$ с точностью до бесконечно малой равна нулю. Эта точка перегиба функции Π , т.е. пограничное

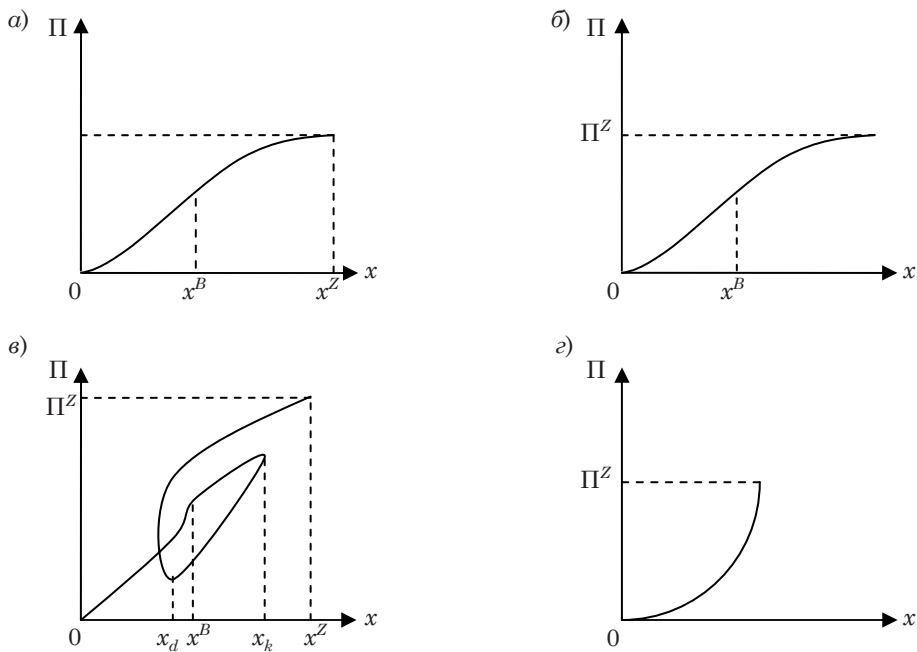


Рис. 3. Потенциалы внешней силы при равновесном растяжении различных стержней (Π^Z – работа разрушения)

состояние между упрочнением и разупрочнением.

В дальнейшем исследование поведения системы будем проводить для стержней, у которых потенциал внешней растягивающей силы изображен на рис. 3, а (или рис. 3, б).

Устойчивость процесса растяжения пакета параллельных стержней. Жесткое нагружение

Силы, действующие на систему, консервативны, так как при активной деформации стержней (без разгрузки) формально можно считать их нелинейно упругими [15]. При квазистатическом нагружении лагранжиан (функция Лагранжа), описывающий поведение данной консервативной системы, есть потенциальная энергия системы, которая равна

$$\begin{aligned} W^U &= \sum_{i=1}^n \Pi^i(x) + 0,5c(U-x)^2 + 0,5kx^2 = \\ &= \sum_{i=1}^n \Pi^i(x) + 0,5\left(\frac{1}{s} + k\right)x^2 - \frac{1}{s}Ux + 0,5\frac{1}{s}U^2. \end{aligned} \quad (1)$$

Здесь $\Pi^i(x)$ – работа внешней силы, затрачиваемая на растяжение i -го стержня из нелинейного разупрочняющегося материала, $0,5c(U-x)^2$ – энергия упругих деформаций элемента Π , $0,5kx^2$ – энергия деформаций $(n+1)$ -го упругого стержня, $s^{-1} = c$ (s – податливость элемента Π). Выражение (1) определяет трехпараметрическое семейство функций (параметры s, k, U) и задает отображение $R^1 \times R^3 \rightarrow R$ ($x \in R^1, (s, k, U) \in R^3, W^U \in R$). Здесь R^1, R – одномерные евклидовы пространства вещественных чисел, R^3 – трехмерное евклидово пространство, крестиком обозначено декартово произведение пространств [16].

Из уравнения Лагранжа второго рода [17] при квазистатическом нагружении ($\dot{x} = 0$) следует, что параметры положений равновесия определяются из уравнения

$$\begin{aligned} W_{,x}^U &= f(x, s, k, U) = \\ &= \sum_{i=1}^n \Pi_{,x}^i + (s^{-1} + k) \cdot x - s^{-1} \cdot U = 0, \end{aligned} \quad (2)$$

где $\Pi_{,x}^i = q^i(x)$.

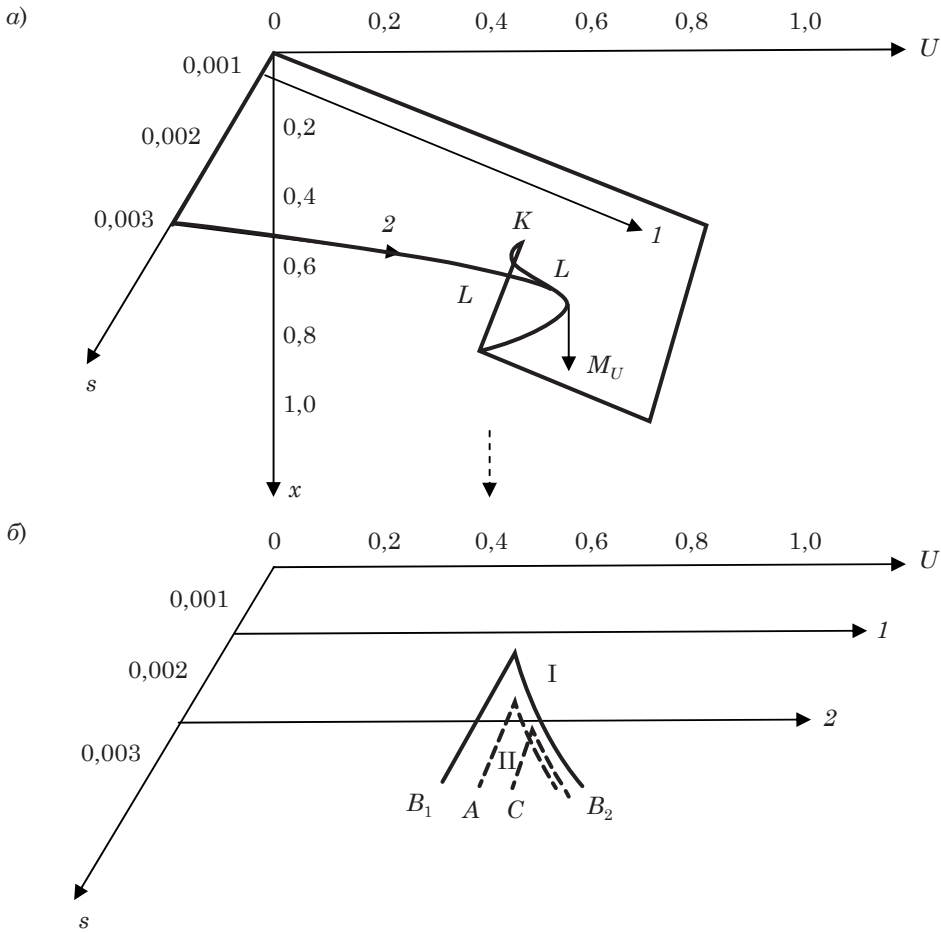


Рис. 4. Катастрофа сборки (а), бифуркационные множества (сепаратриса функции W^U) при различных значениях жесткости k упругого стержня (б)

Решения уравнения (2) – это критические точки (точки экстремума) функции W^U . Совокупность этих решений образует в четырехмерном пространстве так называемое многообразие катастрофы. Если зафиксировать параметр k , то в трехмерном пространстве (x, s, U) получаем поверхность со сборками M_U [13]. На рис. 4, а изображена такая поверхность (катастрофа сборки Уитни) при $k = 0$, $i = 1$ (имеется только один стержень), $q^1 = \{2500(\text{кг/мм}^2)x(0,4 - x), 0 \leq x \leq 0,4 \text{ мм}; 0, x > 0,4\}$.

Пусть теперь $k = 0$, $i = 1, 2, 3$ (в системе три параллельных стержня). Функция q^1 задана выше,

$$q^2 = \begin{cases} 400x(0,6 - x), & 0 \leq x \leq 0,6 \text{ мм}; \\ 0, & x > 0,6 \end{cases}, q^3 = \begin{cases} 6 \cdot 10^4 \cdot x(0,1 - x), & 0 \leq x \leq 0,1 \text{ мм}; \\ 0, & x > 0,1 \end{cases}.$$

То есть третий стержень обладает повышенной прочностью, но незначительной предельной деформацией. Вторым стержнем низкопрочный, но допускает сравнительно большие деформации. Характеристики первого стержня располагаются между характеристиками второго и третьего стержней. В этом случае получаем катастрофу с двумя сборками (рис. 5, а).

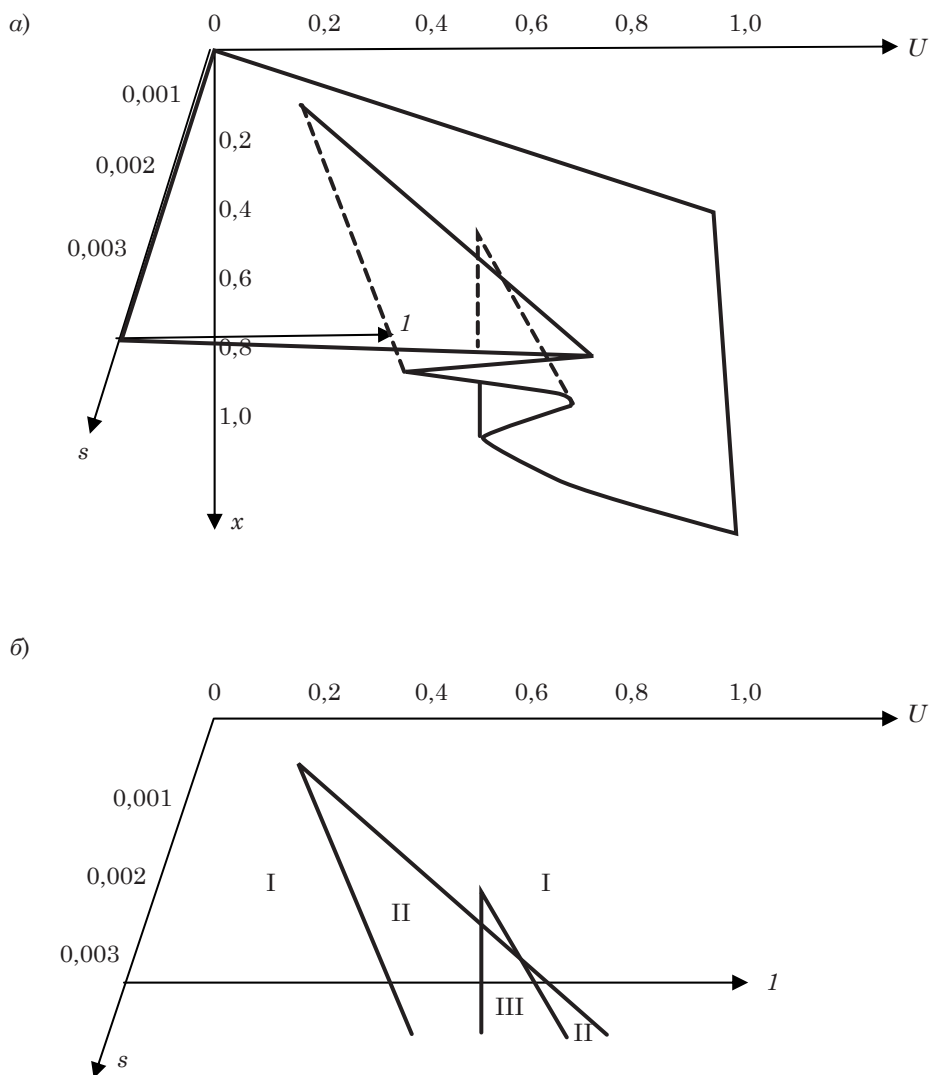


Рис. 5. Катастрофа (а) и сепаратриса (б) при растяжении трех стержней из разупрочняющегося материала с различными свойствами

Определим теперь тип равновесия системы в критических точках. Запишем полное приращение функции W^U при возмущении равновесия. Имеем

$$\Delta W^U = dW^U + 0,5 \cdot d^2 W^U + \dots + o(dx^U).$$

Отметим, что в критической точке $dW^U = W^U_{,x}$, $dx = 0$. Если в критической точке $f_{,xx} \neq 0$ ($d^2 W^U \neq 0$), то из теоремы о неявной функции [13, 18] следует, что данная точка является изолированной (невыврожденной), и в любой её окрестности уравнение (2) определяет

параметр состояния x как однозначную функцию параметров управления (s, k, U). А теорема Морса [13] гарантирует существование такой гладкой замены переменной, после которой потенциальная функция локально представляется квадратичной формой $W^U = \chi \cdot y^2$ ($\chi = f_{,xx}$). Отсюда, когда $\chi > 0$ ($d^2 W^U > 0$), то функция W^U имеет в критической точке локальный минимум (функция выпукла вниз), и положение равновесия устойчиво. При $\chi < 0$ ($d^2 W^U < 0$) имеет место локальный максимум (функция

выпукла вверх), и положение равновесия неустойчиво.

Пусть в какой-нибудь критической точке

$$W_{,xx}^U = f_{,x} = \sum_{i=1}^n \Pi_{,xx}^i + (s^{-1} + k) = 0 \quad (3)$$

($d^2 W^U = 0$). Тогда в любой её окрестности однозначное представление параметра x через параметры (s, k, U) невозможно. Следовательно, для заданных значений (s, k, U) существует несколько значений x , удовлетворяющих уравнению (2). В этом случае тип равновесия определяет уже третий дифференциал функции W^U . При выполнении неравенства $f_{,xx} \neq 0$ в критической точке у функции W^U нет ни максимума, ни минимума. Это точка перегиба и система имеет неопределенное положение равновесия (пограничное состояние). Совместные решения уравнений (2) и (3) определяют так называемые дважды вырожденные критические точки [10, 13], которые составляют особые множества M_U^B в многообразии M_U и образуют кривые сборок L (см., например, рис. 4, а). Образ этого множества, получающийся при отображении катастрофы M_U в пространство управлений, проецирующем точки из M_U на плоскость Us по правилу $(x, U, s) \rightarrow (U, s)$, называется бифуркационным множеством B_U , или сепаратрисой функции W^U (например, кривые B_1 и B_2 , рис. 4, б). Отметим, что при увеличении параметра k сепаратриса смещается в направлении положительных осей Os и OU , и при некотором значении k исчезает (уравнение (3) не имеет решения). Следовательно, исчезает и сборка на многообразии катастроф. Эта тенденция показана на рис. 4, б (при $k = 100$ кг/мм имеем сепаратрису A , а при $k = 300$ кг/мм – сепаратрису C). Та же закономерность наблюдается и при растяжении пакета стержней.

Невырожденные критические точки структурно устойчивы [10,13]. При их возмущении характер равновесия сохраняется. Природа критических точек

изменяется лишь при переходе через вырожденные критические точки. В этом случае происходит смена типа равновесия. Возмущение дважды вырожденной критической точки приводит к появлению невырожденной критической точки, в которую система переходит скачкообразно.

Смена природы критических точек реализуется тогда, когда уравнение (3) имеет более одного решения. При достижении параметром x величины, равной наименьшему корню уравнения (3), система переходит в неустойчивое равновесие. Сколь угодно малое увеличение параметра U приводит к потере устойчивости процесса растяжения механической системы.

Когда $f_{,xx} = 0$ ($(d^3 W^U = 0)$) или

$$\sum_{i=1}^n \lambda_{,x}^p = 0, \quad (4)$$

тогда функция W^U имеет в данной критической точке вырожденный минимум, и положение равновесия устойчиво. Совместные решения уравнений (2)–(4) определяют трижды вырожденные критические точки – начало сборок (например, точка K на рис. 4, а). Отметим, что в этом случае уравнение (3) имеет только одно решение.

Анализ критических точек и устойчивости равновесия позволяет наглядно представить поведение системы при постепенно возрастающем параметре управления U . Иллюстрацию проведем на примере растяжения одного стержня. Пусть значение s таково, что путь деформирования системы на плоскости sU есть прямая l , целиком расположенная в области I, вне зоны, ограниченной сепаратрисой (рис. 4, б).

Над точками области I лежит лишь один лист поверхности M_U , который составляют невырожденные критические точки, соответствующие устойчивым положениям равновесия системы. Поэтому при нагружении система плавно переходит из одного устойчивого положения равновесия в другое вплоть до разрушения неупругого стержня.

Предположим теперь, что параметр s имеет значение, при котором путь деформирования системы отвечает прямой 2, пересекающей область II (рис. 4, б). Сначала прямая 2 проходит по области I, а соответствующий путь, проходимый положениями равновесия в M_U , располагается на верхнем листе поверхности M_U (кривая 2, рис. 4, а). Затем попадаем в область II, над которой находятся уже три листа и имеются три положения равновесия. Неустойчивые отвечают точкам поверхности M_U , лежащим на среднем листе, внутри сборки, устойчивые точкам снаружи. Однако, согласно принципу замедления [10, 13], путь на M_U будет находиться на верхнем листе до тех пор, пока не пройдет через сборку, то есть не попадет в вырожденную критическую точку, и лист, на котором он находился, не исчезнет. Если далее сколь угодно мало увеличить перемещение U , то появляется невырожденная критическая точка, лежащая уже на нижнем листе поверхности M_U . Тогда путь в M_U прыгает с одного листа поверхности на другой (рис. 4, а) и параметр x увеличивается скачкообразно на конечную величину. Это явление называется катастрофой [10, 13]. Она происходит тогда, когда путь 2 покидает область II (пересекает кривую B_2). В этом случае гладкие изменения управления вызывают разрывные изменения состояния.

Особый случай реализуется, когда путь деформирования проходит через начало сборки. Так как в точке K (рис. 4, а) функция W^U имеет вырожденный минимум, то смены типа положения равновесия не происходит. Система плавно переходит из одного устойчивого положения равновесия в другое, вплоть до разрушения растягиваемого стержня.

Опишем некоторые эффекты, связанные с растяжением по жесткой схеме. На примере растяжения системы с одним разупрочняющимся стержнем ($k = 0, i = 1$) рассмотрим на качественном уровне характерное для катастрофического скачка поведение системы.

В процессе скачка в системе резко падает уровень упругой энергии (энергии упругих деформаций), т.к. при быстром возрастании величины x при фиксированном значении U упругий параллелепипед II (рис. 1) разгружается, а упругая энергия растягиваемого стержня, находящегося на стадии разупрочнения, может разве лишь уменьшиться. Поэтому система проскакивает положение равновесия, лежащее на многообразии M_U , и останавливается там, где уровень энергии восстанавливается (согласно теореме об изменении кинетической энергии). Однако если падающая ветвь диаграммы деформирования неупругого стержня недостаточно полого, то в ходе катастрофического скачка реализуется динамическое разрушение стержня. В том случае, когда разрушение не происходит, после остановки система опять устремляется к положению равновесия (эффект маятника). Величина x начинает уменьшаться, т.е. неупругий стержень разгружается. Его разгрузка происходит по линейному закону. И здесь возможны два варианта. В силу малости упругих деформаций (неупругая деформация в разупрочняющемся стержне значительно превосходит упругую) при обратном движении в неупругом стержне может возникнуть сжимающее усилие такой величины, что он необратимо изменит свою прямолинейную форму. Дальнейшее деформирование при последующем увеличении параметра U должно уже описываться другими соотношениями. Если прямолинейная форма сохранится, то новое положение равновесия, к которому будет стремиться система, уже не будет лежать на многообразии M_U , т.к. свойства растягиваемого стержня определяются прямой разгрузкой. Около этого положения произойдут колебания, затухающие из-за внутреннего трения в системе. После этого при увеличении параметра U система опять выходит на многообразие M_U . Затем происходит равновесный долом. Далее при конечных значениях $\min \lambda^p(x)$ (падающая ветвь диаграммы растяжения

не вертикальна) и конкретной жесткости с параллелепипеда Π (рис. 1) всегда можно подобрать величину жесткости k упругого стержня, входящего в систему растягиваемых параллельных стержней, таким образом, чтобы уравнение (3) имело не более одного решения и, следовательно, растяжение системы происходило равномерно, без катастрофических скачков.

Отметим, что растягиваемая система фактически является моделью поведения образца при растяжении в испытательной машине. В экспериментах наблюдаются все описанные эффекты.

Наконец отметим некоторые закономерности при растяжении пучка на примере растяжения трех стержней по пути 1 (рис. 5). Сначала путь нагружения в пространстве управлений проходит по области I (рис. 5, б), над которой расположен один лист многообразия M_U и, следовательно, имеется только одно положение равновесия. Затем путь попадает в область II. Над ней находится три листа, т.е. система имеет три положения равновесия (два устойчивых, одно неустойчивое). При прохождении области III возникает пять положений равновесия (уравнение (2) для данных параметров управления имеет пять решений). Однако согласно принципу промедления [10, 13], при квазистатическом деформировании реализуются только устойчивые равновесия, отвечающие верхнему листу многообразия M_p . Потеря устойчивости (катастрофический скачок) реализуется тогда, когда путь в пространстве управлений выходит из области, ограниченной сепаратрисой. Причем пока работает самый крепкий стержень, система сохраняет устойчивость. Его переход на неустойчивую стадию и разрушение провоцируют разрушение всей системы, несмотря на то, что остальные стержни находятся на восходящей (устойчивой) ветви деформирования.

Устойчивость растяжения.

Мягкое нагружение

Мягкое нагружение системы реализуется при задании монотонно воз-

растающей растягивающей силы p (рис. 1). Лагранжиан системы имеет вид

$$W^p = W^U - \int_0^U p du, \quad (5)$$

где последнее слагаемое – это работа внешней силы, взятая со знаком минус. Выражение (5) определяет трехпараметрическое семейство функций (параметры s, k, p) двух параметров состояния (x, U) и задает отображение $R^2 \times R^3 \rightarrow R((x, U) \in R^2, (s, k, p) \in R^3, W^p \in R)$.

Критические точки находятся из решения уравнений

$$\begin{aligned} W_{,x}^p &= f_1(x, U, s, k, p) = \\ &= \sum_{i=1}^n \Pi_{,x}^i + (s^{-1} + k) \cdot x - s^{-1}U = 0, \\ W_{,U}^p &= f_2(x, U, s, k, p) = \\ &= s^{-1}(U - x) - p = 0; \end{aligned} \quad (6)$$

множество решений системы уравнений (6) образуют в пятимерном пространстве $R^2 \times R^3$ многообразие катастрофы M_p . В пространстве (s, U, p) ее образ представляется поверхностью со сборкой (рис. 6, а) (растяжение одного стержня с диаграммой q^1 и $k = 0$). При растяжении трех стержней с характеристиками q^1, q^2, q^3 получаем поверхность с двумя сборками (рис. 7).

Для определения типа равновесия запишем полное приращение функции (5) при возмущении равновесия. Имеем

$$\Delta W^p = dW^p + 0,5 \cdot d^2W^p + \dots + o(dx^U, dU^p).$$

В критической точке $dW^p = W_{,x}^p dx + W_{,U}^p dU = 0$. Пусть $d^2W^p \neq 0$. Квадратичная форма d^2W^p отлична от нуля тогда и только тогда, когда матрица

$$H = \begin{pmatrix} W_{,xx}^p & W_{,xU}^p \\ W_{,Ux}^p & W_{,UU}^p \end{pmatrix} = \begin{pmatrix} f_{1,x} & f_{1,U} \\ f_{2,x} & f_{2,U} \end{pmatrix}$$

не вырождена ($\det H \neq 0$). Матрица H является матрицей Гессе функции W^p и в то же время матрицей Якоби системы (6). Из теоремы о неявной функции [18] следует, что при $\det H \neq 0$ критические

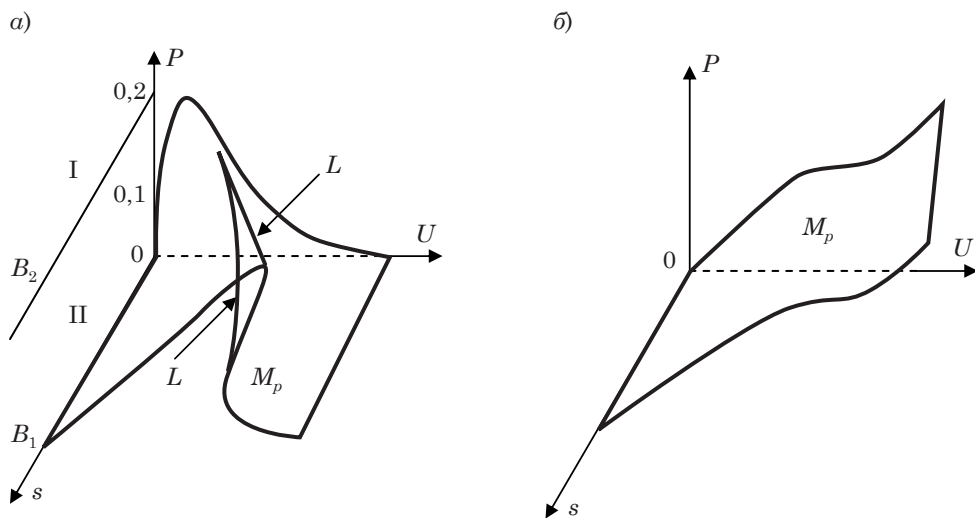


Рис. 6. Катастрофа M_p при $k = 0$ (а), при достаточно большом значении k (растяжение одного стержня) (б)

точки функции W^p будут изолированными (невыврожденными).

В окрестности каждой из них уравнения (6) определяют параметры (x, U) как однозначные функции от параметров (s, p) . При этом тип равновесия системы определяется собственными числами матрицы H .

Для случая $\det H \neq 0$ теорема Морса [13] гарантирует существование такой гладкой замены переменных (x, U) , что функция W^p локально может быть представлена квадратичной формой

$$W^p = \chi_1 y_1^2 + \chi_2 y_2^2.$$

С учетом же новой замены координат в соответствии с равенствами $z_1 = \sqrt{|\chi_1|} \cdot y_1$, $z = z_2 = \sqrt{|\chi_2|} \cdot y_2$ данное выражение приводится к морсовской канонической форме [13]

$$W^p = \pm z_1^2 \pm z_2^2,$$

где знак «плюс» отвечает положительному собственному числу, а «минус» — отрицательному.

Когда $\chi_1 \cdot \chi_2 > 0$ (собственные числа положительны, матрица H положительно определена), то функция W^p в данной критической точке имеет локальный

минимум (функция выпукла вниз) система устойчива.

При $\chi_1 \cdot \chi_2 < 0$ матрица H отрицательно определена, функция W^p выпукла вверх (локальный максимум) — система неустойчива. Если знаки собственных значений различны (матрица H знаконеопределена), то критическая точка является седловой точкой функции (морсовское седло [13]). Очевидно, что при фиксировании в седловой точке параметра x функция W^p будет иметь минимум по переменной U . Если зафиксировать параметр U , то функция W^p имеет максимум по переменной x . Отсюда следует, что положение равновесия системы в данной критической точке неустойчиво. Исключительно в первом случае ($\chi_1 \cdot \chi_2 > 0$) положение равновесия системы устойчиво.

Пусть теперь в какой-нибудь критической точке одно из собственных значений равно нулю, т.е. матрица H вырожденная и

$$\det H = \sum \Pi_{,xx}^i + k = 0. \quad (7)$$

Тогда в любой окрестности этой точки однозначное представление переменных (x, U) через параметры (s, p) уже невозможно и существует несколько

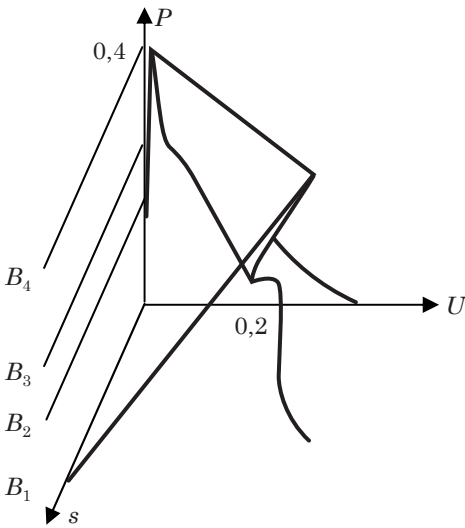


Рис. 7. Катастрофа M_p при растяжении трех разных стержней

значений (x, U) для фиксированных (s, p) , удовлетворяющих уравнению (6). Совместные решения уравнения (6) и (7) определяют дважды вырожденные критические точки, образующие кривые сборки L (рис. 6, а). Их образ в пространстве управлений (s, p) — это сепаратриса функции W^p . В случае растяжения одного стержня при $k = 0$ — это прямые B_1 и B_2 . Отметим, что при достижении параметром k определенной величины решения уравнения (7) не существует. То есть сепаратриса исчезает (рис. 6, б).

При деформировании по мягкой схеме ($k = 0, i = 1$) в самом начале нагружения в пространстве управлений сразу происходит пересечение прямой B_1 и попадание в ограниченную сепаратрисой область, точкам которой отвечают два листа поверхности M_p (рис. 6, а). Первому отвечают устойчивые положения равновесия, второму — неустойчивые. Согласно принципу промедления, до пересечения прямой B_2 система будет находиться в устойчивом состоянии. После пересечения B_2 происходит катастрофический скачок. Так как лист поверхности M_p при этом исчезает (после пересечения B_2 не существует положений равновесия), то система

разрушается динамически (разрушается растягиваемый стержень). Отметим, что при достаточно больших k возможно равновесное растяжение вплоть до разрушения стержня. Растяжение нескольких стержней отличается тем, что сепаратриса состоит из многих прямых (рис. 7). Разрушение же происходит, когда путь в пространстве управлений пересечет последнюю прямую (прямая B_U на рис. 7). В приведенном примере растяжения трех стержней разрушение всей системы происходит тогда, когда исчерпает свою несущую способность самый прочный стержень. То есть самый прочный элемент отвечает за несущую способность всей системы. Существуют системы параллельных стержней, в момент разрушения которых часть стержней еще не достигла своего предела прочности, а часть уже работала при снижающемся усилии. Отсюда, если рассчитывать несущую способность системы по слабейшему элементу, то получим заниженное значение максимальной нагрузки. Следовательно, учет спадающих ветвей деформирования позволяет более точно рассчитывать предельную несущую способность механических систем.

Приведенную методику можно использовать и для оптимизации материалоёмкости механических систем. Например, в рассмотренной трехстержневой системе можно уменьшить прочность стержней 1 и 2. Так как за разрушение отвечает самый прочный стержень 3, то предельная несущая способность всей системы не уменьшится.

На примере исследования устойчивости процесса растяжения пакета параллельных стержней в одной механической системе показано влияние учета падающих ветвей их диаграмм деформирования на устойчивость процесса. Применение аппарата математической теории катастроф позволило выявить появление нескольких положений равновесия у системы и определить момент потери устойчивости, т.е. скачкообразного перехода из одного положения равновесия в другое. ■

Литература

1. Вильдеман В.Э., Чаусов Н.Г. Условия деформационного разупрочнения материала при растяжении опытного образца специальной конфигурации // Заводская лаборатория. Диагностика материалов. 2007. Т. 73. № 10. С. 55–59. ISSN 1028-6861.
2. Чаусов Н.Г. Полная диаграмма деформирования как источник информации о кинетике накопления повреждений и трещиностойкости материалов // Заводская лаборатория. Диагностика материалов. 2004. № 7. Т. 70. С. 42–49. ISSN 1028-6861.
3. Лебедев А.А., Чаусов Н.Г., Евецкий Ю.Л. Методика построения полных диаграмм деформирования листовых материалов // Проблемы прочности. 1986. № 9. С. 29–32.
4. Вильдеман В.Э., Третьяков М.П. Испытание материалов с построением полных диаграмм деформирования // Проблемы машиностроения и надежности машин. 2013. № 2. С. 93–98.
5. Андреева Е.А. Решение одномерных задач пластичности для разупрочняющегося материала // Вестн. Сам. ГТУ. Сер. : Физ.-мат. наук. 2008. № 2(17) . С. 152–160. ISSN 1991-8615.
6. Lin F.-B., Yan G.Y., Bazant Z.P., Ding F. Nonlocal strain-softening model of quasibrittle materials using boundary element method. Engineering Analysis with Boundary Elements. 2002. № 26. С. 417–424.
7. Стружанов В.В., Башуров В.В. Модификационная модель Мазинга // Вестн. Сам. ГТУ. Сер. : Физ.-мат. науки. 2007. № 1(14). С.29–39. ISSN 1991-8615.
8. Стружанов В.В., Миронов В.И. Деформационное разупрочнение материала в элементах конструкций. Екатеринбург : УрО РАН, 1995. 191 с.
9. Седов Л.И. Механика сплошной среды. М. : Наука, 1970. Т. 1. 492 с.
10. Постон Т., Стюарт И. Теория катастроф и ее приложения. М. : Мир. 1980. 608 с.
11. Арнольд В.И., Варченко А.Н., Гусейн-Заде С.М. Особенности дифференцируемых отображений. М. : Наука, 1982. Т. 1. 394 с.
12. Томпсон Дж. М.Т. Неустойчивости и катастрофы в науке и технике. М. : Мир, 1985. 256 с.
13. Гилмор Р. Прикладная теория катастроф. М. : Мир, 1984. Кн. 1. 350 с.
14. Арнольд В.И. Теория катастроф. М. : Наука, 1990. 128 с.
15. Ильюшин А.А. Пластичность. Упругопластические деформации. М. : Логос, 2004. Ч. 1. 388 с. ISBN 5-940103-77-4.
16. Балакришнан А.В. Прикладной функциональный анализ. М. : Наука. 1980. 383 с.
17. Парс Л. Аналитическая динамика. М. : Наука, 1971. 636 с.
18. Брус Дж., Джиблин П. Кривые и особенности. М. : Мир, 1988. 262 с.

References

1. Wildemann V.E., Chausov N.G. Usloviya deformacionnogo razuprochneniya materiala pri rastyazhenii opytnogo obrazca special'noj konfiguracii [Strain softening of the material conditions in the process of stretching of the development prototype of special configuration] // Factory Laboratory. Diagnosis materials. 2007. V. 73. № 10. P. 55–59. ISSN 1028-6861.
2. Chausov N.G. Polnaya diagramma deformirovaniya kak istochnik informacii o kinetike nakopleniya povrezhdenij i treshchinostojkosti materialov [Full diagram of deformation as a source of information on the kinetics of damage accumulation and fracture of materials] // Factory Laboratory. Diagnosis materials. 2004. № 7. V. 70. P. 42–49. ISSN 1028-6861.
3. Lebedev A.A., Chausov N.G., Evetsky Y.L. Metodika postroeniya polnyh diagramm deformirovaniya listovyh materialov [Method of constructing complete diagrams of deformation of sheet materials] // Problems of strength. 1986. № 9. P. 29-32.
4. Wildemann V.E., Tretyakov M.P. Ispytanie materialov s postroeniem polnyh diagramm deformirovaniya [Testing of materials to the construction of complete deformation diagrams] // Problems of mechanical engineering and reliability. 2013. № 2. P. 93–98.
5. Andreeva E.A. Reshenie odnomernyh zadach plastichnosti dlya razuprochnyayushchegosya materiala [Solution of one-dimensional problems of plasticity for the strain softening material] // Herald of SamSTU. Ser. : P.-mat. Sciences. 2008. № 2 (17). P. 152–160. ISSN 1991-8615.
6. Lin F.B., Yan G.Y., Bazant Z.P., Ding F. Nonlocal strain-softening model of quasibrittle materials using boundary element method. Engineering Analysis with Boundary Elements. 2002. № 26. P. 417–424.

7. Struzhanov V.V., Bashurov V.V. Modifikacionnaya model' Mazinga [The modified Masing model] // Herald of SamSTU. Ser. : P.-mat. Sciences. 2007. № 1 (14). P. 29–39. ISSN 1991-8615.
8. Struzhanov V.V., Mironov V.I. Deformacionnoe razuprochnenie materiala v ehlementah konstrukcij [Strain softening material in the construction elements]. Ekaterinburg, Ural Branch of Russian Academy of Science, 1995. 191 p.
9. Sedov L.I. Mekhanika sploshnoj sredy [Continuum Mechanics]. M. : Nauka, 1970. V. 1. 492 p.
10. Poston T., Stuart I. Teoriya katastrof i ee prilozheniya [Catastrophe theory and its applications]. M. : Mir. 1980. 608 p.
11. Arnold V.I., Varchenko S.M. Huseyn-Zade. Osobennosti differenciruemykh otobrazhenij [Features of differentiable reflections]. M. : Nauka, 1982. V. 1. 394 p.
12. Thompson J. M.T. Neustojchivosti i katastrofy v nauke i tekhnike [Instability and catastrophes in science and technology]. M. : Mir, 1985. 256 p.
13. Gilmore R. Prikladnaya teoriya katastrof [Applied theory of catastrophes]. M. : Mir, 1984. B. 1. 350 p.
14. Arnold V.I. Teoriya katastrof [Catastrophe Theory]. M. : Science, 1990. 128 p.
15. Plyushin A.A. Plastic. Uprugoplasticheskie deformacii [Elastoplastic deformation]. M. : Logos, 2004. Part 1. 388. ISBN 5-940103-77-4.
16. Balakrishnan A.V. Prikladnoj funkcional'nyj analiz [Applied functional analysis]. M. : Science. 1980. 383 p.
17. Pars L. Analiticheskaya dinamika [Analytical dynamics]. M. : Science, 1971. 636 p.
18. Brus J., Dzhiblin P. Krivye i osobennosti [Curves and features]. M. : Mir, 1988. 262 p.

Статья сдана в редакцию 28 мая 2016 года

*К.В. Курмаева, С.С. Титов***Специальные ряды с кратными частотами
для одномерных течений сжимаемого газа
в обобщении теорем В.Е. Замыслова**

UDC 533

*K.V. Kurmaeva, S.S. Titov***Specific series with multiple frequencies
for one-dimensional flows of compressible gas
as generalization of V.E. Zamyslov's theorems****Аннотация**

В современном математическом моделировании многих природных явлений и технических задач широко применяются уравнения Навье – Стокса. Наиболее популярной областью применения этих уравнений является описание течений газа и жидкостей в гидродинамике. В [1] рассматриваются приближенные решения полной системы уравнений Навье – Стокса в случае одномерных течений сжимаемого вязкого теплопроводного газа с привлечением тригонометрических рядов. В рамках развития подхода специальных рядов с рекуррентно вычисляемыми коэффициентами А.Ф. Сидорова [3], в [5] описаны локальное и глобальное по времени существование периодического по пространственной переменной решения полной трехмерной системы уравнений Навье – Стокса.

В данной работе рассматривается решение полной системы уравнений Навье – Стокса в случае одномерного течения сжимаемого газа в виде специальных рядов с кратными частотами. Для коэффициентов рядов получены рекуррентные цепочки уравнений. Описана постановка начально-краевой задачи для решаемой системы. С помощью построенных рядов с кратными частотами доказаны теоремы об обертонах и унтертонах.

Ключевые слова: Навье – Стокс, ряды с кратными частотами, обертоны, унтертоны.

DOI:10.20291/2079-0392-2016-3-18-28

Abstract

In modern mathematical modeling of many natural phenomena and technical challenges the Navier – Stokes equation is widely used. The most popular area of use of these equations is description of gas and fluid flows in fluid dynamics. The monograph [1] considers approximate solutions for the complete system of the Navier – Stokes equations in case of one-dimensional flows of compressible viscous heat-conducting gas applying trigonometric sequences. Within the framework of development of approach to usage of specific sequences with recurrently calculated coefficients by A.F. Sidorov [3], the monograph [5] describes the existence, local and global in time, of periodic solution with spatial variable for the complete 3D-system of the Navier – Stokes equations.

This article considers the solution of the complete system of the Navier – Stokes equations in case of one-dimensional flow of compressible gas in the form of specific series with multiple frequencies. For the series' coefficients the recurrent chains of equations were received. The initial boundary value problem is described for the system to be solved. By applying the set series with multiple frequencies the theorems regarding overtones and undertones were proved.

Key words: Navier – Stokes, series with multiple frequencies, overtones, undertones.

DOI:10.20291/2079-0392-2016-3-18-28

Кристина Владимировна Курмаева, канд. физ.-мат. наук; кафедра «Общенаучные дисциплины» филиала Уральского государственного университета путей сообщения; Нижний Тагил, Свердловская обл., Россия. E-mail: kurmaevakv@yandex.ru.

Сергей Сергеевич Титов, д-р физ.-мат. наук; профессор; кафедра «Высшая и прикладная математика» Уральского государственного университета путей сообщения; Екатеринбург, Россия. E-mail: stitov@usaaa.ru.

Kristina Vladimirovna Kurmaeva, Cand.Sc. (Physics and Mathematics); Department of General Scientific Subjects, Branch of Ural State University of Railway Transport; Nizhni Tagil, Sverdlovsk region, Russia. E-mail: kurmaevakv@yandex.ru.

Sergey Sergeevich Titov, D.Sc. (Physics and Mathematics); Professor; Department of Higher and Applied Mathematics, Ural State University of Railway Transport; Ekaterinburg, Russia. E-mail: stitov@usaaa.ru.

Построение специальных рядов

Полная система уравнений Навье – Стокса в одномерном сжимаемом случае в безразмерных переменных имеет вид

$$\begin{cases} \delta_t = \delta u_x - u \delta_x \\ u_t = -u u_x - \frac{1}{\gamma} \delta p_x + \mu \delta u_{xx} \\ p_t = -u p_x - \gamma p u_x + \kappa (\delta p)_{xx} + \mu \gamma (\gamma - 1) u_x^2. \end{cases} \quad (1)$$

Здесь t – время; x – пространственная координата; μ и κ – положительные коэффициенты вязкости и теплопроводности; $\gamma > 1$ – показатель адиабаты газа; $\delta = \delta(t, x)$ – удельный объем; $u = u(t, x)$ – скорость газа; $p = p(t, x)$ – его давление.

При этом плотность газа равна $\rho = \frac{1}{\delta}$, температура $T = \delta p$, внутренняя энергия

$e = T$. Будем строить 2π – периодические по x решения этой системы при помощи формальных рядов специального вида:

$$\delta(t, x) = \sum_{k=0}^{\infty} \sum_{l=0}^{\infty} D_{kl} [S(x)]^k [T(x)]^l, \quad (2)$$

$$u(t, x) = \sum_{k=0}^{\infty} \sum_{l=0}^{\infty} U_{kl} [S(x)]^k [T(x)]^l, \quad (3)$$

$$p(t, x) = \sum_{k=0}^{\infty} \sum_{l=0}^{\infty} P_{kl} [S(x)]^k [T(x)]^l, \quad (4)$$

где $S(x) = e^{ix}$, $T(x) = e^{-ix}$, в предположении, что μ , κ , γ являются постоянными величинами. При построении формального решения будем игнорировать соотношение $S(x)T(x) = 1$. Тогда, вводя базисные функции

$$\Phi_{kl} = \Phi_{kl}(x) = [S(x)]^k [T(x)]^l,$$

получим, что

$$\frac{\partial}{\partial x} \Phi_{kl} = i(k - l) \Phi_{kl}, \quad \Phi_{kl} \cdot \Phi_{mn} = \Phi_{k+m, l+n}.$$

Отсюда видно, что производные и произведения таких формальных рядов представляют собой ряды того же вида. Поэтому, подставляя эти ряды в решаемую систему и приравнивая коэффициенты при одинаковых базисных функциях $\Phi_{mn}(x)$ при $m, n \geq 0$, получим:

$$\begin{cases} D'_{mn}(t) = \sum_{k_1+k_2=m} \sum_{l_1+l_2=n} \left[D_{k_1 l_1}(t) i(k_2 - l_2) U_{k_2 l_2}(t) - i(k_1 - l_1) D_{k_1 l_1}(t) U_{k_2 l_2}(t) \right]; \\ U'_{mn}(t) = \sum_{k_1+k_2=m} \sum_{l_1+l_2=n} \left[-U_{k_1 l_1}(t) i(k_2 - l_2) U_{k_2 l_2}(t) - \frac{1}{\gamma} D_{k_1 l_1}(t) U_{k_2 l_2}(t) i(k_2 - l_2) P_{k_2 l_2}(t) \right] + \\ + \mu \sum_{k_1+k_2=m} \sum_{l_1+l_2=n} D_{k_1 l_1}(t) (-1)(k_2 - l_2)^2 U_{k_2 l_2}(t); \\ P'_{mn}(t) = \sum_{k_1+k_2=m} \sum_{l_1+l_2=n} \left[-U_{k_1 l_1}(t) i(k_2 - l_2) P_{k_2 l_2}(t) - \gamma P_{k_1 l_1}(t) i(k_2 - l_2) U_{k_2 l_2}(t) \right] + \\ + \sum_{k_1+k_2=m} \sum_{l_1+l_2=n} \left[-\kappa(m - n)^2 D_{k_1 l_1}(t) P_{k_2 l_2}(t) - \mu \gamma (\gamma - 1) (k_1 - l_1)(k_2 - l_2) U_{k_1 l_1}(t) U_{k_2 l_2}(t) \right], \end{cases} \quad (5)$$

здесь $k_1, k_2 \in \{0, 1, \dots, m\}$, $l_1, l_2 \in \{0, 1, \dots, n\}$, и поэтому правые части этих равенств представляют собой конечные суммы. Так, при $m = n = 0$ имеем $k_1 = k_2 = l_1 = l_2 = 0$ и поэтому

$$D'_{00}(t) = U'_{00}(t) = P'_{00}(t) = 0,$$

то есть

$$\begin{cases} D_{00} = \text{const}, \\ U_{00} = \text{const}, \\ P_{00} = \text{const}. \end{cases} \quad (6)$$

Далее, при $m = 1, n = 0$ имеем:

$$\begin{cases} D'_{10}(t) = D_{00}iU_{10}(t) - iD_{10}(t)U_{00}, \\ U'_{10}(t) = -U_{00}iU_{10}(t) - \frac{1}{\gamma}D_{00}iP_{10}(t) - \mu D_{00}U_{10}(t), \\ P'_{10}(t) = -U_{00}iP_{10}(t) - \gamma P_{00}iU_{10}(t) - \kappa[D_{00}P_{10}(t) + D_{10}(t)P_{00}], \end{cases}$$

т.е. коэффициенты $D_{10}(t)$, $U_{10}(t)$, $P_{10}(t)$ удовлетворяют системе трех линейных дифференциальных обыкновенных уравнений с постоянными коэффициентами:

$$\begin{cases} D'_{10}(t) = iD_{00}U_{10}(t) - iU_{00}D_{10}(t), \\ U'_{10}(t) = -[iU_{00} + \mu D_{00}]U_{10}(t) - \frac{i}{\gamma}D_{00}P_{10}(t), \\ P'_{10}(t) = -\kappa P_{00}D_{10}(t) - \gamma i P_{00}U_{10}(t) - [iU_{00} + \kappa D_{00}]P_{10}(t). \end{cases} \quad (7)$$

В частности, при $U_{00} = 0, D_{00} = P_{00} = 1$ имеем систему:

$$\begin{cases} D'_{10}(t) = iU_{10}(t), \\ U'_{10}(t) = -\mu U_{10}(t) - \frac{i}{\gamma}P_{10}(t), \\ P'_{10}(t) = -\kappa D_{10}(t) - \gamma i U_{10}(t) - \kappa P_{10}(t), \end{cases} \quad (8)$$

которая решается стандартным образом. При $D_{10} = Ae^{lt}$, $U_{10} = Be^{lt}$, $P_{10} = Ce^{lt}$, где $A, B, C = \text{const}$, получаем характеристическое кубическое уравнение относительно собственного числа λ [5]:

$$\lambda^3 + (\mu + \kappa)\lambda^2 + (\kappa\mu + 1)\lambda + \frac{\kappa}{\gamma} = 0. \quad (9)$$

Отсюда, если это уравнение имеет три различных корня $-\lambda_1, \lambda_2, \lambda_3$, то общее решение для $D_{10}(t)$, $U_{10}(t)$, $P_{10}(t)$ записывается в виде линейных комбинаций экспонент $e^{\lambda_j t}$ с постоянными коэффициентами, где $j = 1, 2, 3$.

При $m + n > 1$ представим систему (5) как систему трех линейных неоднородных дифференциальных уравнений, которую запишем для вектора

$$\bar{\Psi}_{mn}(t) = \begin{pmatrix} D_{mn}(t) \\ U_{mn}(t) \\ P_{mn}(t) \end{pmatrix}, \quad (10)$$

в виде

$$\frac{d}{dt} \bar{\Psi}_{mn}(t) = M_{mn} \bar{\Psi}_{mn}(t) + \bar{F}_{mn}(t). \quad (11)$$

Здесь M_{mn} – матрица третьего порядка вида

$$M_{mn} = (m-n) \begin{pmatrix} -iU_{00} & iD_{00} & 0 \\ 0 & -iU_{00} - \mu(m-n)D_{00} & -\frac{i}{\gamma}D_{00} \\ -\kappa(m-n)P_{00} & -\gamma iP_{00} & -iU_{00} - \kappa(m-n)D_{00} \end{pmatrix}, \quad (12)$$

$\bar{F}_{mn}(t)$ – вектор, зависящий от коэффициентов с меньшими, чем m и n , номерами:

$$\begin{aligned} \bar{F}_{mn}(t) = & \begin{pmatrix} \sum_{\substack{k_1+k_2=m \\ 0 \leq k_1, k_2 \leq m-1 \\ l_1+l_2=n \\ 0 \leq l_1, l_2 \leq n-1}}^{\infty} \left[D_{k_1 l_1}(t) i(k_2 - l_2) U_{k_2 l_2}(t) - i(k_1 - l_1) D_{k_1 l_1}(t) U_{k_2 l_2}(t) \right] \\ \sum_{\substack{k_1+k_2=m \\ 0 \leq k_1, k_2 \leq m-1 \\ l_1+l_2=n \\ 0 \leq l_1, l_2 \leq n-1}}^{\infty} \left[-U_{k_1 l_1}(t) i(k_2 - l_2) U_{k_2 l_2}(t) - \frac{i}{\gamma} D_{k_1 l_1}(t) (k_2 - l_2) P_{k_2 l_2}(t) \right] \\ \sum_{\substack{k_1+k_2=m \\ 0 \leq k_1, k_2 \leq m-1 \\ l_1+l_2=n \\ 0 \leq l_1, l_2 \leq n-1}}^{\infty} \left[-U_{k_1 l_1}(t) i(k_2 - l_2) P_{k_2 l_2}(t) - \gamma P_{k_1 l_1}(t) i(k_2 - l_2) U_{k_2 l_2}(t) \right] \end{pmatrix} + \\ & + \begin{pmatrix} 0 \\ -\mu \sum_{\substack{k_1+k_2=m \\ 0 \leq k_1, k_2 \leq m-1 \\ l_1+l_2=n \\ 0 \leq l_1, l_2 \leq n-1}}^{\infty} (k_2 - l_2)^2 D_{k_1 l_1}(t) U_{k_2 l_2}(t) \\ \sum_{\substack{k_1+k_2=m \\ 0 \leq k_1, k_2 \leq m-1 \\ l_1+l_2=n \\ 0 \leq l_1, l_2 \leq n-1}}^{\infty} \left[-\kappa(m-n)^2 D_{k_1 l_1}(t) P_{k_2 l_2}(t) - \mu \gamma (\gamma - 1) (k_1 - l_1) (k_2 - l_2) U_{k_1 l_1}(t) U_{k_2 l_2}(t) \right] \end{pmatrix}. \quad (13) \end{aligned}$$

Решение (11) находится при $m+n > 0$ по формуле Коши:

$$\bar{\Psi}_{mn}(t) = \exp\{M_{mn}t\} \bar{\Psi}_{mn}(0) + \int_0^t \exp\{M_{mn}(t-\tau)\} \bar{F}_{mn}(\tau) d\tau. \quad (14)$$

Здесь «exp» обозначает экспоненту матрицы.

Для вычисления экспоненты матрицы $\exp\{M_{mn}t\}$ найдем собственные значения и собственные векторы матрицы M_{mn} из ее характеристического уравнения $|M_{mn} - \lambda E| = 0$.

Обозначив $s = s_{mn} = m - n$, получим кубическое уравнение относительно λ

$$\lambda^3 + (\mu + \kappa) D_{00} s^2 \lambda^2 + (\kappa \mu D_{00}^2 s^2 + P_{00} D_{00}) s^2 \lambda + \frac{\kappa}{\gamma} P_{00} D_{00}^2 s^4 = 0$$

как частный случай уравнения [5, с. 163].

Если в полученном уравнении все три корня различные, то общее решение однородной системы есть линейная комбинация экспонент (в случае «общего положения»). Если же имеются кратные корни, то появляются квазимногочлены.

Так, при $s = 0$ получаем $M_{mn} = 0$, $\bar{F}_{mn}(t) = 0$, $\bar{\Psi}_{mn}(t) = \text{const}$, а при $s = 1$ получаем выписанное выше характеристическое уравнение $\bar{\Psi}_{01}$, $\bar{\Psi}_{10}$ (7).

Итак, решение полной однородной системы уравнений Навье – Стокса построено в виде специального ряда с рекуррентно вычислимыми коэффициентами.

Постановка начально-краевой задачи

Поставим для решаемой системы Навье – Стокса (1) периодическую по пространственной переменной x задачу Коши, задав искомые функции $\delta = \delta(t, x)$, $u = u(t, x)$, $p = p(t, x)$ в момент времени $t = 0$ в виде рядов Фурье на отрезке $x = [0; 2\pi]$. Ясно, что эти начальные данные можно представить в виде предложенных выше формальных рядов (2)–(4). Рассмотрим конкретную начально-краевую задачу [2] с условием прилипания и теплоизоляции в точках $x = 0$, $x = \pi$:

$$\delta(0, x) = 1 + \sum_{l=1}^{\infty} \delta_l^{(0)} \cos lx, \quad (15)$$

$$u(0, x) = \sum_{l=1}^{\infty} u_l^{(0)} \sin lx, \quad (16)$$

$$p(0, x) = 1 + \sum_{l=1}^{\infty} p_l^{(0)} \cos lx. \quad (17)$$

Тогда, ввиду равенств

$$\cos lx = \frac{e^{ilx} + e^{-ilx}}{2}, \quad \sin lx = \frac{e^{ilx} - e^{-ilx}}{2i}$$

положим следующие значения коэффициентов формального ряда при $t = 0$:

$$D_{00} = D_{00}(0) = 1, \quad U_{00} = U_{00}(0) = 0, \quad P_{00} = P_{00}(0) = 1, \quad (18)$$

при $m = n > 0$

$$D_{mn} = D_{mn}(0) = 0, \quad U_{mn} = U_{mn}(0) = 0, \quad P_{mn} = P_{mn}(0) = 0, \quad (19)$$

если же $|m - n| = l = 1, 2, 3, \dots$, то:

$$\begin{aligned} D_{l0} = D_{0l} = D_{l0}(0) = D_{0l}(0) &= \frac{1}{2} \delta_l^{(0)}, \\ P_{l0} = P_{0l} = P_{l0}(0) = P_{0l}(0) &= \frac{1}{2} p_l^{(0)}, \\ U_{l0} = U_{0l}(0) =, U_{0l} = U_{0l}(0) &= -\frac{1}{2i} u^{(0)}; \end{aligned} \quad (20)$$

к тому же, в случае, если $m \cdot n \neq 0$, положим

$$D_{mn}(0) = U_{mn}(0) = P_{mn}(0) = 0. \quad (21)$$

Таким образом, мы воспользовались имеющимся произволом для получения начальных данных искомым коэффициентам специальных рядов из коэффициентов рядов Фурье для начальных данных при $t = 0$ удельного объема $d(0, x)$, скорости $u(0, x)$ и давления $p(0, x)$.

Все вычисленные степени матрицы M_s имеют вид

$$\begin{pmatrix} r & n & r \\ n & r & n \\ r & n & r \end{pmatrix}, \quad (22)$$

где r обозначает четную функцию от s , а n – нечетную функцию, так как $r \cdot r = r$, $r \cdot n = n$, $n \cdot n = r$. При этом умножение матрицы вида (22) на вектор вида

$$\begin{pmatrix} r \\ n \\ r \end{pmatrix} \quad (23)$$

дает такой же вектор.

Структура начальных данных при $t = 0$ специально выбрана так (23) для удовлетворения краевых условий прилипания и теплоизоляции.

Утверждение 1. Экспонента матрицы:

$$\exp\{M_s t\} = \sum_{m=0}^{\infty} \frac{1}{m!} M_s^m t^m$$

имеет вид (22).

Заметим, что начальные данные $\overline{\Psi}_s(0)$ есть вектор-столбец (23). Теперь легко доказать (например, по индукции), что, поскольку вектор $\overline{F}_s = \overline{F}_{mn}(t)$ имеет вид (23), то

$$\exp\{M_s t\} \overline{F}_s(\tau) = \begin{pmatrix} r & n & r \\ n & r & n \\ r & n & r \end{pmatrix} \cdot \begin{pmatrix} r \\ n \\ r \end{pmatrix} = \begin{pmatrix} r \\ n \\ r \end{pmatrix},$$

то есть вид четности-нечетности сохраняется. Это означает, что имеет место

Утверждение 2. Для любых m и n справедливы равенства:

$$D_{mn}(t) = D_{nm}(t), \quad U_{mn}(t) = -U_{nm}(t), \quad P_{mn}(t) = P_{nm}(t). \quad (24)$$

Следовательно, в случае сходимости формального ряда, его переразложение в ряд Фурье имеет вид (15)–(17), что удовлетворяет условиям прилипания и теплоизоляции. При этом коэффициенты этих рядов Фурье выражаются в виде рядов от коэффициентов формальных рядов (что дает решение, если ряды сходятся):

$$\begin{cases} \delta_l(t) = 2 \sum_{n=0}^{\infty} D_{n+l,n}(t), \\ u_l(t) = 2i \sum_{n=0}^{\infty} U_{n+l,n}(t), \\ p_l(t) = 2 \sum_{n=0}^{\infty} P_{n+l,n}(t), \end{cases} \quad (25)$$

где $l = 1, 2, 3 \dots$

Итак, в силу утверждений (1), (2) ряды (25) при $t > 0$ также имеют структуру (23), и поэтому в случае сходимости удовлетворяют начально-краевым условиям поставленной задачи (условиям прилипания и теплоизоляции).

Кратные частоты и обертоны

Теперь в качестве приложения построенных специальных рядов мы можем доказать обобщение теоремы В.Е. Замыслова [2] об обертонах для решения одномерной полной системы уравнений Навье – Стокса. Для дальнейшего изложения дадим

Определение. Ряд с частотами, кратными l_0 , назовем ряд с коэффициентами $\bar{\Psi}_{mn}$ вида (10), которые могут быть ненулевыми только если индексы m и n являются числами, кратными l_0 .

Это означает, что если хотя бы один из индексов m или n не делится на l_0 , то $\bar{\Psi}_{mn} \equiv 0$.

Теорема 1. Пусть в системе Навье – Стокса (1) для фиксированного натурального l_0 заданы начальные условия вида (15)–(17), отличные от нуля хотя бы для одного значения $\delta_{l_0}^{(0)}$, $u_{l_0}^{(0)}$, $p_{l_0}^{(0)}$, а остальные значения при $l > 0$ равны нулю, то в решении системы среди функций (25) при $l > 0$, отличными от тождественного нуля могут быть только функции с индексами l , кратными l_0 , то есть $l = l_0, 2l_0, 3l_0, \dots$

Доказательство. Поскольку случай $l_0 = 1$ тривиален, доказательства требует только случай $l_0 > 1$. В этом случае начальное значение $\bar{\Psi}_{mn}(0)$ – нулевые, кроме, возможно, $\bar{\Psi}_{l_0 0}(0)$ и $\bar{\Psi}_{0 l_0}(0)$. При этом если в (11) неоднородность $\bar{F}_{mn}(t)$ – тождественный нуль, то и $\bar{\Psi}_{mn}(0) = \bar{0}$. В частности (см. вычисления (5)–(8)), получаем $\bar{\Psi}_{10} = \bar{\Psi}_{01} = \bar{0}$. Докажем по индукции, что $\bar{\Psi}_{mn}(0)$ может не быть нулем, только если m и n кратны l_0 .

Действительно, для $m \in \{0, 1\}$ и $n \in \{0, 1\}$ это так (база индукции). Пусть, от противного, $\bar{\Psi}_{mn}(t)$ не является тождественным нулем, и для определенности m – минимальное не кратное l_0 с таким свойством. Тогда $\bar{\Psi}_{mn}(0) = \bar{0}$, и в формуле для $\bar{F}_{mn}(t)$ из условия суммирования $k_1 + k_2 = m$ ($0 \leq k_1 \leq m-1$, $0 \leq k_2 \leq m-1$) получаем, что, поскольку m не кратно l_0 либо k_1 , либо k_2 , либо оба – и k_1 , и k_2 – не кратные l_0 . Пусть это будет, для определенности, k_1 , тогда, по предположению индукции, $\bar{\Psi}_{k_1 l_1} \equiv \bar{0}$. Аналогичным образом, разбирая всевозможные варианты не кратности индексов суммирования, получаем, что $\bar{F}_{mn}(0) = \bar{0}$, так как в каждом произведении коэффициентов под знаком суммирования хотя бы один сомножитель равен нулю. Следовательно, $\bar{F}_{mn}(t)$ не будет тождественным нулем только при m и n , кратных l_0 , что, согласно формулам (13), и требовалось доказать.

Этой теореме и ее доказательству можно придать изящную алгебраическую форму в духе [5].

Поскольку $\bar{F}_{mn}(t)$ есть сумма произведений коэффициентов $D_{kl}(t)$, $U_{kl}(t)$, $P_{kl}(t)$ с меньшими значениями индексов $1 \leq k \leq m-1$, $1 \leq l \leq m-1$, то эту квадратичную нелинейность можно интерпретировать как некое умножение (без требования его ассоциативности) [5].

Построив решение

$$\bar{\Psi} = \begin{pmatrix} \delta \\ u \\ p \end{pmatrix}$$

в виде формального ряда

$$\bar{\Psi} = \sum_{m=0}^{\infty} \sum_{n=0}^{\infty} \bar{\Psi}_{mn}(t) S^m T^n, \quad (26)$$

мы можем рассматривать, введя вектор

$$\bar{\varphi} = \sum_{m=0}^{\infty} \sum_{n=0}^{\infty} \bar{\varphi}_{mn}(t) S^m T^n = \sum_{m=0}^{\infty} \sum_{n=0}^{\infty} \left(\exp\{M_{mn}t\} \bar{\Psi}_{mn}(0) \right) S^m T^n \quad (27)$$

решения линеаризованной задачи, ряд Ψ (26) как решение «квадратного» уравнения:

$$\Psi = \varphi + \Psi * \Psi, \quad (28)$$

где «умножение» $*$ задается формулой

$$\Psi' * \Psi'' = \bar{\varphi} = \sum_{m=0}^{\infty} \sum_{n=0}^{\infty} \int_0^t \exp\{M_{mn}(t-\tau)\} F_{mn}^*(\tau) d\tau. \quad (29)$$

Здесь $F_{mn}^*(t)$ на основе (13) следует понимать как

$$\begin{aligned} \bar{F}_{mn}^*(t) = & \left(\sum_{\substack{k_1+k_2=m \\ 0 \leq k_1, k_2 \leq m-1 \\ l_1+l_2=n \\ 0 \leq l_1, l_2 \leq n-1}} \left[D'_{k_1 l_1}(t) i(k_2 - l_2) U''_{k_2 l_2}(t) - i(k_1 - l_1) D'_{k_1 l_1}(t) U''_{k_2 l_2}(t) \right] \right. \\ & \sum_{\substack{k_1+k_2=m \\ 0 \leq k_1, k_2 \leq m-1 \\ l_1+l_2=n \\ 0 \leq l_1, l_2 \leq n-1}} \left[-U'_{k_1 l_1}(t) i(k_2 - l_2) U''_{k_2 l_2}(t) - \frac{i}{\gamma} D'_{k_1 l_1}(t) (k_2 - l_2) P''_{k_2 l_2}(t) \right] + \\ & \left. \sum_{\substack{k_1+k_2=m \\ 0 \leq k_1, k_2 \leq m-1 \\ l_1+l_2=n \\ 0 \leq l_1, l_2 \leq n-1}} \left[-U'_{k_1 l_1}(t) i(k_2 - l_2) P''_{k_2 l_2}(t) - \gamma P'_{k_1 l_1}(t) i(k_2 - l_2) U''_{k_2 l_2}(t) \right] \right) \\ & + \left(\begin{aligned} & 0 \\ & -\mu \sum_{\substack{k_1+k_2=m \\ 0 \leq k_1, k_2 \leq m-1 \\ l_1+l_2=n \\ 0 \leq l_1, l_2 \leq n-1}} (k_2 - l_2)^2 D'_{k_1 l_1}(t) U''_{k_2 l_2}(t) \\ & \sum_{\substack{k_1+k_2=m \\ 0 \leq k_1, k_2 \leq m-1 \\ l_1+l_2=n \\ 0 \leq l_1, l_2 \leq n-1}} \left[-\kappa(m-n)^2 D'_{k_1 l_1}(t) P''_{k_2 l_2}(t) - \mu \gamma (\gamma - 1) (k_1 - l_1) (k_2 - l_2) U'_{k_1 l_1}(t) U''_{k_2 l_2}(t) \right] \end{aligned} \right), \end{aligned}$$

то есть каждая из трех координат вектора $F_{mn}^*(t)$ (13), по сути, есть билинейная форма.

Операция сложения для (26), (27) на основе (2), (4) задается формулой

$$\Psi' + \Psi'' = \Psi = \begin{pmatrix} \delta(t, x) \\ u(t, x) \\ p(t, x) \end{pmatrix} = \begin{pmatrix} \sum_{k=0}^{\infty} \sum_{l=0}^{\infty} [D'_{kl}(t) + D''_{kl}(t)] [S(x)]^k [T(x)]^l \\ \sum_{k=0}^{\infty} \sum_{l=0}^{\infty} [U'_{kl}(t) + U''_{kl}(t)] [S(x)]^k [T(x)]^l \\ \sum_{k=0}^{\infty} \sum_{l=0}^{\infty} [P'_{kl}(t) + P''_{kl}(t)] [S(x)]^k [T(x)]^l \end{pmatrix}. \quad (30)$$

Таким образом, решение уравнения (28) содержится в кольце формальных рядов (26), (27) с рекуррентно вычислимыми коэффициентами с введенными операциями умножения (29) и сложения (30). Это решение является рядом, который может быть записан в виде конечной суммы при каждом заданных m и n вида

$$\Psi = \varphi + \sum_{r=2}^{\infty} \sum_{p \in P_r} (\varphi * * r)_p = \sum_{r=1}^{\infty} \sum_{p \in P_r} (\varphi * * r)_p, \quad (31)$$

где использовано фортрановское обозначение $(\varphi * * r)_p$ для r -й степени элемента φ с расстановкой скобок $p \in P_r$ [5].

$$\sum_{r=1}^{\infty} \sum_{p \in P_r} (\varphi * * r)_p = \varphi * \varphi + \varphi * (\varphi * \varphi) + (\varphi * \varphi) * \varphi + \dots$$

Действительно,

$$\begin{aligned} \Psi * \Psi &= \sum_{s=1}^{\infty} \sum_{q \in P_s} \sum_{r=1}^{\infty} \sum_{p \in P_r} (\varphi * * s)_q (\varphi * * r)_p = \\ &= (\varphi + \varphi * \varphi + \varphi * (\varphi * \varphi) + (\varphi * \varphi) * \varphi + \dots) * (\varphi + \varphi * \varphi + \varphi * (\varphi * \varphi) + (\varphi * \varphi) * \varphi + \dots) = \\ &= \varphi * \varphi + \varphi * (\varphi * \varphi) + (\varphi * \varphi) * \varphi + \dots = \sum_{r=2}^{\infty} \sum_{p \in P_r} (\varphi * * r)_p = \Psi - \varphi. \end{aligned}$$

Законность записанной выкладки можно обосновать следующим. Каждое слагаемое, записанное в ряде Ψ (31), графически иллюстрируется плоским бинарным деревом, имеющим изначально один корень и две корневые развилки. Построение такого дерева с n вершинами-листьями всегда однозначно, а их возможное количество определяется числом Каталана:

$$c_n = \sum_{k=1}^{n-1} c_k c_{n-k}, \quad (n = 2, 3, 4, 5, \dots),$$

то есть получается путем склеивания одного такого дерева с k листьями и другого такого дерева с $(n - k)$ листьями посредством нового общего корня [4].

Сходимость ряда (31) доказана в [8]. На основе рассмотренного рассуждения можно сформулировать

Утверждение 3. Решением «квадратного» уравнения (28) является ряд вида (31).

Отсюда вытекает

Следствие. Решение Ψ лежит в подкольце, порожденном вектором φ .

Для обоснованности этого следствия достаточно показать, что множество рядов с частотами, кратными l_0 , есть подкольцо. Действительно, в результате операций умножения (29) и сложения (30) рядов с частотами, кратными l_0 , будет получен также рядов с частотами, кратными l_0 . Для операции сложения это очевидно, поскольку сумма рядов с кратными частотами, имеющими ненулевые коэффициенты, будет также рядом с ненулевыми коэффициентами, то есть рядом с частотами, кратными l_0 . Для введенной операции умножения ненулевые коэффициенты могут быть получены только в случае произведения ненулевых коэффициентов, то есть произведение рядов с частотами, кратными l_0 , дает также ряд с частотами кратными l_0 .

Применяя это следствие, получаем, что подкольцо, порожденное вектором $\bar{\varphi}$ в условиях теоремы 1, содержится в подкольце формальных рядов с нулевыми

коэффициентами Ψ_{mn} для m и n не кратными l_0 , что и требовалось доказать в теореме 1.

Кратные частоты и унтертоны

Алгебраическая форма более удобна при доказательстве второй теоремы об обертонах и унтертонах, обобщающей вторую теорему В.Е. Замыслова [2].

Теорема 2. Пусть при значениях индекса $l \in \{l_0, l_1, l_2, \dots\} = L$ хотя бы одно значение $\delta_l^{(0)}, u_l^{(0)}, p_l^{(0)}$ отлично от нуля, а остальные значения при $l \in L$ равны нулю, то в решении системы при положительных индексах l отличными от тождественного нуля могут быть только функции $\delta_l(t), u_l(t), p_l(t)$ с индексом l , кратным d , то есть $l = d, 2d, 3d, \dots$, где d – наибольший общий делитель (НОД) чисел l_0, l_1, l_2, \dots

Доказательство немедленно вытекает из следствия: подалгебра, порожденная вектором Φ в условиях теоремы 2, содержится в подалгебре формальных рядов с нулевыми коэффициентами Ψ_{mn} для m и n , не кратными d , что и требовалось доказать.

Надо отметить, что содержательность этой теоремы требуется подчеркнуть примерами действительного появления ненулевых унтертонов частоты $d \in L$, что легко сделать при помощи геометрической интерпретации алгоритма Евклида вычисления НОД.

Пример. Поставим задачу Коши с начальными данными вида $\delta(0, x) \equiv 1$, $u(0, x) = \sin 2x + \sin 3x$, $p(0, x) \equiv 1$. Здесь НОД(2, 3) = 1. Начальные данные для коэффициентов будут иметь вид: $D_{00} = 1, D_{mn} = 0, P_{00} = 1, P_{mn} = 0$ при $m \neq 0$ или $n \neq 0$;

$$U_{20}(0) = -U_{02}(0) = \frac{1}{2i}, U_{30}(0) = -U_{03}(0) = \frac{1}{2i}, U_{mn}(0) = 0 \text{ в остальных случаях.}$$

Рекуррентно решая систему для коэффициентов, находим последовательно ненулевые значения $D_{00} = P_{00} = 1$,

$$\bar{\Psi}_{20}(t) = \exp\{M_{20}t\} \begin{pmatrix} 0 \\ \frac{1}{2i} \\ 0 \end{pmatrix}, \quad \bar{\Psi}_{02}(t) = \exp\{M_{02}t\} \begin{pmatrix} 0 \\ -\frac{1}{2i} \\ 0 \end{pmatrix}, \quad \bar{\Psi}_{03}(t) = \exp\{M_{03}t\} \begin{pmatrix} 0 \\ \frac{1}{2i} \\ 0 \end{pmatrix},$$

далее находим, например, $\bar{\Psi}_{32}(t)$ не является тождественным нулем, так как $\bar{F}_{32} \neq \bar{0}$, несмотря на то, что $\bar{\Psi}_{32}(t) = \bar{0}$. Этот коэффициент дает ненулевой вклад в первую (самую низшую) гармонику, поскольку $[S(x)]^3 [T(x)]^2 = e^{3ix} \cdot e^{-2ix} = e^{ix}$, и, значит, унтертон действительно появляется.

Таким образом, для системы Навье – Стокса в случае одномерного течения сжимаемого газа построены ряды специального вида с кратными частотами. Их применение позволило доказать теоремы об обертонах и унтертонах. Возможно, полученные результаты в будущем получится обобщить на двухмерный случай. ■

*Работа выполнена при финансовой поддержке РФФИ
(код проекта 16-01-00401 _А).*

Литература

1. Баутин С.П., Замыслов В.Е., Скачков С.С. Математическое моделирование тригонометрическими рядами одномерных течений вязкого теплопроводного газа : монография. – Новосибирск : Наука; Екатеринбург : Изд-во УрГУПС, 2014. 90 с. ISBN 978-5-94614-328-8.

2. Замыслов В.Е. Стоячие волны как решения полной системы уравнений Навье – Стокса в одномерном случае // Вычислительные технологии, 2013. Т. 18. № 2. С. 33–45. ISSN 1560-7534.
3. Сидоров А.Ф., Шапеев В.П., Яненко Н.Н. Метод дифференциальных связей и его применение в газовой динамике. Новосибирск : Наука, 1984. 272 с.
4. Стенли Р. Перечислительная комбинаторика. М. : Мир, 1990.
5. Титов С.С. Решение уравнений с особенностью в аналитических шкалах банаховых пространств : препринт. Екатеринбург : УралГАХА, 1999.
6. Титов С.С. Решение нелинейных уравнений в аналитических полиалгебрах. I // Известия вузов. Математика, 2000. Т. 1(452). С. 66–77.
7. Титов С.С. Решение нелинейных уравнений в аналитических полиалгебрах. II // Известия вузов. Математика, 2000. Т. 6(457). С. 45–52.
8. Титов С.С. Нелокальные решения задачи Коши в шкалах аналитических полиалгебр / Труды Института математики и механики УрО РАН, 2003. Т. 9. № 2. С. 105–128.

References

1. Bautin S.P., Zamylov V.E., Skachkov S.S. Matematicheskoe modelirovanie trigonometricheskimi ryadami odnomernyh techenij vyazkogo teploprovodnogo gaza [Mathematical modeling of one-dimensional flows of viscous heat-conducting gas using trigonometric sequences : monograph]. – Novosibirsk : Nauka; Ekaterinburg: Publishing Company of the Ural State University of Railway Transport, 2014. 90 p. ISBN 978-5-94614-328-8.
2. Zamylov V.E. Stoyachie volny kak resheniya polnoj sistemy uravnenij Nav'e – Stoksa v odnomernom sluchae [Standing waves as a solution of the complete system of the Navier – Stokes equations in one-dimensional case] // Computer technologies, 2013. Vol. 18. Issue № 2. P. 33–45. ISSN 1560-7534.
3. Sidorov A.F., Shapeev V.P., Yanenko N.N. Metod differencial'nyh svyazey i ego primeneniye v gazovoy dinamike [Method of differential constraints and its applications in gas dynamics]. Novosibirsk : Nauka, 1984. 272 p.
4. Stanley R. Perechislitel'naya kombinatorika [Enumerative combinatorics]. M. : Mir, 1990.
5. Titov S.S. Reshenie uravnenij s osobennost'yu v analiticheskikh shkalah banahovykh prostranstv [Equations solution with a peculiarity in analytical scales of banach spaces : preprint]. Ekaterinburg : Ural State Academy of Architecture and Art, 1999.
6. Titov S.S. Reshenie nelinejnykh uravnenij v analiticheskikh polialgebrakh [Solution of nonlinear equations in analytic polyalgebras] // News of Higher Educational Institutions. Mathematics, 2000. Vol. 1(452). P. 66–77.
7. Titov S.S. Reshenie nelinejnykh uravnenij v analiticheskikh polialgebrakh. II [Solution of nonlinear equations in analytic polyalgebras. II] // News of Higher Educational Institutions. Mathematics, 2000. Vol. 6(457). P. 45–52.
8. Titov S.S. Nelokal'nye resheniya zadachi Koshi v shkalah analiticheskikh polialgebr [Non-local solutions of the Cauchy Problem in scales of analytic polyalgebras] / Proceedings of the Institute of Mathematics and Mechanics, the Ural Branch of Russian Academy of Sciences, 2003. Vol. 9. Issue № 2. P. 105–128.

Статья сдана в редакцию 1 июня 2016 года

Управление в технических системах

УДК 656.21.001.2

Х.Т. Туранов, А.А. Гордиенко, Я.А. Бугров

**Результаты вычислений времени движения
и скорости вагона на первом скоростном участке
сортировочной горки при воздействии встречного ветра
с учётом сопротивлений среды**

UDC 656.21.001.2

Kh.T. Turanov, A.A. Gordienko, Ya.A. Bugrov

**Calculation results in respect of movement time
and railcar speed at first speed section of hump
under dead wind influence taking into account resistance
of ambient environment**

Аннотация

Впервые приведены силовые соотношения в системе «вагон-путь» на первом скоростном участке горки при воздействии проекции встречного ветра малой величины ($F_{\text{вх}} = 3,192$ кН), когда проекции этой силы приняты зависящими только от площади наветренной поверхности вагона с грузом. Эти силовые соотношения включают в себя сдвигающие (т. е. проекции силы тяжести вагона с грузом на направление движения

вагона) и удерживающие силы. В число удерживающих сил входят: 1) сила трения качения от воздействия проекции силы тяжести вагона с грузом как составляющая реакции связи (рельсовых нитей) и проекция встречного ветра на направление, перпендикулярное к продольной оси вагона; 2) сила трения скольжения гребней колёс о боковые поверхности рельсовой нити при воздействии проекции встречного ветра на боковую сторону вагона; 3) сила

сопротивления движению вагона от среды.

По разности сдвигающей и удерживающей сил и массы вагона с учётом инерции вращающихся частей (колёсных пар) согласно основному закону динамики тела с неидеальными связями (принцип Даламбера) вычисляются ускорение вагона при движении на первом скоростном участке горки при воздействии проекции встречного ветра с учётом сопротивления среды, учётом одновременного воздействия

Хабибулла Туранович Туранов, д-р техн. наук, профессор; кафедра «Станции, узлы и грузовая работа» Уральского государственного университета путей сообщения; Екатеринбург, Россия. E-mail: khturanov@yandex.ru.

Андрей Александрович Гордиенко, канд. техн. наук, ассистент; кафедра «Станции, узлы и грузовая работа» Уральского государственного университета путей сообщения; Екатеринбург, Россия. E-mail: gordiii89@yandex.ru.

Яков Андреевич Бугров, инженер; кафедра «Станции, узлы и грузовая работа» Уральского государственного университета путей сообщения; Екатеринбург, Россия. E-mail: yakovbugrov@gmail.com.

Khabibulla Turanovich Turanov, DSc. (Engineering), Professor; Department of Stations, Units and Loading Operations, Ural State University of Railway Transport; Ekaterinburg, Russia. E-mail: khturanov@yandex.ru.

Andrey Aleksandrovich Gordienko, Cand.Sc. (Engineering), Assistant; Department of Stations, Units and Loading Operations, Ural State University of Railway Transport; Ekaterinburg, Russia. E-mail: gordiii89@yandex.ru.

Yakov Andreevich Bugrov, engineer; Department of Stations, Units and Loading Operations, Ural State University of Railway Transport; Ekaterinburg, Russia. E-mail: yakovbugrov@gmail.com.

сопротивления среды и проекции попутного ветра на боковую сторону вагона. Время движения и скорость скатывания вагона относительно рельсовых нитей находят по классической формуле пути и скорости при равноускоренном движении тела элементарной физики. Построены графические зависимости времени движения и скорости скатывания вагона от длины пройденного пути. Впервые изложены результаты исследований движения вагона с ускорением на первом скоростном участке сортировочной горки в упрощённой постановке задачи с учётом только сопротивления среды и проекции встречного ветра на боковую сторону вагона.

Ключевые слова: железная дорога, станция, сортировочная горка, вагон, время и скорость вагона, движение вагона с ускорением на первом скоростном участке горки.

DOI:10.20291/2079-0392-2016-3-29-38

Abstract

This is the first introduction of force ratios in the railcar-track system at the first speed section of the hump

under the influence of projection of the small dead wind ($F_{\text{FBX}} = 3,192 \text{ kN}$), when projections of this force are accepted as dependent only on the area of the windward surface of a railcar with load. These force ratios include shear forces (i.e. projections of force of gravity of a railcar with load on direction of a railcar movement) and retention forces. The retention forces include: 1) a force of rolling friction from impact of projection of force of gravity of a railcar with load as a component of a constraining force (rails) and a projection of the dead wind on direction perpendicular to the railcar longitudinal axis; 2) a force of sliding friction of wheel flanges against the rail side surface under the influence of projection of the dead wind on the railcar side wall; 3) railcar motion resistance force from the ambient environment.

On the basis of the difference between the shear force and retention force values and the railcar weight taking into account the flywheel effect (set of wheels) in accordance with the fundamental law of body dynamics with frictional constraints (d'Alembert's principle), one can calculate

the railcar acceleration at the first speed section of the hump under the influence of projection of the dead wind taking into account resistance of the ambient environment, simultaneous impacts of resistance of the ambient environment and projection of the dead wind on the railcar side wall. Movement time and speed of railcar rolling-down in respect of the rails can be found using the classical path and speed formula with uniform body acceleration applied in elementary physics. The article shows the characteristic curves of movement time and speed of railcar rolling-down depending on the path length. The article provides the first results ever of studying of railcar movement with acceleration at the first speed section of the hump with the simplified problem statement, i.e. taking into account only the resistance of the ambient environment and the projection of the dead wind on the railcar side wall.

Keywords: railway, station, hump, railcar, time and railcar speed, railcar movement with acceleration at the first speed section of the hump.

DOI:10.20291/2079-0392-2016-3-29-38

Критический анализ результатов исследований по определению времени движения и скорости скатывания вагона по уклону сортировочной горки [1, 2] показал, что в них допущены некоторые неточности из-за неверного представления диаграммы скорости встречного ветра и скорости движения вагона по уклону сортировочной горки. По существу, сопротивления всякого рода (среды, стрелки, кривых, снега и иная) учтены при движении вагона на всей длине первого скоростного участка горки (СК1 участок горки), на

котором расположен стрелочный перевод [1, 2].

В настоящей статье исследуется в упрощённой постановке задача движения вагона на СК1 участке горки при воздействии проекции встречного ветра с учётом только сопротивления среды и проекции встречного ветра с боковой стороны вагона. Суть упрощённой постановки задачи, как и в [1–5], заключается в том, что в ней проекции силы встречного ветра F_{FB} приняты зависящими только от площади наветренной поверхности вагона с грузом $A_{\text{НАВ}}$,

т.е. $F_{rv} = f(A_{нав})$. Причём удельное давление на 1 м^2 площади принято равным $0,5 \text{ кН/м}^2$, как это широко используется при решении задачи крепления грузов на вагонах [6]. При этом заметим, что в [7–10] исследованы движения вагона по уклону сортировочной горки, когда проекции силы аэродинамического сопротивления F_{rv} приняты зависящими от квадрата скорости ветра v , т.е. $F_{rv} = f(v^2)$. Оказалось, что результаты этих исследований приемлемы лишь для значительных по величине скоростей ветра и сложны для практического использования.

Настоящая статья является продолжением серии статей [1–5, 7–16] по динамике скатывания вагона по уклону сортировочной горки. Отметим, что в ней впервые будут изложены результаты расчётов времени движения и скорости скатывания вагона на СК1 участке горки с учетом основных подходов и аналитических формул работ [1, 2, 5]. Также отметим, что на основе силовых соотношений, влияющих на систему «вагон-путь» при воздействии встречного ветра малой величины ($F_{rvx} = 3,192 \text{ кН}$), и формулы пути и скорости движения тела разрабатывается программа расчёта и проектирования сортировочной горки, позволяющая вычислить ускорение вагона, с которым вагон равноускоренно движется по уклону СК1 горки.

Необходимо привести конкретный пример расчёта времени и скорости вагона на СК1 участке горки по упрощённой методике, где по известной величине длины этого участка горки $l_1 = x(t_k)$ можно было бы найти время t_k , в течение которого происходит движение вагона с заданной начальной скоростью v_{01} , а по величине времени t_k – скорость вагона $v_{ek}(t_k)$. Здесь и далее $k = 1$ соответствует учёту воздействия только сопротивления среды ($F_c = F_{cp}$) и $k = 11$ – одновременному учёту воздействия сопротивления среды F_{cp} и проекции встречного ветра с боковой стороны вагона $F_{rv,y} = F_{тр,б}$ на участке СК1 горки.

Последовательность упрощённого подхода к решению задачи аналогична [1, 2, 5] и заключается в следующем.

1. Пусть вагон по уклону сортировочной горки входит на СК1 участок горки с заданной начальной скоростью (скорость надвига вагона на СК1 участок горки) v_{01} [17]. При прохождении одиночного вагона рассматриваемого участка горки полагаем, что вагон будет испытывать воздействие преимущественно внешних сил в виде силы тяжести вагона с грузом G , проекции силы встречного ветра малой величины (например, юго-восточного или северо-восточного) F_{rv} по продольной оси Ox и поперечной оси Oy в виде F_{rvx} и F_{rvy} , т.е. $(\bar{F}_{rvx}, \bar{F}_{rvy}) \in \bar{F}_{rv}$ (рис. 1), имея в виду, что в ней проекции силы сопротивления ветра приняты зависящими только от площади наветренной поверхности вагона с грузом [6].

Примем, что на вагон будут воздействовать силы трения качения колёс о поверхность катания рельсовых нитей $F_{тр,к}$ и трения скольжения гребней колёс о боковую поверхность рельсовой нити $F_{тр,ск}$ при учёте воздействия проекции ветра с боковой стороны вагона $F_{rv,y} = F_{rv,б}$, а также сопротивления среды F_{cp} [1–5].

2. При формировании расчётной модели движения вагона на участке СК1 горки аналогично [5] принято предположение, что колёсные пары по рельсовым нитям движутся при чистом качении колёс относительно поверхности катания рельсовых нитей $F_{тр,к}$ и скольжении гребней колёс о боковую поверхность рельсовых нитей $F_{тр,ск}$, которые появляются при воздействии проекции встречного ветра с боковой стороны вагона $F_{rv,y}$, т.е. $F_{тр,x} = F_{\tau} = F_{тр,к} + F_{тр,ск}$.

Учитывая вышеприведенные выражения и используя принцип освобожденности от связей механики [18], получим упрощённую расчётную модель движения вагона на СК1 горки (рис. 2; для сравнения см. рис. 3 [1]).

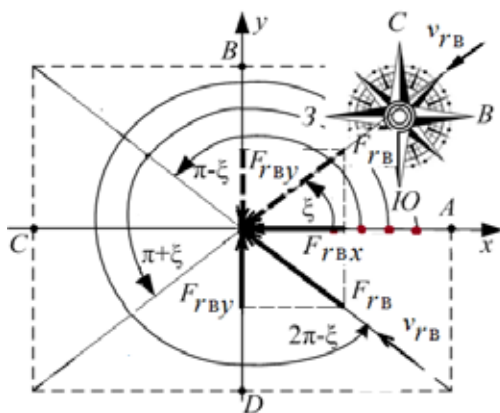


Рис. 1. Диаграмма попутного ветра юго-восточного или северо-восточного направлений*
 \bar{v}_{rB} – абсолютная скорость попутного ветра; $2\pi - \xi$ – направляющий угол вектора абсолютной скорости ветра \bar{v}_{rB} относительно горизонтали (ось Ox) для юго-восточного ветра; ξ – то же, что и для $2\pi - \xi$, только для северо-восточного направления ветра; \bar{F}_{rB} – сила воздействия встречного ветра; F_{rBx} и F_{rBy} – проекции силы воздействия \bar{F}_{rB} встречного ветра на оси Ox и Oy , т. е. $(\bar{F}_{rBx}, \bar{F}_{rBy}) \in \bar{F}_{rB}$. Если ветер северо-восточный, то сила F_{rBy} имеет противоположное направление

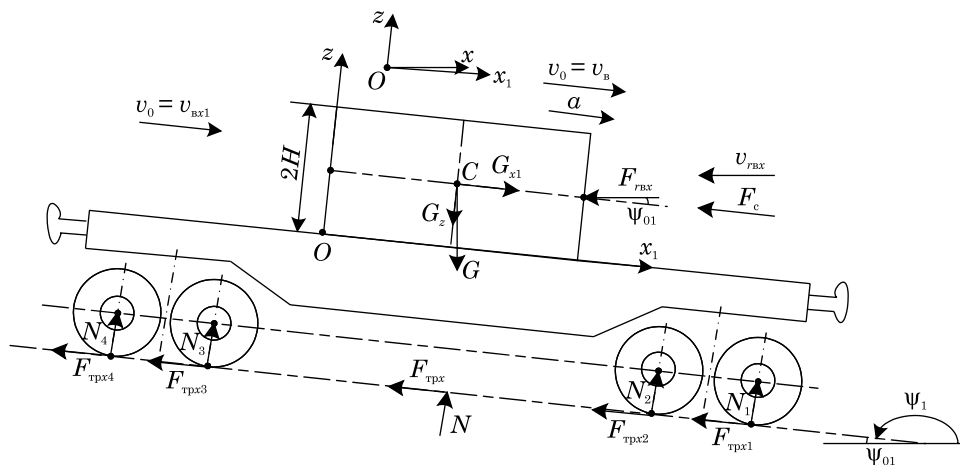


Рис. 2. Упрощённая расчётная модель движения вагона по профилю СК1 горки при воздействии встречного ветра

O – начала подвижной системы координат $Ox_1y_1z_1$, жёстко связанной с вагоном; Ox – ось по горизонтали; ψ_{01} – угол уклона (спуска) СК1 участка горки; v_{rBx} – относительная скорость воздуха; $v_0 = v_{bx1}$ – начальная скорость вагона [17]; v_B – скорость вагона; $F_c = F_{cp}$ – сила сопротивления среды; N и $F_{тр,x}$ – нормальная и касательная составляющие реакции связей (рельсовых нитей). Причём $N = N_1 + N_2 + N_3 + N_4$ и $F_{тр,x} = F_{тр,x1} + F_{тр,x2} + F_{тр,x3} + F_{тр,x4}$ как параллельные силы

* Качество иллюстраций соответствует качеству предоставленных оригиналов.

Таким образом, с использованием основного принципа Даламбера и классических формул пути и скорости тела элементарной физики по известной величине длины СК1 участка горки $l_1 = x(t_k)$ следует найти время t_k , в течение которого происходит движение вагона с заданной начальной скоростью v_{01} , а по величине времени t_k – скорость скатывания вагона $v_{ek}(t_k)$.

Вычисление времени движения и скорости вагона на СК1 участке горки при воздействии проекции встречного ветра выполняют в следующей последовательности.

При проектировании сортировочной горки длину СК1 участка горки l_1 принимают согласно принятым рекомендациям [19]. Например, если уклон горки 50 промилле, $\psi_{01} = 0,05$ рад = $2,865^\circ$ ($\text{tg}\psi_{01} = 0,05$), то длина рассматриваемого участка горки $l_1 \approx 39,95$ м.

Рассчитывают «сдвигающую» силу $F_{сд.х1}$ (т. е. проекцию силы тяжести вагона с грузом G_{x1} на направление скатывания вагона по оси Ox_1 (см. рис. 2 и формулу (3) [1]):

$$F_{сд.х1} = G \sin(\psi_{0k}), \quad (1)$$

где G – сила тяжести вагона с грузом с учётом инерции вращающихся масс, кН.

Например, если $G = 908$ кН (без учёта этой инерции $G = 794$ кН при силе тяжести груза $G_{гр} = 650$ кН); $\sin(\psi_{01}) = 0,05$, то $F_{сд.х1} = 45,381$ кН.

Вычисляют силу трения качения $F_{тр.к}$ от проекции силы тяжести вагона с грузом G_z и силы сопротивления встречного ветра $F_{рвх}$ на направление оси Oz (см. рис. 2) как касательную составляющую реакции связи (рельсовых нитей) F_r , которая согласно закону Кулона равна (см. (6) [1])

$$F_{тр.к} = f_0(G \cos(\psi_{0k}) + F_{рвх} \sin(\psi_{0k})), \quad (2)$$

где f_0 – приведённый коэффициент трения качения, учитывающий количество колёс в тележках, трение качения (по кольцам подшипника и колесо по рельсу) (обычно принимают $f_0 = 0,0001$)

[1–5, 7–10]. Например, если $f_0 = 0,0001$, $G = 908$ кН – сила тяжести вагона с грузом с учётом инерции вращающихся масс (без учёта этой инерции $G = 794$ кН при силе тяжести груза $G_{гр} = 650$ кН), $\cos(\psi_{01}) = 0,999$, $F_{рвх} = 3,192$ кН (поскольку площадь торцевой поверхности вагона с грузом $A_t = 6,384$ м² [1]), $\sin(\psi_{01}) = 0,05$, то $F_{тр.х1} = F_{тр.к} = 0,094$ кН.

Вычисляют силу трения скольжения $F_{тр.ск}$ от воздействия проекции ветра с боковой стороны вагона $F_{рв.у} = F_{рв.б}$ как касательную составляющую реакции связи (рельсовых нитей) F_r , которая по закону Кулона равна (см. формулу (8) [1])

$$F_{тр.б.х} = F_{тр.ск} = f_{ск0} F_{рв.у} = f_{ск0} F_{рв.б}, \quad (3)$$

где $f_{ск0}$ – коэффициент трения скольжения гребней колёс о боковую поверхность рельсовой нити (обычно принимают до $f_{ск0} = 0,25$). Например, если $f_{ск0} = 0,25$, $F_{рв.у} = F_{рв.б} = 13,68$ кН (поскольку площадь боковой поверхности вагона с грузом $A_б = 27,36$ м² [1]), то $F_{тр.б.х} = F_{тр.ск} = 3,42$ кН.

С учётом формул (3) и (4) вычисляют силу трения вдоль движения вагона как сумму сил трения качения $F_{тр.к}$ и сил трения скольжения $F_{тр.ск}$ с учётом воздействия проекции ветра с боковой стороны вагона $F_{рв.у}$:

$$F_{тр.х1} = f_\tau = F_{тр.к} + F_{тр.ск}. \quad (4)$$

Например, если $F_{тр.к} = 0,094$, $F_{тр.ск} = 3,42$ кН, то $F_{тр.х1} = 3,514$ кН.

Находят силы сопротивления движению вагона от среды $F_{ср}$ в виде (см. формулу (7) [1]):

$$F_{ср} = k_{ср} G, \quad (5)$$

где $k_{ср}$ – коэффициент, учитывающий долю силы тяжести G с учётом сопротивления среды (обычно в пределах 0,0005–0,0011 при скорости встречного ветра от 4 до 6 м/с) [20, с. 182]. Например, если $k_{ср} = 0,00096$ и $G = 908$ кН, то $F_{ср} = 0,872$ кН.

Вычисляют удерживающие силы $F_{уд.х1}$, оказывающие сопротивление движению вагона на СК1 участке горки в виде (см. формулу (9) [1]):

$$F_{удk.x1} = F_{рвх} \cos(\psi_{0k}) + F_{тр.к} + F_{ср} + F_{тр.ск} \quad (6)$$

или

$$F_{удk.x1} = F_{рвх} \cos(\psi_{0k}) + f_0(G \cos(\psi_{0k}) + F_{рвх} \sin(\psi_{0k})) + k_{ср}G + f_{ск0}F_{рвб}. \quad (7)$$

Здесь по-прежнему $k = 1$ соответствует учёту только сопротивления среды $F_{ср}$, а $k = 11$ – учёту одновременно воздействия сопротивления среды $F_{ср}$ и проекции ветра с боковой стороны вагона $F_{тр.б}$.

Например, при вычислении $F_{удk.x1}$ по формуле (7): если $F_{рв.х} = 3,192$ кН, $\cos(\psi_{01}) = 0,999$, $F_{тр.к} = 0,094$ кН (по формуле (2)), $F_{ср} = 0,872$ кН, то при воздействии только сопротивления среды $F_{ср}$: $F_{уд1.x1} = 4,154$ кН, а при одновременном воздействии сопротивления среды $F_{ср}$ и проекции ветра с боковой стороны вагона $F_{рвб} = F_{рвб.х}$: $F_{рвб.у} = 13,68$ кН, $F_{трб.х} = F_{трб.к} = 3,42$ кН (по формуле (3)), $F_{уд11.x1} = 7,574$ кН.

Рассчитывают разность сдвигающей $F_{сд.x1}$ и удерживающей $F_{удk.x1}$ сил в виде F_k , кН:

$$F_k = F_{сд.x1} - F_{удk.x1}. \quad (8)$$

Например, если $F_{сд.x1} = 43,381$ кН; $F_{уд2.x1} = 4,154$ кН, то $F_1 = 41,227$ кН – сила, при воздействии которой происходит движение вагона с ускорением на СК1 участке горки при воздействии сопротивления среды $F_{ср}$, а при одновременном учёте сопротивления среды $F_{ср}$ и проекции ветра с боковой стороны вагона $F_{рвб}$: $F_{уд01.x1} = 7,574$ кН, то $F_{11} = 37,807$ кН.

По значению силы F_k и массы вагона M с учётом инерции вращающихся частей (колёсных пар) находят ускорение вагона a_k при движении на рассматриваемом участке горки с ускорением, м/с² (см. формулу (13) [1]):

$$a_k = \frac{F_k 10^3}{M}. \quad (9)$$

Например, если $M = 9,256 \cdot 10^4$ кг – масса вагона с грузом с учётом инерции вращающихся частей вагона

и $F_1 = 41,227$ кН, то ускорение вагона, при котором происходит ускоренное движение при учёте только сопротивления среды $F_{ср}$, $a_1 = 0,445$ м/с² (если учесть одновременное воздействие сопротивления среды $F_{ср}$ и проекции ветра с боковой стороны вагона $F_{рвб}$, то при $F_{11} = 37,807$ кН, $a_{11} = 0,408$ м/с²).

Вычисляют время t_k , с, в течение которого происходит прямолинейное равноускоренное движение вагона на СК1 участке горки длиной l_1 в виде $t_k(l_j) = f(v_{0k}, a_k, l_j)$ (см. формулу (16) [5]), где v_{01} – начальная скорость вагона (скорость надвига вагона на СК1 участок горки), м/с. Согласно таблице 4.6 [17], для неблагоприятных условий скатывания для горок большой и повышенной мощности $v_{01} = 1,7$ м/с.

Например, если $v_{01} = 1,47$ м/с, $a_1 = 0,445$ м/с², $l_1 = 39,95$ м, то время, в течение которого происходит скатывание вагона на СК1 участке горки при воздействии сопротивления среды $F_{ср}$ – $t_1 = 10,11$ с, при учёте одновременного воздействия сопротивления среды $F_{ср}$ и проекции ветра с боковой стороны вагона $F_{рвб}$ (т. е. $v_{01} = 1,7$ м/с и $a_{11} = 0,408$ м/с²) – $t_{11} = 10,43$ с.

При необходимости можно построить графическую зависимость $t_k = f(l_1)$.

Определяют скорость вагона на СК1 участке горки $v_{ek}(t)$ по классической формуле физики при равноускоренном движении тела – $v_{ek}(t_k) = f(v_{0k}, a_k, t_k)$, где $k = 1$ и 11 (см. формулу (13) [5]). Например, для заданных исходных данных: $v_{01} = 1,7$ м/с, $a_1 = 0,445$ м/с², $t_1 = 10,11$ с скорость вагона на СК1 участке горки при воздействии сопротивления среды $F_{ср}$ – $v(t_1) = 6,203$ м/с, или $22,3$ км/ч, а при учёте воздействия сопротивления среды $F_{ср}$ и проекции ветра с боковой стороны вагона $F_{рвб}$ ($v_{01} = 1,7$ м/с, $a_{11} = 0,408$ м/с², $t_{11} = 10,43$ с), $v(t_{11}) = 5,96$ м/с, или $21,45$ км/ч.

Вычисляют скорость скатывания вагона на участке СК1 горки в зависимости от длины пройденного пути l_1 , т. е. $v_{ek}(l_1) = f(v_{0k}, a_k, l_1)$ (см. формулу (17) [5]). Например, для заданных исходных

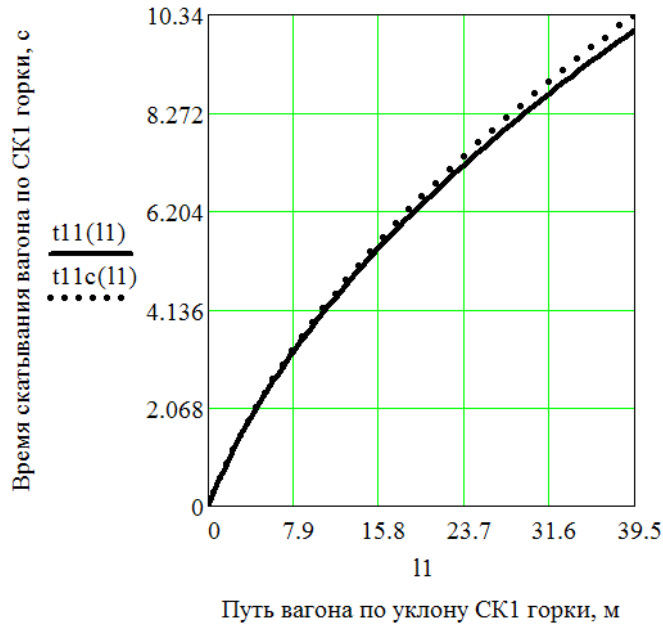


Рис. 3. Графическая зависимость времени движения вагона на СК1 участке горки

данных: $v_{01} = 1,7$ м/с, $a_1 = 0,445$ м/с², $l_1 = 39,95$ м скорость вагона на участке СК1 горки при воздействии сопротивления среды $F_{cp} - v(l_1) = 6,2$ м/с, а с учётом воздействия сопротивления среды F_{cp} и проекции ветра с боковой стороны вагона $F_{rv.6}$ ($v_{01} = 1,7$ м/с, $a_{11} = 0,408$ м/с²) $v(l_{11}) = 5,96$ м/с.

Приведем результаты вычислений времени и скорости скатывания вагона на СК1 участке горки с использованием программы MathCAD [21].

Для примера покажем графические зависимости времени движения вагона с горки от пройденного пути, скорости его скатывания на СК1 участке горки в любой момент времени t , а также от пройденного пути.

Зависимость времени движения вагона $t_k(l_1)$, с, от длины рассматриваемого участка сортировочной горки l_j ($l_1 := 0,1-39,9$ м) при воздействии только сопротивления среды F_{cp} в виде $t_{11}(l_1)$ и одновременного воздействия F_{cp} и $F_{rv.6}$ в виде $t_{11c}(l_1)$, значение которого вычисляют по $t_k(l_j)$. Результаты вычислений представлены на рис. 3.

Графические зависимости скорости скатывания вагона на СК1 участке горки от пройденного пути по $v_{ek}(l_1)$ при учёте воздействия только сопротивления среды F_{cp} в виде графика $v_{e1}(l_1)$ и при учёте одновременного воздействия F_{cp} и $F_{rv.6}$ в виде графика $v_{e1c}(l_1)$, м/с, представлены на рис. 4.

Графики, представленные на рис. 3 и 4, в дальнейшем необходимы для построения зависимости скорости скатывания вагона от длины спускной части сортировочной горки.

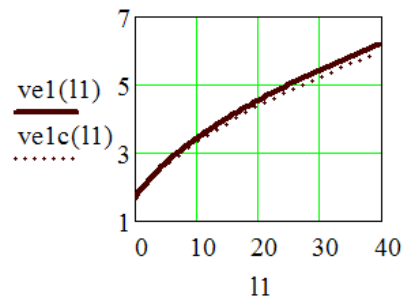


Рис. 4. Графическая зависимость скорости скатывания вагона на СК1 участке горки от пройденного пути

Обобщая результаты исследований, полученных на примере с учётом воздействия сопротивлений среды $F_{\text{ср}}$, можно отметить, что если время движения вагона, например, при $k = 1$: $t_1 = 10,11$ с, то его скорость $v(t_1) = 6,2$ м/с, или 22,3 км/ч, а при одновременном воздействии сопротивлений среды $F_{\text{ср}}$ и проекции ветра с боковой стороны вагона $F_{\text{гву}}$ при $k = 11$: $t_{11} = 10,43$ с его скорость $v(t_{11}) = 5,96$ м/с, или 21,5 км/ч. Как видно, на СК1 участке горки при учёте одновременного воздействия $F_{\text{ср}}$ и $F_{\text{гву}}$ время движения вагона увеличивается, а скорость скатывания вагона уменьшается.

Выводы

Вычисленные конкретные значения сил, способствующие и препятствующие движению вагона на СК1 участке горки при воздействии встречного ветра малой величины с учётом только сопротивления среды и проекции ветра

с боковой стороны вагона, дали возможность определить ускорение вагона при его равноускоренном движении на первом скоростном участке сортировочной горки.

Результаты вычислений ускорения вагона a_k и известное значение пройденного расстояния вагона l_1 на СК1 участке горки позволили вычислить время движения вагона t_k при различных условиях (воздействие только сопротивления среды и проекции встречного ветра с боковой стороны вагона). С использованием величины t_k определена скорость скатывания вагона в конце рассматриваемого участка горки $v_k(t_k)$.

Результаты исследований могут быть использованы для уточнённого расчета последующих участков горки, а в дальнейшем – для разработки программы расчёта и проектирования спускной части сортировочной горки. ■

Литература

1. Туранов Х.Т. Аналитическое описание движение вагона на первом скоростном участке сортировочной горки при воздействии встречного ветра малой величины / Х.Т. Туранов, А.А. Гордиенко // Транспорт Урала. 2015, № 2 (45). С. 7–12. ISSN 1815-9400.
2. Туранов Х.Т. Новая методика расчёта времени и скорости вагона на первом скоростном участке сортировочной горки при воздействии встречного ветра малой величины / Х.Т. Туранов, А.А. Гордиенко // Транспорт Урала. 2015, № 3 (46). С. 11–16. ISSN 1815-9400.
3. Туранов Х.Т. Математические модели скорости скатывания вагона на втором скоростном участке сортировочной горки при воздействии встречного ветра малой величины / Х.Т. Туранов, А.А. Гордиенко // Вестник УрГУПС. 2015, № 2 (26). С. 21–35. ISSN 2079-0392.
4. Туранов Х.Т. Пример расчёта времени и скорости вагона на втором скоростном участке сортировочной горки при воздействии встречного ветра малой величины по новой методике / Х.Т. Туранов, А.А. Гордиенко // Вестник УрГУПС. 2015, № 3 (27). С. 25–35. ISSN 2079-0392.
5. Turanov Kh., Gordienko A., Myagkova A. (2015). Analytical Description of Wagon Motion on the Second Speed Section of the Marshalling Hump with Switch Zone under the Impact of Fair Wind. Journal of Multidisciplinary Engineering Science and Technology (JMEST), Vol. 2 Issue 11, November – 2015. Berlin, Germany. ISSN 3159-0040.
6. Приложение 3 к СМГС «Технические условия размещения и крепления грузов» [Электронный ресурс]. URL: <http://osjd.org/doco/public/ru>. (дата обращения: 04.04.2016).
7. Turanov Kh. Analytical investigation of wagon speed and traversed distance during wagon hump rolling under the impact of gravity forces and head wind. Global Journal of Researches in Engineering // A. Mechanical and Mechanics Engineering. Vol. 14. 2014. New York. 1–9.
8. Туранов Х.Т. Уточнённые математические модели движения вагона по уклону сортировочной горки при воздействии силы тяжести и встречного ветра / Х.Т. Туранов, А.А. Гордиенко // Наука и техника транспорта. 2015. № 1. С. 16–24. ISSN 2074-9325.

9. Туранов Х.Т. Математическое описание движения вагона на прямом участке горки при воздействии встречного ветра / Х.Т. Туранов, А.А. Гордиенко // Транспорт Урала. 2015, № 1 (44). С. 8–13. ISSN 1815-9400.
10. Turanov Kh., Gordienko A. Analytical Determination of Conditions of Wagon Rolling Down Marshalling Hump Profiles. Pp. 1–11.
11. Кобзев В.А. Особенности расчёта спускной части сортировочных горок методом покоординатного спуска / В.А. Кобзев, С.Н. Шмаль // Наука и техника транспорта. 2014. С. 17–20. ISSN 2074-9325.
12. Рудановский В.М. Об определении удельных сопротивлений движению вагонов на путях с переменным уклоном // Вестник Всесоюз. научно-исслед. ин-та ж.-д. транспорта. 1969. № 1. С. 46–50.
13. Старшов И.П. Определение воздушного сопротивления движению вагонов на сортировочных горках // Вестник Всесоюз. научно-исслед. ин-та ж.-д. транспорта, 1970. № 6. С. 16–20.
14. Сопротивление движению грузовых вагонов при скатывании с горок / Труды «Вестник Всесоюз. научно-исслед. ин-та ж.-д. транспорта». – Вып. 545 / под ред. Е.А. Сотникова. – М. : Транспорт, 1975. 104 с.
15. Рудановский В.М. Влияние погрешностей АРС на образование «окон» и скорость соударения отцепов в подгорочном парке // Вестник Всесоюз. научно-исслед. ин-та ж.-д. транспорта, 1977. № 3. С. 47–50.
16. Устенко А.Б. Оценка надежности и эффективности систем прицельного регулирования скорости движения вагонов на сортировочных горках / А.Б. Устенко, В.М. Рудановский, Н.М. Фонарев // В кн. : Повышение надежности технических средств на станциях : сб. науч. тр. – М.: Транспорт, 1984. С. 21–35.
17. Правила и нормы проектирования сортировочных устройств на железных дорогах колеи 1520 мм. – М. : Изд-во «Техинформ», 2003. 168 с.
18. Лойцянский Л.Г. Курс теоретической механики. Т. II. Динамика / Л.Г. Лойцянский, А.И. Лурье. – М. : Наука, 1983. 640 с.
19. Земблинов С.В. Альбом схем элементов станций и узлов / С.В. Земблинов, И.И. Страковский. – М. : Всесоюз. изд.-полиграфич. объедин. МПС, 1963. 89 с.
20. Образцов В.Н. Станции и узлы. М. : Трансжелдориздат. Ч. II. 1938. 492 с.
21. Кирьянов Д.В. MathCAD 15 / MathCAD Prime 1.0. СПб : БХВ-Петербург, 2012. – 432 с.

References

1. Turanov Kh.T. Analiticheskoe opisanie dvizhenie vagona na pervom skorostnom uchastke sortirovochnoj gorki pri vozdeystvii vstrechnogo vetra maloj velichiny [Analytical description of the wagon movement on the first speed section of marshalling hump with an impact of fair headwind] / Kh.T. Turanov, A.A. Gordienko // Transport of the Urals. 2015. № 2 (45). P. 7–12. ISSN 1815-9400.
2. Turanov Kh.T. Novaya metodika raschyota vremeni i skorosti vagona na pervom skorostnom uchastke sortirovochnoj gorki pri vozdeystvii vstrechnogo vetra maloj velichiny [The new method of calculating the time and speed of the car on the first speed section of marshalling hump with an impact of fair headwind] / Kh.T. Turanov, A.A. Gordienko // Transport of the Urals. 2015. № 3 (46). P. 11–16. ISSN 1815-9400.
3. Turanov Kh.T. Novaya metodika raschyota vremeni i skorosti vagona na pervom skorostnom uchastke sortirovochnoj gorki pri vozdeystvii vstrechnogo vetra maloj velichiny [Mathematical models of the rolling speed of the car at the second speed section of marshalling hump with an impact of fair headwind] / Kh.T. Turanov, A.A. Gordienko // Herald of USURT. 2015. № 2 (26). P. 21–35. ISSN 2079-0392.
4. Turanov Kh.T. Primer raschyota vremeni i skorosti vagona na vtorom skorostnom uchastke sortirovochnoj gorki pri vozdeystvii vstrechnogo vetra maloj velichiny po novoj metodike [Example of calculating the time and speed of the car on the second section of marshalling hump with an impact of fair headwind using the new methodic] / Kh.T. Turanov, A.A. Gordienko // Herald of USURT. 2015. № 3 (27). P. 25–35. ISSN 2079-0392.
5. Turanov Kh.T., Gordienko A.A., Myagkova A. Analytical Description of Car Motion on the Second Speed Section of the Marshalling Hump with Switch Zone under the Impact of Fair Wind. Journal of Multidisciplinary Engineering Science and Technology (JMEST), Vol. 2. Issue 11. November, 2015. Berlin, Germany. ISSN 3159-0040.

6. Annex 3 to SMGS «Specifications Cargo Stowage and Securing» [Electronic resource]. URL: <http://osjd.org/doco/public/ru>. (accessed date: 04.04.2016).
7. Turanov Kh.T. Utochnyonnye matematicheskie modeli dvizheniya vagona po uklonu sortirovochnoj gorki pri vozdeystvii sily tyazhesti i vstrechnogo vetra [Analytical investigation of wagon speed and traversed distance during wagon hump rolling under the impact of gravity forces and head wind. Global Journal of Researches in Engineering] // A. Mechanical and Mechanics Engineering. Vol. 14. 2014. New York. 1–9.
8. Turanov Kh.T. Utochnyonnye matematicheskie modeli dvizheniya vagona po uklonu sortirovochnoj gorki pri vozdeystvii sily tyazhesti i vstrechnogo vetra [The refined mathematical models of wagon movement on the slope of the marshalling hump with an impact of gravity and headwind] / Kh.T. Turanov, A.A. Gordienko // Science and Transportation Equipment. 2015. № 1. P. 16–24. ISSN 2074-9325.
9. Turanov Kh.T. Matematicheskoe opisanie dvizheniya vagona na pryamom uchastke gorki pri vozdeystvii vstrechnogo vetra [The mathematical description of the movement of the wagon on a straight section slides with an impact of fair headwind] / Kh.T. Turanov, A.A. Gordienko // Transport of the Urals. №1, 2015. (44). S. 8–13. ISSN 1815-9400.
10. Turanov Kh.T., Gordienko A.A. Analitical Determination of Conditions of Wagon Rolling Down Marshalling Hump Profiles. Pp. 1–11.
11. Kobzev V.A. Osobennosti raschyota spusknoj chasti sortirovochnyh gorok metodom pokoordinatnogo spucka [Features of the calculation of the marshalling humps drain part using coordinate-wise drain] / V.A. Kobzev, S.N. Schmal // Science and Transportation Equipment. 2014. P. 17–20. ISSN 2074-9325.
12. Rudanovsky V.M. Ob opredelenii udel'nyh soprotivlenij dvizheniyu vagonov na putyah s peremennym uklonom [On determination of the specific resistance to movement of wagons on the roads with a variable angle] // Herald of the USSR scientific-research institute of railway transport. 1969. № 1. P. 46–50.
13. Starshov I.P. Opredelenie vozdušnogo soprotivleniya dvizheniyu vagonov na sortirovochnyh gorkah [Determination of air resistance to wagon movement on marshalling humps] // Materials of Herald of the USSR scientific-research institute of railway transport. 1970. № 6. P. 16–20.
14. The resistance movement of freight wagons in the process of sliding down a hump [Soprotivlenie dvizheniyu gruzovyh vagonov pri skatyvanii s gorok] / Materials of Herald of the USSR scientific-research institute of railway transport. – V. 545 / Ed. E.A. Sotnikova. – M. : Transport, 1975. 104 p.
15. Rudanovsky V.M. Vliyanie pogreshnostej ARS na obrazovanie «okon» i skorost' soudareniya otcepov v podgorochnom parke [Influence of ARS errors on the formation of «windows» and the collision speed to unhook Underhill park] // Materials of Herald of the USSR scientific-research institute of railway transport. 1977. № 3. P. 47–50.
16. Ustenko A.B. Ocenka nadezhnosti i ehffektivnosti sistem priceľnogo regulirovaniya skorosti dvizheniya vagonov na sortirovochnyh gorkah [Evaluation of reliability and efficiency of the systems impact the speed control cars on marshalling humps] / A.B. Ustenko, V.M. Rudanovsky, N.M. Fonarev // Book : Improving the reliability of technical equipment at the stations: colection of scientific works. – M. : Transport, 1984. Pp. 21–35.
17. Rules and regulations of the design of sorting devices on railways of 1520 mm [Pravila i normy proektirovaniya sortirovochnyh ustroystv na zheleznyh dorogah kolei 1520 mm]. M. : Publishing house «Techninform», 2003. 168 p.
18. Loitsiansky L.G. Kurs teoreticheskoy mekhaniki. T. II. Dinamika [Course of theoretical mechanics. V. II. Dynamics] / L.G. Loitsiansky, A.I. Lurie. – M. : Nauka, 1983. 640 p.
19. Zemblinov S.V. Al'bom skhem ehlementov stancij i uzlov [Album of stations circuit elements and components] / S.V. Zemblinov, I.I. Strakovsky – M. : USSR Publishing union MPS, 1963. 89 p.
20. Obrazcov V.N. Stancii i uzly [Stations and units]. – M. : Transzheldorizdat. Part II. 1938. 492 p.
21. Kiryanov D.V. MathCAD 15 [MathCAD 15] / MathCAD Prime 1.0. SPb : BHV-Petersburg, 2012. 432 p.

Статья сдана в редакцию 18 апреля 2016 года

УДК 629.4.014.8

В.Ф. Лапшин, А.В. Намятов, В.Н. Панкин

Обеспечение безопасности технологического специального железнодорожного подвижного состава в условиях термонагруженности

UDC 629.4.014.8

V.F. Lapshin, A.V. Namyatov, V.N. Pankin

Safety assurance for techlogical special-purpose railway rolling stock under conditions of thermal load

Аннотация

Для большинства конструкций подвижного состава необщего пользования характерно тепловое воздействие транспортируемого груза на узлы и элементы вагонов, определяющее условия их эксплуатации. В работе рассматриваются вопросы механической, термической безопасности вагона-термоса, используемого на металлургических предприятиях как технологическая камера.

Общая методика исследований построена на использовании метода конечных элементов в теплотехнике, методах теплопередачи, трехмерном твердотельном моделировании и теплотехнических измерениях в реальных условиях. Для упрощения математического

описания в работе применен традиционный для задач теплотехники способ: взаимодействие твердого тела с газом сводится к рассмотрению процесса теплопроводности, а их взаимодействие учитывается через граничные условия. Такой подход позволил исключить из рассмотрения уравнения гидродинамики обтекания твердого тела газом.

Оценка механической безопасности выполнялась от действия трех сочетаний нагрузок с использованием критерия максимального напряжения по Мизесу, учитывающего появление в материале малых пластических деформаций. Показано, что рассматриваемая конструкция вагона-термоса для металлургических заготовок обеспечивает выполнение

условий эксплуатации с учетом внешних температурных и механических воздействий.

Выполнен анализ распределения температур на поверхностях элементов вагона-термоса, на основании которого сделан вывод о необходимости принятия дополнительных мер по обеспечению термической безопасности.

Ключевые слова: вагон-термос, металлургическая заготовка, тепловой процесс, механическая безопасность, термическая безопасность, сохранность вагона, метод конечных элементов, численный эксперимент, температурное поле, эквивалентное напряжение.

DOI:10.20291/2079-0392-2016-3-39-53

Василий Федорович Лапшин, д-р техн. наук, профессор; кафедра «Вагоны» Уральского государственного университета путей сообщения; Екатеринбург, Россия. E-mail: VLapshin@usurt.ru.

Андрей Викторович Намятов, инженер-конструктор; ООО «Уральское конструкторское бюро вагоностроения»; Нижний Тагил, Россия; E-mail: ukbv@uvz.ru.

Владимир Николаевич Панкин, канд. техн. наук, доцент; кафедра «Подвижной состав железных дорог» Дальневосточного государственного университета путей сообщения; Хабаровск, Россия. E-mail: vnpankin@mail.ru.

Vasily Fedorovich Lapshin, DSc. (Engineering), Professor; Department of Railway Cars, Ural State University of Railway Transport; Ekaterinburg, Russia. E-mail: VLapshin@usurt.ru.

Andrey Viktorovich Namyatov, Design-Engineer; Ural Railcar-Building Design Office LLC; Nizhni Tagil, Russia. E-mail: ukbv@uvz.ru.

Vladimir Nikolaevich Pankin, Cand.Sc. (Engineering), Assistant Professor; Department of Railway Rolling Stock, Far Eastern State Transport University; Khabarovsk, Russia. E-mail: vnpankin@mail.ru.

Abstract

The majority of non-public rolling stock structures is characterized by the thermal impact of transported cargo on railcar units and elements which determines their operation conditions. The article considers a thermos railcar used as a process chamber at iron and steel enterprises.

The general research methods are based on application of the finite element method used in thermal engineering, heat transmission methods, 3D solid modeling and actual heat measurements. In order to make mathematical descriptions simpler in the article we apply the traditional method used

to solve thermal engineering problems: interaction between the solid body and the gas is reduced to consideration of heat conduction process, and their interaction is taken into consideration through the boundary conditions. Such approach allowed excluding hydrodynamic equations of gas flow around the solid body from consideration.

Mechanical safety assessment was performed on the basis of three load combinations using the maximum von Mises stress criterion which takes into account occurrence of any small plastic strains in the material. The article shows that the thermos railcar structure in question ensures

fulfillment of operation conditions taking into account external thermal and mechanical effects.

The analysis of temperature distribution on surface of thermos railcar elements was carried out; on the basis of this analysis the conclusion was made about necessity to take additional measures on thermal safety assurance.

Key words: thermos railcar, semifinished metallurgical product, thermal process, mechanical safety, thermal safety, railcar safety and integrity, finite element method, numerical experiment, temperature pattern, equivalent stress.

DOI:10.20291/2079-0392-2016-3-39-53

Состояние вопроса

Современные вагоны промышленного транспорта предназначены для технологических и внутренних перевозок на промышленных предприятиях, но их зачастую используют в технологической цепочке производства. Технологический подвижной состав проектируется исходя из требований заказчика по обеспечению максимальной производительности при оптимальных технико-экономических показателях, необходимых условий безопасности движения и обслуживающего персонала, охране окружающей природной среды. Но применение в конструкциях технологических вагонов серийных узлов (тележек, буксовых узлов, автосцепок, поглощающих аппаратов, узлов и деталей тормозного оборудования, и других) и отсутствие норм проектирования таких вагонов ставят проектную организацию перед необходимостью использовать нормативную документацию для подвижного состава железнодорожного транспорта общего пользования [1, 2].

Под безопасностью железнодорожного подвижного состава будем понимать такое «состояние железнодорожного подвижного состава, при котором

отсутствует недопустимый риск, связанный с причинением вреда жизни или здоровью граждан, имуществу физических или юридических лиц, государственному или муниципальному имуществу, а также окружающей среде, жизни или здоровью животных и растений» [1]. Весь проектируемый железнодорожный подвижной состав должен обеспечивать механическую, термическую, и другие виды безопасности «... путем осуществления комплекса научно-исследовательских и опытно-конструкторских работ при проектировании продукции, а также проведения комплекса расчетов, основанных на апробированных методиках» (там же). Если требования механической безопасности регламентируются «Нормами расчета и проектирования...» [2], то вопросы, связанные с обеспечением термической безопасности подвижного состава, в нормативной документации не рассматриваются.

В работе рассматривается вагон-термос модели 23-5165 (рис. 1) на тележках модели 18-194-1 и колесных парах типа РВ2Ш-957Г, оборудованных подшипниками кассетного типа производства SKF в габаритах 150×250×160 мм.

Вагон-термос используется для внутри-заводских технологических перевозок заготовок (бloomсов, слабов) металлургического производства и состоит из платформы, на которую укладываются заготовки температурой свыше 500°C , и колпака с термоизоляционными элементами из промышленного фетра [3]. Главное преимущество таких вагонов заключается в том, что они используются одновременно как средство транспортировки заготовок, так и технологическая температурная камера. По технологии, применяемой на металлургических заводах, после укладки горячих заготовок на платформу устанавливают колпак. Вагоны выкатывают за пределы цеха, где они находятся около 20–24 ч. В результате заготовки подвергаются противоблоксной термообработке [4] и дальнейшей обработке в соответствии с технологическим маршрутом.

Проектирование таких вагонов требует исследования всех аспектов, вызванных тепловыми процессами за время противоблоксной обработки металлургических заготовок. Изучение таких процессов представляет практический интерес по ряду причин. С одной

стороны, это температурные напряжения, негативно влияющие на прочность элементов конструкции и необходимость обеспечения требований сохранности узлов и деталей (тормозной цилиндр, буксовый узел, воздухораспределитель и др.) в условиях высоких температур. С другой, потребность обеспечения технологического эффекта охлаждения заготовок. Еще один фактор, определяющий конструктивное исполнение данного типа подвижного состава, – обеспечение безопасных условий труда (исключение ожогов при обслуживании вагонов).

Исследованию тепловых процессов, оказывающих влияние на подвижной состав в процессе эксплуатации, посвящены работы [5–8]. С точки зрения обеспечения сохранности элементов подвижного состава, наиболее близким к рассматриваемому случаю по характеру теплового воздействия на конструкцию вагона является разогрев вагонов в тепляках.

В работе [9] рассмотрены тепловые процессы, протекающие в вагоне-термосе с точки зрения обеспечения технологического эффекта при охлаждении заготовок металлургического



Рис. 1. Вагон-термос для металлургических заготовок

производства. Результаты моделирования процесса отпуска заготовок показали возможность использования для этих целей вагонов-термосов; были получены зависимости охлаждения поковок при различных параметрах теплоизоляции вагона.

Для исследования температурных полей и оценки напряженно-деформированного состояния конструкции вагона-термоса авторами разработана конечно-элементная модель механической системы «платформа-заготовка-колпак» [10]. Объемная расчетная модель вагона-термоса учитывает условия взаимодействия между элементами конструкции колпака, рамы и слябов. Так, в местах приварки элементов конструкции рамы и колпака вагона-термоса применяется контакт типа «линия-плоскость» без возможности раскрытия и относительного смещения, болтовые соединения представлены с учетом температурной составляющей, обеспечивающей конструкции возможность «дышать». Для описания контактирующих поверхностей принята модель кулоновского трения, согласно которой две поверхности могут переносить некоторую величину сдвигового напряжения по поверхностям раздела до начала их скольжения относительно друг друга. Как показали результаты тестовых расчетов [10], рассмотренная модель позволяет с достаточной точностью моделировать распределение температурных полей в элементах конструкции вагона.

Цель настоящей работы заключается в оценке безопасности подвижного состава необщего пользования и обосновании возможности применения вагонов-термосов с позиций сохранности вагонов в условиях продолжительного высокотемпературного воздействия.

Методика расчета температурных полей и напряжений

Термин «нагруженность» трактуется нами как «состояние машин и механизмов, обусловленное внешними воздействиями и условиями функционирования» [11], то есть для нашего случая – это

совокупность тепловых и механических процессов и явлений. Для элементов вагона-термоса основными характеристиками термонагруженности являются температуры сборочных единиц и деталей вагона (буксовых узлов, тормозного оборудования и др., отвечающих требованиям сохранности вагонов по ГОСТ 22235–2010 [12]), и напряжения в элементах конструкции вагона от основных и дополнительных нагрузок [2, 10].

Для упрощения математического описания в работе применен традиционный для задач теплотехники способ: взаимодействие твердого тела с газом сводится к рассмотрению процесса теплопроводности, а их взаимодействие учитывается через граничные условия. Такой подход позволяет исключить из рассмотрения уравнения гидродинамики обтекания твердого тела газом. В этом случае уравнение теплопроводности, приведенное к методу конечных элементов, записывается следующим образом [13]:

$$[K]\{\bar{T}\} = \{\bar{Q}\},$$

где $[K]$ – матрица теплопроводности; $\{\bar{T}\}$ – вектор узловых температур; $\{\bar{Q}\}$ – вектор узловых тепловых потоков (определяется граничными условиями).

Качественная и количественная оценка температурных полей и соответствующих температурных деформаций выполнялась на основе конечно-элементной модели (рис. 2) механической системы «платформа-заготовка-колпак» [10] с использованием конечных элементов SHELL181 и SOLID187.

Для связывания теплового и прочностного анализов сначала определялись температурные поля в модели для заданных граничных условий теплообмена. На втором этапе значения температур использовались в виде нагрузок на стадии препроцессорной подготовки и получения решения при последующем прочностном анализе.

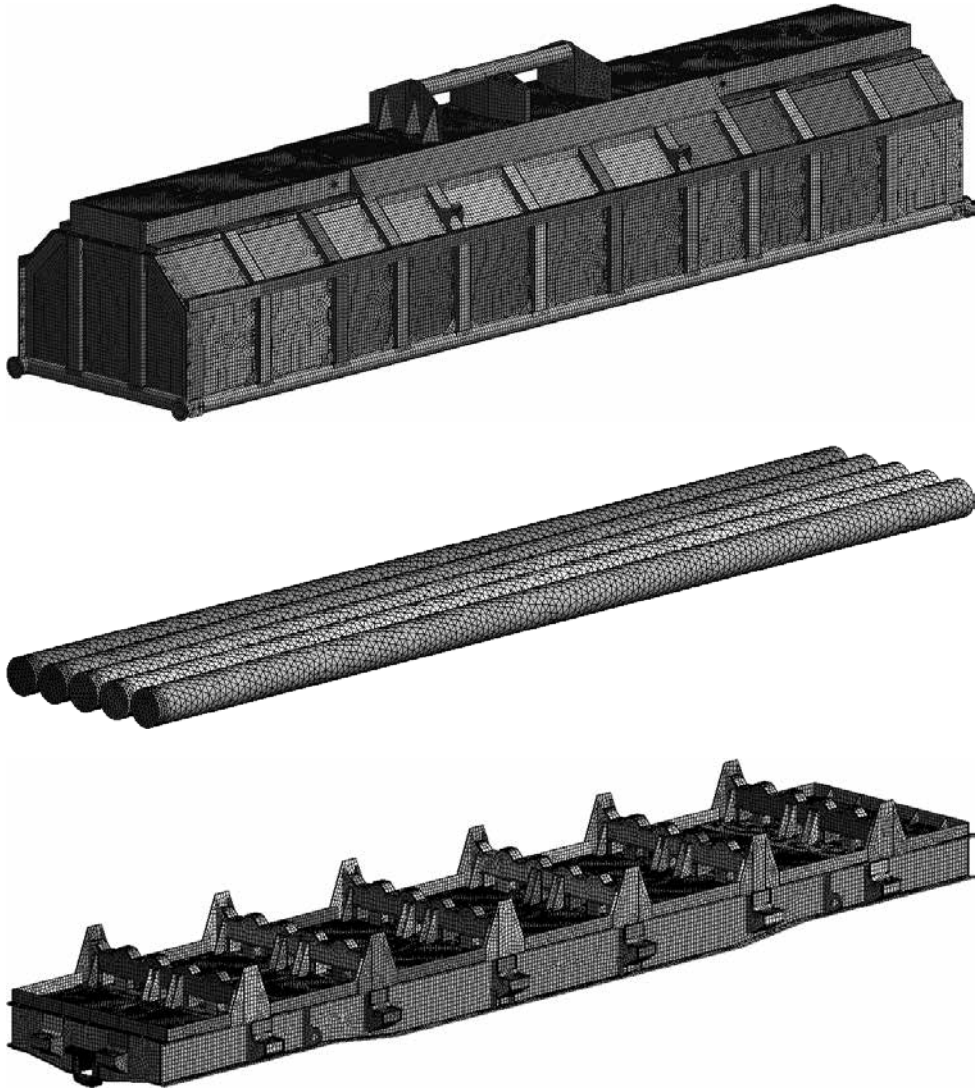


Рис. 2. Конечно-элементная модель системы «платформа-заготовка-колпак»

Расчет напряжений выполнялся от сочетания эксплуатационных нагрузок по режиму I и дополнительного сочетания вертикальной статической нагрузки от веса брутто и температурного воздействия нагретых до температуры 550 °С слябовых заготовок [2]. Минимальные допускаемые напряжения для конструкции рамы и колпака вагона-термоса из стали 09Г2С класса прочности 295 принимались равными $[\sigma]_{\min} = 0,9\sigma_T = 265,5$ МПа.

Анализ температурных полей

Анализ температурных полей заключается в установлении количественной зависимости между температурой наиболее ответственных элементов подвижного состава и факторами, влияющими на процесс теплообмена. Поскольку чисто теоретическое решение задачи в полном объеме невозможно вследствие большого количества основных и второстепенных факторов, влияющих на процесс охлаждения заготовок



Рис. 3. Измерение температуры на поверхностях элементов вагонов

в вагоне-термосе, исследование полей температур выполнялось в два этапа: экспериментальном и численном моделировании.

Экспериментальные значения температур получены на Нижнетагильском металлургическом комбинате при осмотре четырех вагонов-термосов модели 23-5165. Измерение температуры поверхностей выполнялось через

24–26 ч после установки слябов с регистрацией пирометром «Термоскоп-100» (рис. 3). Осмотр вагонов проводился на технологической площадке ЕВРАЗ НТМК при температуре окружающей среды $+3$ – $+4$ °C и влажности 75–80 %. Результаты измерения температур на поверхностях наиболее ответственных узлах и деталях вагонов приведены в таблице 1.

Таблица 1

Результаты температурных замеров в элементах вагона-термоса, °C

Узел	№ вагона			
	1	2	3	4
Хребтовая балка	47	33	64	51
Поперечные балки	47	33	63	50
Настил пола (снизу)	133	121	129	114
Боковая обвязка	42	43	43	16
Элемент тормозного оборудования (запасный резервуар)	27	22	23	23
Тормозной цилиндр	25	18	26	20
Воздухораспределитель	23	16	22	17
Буксовый узел тележки	27	14	16	14
Рессорный комплект	20	10	12	10
Автосцепка	17	15	15	15
Колпак вагона-термоса	20	40	32	43

Полученные значения использовались при оценке адекватности разработанной конечно-элементной модели, анализе термической безопасности и проверке обеспечения сохранности подвижного состава при высокотемпературном нагреве.

Этап численного моделирования заключался в расчете полей температур в элементах конструкции вагона-термоса от воздействия слябовых заготовок, нагретых до 550 °С. При этом температура

окружающей среды, а также температура, при которой отсутствуют температурные деформации в металле конструкции, принималась равной 22 °С. Исходные данные для расчета и граничные условия, характеризующие теплопередачу на поверхностях, подробно рассмотрены в работе [10]. Распределение температурных полей в наиболее термонагруженных элементах конструкции вагона-термоса после прогрева его конструкции показано на рис. 4, 5.

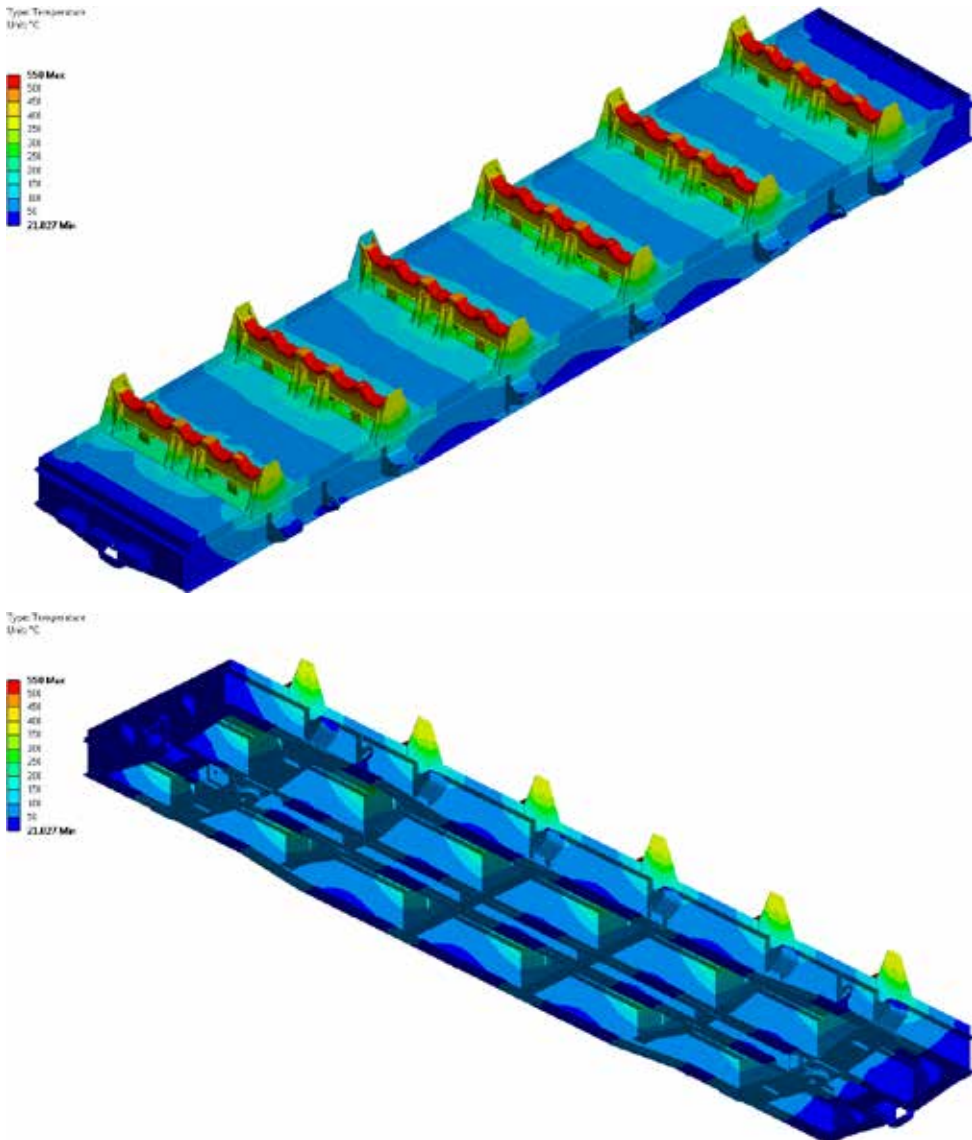


Рис. 4. Распределение полей температур в раме вагона-термоса

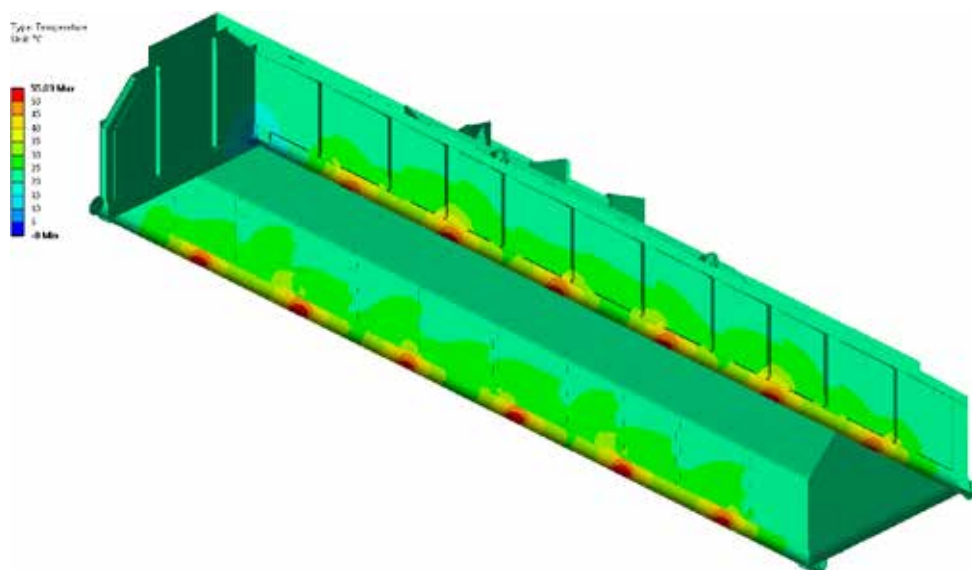


Рис. 5. Распределение полей температур в колпаке вагона-термоса

Степень соответствия разработанной модели реальному распределению полей температур оценивалась путем сравнения теоретических и экспериментальных данных (таблица 2).

Относительно большие расхождения в значениях температур по отдельным элементам объясняются большим количеством параметров и факторов, влияющих на конечный результат, к которым можно отнести параметры конструкции вагона-термоса, параметры и факторы, возникающие при эксплуатации вагона, параметры окружающей среды.

Например, в реальном вагоне поверхности опорных балок колпака имеют начальные прогибы и деформации несущих элементов, в расчетах же принят идеальный контакт между опорными поверхностями колпака и рамы.

Несмотря на возможные отклонения реальной конструкции и ее параметров от модели, среднее значение погрешности не превышает 15 %, что свидетельствует об адекватности разработанной модели термонагруженности вагона-термоса и возможности ее использования для численных экспериментов.

Таблица 2

Сравнение теоретических и экспериментальных значений температур в элементах рамы вагона

Элемент рамы вагона	Эксперимент, °С*	Теоретический расчет, °С	Погрешность, %
Хребтовая балка	51/41	56	9/26
Настил пола (снизу)	114/124	129	11/4
Боковая обвязка	43/36	37	14/3
Колпак			
вертикальные боковые стены	40	37	8
опорные балки	73	54	26

* В числителе – значения температур для вагона № 4, в знаменателе – средние значения температур из таблицы 1.

В соответствии с принятым алгоритмом решения задачи, полученные температурные поля (рис. 4, 5) принимались в качестве нагрузок на стадии оценки основного элемента механической безопасности – прочностного анализа.

Оценка механической безопасности

В работе рассматриваются вопросы механической безопасности от действия трех сочетаний нагрузок. Оценка прочности конструкции выполнялась с использованием критерия максимального напряжения по Мизесу, учитывающего появление в материале малых пластических деформаций. При первом и втором сочетании нагрузок рассматривались растягивающие и сжимающие силы взаимодействия между вагонами и локомотивом, силы тяжести собственной конструкции и груза. Наибольший интерес представляет дополнительный режим нагружения с учетом

температурного влияния. Неравномерное распределение температуры в элементах конструкции вагона или ограничение возможности их теплового расширения может привести к пластическим деформациям и, как следствие, разрушению этих элементов. В качестве примера на рис. 6, 7 приведено распределение полей напряжений в элементах вагона термоса. Максимальные значения напряжений в элементах вагона-термоса, лимитирующих прочность конструкции, приведены в таблице 3.

Эквивалентные напряжения по первым двум сочетаниям нагрузок, возникающие в элементах рамы вагона-термоса, не превышают допускаемых напряжений. Максимальные значения напряжений наблюдаются в элементах рамы, прилегающих к месту установки автоцепного оборудования, и зоне шкворневой коробки рамы и составляют 164 МПа и 156 МПа соответственно.

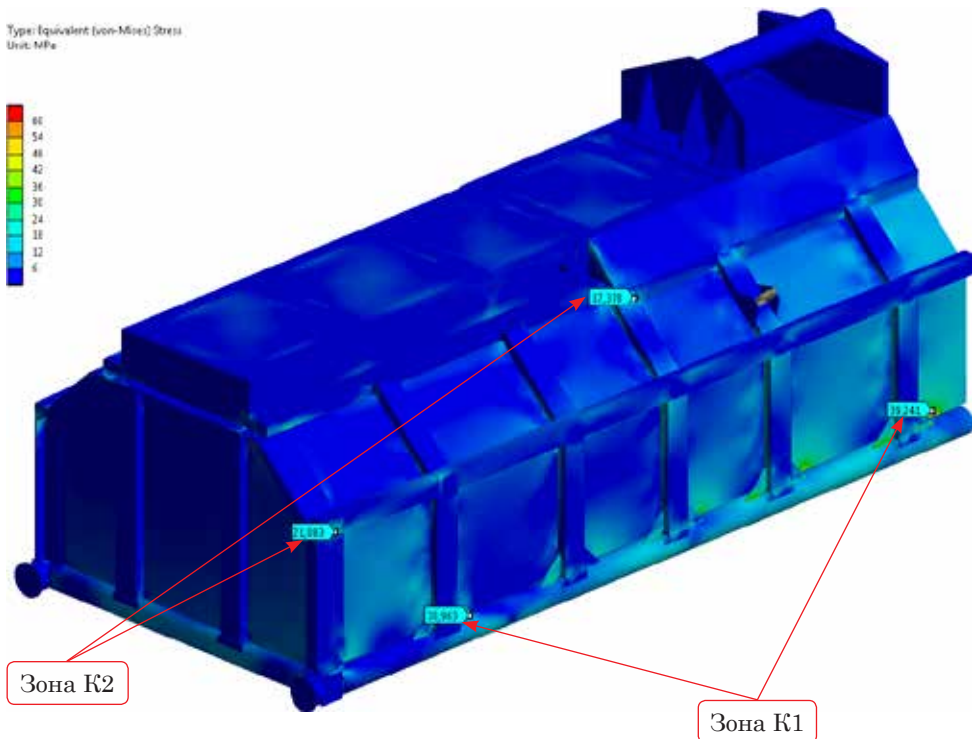


Рис. 6. Эквивалентные напряжения в колпаке вагона-термоса при первом сочетании нагрузок

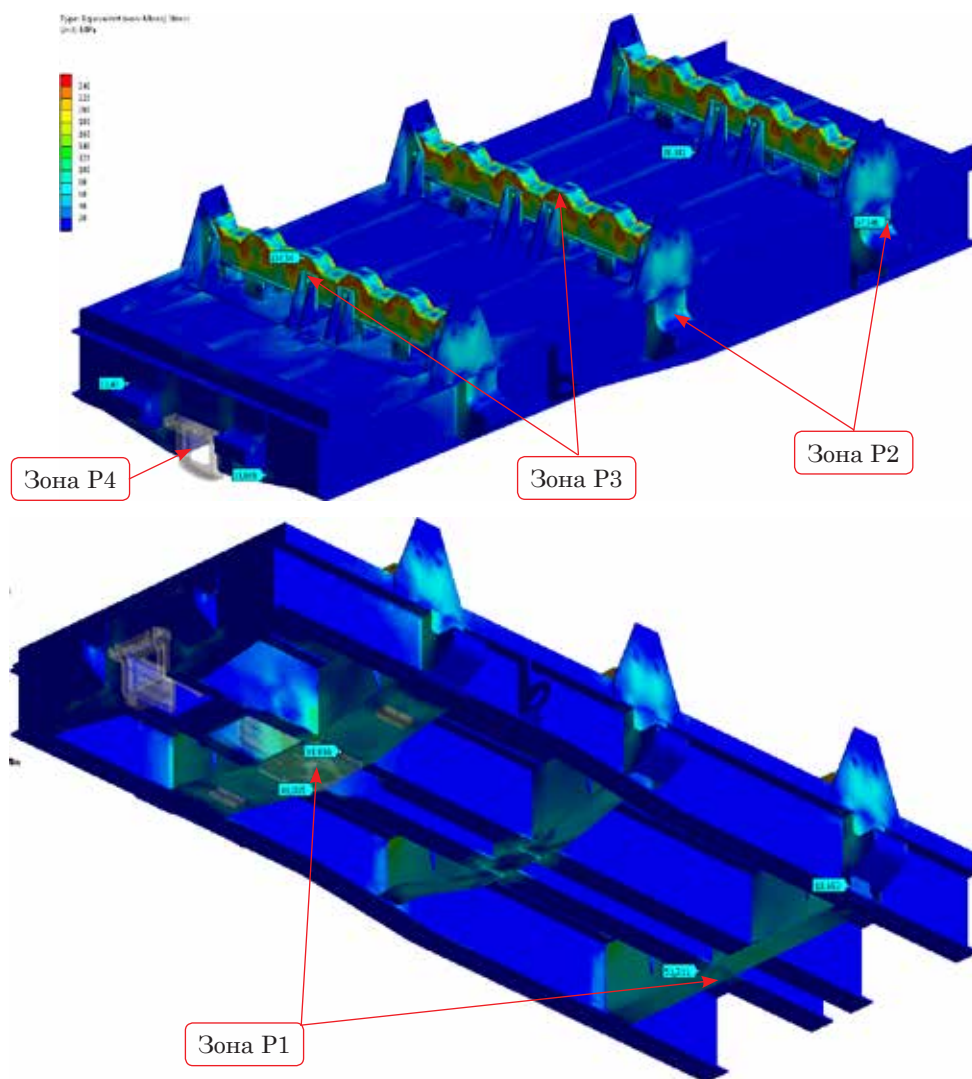


Рис. 7. Эквивалентные напряжения в раме вагона-термоса при дополнительном режиме нагрузок

Таблица 3

Максимальные значения эквивалентных напряжений в элементах конструкции вагона-термоса

Узел вагона	Зона (рис. 8, 9)	Эквивалентные напряжения σ_{\max} , МПа		
		первое сочетание нагрузок [10]	второе сочетание нагрузок [10]	дополнительное сочетание нагрузок [10]
Рама	P1	140	163	68
	P2	104	155	97
	P3	112	92	237
	P4	126	156	34
Колпак	K1	39	57	25
	K2	21	34	33

Таблица 4

Влияние температурных нагрузок на уровень эквивалентных напряжений

Зона (рис. 8, 9)	Эквивалентные напряжения σ_{\max} , МПа	
	без учета температурных нагрузок	с учетом температурных нагрузок
P1	34	68
P2	14	97
P3	24	237
P4	18	34
K1	16	25
K2	19	33

В элементах металлоконструкции колпака значения напряжений не превышают 107 МПа.

Покажем влияние температурного воздействия от металлургических заготовок на несущие элементы вагона (таблица 4). Вследствие температурного нагружения наблюдается существенное увеличение суммарных напряжений:

- хребтовая балка (зона 1) с 34 МПа до 68 МПа (в два раза);
- опорные кронштейны колпака (зона P2) с 14 МПа до 97 МПа (в 6,9 раза);
- опорная балка (зона P3) с 24 МПа до 237 МПа (в 9,8 раза).

Наибольшее температурное влияние испытывает вертикальный лист опорной балки (зона P3). При суммарном действии на конструкцию механического и температурного нагружений в местах приварки вертикального листа и опорной пластины появляются значительные концентрации напряжений.

Следует отметить, что расчет на дополнительное сочетание нагрузок выполнен для случая температуры заготовок $t_3 = 550^\circ\text{C}$ и окружающей среды $t_{\text{OC}} = 22^\circ\text{C}$. Возможное отклонение от указанных значений тепловых характеристик может привести к дальнейшему росту суммарных напряжений; как результат – достижение ими предела текучести, т.е. переход в пластическую область работы металла. Однако данное заключение относится только к опорной балке, непосредственно

контактирующей с горячими металлургическими заготовками, и не затрагивает несущие элементы вагона-термоса.

Оценка сохранности элементов вагона при температурном нагружении

В контексте данной работы под сохранностью будем понимать сохранение функциональных свойств вагона-термоса как транспортного средства в условиях высокотемпературного воздействия на элементы его конструкции. Важность рассматриваемого в работе вопроса объясняется необходимостью соблюдения требований ГОСТ 22235–2010 [12], регламентирующего допускаемые значения температур на поверхностях элементов вагонов. Особое внимание заслуживает нагрев деталей тележки, оборудованной полимерными упругими элементами, – фрикционного клина, упругого скользуна, вставки адаптера буксового узла. Эти элементы обладают гораздо меньшей термостойкостью, чем металлические детали, а рабочая температура основных марок полиуретанов имеет ограничение до $100\text{--}120^\circ\text{C}$. Возможное нарушение работоспособного состояния вагона вследствие превышения допустимых значений температуры буксового узла показано на рис. 8.

Оценка сохранности выполнялась сравнением значений полученных экспериментально температур с нормируемыми показателями [12, 14]. В качестве исходных данных приняты максимальные значения температуры элементов



Рис. 8. Возможные неисправности элементов тележек с полимерными вставками

обследуемых вагонов из таблицы 1. Результаты сравнительного анализа представлены в таблице 5.

Наиболее нагруженными с точки зрения температурного воздействия на вагон являются элементы рамы, в частности, пол платформы, на который укладывается теплоизоляция из

шамотного кирпича толщиной 150 мм. Температура нижней поверхности пола достигает порогового значения 130 °С. Разброс в значениях температур более 14 % (таблица 1) объясняется неравномерным разрушением теплоизоляционного шамотного слоя, деформацией элементов конструкции (отклонение до

Таблица 5

Сравнительный анализ нормируемых значений и экспериментальных данных

Узел	Деталь	Температура, °С	
		нормируемое значение [12]	результаты измерений
Тормозное оборудование	Шток тормозного цилиндра	55	26
	Воздухораспределитель	55	23
	Соединительные рукава, тормозные магистрали, воздушные резервуары	70	27
Тележка	Клин фрикционный	90	20
	Скользун	90	34
	Накладка между буксой и боковой рамой	80	27
	Буксовый узел с роликовыми подшипниками	80	27
Кузов	Пол вагона	130	133
	Элементы рамы (хребтовая и поперечные балки)	130	64

20–30 мм) в результате погрузочно-разгрузочных работ.

При оценке сохранности подвижного состава особое внимание уделяется состоянию тормозного оборудования как элементу, обеспечивающему безопасность движения. При нагреве происходят стекание смазки со стенок тормозного цилиндра, перегрев прокладок и манжет воздухораспределителя, что приводит к утечкам воздуха по штоку тормозного цилиндра и уменьшению плотности тормозной магистрали. Данные таблицы 5 свидетельствуют о нагреве элементов тормозного оборудования не более 50 % от допускаемого порога.

Не менее значимо для безопасности движения обеспечение температурных режимов работы буксовых узлов. Полученные уровни температур в буксовых узлах и деталях тележек вагона с применением полиуретановых материалов показывают, что выдерживается нормативный уровень максимальной температуры нагрева этих элементов. Значения температур на поверхностях полиуретановых элементов находятся в пределах 27–34 °С и не превышают 40 % по отношению к нормируемым показателям.

Оценка термической безопасности вагона

Как уже отмечалось, при проектировании железнодорожного подвижного состава и его составных частей должна обеспечиваться термическая безопасность. Приведем конкретизирующее для нашего случая определение, которое будет использоваться в дальнейшем изложении. Термическая безопасность – это отсутствие недопустимого риска, наносимого лицам, имеющим отношение к обслуживанию и эксплуатации подвижного состава, путем воздействия высоких температур. В качестве основного показателя термической безопасности примем температуру поверхностей вагона-термоса, доступных для прикосновения в процессе эксплуатации подвижного состава. Контактные ожоги первой степени возникают в результате

прикосновения незащищенными участками кожи к горячим предметами с температурой свыше 45 °С. Однако интенсивность воздействия зависит не только от температуры источника, но и от его природы, времени действия и длительности наступающей тканевой гипертермии [15]. Учитывая условия обслуживания и эксплуатации вагонов-термосов, в качестве критерия в работе принято допускаемое значения температуры $[T]_д = 50\text{ °С}$.

Анализ распределения температур по ограждающим поверхностям вагона-термоса (таблица 2, рис. 4, 5) показывает, что наиболее опасной из доступных для прикосновения является зона контакта опорных балок колпака вагона с кронштейнами платформы, где температуры достигают 55 °С (рис. 5). Несколько большие температуры (60–65 °С) имеют элементы хребтовой и поперечных балок рамы. Эти элементы конструкции находятся в области возможного контакта обслуживающего персонала с разогретыми поверхностями. Более того, при эксплуатации возможны деформация элементов вагона и разрушение теплоизоляционных слоев, которые могут способствовать появлению локальных зон с более высокими температурами. Как показывает практика, полностью исключить контакт обслуживающего персонала с нагретыми элементами вагона нельзя, и это требует разработки дополнительных требований по термической безопасности к технологическим процессам эксплуатации и технического обслуживания рассматриваемого типа подвижного состава.

Заключение

В ходе выполненных исследований установлены значения температур на поверхностях элементов вагона-термоса при противофлокеной обработке металлургических заготовок. Полученные данные свидетельствуют о соответствии рассматриваемого подвижного состава требованиям сохранности узлов и деталей вагонов в условиях высоких температур и возможности эксплуатации

таких вагонов для обеспечения технологических операций. С точки зрения термической безопасности, требуется разработка дополнительных мер к технологическим процессам эксплуатации вагона-термоса.

В работе определены максимальные значения напряжений в элементах вагона-термоса. На их значение существенное

влияние оказывают температурные нагрузки. Элементом конструкции, лимитирующим прочность вагона-термоса, является опорная балочка, где значения напряжений достигают 90 % уровня от допускаемых. При этом показано, что прочность несущих элементов конструкции соответствует заданным условиям эксплуатации вагона. ■

Литература

1. О безопасности железнодорожного подвижного состава (ТР ТС-001–2011) : технический регламент ТС. URL: <http://docs.cntd.ru/document/902293438>. (дата обращения: 21.03.2016).
2. Нормы для расчета и проектирования вагонов железных дорог МПС колес 1520 мм (несамоходных). М. : ГосНИИВ-ВНИИЖТ, 1996. 319 с.
3. Даниленко Д. В., Намятов А. В., Лапшин В. Ф. Особенности технологии проектирования специализированных грузовых вагонов // Инновационный транспорт. 2013. № 2. С. 24–29. ISSN 2311-164X.
4. Дубовой В.Я. Флокены в стали. М. : Metallurgizdat, 1950. 332 с.
5. Павлюков А.Э., Занкович А. В. Тепловые процессы в вагонах при конвективном разогреве грузов. – Saarbrücken : LAP LAMBERT Academic Publishing, 2014. – 62 с. ISBN 978-3-659-61033-2.
6. Речкалов С.Д. Напряженно-деформированное состояние сварных элементов кузова вагона для сыпучих металлургических грузов с учетом температурных воздействий : дисс. ... на соиск. уч. ст. канд. техн. наук. – М., 1987. 295 с.
7. Мионов А.А., Образцов В.Л., Павлюков А.Э. Теория и практика бесконтактного теплового контроля буксовых узлов в поездах. Екатеринбург : РПФ «Ассорти», 2012. 396 с. ISBN 978-5-88664-399-2.
8. Сакало В.И., Титарев Д.В. Нестационарные температурные поля и напряжения в дисках тормозов скоростных вагонов // Транспорт Урала. 2007. № 4. С. 70–76. ISSN 1815-9400.
9. Лапшин В.Ф., Намятов А.В., Буланов Н.В. Определение потребительских свойств вагона-термоса для металлургических заготовок // Транспорт Урала. 2015. № 4. С. 48–53. ISSN 1815-9400.
10. Намятов А.В., Охотников А.Г., Лапшин В.Ф. Модель термонагруженности вагона термоса для транспортировки горячих металлургических заготовок // Транспорт Урала. 2014. № 2. С. 33–38. ISSN 1815-9400.
11. Лагерева И.А. Моделирование эксплуатационной нагруженности металлоконструкции мостового крана общего назначения // Научно-технический вестник Брянского государственного университета. 2015. № 1. С. 49–53. ISSN 2413-9920.
12. Межгосударственный стандарт ГОСТ 22235–2010. Вагоны грузовые магистральных железных дорог колес 1520 мм. Общие требования по обеспечению сохранности при производстве погрузочно-разгрузочных и маневровых работ. – М. : Изд-во «Стандарт-информ», 2011. 18 с.
13. Огородникова О.М. ANSYS Workbench. Тепловой анализ. URL: <http://cae.ustu.ru/download/ansys4.pdf>. (дата обращения: 13.04.2015).
14. Перевозка смерзающихся грузов : справочник / И.И. Батраков, Ю.А. Носков, В.Н. Харламов, В.А. Шакурин / под ред. Ю.А. Носкова. – М. : Транспорт, 1988. 208 с.
15. Ожиги : руководство для врачей / под ред. Б.С. Вихриева, В.М. Бурмистрова. – Л. : Медицина, 1986. – Изд. 2-е, перераб. и доп. – 272 с.

References

1. On safety of railway rolling stock (TP TC-001–2011): Technical Regulations of the Customs Union, TRCU [O bezopasnosti zheleznodorozhnogo podvizhnogo sostava (TR TS-001–2011) : tekhnicheskij reglament TS] / Approved by the decision of the Commission of the

- Customs Union dated July 15, 2011, № 710, became effective on August 2, 2014. URL: <http://docs.cntd.ru/document/902293438>. (accessed date: 21.03.2016).
2. Regulations for calculation and design of railcars (not self-propelled) for the railways with the track of 1520 mm of the Ministry of Railways of the Russian Federation [Normy dlya rascheta i proektirovaniya vagonov zheleznih dorog MPS ko-lei 1520 mm (nesamohodnyh)]. M. : State Research and Development Institute of carriage-building – Vestnik of the Railway Research Institute, 1996. 319 p.
 3. Danilenko D.V., Namyatov A.V., Lapshin V.F. Osobennosti tekhnologii proektirovaniya specializirovannyh gruzovyh vagonov [Specific features of design process of special-purpose freight railway cars] // Innovative transport. 2013. Issue № 2. P. 24–29. ISSN 2311-164X.
 4. Dubovoi V.Ya. Flokeny v stali [Flakes in steel]. M. : Metallurgizdat, 1950. 332 p.
 5. Pavlyukov A.E., Zankovich A.V. Teplovye processy v vagonah pri konvektivnom razogreve gruzov [Thermal processes in railway cars during convective heating of cargo]. – Saarbrücken : LAP LAMBERT Academic Publishing, 2014. – 62 p. ISBN 978-3-659-61033-2.
 6. Rechkalov S.D. Napryazhenno-deformirovannoe sostoyanie svarnyh ehlementov kuzova vagona dlya sypuchih metallurgicheskikh gruzov s uchetoм temperaturnykh vozdeystviy : diss. ... na soisk. uch. st. kand. tekhn. nauk [Stress-strain behavior of body weldments of railway car for loose metallurgical cargo taking into account thermal effects: Ph.D. Thesis for obtaining a candidate's degree in technical science]. – M., 1987. 295 p.
 7. Mironov A.A., Obratsov V.L., Pavlyukov A.E. Teoriya i praktika beskontaktnogo teplovogo kontrolya buksovyh uzlov v poezdakh [Theory and practice of non-contact thermal control of trains axle boxes]. – Ekaterinburg: Advertising and production company «Assorti», 2012. 396 p. ISBN 978-5-88664-399-2.
 8. Sakalo V.I., Titarev D.V. Nestacionarnye temperaturnye polya i napryazheniya v diskah tormozov skorostnyh vagonov [Unsteady temperature fields and strains in brake discs of high-speed railway cars] // Transport of the Urals. 2007. Issue № 4. P. 70–76. ISSN 1815-9400.
 9. Lapshin V.F., Namyatov A.V., Bulanov N.V. Opredelenie potrebitel'skikh svoystv vagona-termosa dlya metallurgicheskikh zagotovok [Determination of consumer properties of a thermos railcar for semifinished metallurgical products] // Transport of the Urals. 2015. Issue № 4. P. 48–53. ISSN 1815-9400.
 10. Namyatov A.V., Okhotnikov A.G., Lapshin V.F. Namyatov A.V., Ohotnikov A.G., Lapshin V.F. Model' termonagruzhen-nosti vagona termosa dlya transportirovki goryachih metallurgicheskikh zagotovok [Thermal load model for a thermos railcar for transportation of hot semifinished metallurgical products] // Transport of the Urals. 2014. Issue № 2. P. 33–38. ISSN 1815-9400.
 11. Lagerev I.A. Modelirovanie ehkspluatatsionnoy nagruzhenosti metallokonstrukcii mostovogo krana obshchego naznacheniya [Simulation of a bridge crane metal construction loading parameters] // Scientific and Technical Bulletin of Bryansk State Technical University. 2015. Issue № 1. P. 49–53. ISSN 2413-9920.
 12. Interstate standard GOST 22235–2010. Freight cars for 1520 mm gauge main line railways. General requirements for safety in loading-unloading and shunting operations [Mezhhgosudarstvennyy standart GOST 22235–2010. Vagony gruzovye magistral'nyh zheleznih dorog kolei 1520 mm. Obshchie trebovaniya po obespecheniyu sohrannosti pri proizvodstve pogruzochno-razgruzochnykh i manevrovnykh rabot]. – M. : Publishing house «Standartinform», 2011. 18 p.
 13. Ogorodnikova O.M. ANSYS Workbench. Teplovoj analiz [ANSYS Workbench. Thermal analysis]. URL: <http://cae.ustu.ru/download/ansys4.pdf>. (accessed date: 13.04.2015).
 14. Transportation of freezable cargo: reference book [Perevozka smerzayushchihsya gruzov : spravochnik] / I.I. Batrakov, Yu.A. Noskov, V.N. Kharlamov, V.A. Shakurin / edited by Yu.A. Noskov. – M. : Transport, 1988. 208 p.
 15. Skin burns: Guidance for physicians [Ozhogi : rukovodstvo dlya vrachej] / edited by B.S. Vikhriev, V.M. Burmistrov. – L. : Meditsina, 1986. – 2nd edition, revised and enlarged. – 272 p.

Статья сдана в редакцию 24 мая 2016 года

Организация и логистика

УДК 656.615: 001.891.57

А.Н. Рахмангулов, Д.С. Муравьев

Оценка направлений развития систем «морской порт – „сухой” порт» методом имитационного моделирования

UDC 656.615: 001.891.57

A.N. Rakhmangulov, D.S. Muraviev

Assessment of development options for «sea port – „dry” port» system using simulation method

Аннотация

Рассмотрены проблемы увеличения пропускной и перерабатывающей способностей морских контейнерных терминалов, а также улучшения показателей своевременности грузовых перевозок на основе создания «сухих» портов. Разработана система параметров «сухих» портов, позволяющая выбрать стратегию развития морского контейнерного терминала в условиях роста грузооборота, выполнить оценку затрат системы «морской порт – «сухой» порт». Рассмотрены особенности построения и исследования имитационной модели системы «морской порт – «сухой» порт» в программной среде AnyLogic. Представлены результаты модельных экспериментов с разработанной имитационной моделью, проведенные с целью оценки максимальной перерабатывающей способности

существующего морского порта в условиях увеличения интенсивности и неравномерности грузопотоков. Предложена методика расчета оптимальных значений основных параметров создаваемого «сухого» порта с использованием метода имитационного моделирования. Полученные в результате модельных экспериментов зависимости доказывают обоснованность выбранных основных параметров «сухих» портов для эффективной оценки сценариев усиления пропускной и перерабатывающей способности существующих морских портов на этапе стратегического планирования.

Ключевые слова: грузооборот, морской порт, «сухой» порт, тыловой терминал, контейнеры, имитационное моделирование, перерабатывающая способность, пропускная способность, система параметров, сценарный

подход, AnyLogic, оптимизация, методика, грузопоток, неравномерность, своевременность, место размещения, вместимость.

DOI:10.20291/2079-0392-2016-3-54-72

Abstract

The article covers the issues of how to increase traffic capacity and terminal capacity of marine container terminals, as well as to improve indicators of cargo shipment timeliness on the basis of «dry» port arrangement. The authors of the article have developed a system of «dry» port parameters which gives the opportunity to choose the strategy of marine container terminal development under conditions of cargo turnover growth and to carry out the cost estimation of the Sea Port – «Dry» Port System. The article also considers the peculiarities of creation and studying of the

Александр Нельевич Рахмангулов, д-р техн. наук, профессор; кафедра «Промышленный транспорт» Магнитогорского государственного технического университета им. Г.И. Носова; Магнитогорск, Россия. E-mail: prtrans@gmail.com.

Дмитрий Сергеевич Муравьев, аспирант; кафедра «Промышленный транспорт» Магнитогорского государственного технического университета им. Г.И. Носова; Магнитогорск, Россия. E-mail: mura4747@gmail.com.

Aleksandr Nelevich Rakhmangulov, D.Sc (Eng.), Professor; Industrial Transport Department, Nosov Magnitogorsk State Technical University; Magnitogorsk, Russia. E-mail: prtrans@gmail.com.

Dmitri Sergeevich Muraviev, PhD Student; Industrial Transport Department, Nosov Magnitogorsk State Technical University; Magnitogorsk, Russia. E-mail: mura4747@gmail.com.

simulation model of the Sea Port – «Dry» Port System in AnyLogic software. The authors also submit the test results of the created simulation model; the tests were performed in order to assess the maximum terminal capacity of the existing sea port in the conditions of increase of cargo traffic volume and irregularity. The article offers methods of optimal value calculation

in regard to the basic parameters of the «dry» port to be arranged using the simulation method. The dependences resulted from the simulation model tests confirm the good reason behind the chosen basic parameters of the «dry» ports for the efficient assessment of scenarios of increase of traffic capacity and terminal capacity of the existing sea ports at the strategic planning stage.

Key words: cargo turnover, sea port, «dry» port, inner terminal, containers, simulation modeling, terminal capacity, traffic capacity, system of parameters, scenario approach, AnyLogic, optimization, methods, cargo traffic, irregularity, timeliness, location, storage capacity.

DOI:10.20291/2079-0392-2016-3-54-72

Контейнерные перевозки являются одним из наиболее интенсивно развивающихся видов транспортировки грузов, поскольку позволяют максимально унифицировать и оптимизировать процесс грузоперевозки, обеспечить сохранность перевозимых грузов [1]. Потребности рынка контейнерных перевозок могут быть удовлетворены только при надлежащем развитии транспортного комплекса, в первую очередь системы контейнерных терминалов [2]. В условиях постоянного увеличения вместимости судов-контейнеровозов

возрастают нагрузки на инфраструктуру морских портов и припортовые транспортные сети, задействованные при обслуживании портов [3]. Несмотря на сокращение контейнерооборота портов РФ по итогам 2015 г. на 25,4 % до 3,9 млн TEU [4], тенденция последнего десятилетия – его увеличение (рис. 1) [5], в частности, в результате роста объема экспорта [6].

Компенсировать потери перевозчиков, возникшие в результате снижения контейнерооборота, можно обеспечением своевременных перевозок. Однако

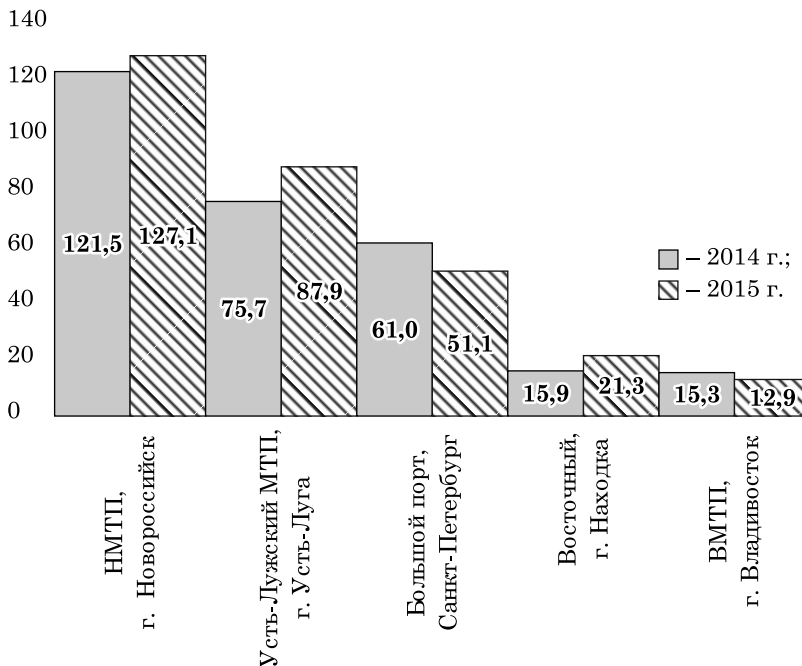


Рис. 1. Грузооборот крупных морских портов РФ за 2014–2015 гг.

многие складские и перевалочные мощности морских портов не отвечают современным требованиям по качественной переработке как интенсивных, так и неравномерных потоков контейнеров, генерируют транспортные потоки, затрудняющие движение в прибрежных районах и на улицах припортовых городов [2].

Развитие инфраструктуры морских контейнерных терминалов необходимо при увеличении интенсивности перерабатываемых грузопотоков. Такая задача стоит перед большинством крупных морских портов мира, контейнерооборот которых ежегодно увеличивается в среднем на 3,52 % [7].

Однако в случае снижения интенсивности и увеличения неравномерности грузопотоков для обеспечения своевременности перевозок также требуется развитие портовых мощностей, поскольку ухудшение качественных показателей транспортных услуг сказывается на доходности компаний – заказчик услуг платит за скорость («точно в срок») и безопасность [8]. Специфической причиной неравномерности контейнерных потоков в морских портах

является изменение метеорологических условий в акваториях портов [9]. Помимо ухудшения показателей своевременности перевозок, в этом случае увеличивается также экологическая нагрузка на жилые районы, расположенные вблизи морских портов. Это происходит из-за заторов и простоев автомобилей на подъезде к портам, что увеличивает выбросы углекислого газа и твердых частиц в атмосферу, повышает шумовую загрязненность [10].

Возможности большинства существующих портов по дальнейшему наращиванию объёмов перевозок практически исчерпаны [11]. Исторически многие морские порты строились вблизи городов, часто в их черте (рис. 2).

Город и порт со временем разрастались, создавая инфраструктурные проблемы: отсутствие дополнительных территорий для развития терминалов порта и припортовых железнодорожных станций, увеличение числа и длительности заторов на улично-дорожной сети припортовых городов [12].

Недостаток перерабатывающих мощностей и вместимостей морских портов РФ приводит к значительным потерям,



Рис. 2. Территориальное расположение морского порта в непосредственной близости от жилой зоны (на примере Новороссийска)

в частности, из-за простоя контейнеров, которое составляет пять-семь дней [13]. Строительство вблизи морских портов тыловых контейнерных терминалов – «сухих» портов позволяет повысить производительность морских портов с минимальными затратами на реконструкцию.

Концепция «сухих» портов и система их основных параметров

Концепция «сухого» порта основана на прямом железнодорожном сообщении между морским портом и отдалённым (тыловым) интермодальным терминалом, где контейнеры накапливаются, принимаются и выдаются грузовладельцам [14]. Использование прямого железнодорожного сообщения между двумя контейнерными площадками – морского и «сухого» порта – позволяет снизить загрузку автомагистралей, улиц и дорог города, повысить своевременность перевозок [15].

Основные преимущества тылового терминала: повышение своевременности грузовых перевозок [16], увеличение пропускной способности морских портов [17], снижение суммарных транспортно-складских затрат [18] грузовладельцев и себестоимости грузопереработки на терминале. Реализация этих преимуществ достигается в случае, если момент ввода в эксплуатацию «сухого» порта совпадает с моментом, когда пропускная способность морского порта не позволяет обеспечить пропуск без задержек транспортных и грузовых потоков увеличенной интенсивности и неравномерности, а также при условии выбора рационального места размещения «сухого» порта оптимальной вместимости и технической оснащённости.

Эффективность создаваемого «сухого» порта зависит от множества взаимосвязанных факторов. На этапе стратегического планирования предлагается производить оценку эффективности создаваемого «сухого» порта с использованием разработанной системы его основных параметров. К основным параметрам «сухих» портов, максимально

влияющим на их технико-экономические показатели, отнесены [19]: интенсивность входящих контейнеропотоков (λ), перерабатываемых в системе «морской порт – «сухой» порт», TEU/сут; коэффициент неравномерности входящих и выходящих контейнеропотоков ($K_{\text{нер}}$) – параметр, определяющий резервы вместимости контейнерных площадок в системе «морской – «сухой» порт» и значения показателей своевременности грузовых перевозок [20]; развёрнутая длина транспортных коммуникаций, соединяющего морской и «сухой» порты (l), км; место размещения «сухого» порта (E_m) зависит от рельефа местности и определяет длину маршрута транспортных коммуникаций между морским и «сухим» портами, а также совокупные затраты на создание и эксплуатацию «сухого» порта. Определяется множеством точек на местности потенциального размещения «сухого» порта; вместимость контейнерной площадки «сухого» порта (V), TEU; перерабатывающая способность «сухого» порта (n); экологический эффект, возникающий в результате строительства «сухого» порта ($\Theta_{\text{ф}}$) [3], оценивается суммой экологических платежей после ввода в эксплуатацию «сухого» порта, руб. Предполагается, что перенос экологически небезопасных и загрязняющих окружающую среду операций на удалённую от жилых районов территорию «сухого» порта, переключение на эту территорию автотранспортных потоков значительно снижает экологическую нагрузку на города, расположенные вблизи морских портов, и снижает экологические платежи и штрафы; капитальные затраты ($З_k$) на создание «сухого» порта, руб.; эксплуатационные ($З_э$) на функционирование системы «морской порт – «сухой» порт», руб.

Представленные основные параметры «сухого» порта взаимосвязаны и образуют систему. Матрица качественных взаимозависимостей в системе параметров «сухого» порта представлена в таблице.

Параметры	λ	$K_{\text{нер}}$	I	E_m	V	n	E_f	Z_k	Z_o
λ	+		–	–	–	+	+	+	+
	–		+	+	+	–	–	–	–
$K_{\text{нер}}$	+	–		–	+	+	+	+	+
	–	+		+	–	–	–	–	–
I	+	–			–	–	–	+	+
	–	+	+		+	+	+	–	–
E_m	+	–		+		–	–	+	–
	–	+	+	–		+	+	–	+
V	+	+	+	–	–		+	–	+
	–	–	–	+	+		–	+	–
n	+	+	+	–	–	+		–	+
	–	–	–	+	+	–		+	–
E_f	+	+	+	+	+	–	–		+
	–	–	–	–	–	+	+		–
Z_k	+	+	+	+	–	+	+	+	
	–	–	–	–	+	–	–	–	+
Z_o	+	+	+	+	–	–	–	+	
	–	–	–	–	+	+	+	–	

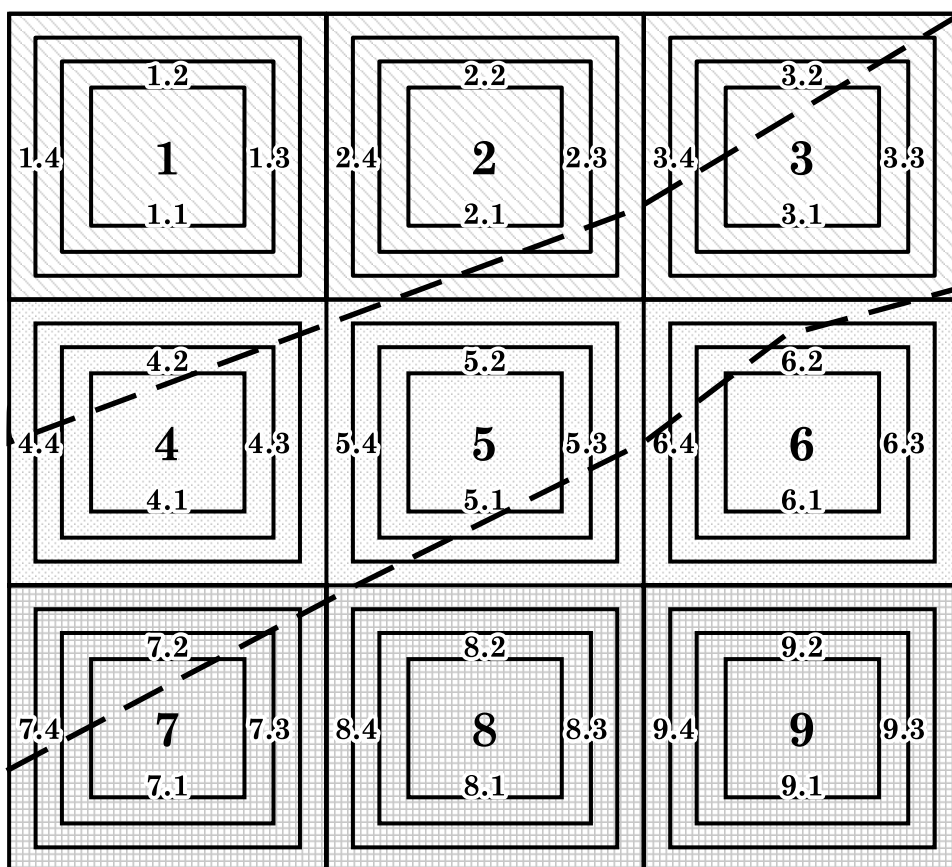
Примечание: «плюс» означает увеличение значения параметра, «минус» – уменьшение. Для параметра E_m «плюс» означает благоприятные топографические условия, «минус» – неблагоприятные.

Имитационная модель системы «морской порт – «сухой» порт»

Для определения оптимального соотношения значений основных параметров «сухого» порта выбран метод имитационного моделирования, позволяющий учесть множество дополнительных частных факторов и особенностей функционирования контейнерных терминалов [21]. Кроме того, современные инструменты построения имитационных моделей позволяют не только описывать технологию работы контейнерных терминалов с точностью до отдельного контейнера (агентное моделирование), но и принимать решения стратегического (системно-динамическое моделирование) и тактического (процессное моделирование) уровней. Например,

мультиподходная система AnyLogic позволяет комбинировать все три парадигмы имитационного моделирования в рамках одной модели, что делает возможным имитировать как взаимосвязи системы параметров «сухого» порта на макроуровне, так и рассчитывать значения этих параметров с точностью до отдельных технологических операций, производимых с конкретными контейнерами [22, 23].

В настоящей статье рассмотрена часть модели, построенная с использованием процессного подхода, и предназначенная для имитации технологии работы системы «морской порт – «сухой» порт». Данная процессная имитационная модель используется для количественного описания основных



Расположение морского порта ➡ ●

Условные обозначения	
Холмистая	
Низинная	
Болотистая	

Рис. 3. Ситуационный план местности региона потенциального размещения «сухого» порта

зависимостей между параметрами «сухого» порта.

Единственный дискретный параметр исследуемой системы – определение места размещения «сухого» порта. Этот параметр в модели предлагается описывать множеством точек на ситуационном плане земельного отвода (рис. 3).

Каждый вариант «сухого» порта на ситуационном плане характеризуется капитальными и эксплуатационными затратами, зависящими от вместимости

(площади) порта, рельефа местности, длины транспортных коммуникаций (маршрута), планируемого грузооборота (интенсивности и неравномерности контейнеропотока). В таблице представлены модельные значения основных параметров «сухого» порта. На каждом участке потенциального размещения «сухого» порта 1, 2, ..., 9 показаны границы вариантов «сухого» порта, различающиеся вместимостью – 1.1, 1.2, 1.3, ... 9.4.

Модельные значения основных параметров «сухого» порта

№ уч.	Сценарий 1, V = 1 тыс. TEU		Сценарий 2, V = 2 тыс. TEU		Сценарий 3, V = 3 тыс. TEU		Сценарий 4, V = 4 тыс. TEU	
	I, км	З _к , млн долл.	I, км	З _к , млн долл.	I, км	З _к , млн долл.	I, км	З _к , млн долл.
1	27	29,4	26	32,6	25	35,8	24	38,5
2	23	28,2	22	29,7	21	34,8	20	36,7
3	18	20,5	17	21,2	16	22,72	15	23,47
4	19	21,7	18	23,8	17	25,78	16	27,8
5	15	17,2	14	20,4	13	23,45	12	25,4
6	14	15,7	13	18,9	12	21,45	11	22,9
7	18	20,2	17	23,4	16	25,72	15	27,7
8	14	15,5	13	18,5	12	20,25	11	21,4
9	10	11,5	9	14,5	8	16,25	7	17,4

Разработанная методика определения оптимальных значений основных параметров «сухих» портов на основе использования метода имитационного моделирования состоит из двух основных этапов. На первом определяются максимальные значения пропускной и перерабатывающей способностей существующего морского порта, при которых обеспечиваются заданные объем и качество (своевременность) грузовых перевозок. На втором этапе рассчитываются оптимальные значения параметров «сухого» порта, при которых достигаются потребные характеристики грузопотоков с учётом прогноза увеличения их интенсивности.

Эффективность методики и обоснованности предложенной системы основных параметров «сухих» портов оценивалась на модели системы «морской порт – «сухой» порт». Система включает в себя три площадки – причал морского порта, контейнерные площадки морского и «сухого» портов. На каждой из площадок контейнеропотоки перерабатываются по прибытии и отправлению. Суда-контейнеровозы швартуются у двух причалов, оснащённых двумя контейнерными перегружателями. Путевое развитие припортовой железнодорожной станции состоит из четырёх приёмо-отправочных путей

вместимостью до 55 вагонов. Грузовые операции с контейнерами выполняются на четырёх грузовых фронтах – по два на каждый причал. Контейнеры между причалами и контейнерной площадкой морского порта транспортируются поездами-шаттлами по 25 вагонов, между причалами и «сухим» портом – по 40 вагонов. Между причалом и площадкой морского порта – автоконтейнеровозами (6 ед.). Контейнерная площадка морского порта оснащена четырьмя контейнерными перегружателями. Путевое развитие железнодорожной станции «сухого» порта состоит из шести приёмо-отправочных путей. Погрузо-разгрузочные операции выполняются мостовым краном. Работу на контейнерной площадке «сухого» выполняет шесть контейнерных перегружателей. Вместимость путей железнодорожной станции «сухого» порта позволяет принимать с внешней сети составы до 55 вагонов.

По прибытии судна в акваторию морского порта проверяется наличие свободного причала. Если причалы заняты – суда на рейде ожидают освобождения причалов. Погрузочно-разгрузочные работы в порту могут производиться по прямому варианту (судно – вагон) или складскому (судно – причал – вагон; автоконтейнеровоз – контейнерная

площадка морского порта). После размещения контейнеров на площадках морского и «сухого» портов с ними производятся коммерческие и частично грузовые операции. С контейнерной площадки «сухого» порта контейнеры отправляются в морской порт железнодорожным транспортом, потребителям же – еще и автомобильным.

Особенность построенной имитационной модели – использование комбинации дискретно-событийного (процессного) и «агентного» подходов; она позволяет описывать свойства отдельных технических средств и устройств, грузовых единиц и единиц подвижного состава и моделировать технологические процессы.

Состав модели системы «морской – «сухой» порт»:

- динамические агенты (заявки), содержащие характеристики контейнеров, морских судов, вагонов, поездов;
- статические агенты (обслуживающие средства и устройства), имитирующие причалы, контейнерные площадки, краны, перегружатели, автоконтейнеровозы;
- управляющие агенты (диспетчеры, регулирующие потоки контейнеров и транспортных средств, а также взаимодействие различных агентов в модели).

Рассмотрим особенности описания функций агентов с использованием процессного подхода (диаграмм-действий) на примере агента, имитирующего работу причала (рис. 4).

Агенты-контейнеры поступают в агент «причал» через «входной порт». Параметрами агента являются «номер_причала» и «длительность_разгрузки» одного контейнера. Блок «разгрузка» имитирует работу кранов по разгрузке судов. Число кранов на причале, одновременно занятых разгрузкой, задается блоком «краны». Блок «выбор_направления» переключает поток агентов-контейнеров в зависимости от наличия на причале порожнего железнодорожного подвижного (поездов-шаттлов морского или «сухого» портов). Если их нет, то выгрузка производится на причал, и контейнеры транспортируются на площадку морского порта автоконтейнеровозами. Вспомогательные блоки «ограничение_вход», «ограничение_выход» используются для разделения входного потока контейнеров на отдельные агенты-контейнеры.

Продолжительность транспортно-грузовых операций задавалась в модели в соответствии с нормативными значениями. Случайные отклонения продолжительности выполнения

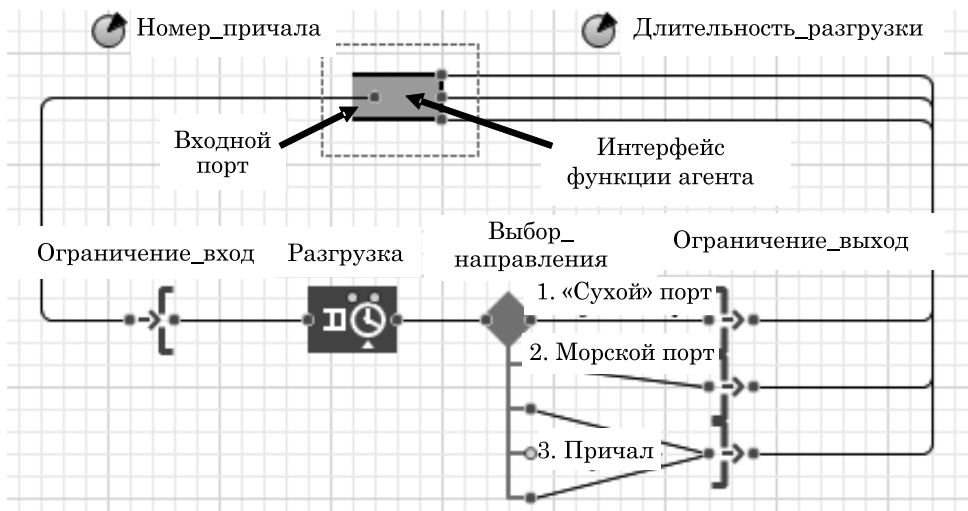


Рис. 4. Функция «разгрузка судна» агента «причал»

различных технологических операций и интенсивности грузопотоков описывались законами распределения случайных величин.

Взаимодействие разработанных агентов имитационной модели осуществляется с использованием дискретно-событийного подхода, предполагающего представление технологического процесса работы системы «морской порт – «сухой» порт» в целом с использованием из двух групп, так называемых «поточковых диаграмм» (технологических цепочек). Каждая группа поточковых диаграмм имитирует обработку грузопотоков для прибывающих (импортных)

и отправляемых (экспортных) потоков контейнеров на разных площадках системы: на причале, контейнерной площадке в морском порту, в «сухом» порту (рис. 5).

По прибытии судов в морской порт проверяется занятость причалов и выбирается свободный причал (рис. 6). Фрагмент позволяет определить затраты времени на простой судов на рейде.

Потоковая диаграмма погрузо-разгрузочных операций, выполняемых на причале, а также процесса выбора прямого или складского варианта разгрузки представлена на рис. 8.

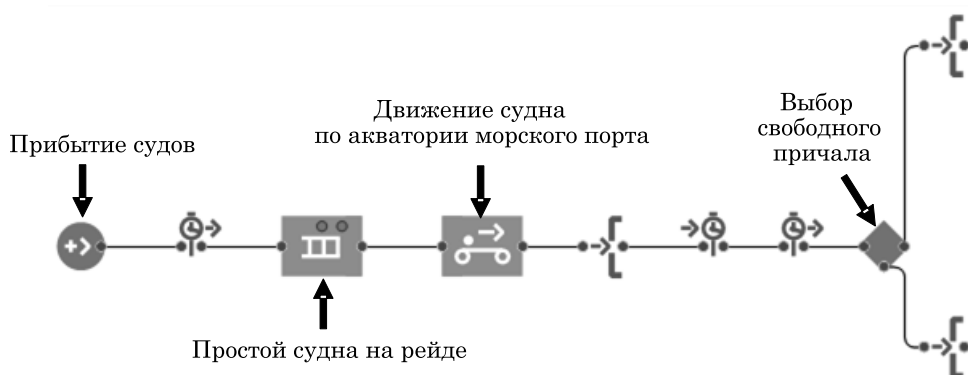


Рис. 5. Прибытие судов в морской порт (фрагмент имитационной модели)

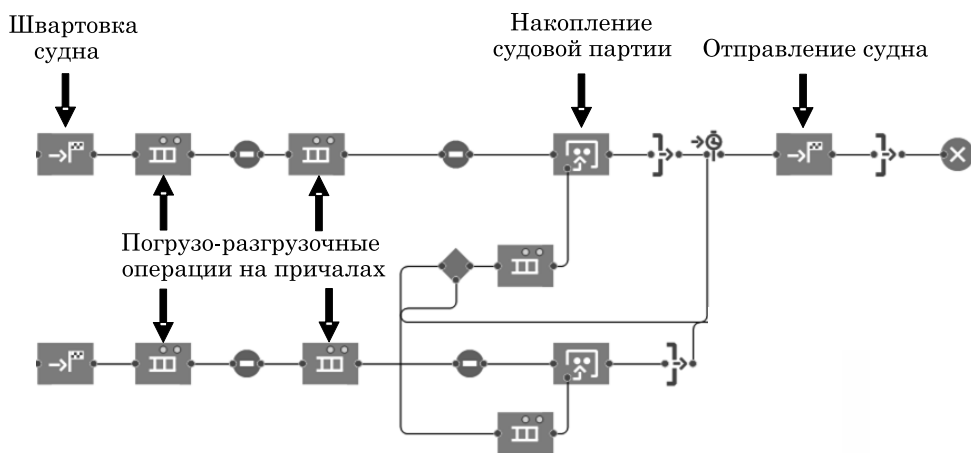


Рис. 6. Стоянка судов на причалах морского порта (фрагмент модели)

После окончания разгрузки судно ожидает накопление судовой партии, доставляемой из контейнерной площадки морского и «сухого» портов. Фрагмент, представленный на рис. 7, предназначен для определения времени простоя судов под погрузочно-разгрузочными работами.

При наличии на причале поездов-шаттлов, осуществляющих транспортировку контейнеров между морским и «сухим» портами (рис. 8), контейнеры грузятся на них. В противном случае – перевозятся автоконтейнеровозами на контейнерную площадку морского порта (рис. 9).

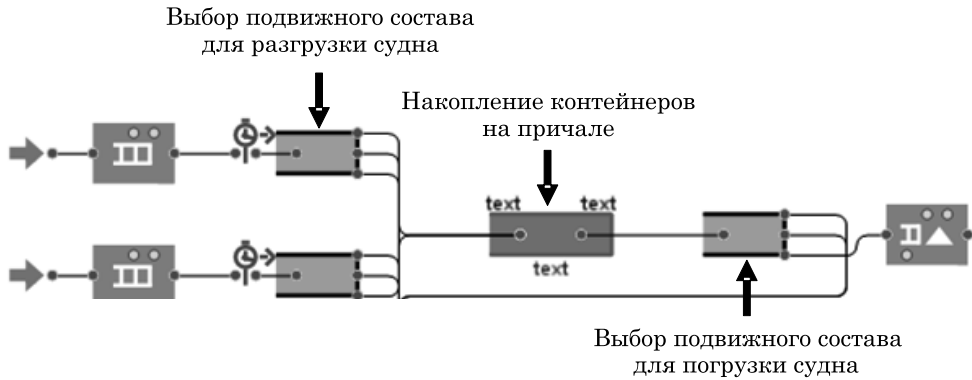


Рис. 7. Фрагмент имитационной модели, описывающий погрузочно-разгрузочные работы на причале

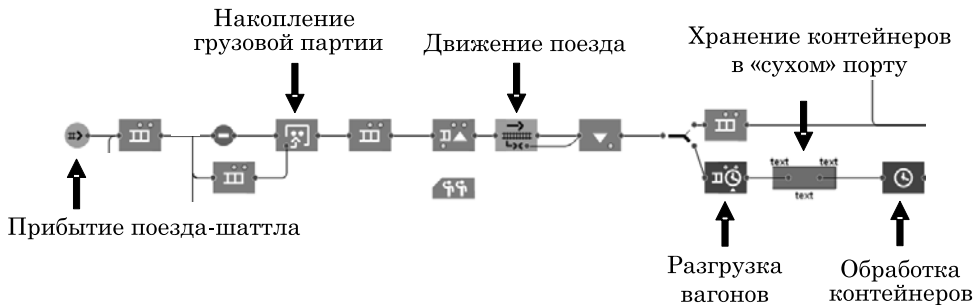


Рис. 8. Работа железнодорожных челноков-шаттлов (фрагмент модели)

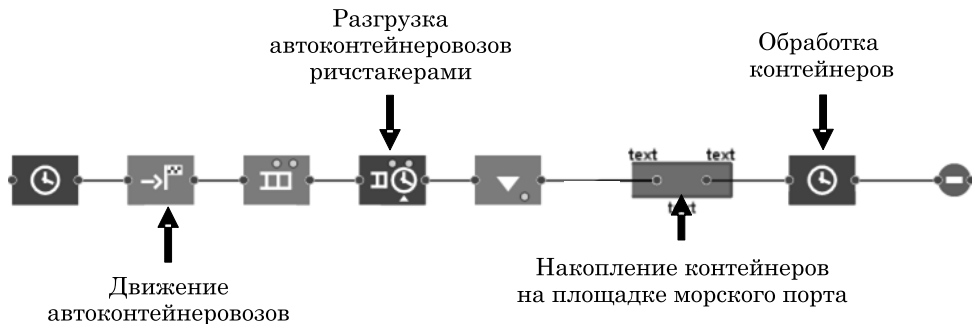


Рис. 9. Работа автоконтейнеровозов в порту (фрагмент модели)

Обработка контейнеров в «сухом» (рис. 10) и морском (рис. 11) портах включает в себя операции по разгрузке поездов-шаттлов или автоконтейнеровозов, а также операции по приёму, выгрузке и погрузке контейнеров на железнодорожные платформы с последующей отправкой поездов на внешнюю сеть.

С использованием построенной модели проведены эксперименты по оценке грузооборота морского порта до и после введения «сухого» порта в имитационную модель.

Имитационные эксперименты проводились для различных значений интенсивности (от 10 до 14 судов в месяц), изменяющихся в диапазоне прибытия судов в порт, а также при значениях коэффициента неравномерности входных потоков в диапазоне от 1,15 до 1,5 [24]. Поскольку затраты времени на выполнение технологических операций в имитационной модели задавались с использованием законов распределения случайной величины, то для снижения дисперсии полученных результатов проводили десять прогонов модели с одинаковыми

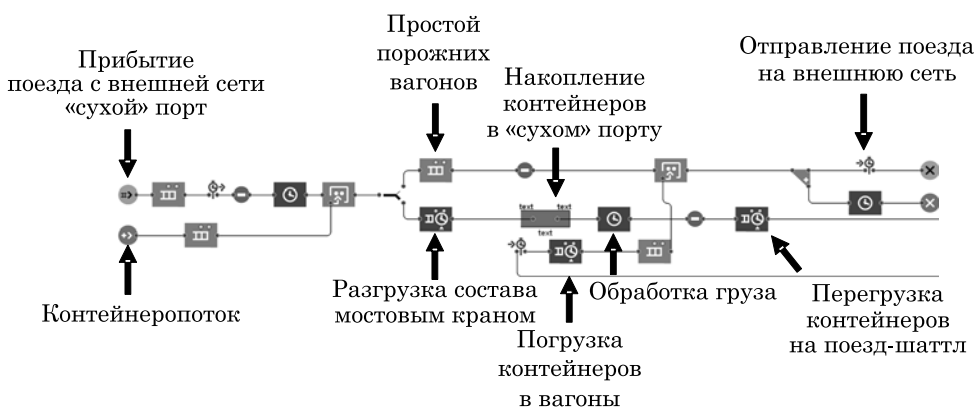


Рис. 10. Погрузо-разгрузочные операции с железнодорожным подвижным составом в «сухом» порту (фрагмент модели)

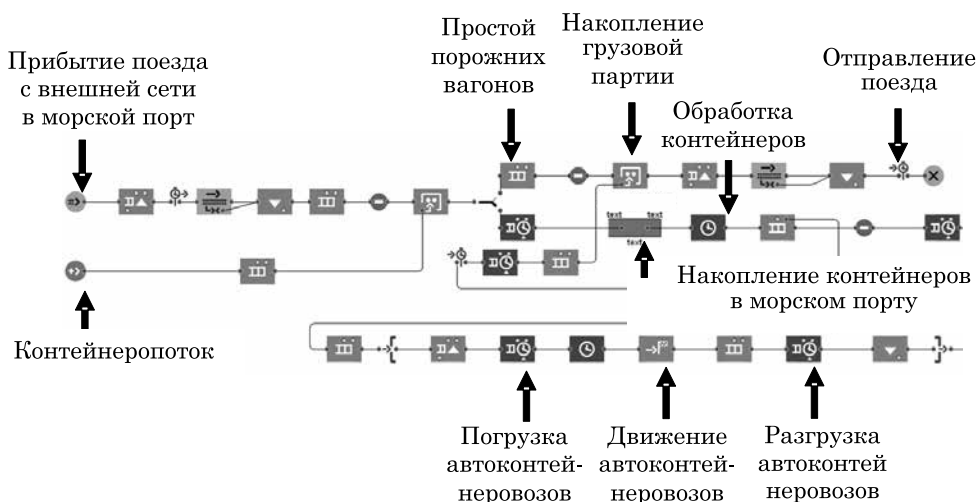


Рис. 11. Погрузо-разгрузочные операции с железнодорожным подвижным составом в морском порту (фрагмент модели)

исходными данными. Для исключения отрицательных значений интервала времени между моментами прибытия судов в порт, возможного при использовании нормального закона распределения случайной величины, в модели был использован механизм проверки сгенерированного значения интервала на отрицательность. Продолжительность моделируемого периода в экспериментах – один месяц.

Результаты экспериментов с построенной имитационной моделью системы

«морской порт – сухой» порт» представлены на рис. 12–17.

В процессе моделирования для каждой пары «интервал времени между моментами прибытия судна в порт коэффициент неравномерности $K_{\text{нр}}$ этого интервала» проводилось десять прогонов модели с продолжительностью моделируемого периода, равного одному месяцу. Результаты усреднения данных, полученных в модельных экспериментах, представлены на рис. 12 и 13.

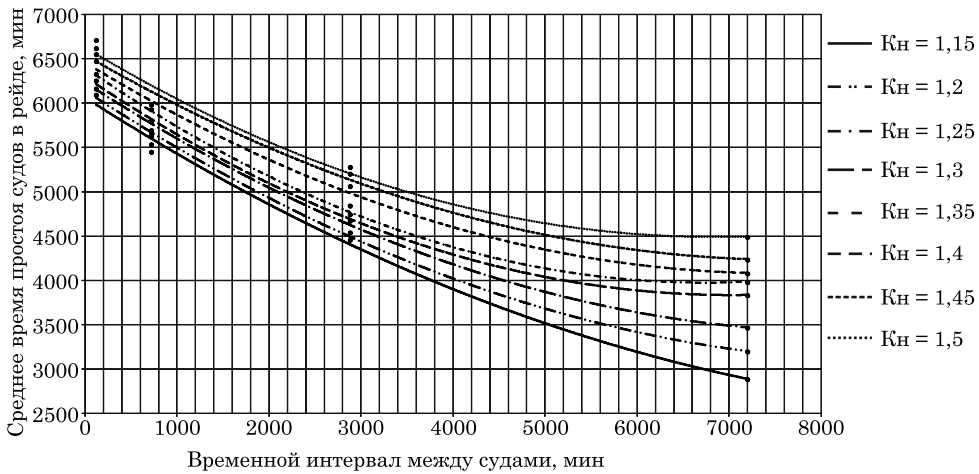


Рис. 12. Изменение среднего времени простоя судов до внедрения «сухого» порта

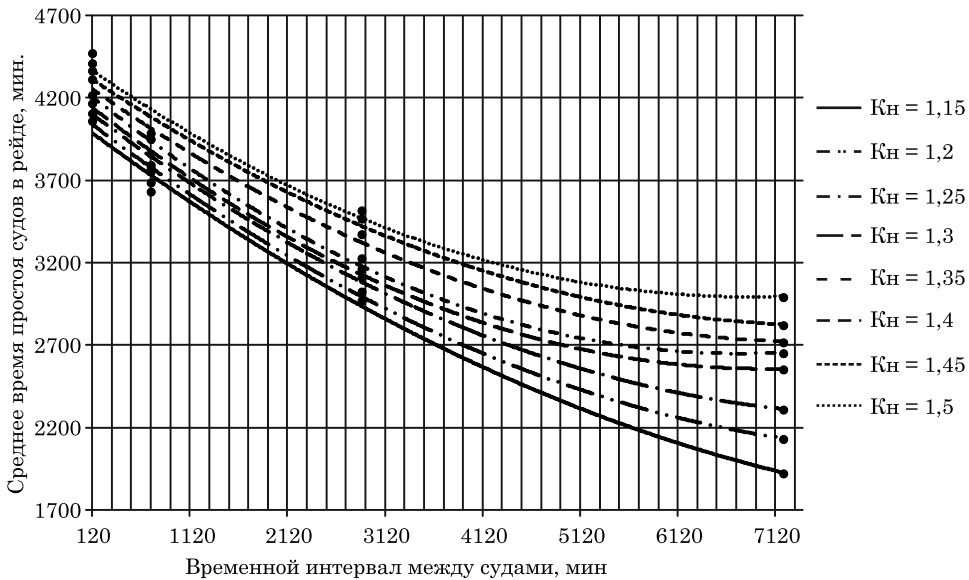


Рис. 13. Изменение среднего времени простоя судов после внедрения «сухого» порта

Из рис. 14 видно, что максимальная пропускная способность моделируемого морского порта составила десять судов в месяц; увеличение числа прибывающих в порт судов не приводит к росту его грузооборота, но при этом увеличивает число судов в ожидании обработки. При введении в систему «сухого» порта, обладающего оптимальной для соответствующего грузопотока вместимостью, наблюдается практически линейное увеличение грузооборота

моделируемой системы (рис. 15). Это позволяет сделать вывод об адекватности разработанной имитационной модели и корректности предложенной системы основных параметров «сухого» порта.

Оптимальный для модельного примера момент создания «сухого» порта, возникающий при увеличении месячной интенсивности прибытия в порт до 14 судов средней грузоподъемностью 4000 TEU, определяется по внешнему виду графиков изменения себестоимости

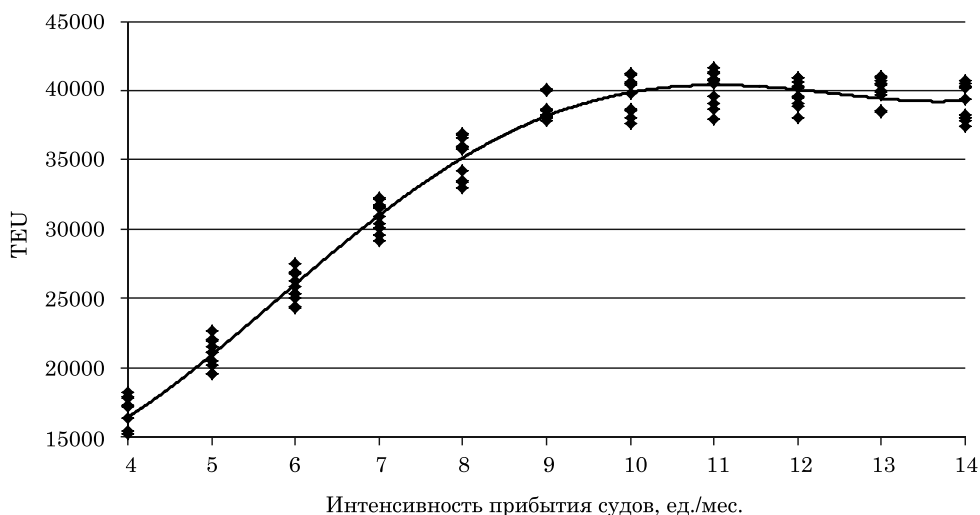


Рис. 14. Динамика грузооборота морского порта до введения «сухого» порта

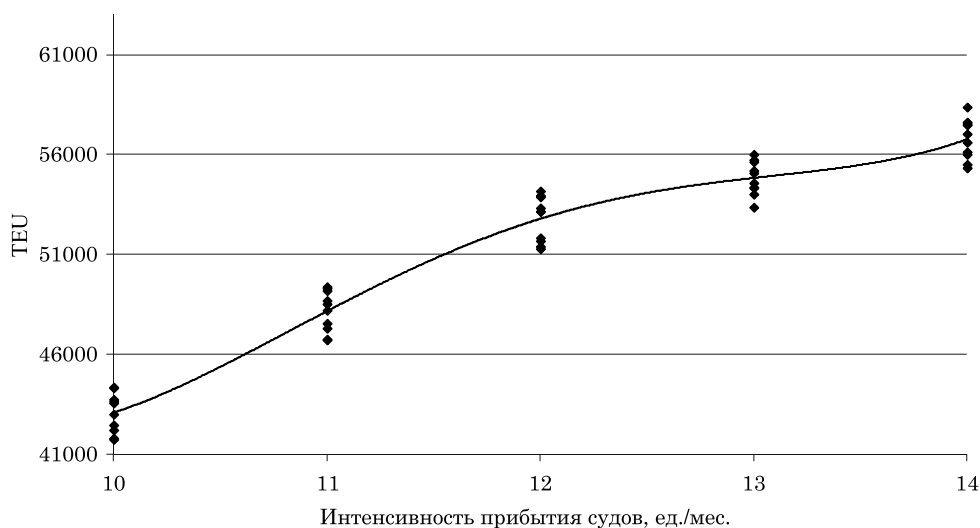


Рис. 15. Динамика грузооборота морского порта после введения «сухого» порта

переработки контейнеров (рис. 16) и эксплуатационных затрат (рис. 17) в моделируемой системе.

После определения предельной перерабатывающей способности морского порта рассчитывались оптимальные значения предложенной системы основных параметров «сухого» порта, зависящие от места его размещения, вместимости и перерабатывающей способности.

Оптимальное сочетание значений параметров «сухого» порта (см. таблицу) выбиралось по критерию минимума эксплуатационных затрат системы «морской порт – «сухой» порт» (себестоимость). В состав эксплуатационных затрат включены затраты на простой судов и железнодорожного подвижного состава в системе, а также затраты на хранение контейнеров в портах.

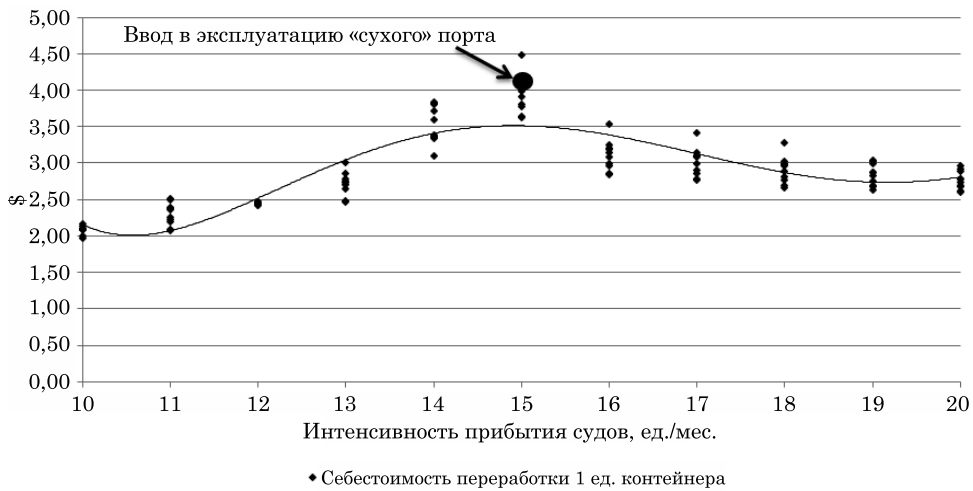


Рис. 16. Динамика себестоимости переработки контейнеров в модели системы «морской порт – «сухой» порт»

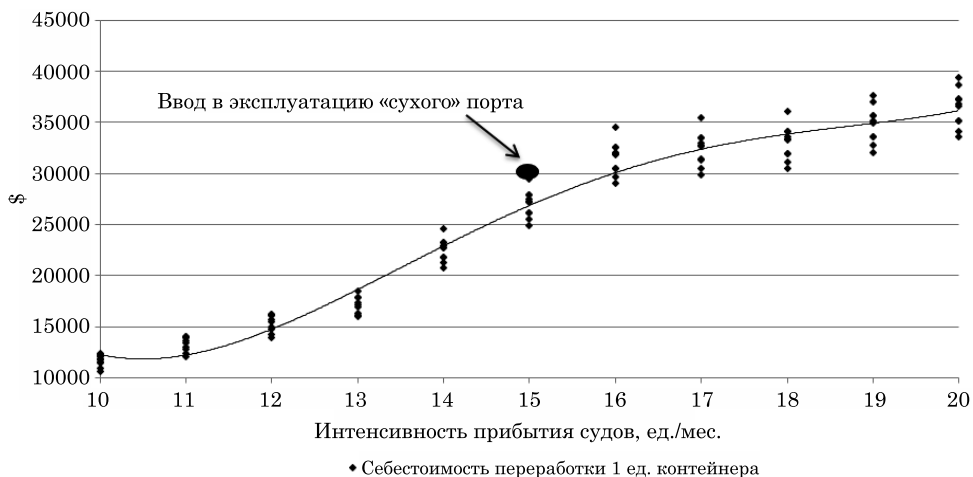


Рис. 17. Динамика эксплуатационных затрат в модели системы «морской порт – «сухой» порт»

Для принятых в модельном эксперименте исходных данных оптимальными для размещения «сухого» порта последовательно оказывались участки 8.1, 8.2, 7.3 и 7.4 (см. рис. 3), то есть модель «выбирала» место размещение «сухого» порта, отстоящее от морского на минимальное расстояние. Это расстояние модель стремилась сократить по мере увеличения интенсивности и неравномерности входных грузопотоков и вместимости площадки «сухого» порта.

Анализ полученных результатов моделирования показал, что сооружение «сухого» порта позволяет сократить среднее время простоя судов в рейде в полтора раза. После введения в имитационную модель «сухого» порта с оптимальными значениями его основных параметров снизилась себестоимость переработки контейнеров на 33 % (см. рис. 17). Это происходит в результате полного сокращения потерь, связанных с простоем транспортных средств (судов и железнодорожного подвижного состава) [25], а также погрузо-разгрузочных механизмов, уменьшения запасов контейнеров и снижения времени их хранения в портах.

Сооружение «сухого» порта в соответствии с предложенной системой его основных параметров не только увеличивает пропускную и перерабатывающую способность системы «морской порт – «сухой порт», но и обеспечивает потребную своевременность переработки грузопотоков в системе.

Эксперименты позволили разработать методику определения оптимальных значений основных параметров «сухих» портов. Методика состоит из следующих этапов.

1. Анализ генерального плана функционирующего морского порта, его акватории, схемы путевого развития припортовой железнодорожной станции и путей необщего пользования, технологии работы морского порта.

2. Сбор статистических данных о продолжительности технологических операций в порту, фактических входных грузо-, вагоно-, поездопотоков и потоков

судов. Расчет существующих и прогнозных значений интенсивности и коэффициентов неравномерности входных потоков. Определение законов распределения соответствующих случайных величин и параметров этих законов.

3. Построение имитационной модели морского порта из представленных в статье стандартизированных блоков.

4. Проведение модельных экспериментов на построенной имитационной модели морского порта с использованием фактических и прогнозных значений интенсивности и неравномерности входных грузовых и транспортных потоков с целью определения предельной перерабатывающей способности порта.

5. Принятие решения о необходимости сооружения «сухого» порта, если морской порт не обеспечивает переработку существующих или прогнозных грузовых и транспортных потоков с приемлемыми затратами.

6. Построение ситуационного плана местности региона потенциального размещения «сухого» порта.

7. Выбор сценариев сооружения «сухого» порта и определение для каждого сценария значений: расстояние между морским и «сухим» портами, вместимость «сухого» порта, капитальные затраты на сооружение «сухого» порта.

8. Расширение имитационной модели морского порта путем введения в нее стандартизированных блоков, имитирующих работу «сухого» порта, а также взаимодействие портов.

9. Задание при помощи встроенного оптимизатора (при использовании AnyLogic) или в оптимизационных надстройках (в других программных средах имитационного моделирования) критерия оптимизации (себестоимость переработки контейнеров) и граничных значений основных параметров моделируемого «сухого» порта.

10. Проведение имитационных экспериментов с моделью системы «морской порт – «сухой» порт» при различных значениях интенсивности и неравномерности входных грузовых и транспортных

потоков с целью определения для каждого сценария развития припортовой инфраструктуры оптимальных значений основных параметров «сухого» порта.

Анализ теоретических исследований и практики развития портовой инфраструктуры показывает эффективность создания «сухих» портов как средства увеличения перерабатывающей способности морских портов, снижения неравномерности контейнеропотоков, простоя транспортных средств, сроков хранения контейнеров, себестоимости грузопереработки, а также решения ряда экологических проблем регионов, прилегающих к морским портам.

Однако нерациональные параметры «сухого» порта, выбранные на этапе стратегического планирования, могут в последующем быть причиной недостаточной эффективности функционирования системы «морской порт – «сухой» порт». В статье предложена система основных параметров «сухого» порта, приводится обоснование выбранных параметров, показаны качественные взаимосвязи между ними.

Для сокращения рассматриваемых вариантов сочетаний значений данных параметров «сухого» порта в процессе

стратегического планирования развития портовой инфраструктуры предложено использование сценарного подхода в сочетании с методом имитационного моделирования.

Эксперименты с имитационной моделью позволили установить зависимости между отдельными основными параметрами сухих портов, количественно доказать эффективность «сухих» портов как способа увеличения пропускной способности морских портов при одновременном снижении себестоимости грузопереработки.

Предложена методика расчета значений основных параметров «сухих» портов, позволяющая также определять оптимальный момент увеличения перерабатывающей способности морского порта путем создания «сухого» порта. Разработанную методику целесообразно использовать для обоснования инвестиционных решений по сбалансированному развитию транспортно-логистической инфраструктуры городов и регионов размещения морских портов.

Дальнейшее развитие работы предусматривает исследование взаимосвязей основных параметров «сухих» портов в динамике с целью повышения точности результатов. ■

Литература

1. Югова Д.И., Сизый С.В., Сай В.М. Имитационная модель контейнерного терминала – элемента региональной транспортно-логистической сети // Транспорт Урала. 2011. № 2. С. 31–37. ISSN 1815-9400.
2. Панова Ю.Н., Коровяковский Е.К. Факторы строительства тыловых контейнерных терминалов // Вестник ТОГУ. 2012. № 1 (24). С. 103–112. ISSN 1996-3440.
3. Панова Ю.Н., Коровяковский Е.К., Титова Т.С. Экологические аспекты внедрения тыловых терминалов // Известия ПГУПС. 2011. № 3. С. 15–23. ISSN 0201-727X.
4. РЖД-Партнер. Контейнерооборот портов России по итогам 2015 года сократился на 25,4 % до 3,9 млн TEU. URL: <http://www.rzd-partner.ru/news/porty-rossii/konteinerooborot-portov-rossii-po-itogam-2015-goda-sokratilsia-na-25-4-do-3-9-mln-teu/> (дата обращения: 20.01.2016).
5. Ассоциация морских торговых портов. URL: <http://www.morport.com/rus/news/document1559.shtml> (дата обращения: 05.05.2015).
6. Коровяковский Е.К. Проблемы развития системы логистических центров на железнодорожном транспорте // Логистические системы в глобальной экономике. 2013. № 3–1. С. 121–125. ISSN 2311-7265.
7. Рейтинг крупнейших портов мира по итогам 2014 г. URL: http://www.tis-logistic.ru/news/rejting_kрупнейshikh_portov_2014.html (дата обращения: 04.04.2016).
8. Сай В.М. Организация «окон» в графике движения поездов при содержании транспортной инфраструктуры // Вестник УрГУПС. 2009. №1. С. 51–57. ISSN 2079-0392.

9. Кузнецов А.Л. Имитационное моделирование работы порта с учетом дифференцированных метеоусловий // Эксплуатация морского транспорта. 2011. № 1 (63). С. 3–8. ISSN 1992-8181.
10. Половинкина Ю.С. Шумовое загрязнение окружающей среды урбанизированных территорий (на примере города Волгограда) // Научный журнал КубГАУ. 2012. № 76 (02). С. 1–10. ISSN 1990-4665.
11. Муравьев Д.С., Рахмангулов А.Н. Выбор и расчет основных параметров «сухого» порта // Современные проблемы транспортного комплекса России. 2012. № 2. С. 54–59. ISSN 2222-9396.
12. Король Р.Г. Оценка эффективности создания «сухого порта» для обслуживания транспортного узла // Транспорт азиатско-тихоокеанского региона. 2015. № 1 (2, 3). С. 47–49. ISSN 2415-8658.
13. Муравьев Д.С., Мишкурлов П.Н., Рахмангулов А.Н. Использование имитационного моделирования для оценки перерабатывающей способности морских портов и обоснования необходимости сооружения «сухого» порта // Современные проблемы транспортного комплекса России. 2013. № 4. С. 66–72. ISSN 2222-9396.
14. Roso V., Woxenius J., Lumsden K. The dry port concept: connecting container seaports with the hinterland // Journal of Transport Geography. 2008. № 17 (5). P. 338–345. ISSN 0966-6923.
15. Roso V., Lumsden K. The dry port concept: moving seaport activities inland? // Transport and Communications Bulletin for Asia and the Pacific. 2009. № 78. P. 87–101. ISSN 0252-4392.
16. Муравьев Д.С., Рахмангулов А.Н. Особенности построения имитационной модели технологии работы морского порта в системе AnyLogic // Проблемы и перспективы развития Евразийских транспортных систем : м-лы V Междунардн. научн.-практ. конф. – Челябинск : ЮУрГУ. 2013. С. 207–209.
17. Rodrigue J.-P., Notteboom T. Dry ports in European and North American intermodal rail systems: Two of a kind? // Research in Transportation Business and Management. 2012. № 5. P. 4–15. ISSN 2210-5395.
18. Bergqvist R., Falkemark G., Woxenius J. Establishing intermodal terminals // World Review of Intermodal Transportation Research. 2010. № 3 (3). P. 285–302. ISSN 1749-4737.
19. Henttu V., Hilmola O. Financial and environmental impacts of hypothetical Finnish dry port structure // Research in Transportation Economics. 2011. № 33 (1). P. 35–41. ISSN 0739-8859.
20. Багинова В.В., Рахмангулов А.А. Адаптивная организация грузопотоков // Мир транспорта. 2011. № 3 (36). С. 132–138. ISSN 1992-3252.
21. Рахмангулов А.Н., Копылова О.А. Проблема выбора места размещения логистических центров // Современные проблемы транспортного комплекса России. 2011. № 1. С. 58–67. ISSN 1815-588X.
22. Рахмангулов А.Н., Корнилов С.Н., Кольга А.Д. Обеспечение своевременности грузовых перевозок в транспортно-технологических системах // Вестник Магнитогорского государственного технического университета им. Г.И. Носова. 2014. № 1 (45). С. 115–121. ISSN 1995-2732.
23. Рахмангулов А.Н., Мишкурлов П.Н. Особенности построения имитационной модели технологии работы железнодорожной станции в системе AnyLogic // Сб. научн. тр. SWorld. 2012. № 4 (1). С. 7–14. ISSN 2224-0187.
24. Рахмангулов А.Н., Трофимов С.В., Корнилов С.Н. Управление транспортными системами. Теоретические основы. Магнитогорск : Изд-во МГТУ им. Г.И. Носова, 2001. 191 с.
25. Русинов И.А. Анализ методов многокритериальной оптимизации процессов переработки грузов в контейнерах // Аудит и финансовый анализ. 2009. № 2. С. 1–3. ISSN 0236-2988.

References

1. Yugova D.I., Sizyi S.V., Say V.M. Imitacionnaya model' kontejnernogo terminala – ehlementa regional'noj transportno-logisticheskoy seti [A simulation model of container terminal – element of regional transport and logistics network] // Transport of the Urals. 2011. № 2. P. 31–37. ISSN 1815-9400.

2. Panova Y.N., Korovyakovsky E.K. Faktory stroitel'stva tylovykh kontejnernykh terminalov [Construction Factors rear container terminals] // Herald of PNU. 2012. № 1 (24). P. 103–112. ISSN 1996-3440.
3. Panova Y.N., Korovyakovsky E.K., Titova T.S. Environmental aspects of the introduction of the rear terminals // News of the PSTU. 2011. № 3. P. 15–23. ISSN 0201-727X.
4. RZD-Partner. Russia's container ports on the results of 2015 decreased by 25.4% to 3.9 million TEU [RZHD-Partner. Kontejnerooborot portov Rossii po itogam 2015 goda sokratilsya na 25,4 % do 3,9 mln TEU.]. URL: <http://www.rzd-partner.ru/news/porty-rossii/kontejnerooborot-portov-rossii-po-itogam-2015-goda-sokratilsia-na-25-4-do-3-9-mln-teu/> (accessed date: 01.20.2016).
5. Association of the commercial seaports. URL: <http://www.morport.com/rus/news/document1559.shtml> (reference date: 05.05.2015).
6. Korovyakovsky E.K. Problemy razvitiya sistemy logisticheskikh centrov na zheleznodorozhnom transporte [Problems of logistics centers development of the system of railway transport] // Logistics systems in the global economy. 2013. № 3-1. P. 121–125. ISSN 2311-7265.
7. Rating of the world's largest ports on the results of 2014 [Rejting krupnejshih portov mira po itogam 2014 g.]. URL: http://www.tis-logistic.ru/news/rejting_krupneyshikh_portov_2014.html (reference date: 04.04.2016).
8. Say V.M. Organizaciya «okon» v grafike dvizheniya poezdov pri sodержanii transportnoj infrastruktury [Organization of «windows» in the schedule of trains with the content of the transport infrastructure] // Herald of USURT. 2009. № 1. P. 51–57. ISSN 2079-0392.
9. Kuznetsov A.L. Imitacionnoe modelirovanie raboty porta s uchetom differencirovannykh meteouslovij [Simulation of the port with differentiated weather conditions] // Operation of maritime transport. 2011. № 1 (63). P. 3–8. ISSN 1992-8181.
10. Polovinkina Y.S. Shumovoe zagryaznenie okruzhayushchej sredy urbanizirovannyh territorij (na primere goroda Volgograda) [Noise pollution in urban areas (on the example of the city of Volgograd)] // KubSAU Scientific Journal. 2012. № 76 (02). P. 1–10. ISSN 1990-4665.
11. Muraviev D.S., Rakhmangulov A.N. Vybor i raschet osnovnykh parametrov «suhogo» porta [Selection and calculation of the main parameters of the «dry» port] // Modern problems of the transport complex of Russia. 2012. № 2. P. 54–59. ISSN 2222-9396.
12. Korolev R.G. Otsenka effektivnosti sozdaniya «suhogo porta» dlya obsluzhivaniya transportnogo uzla [Evaluating the effectiveness of creating a «dry port» to serve the transportation hub] // Transport Asia-Pacific region. 2015. № 1 (2, 3). P. 47–49. ISSN 2415-8658.
13. Muraviev D.S., Mishkurov P.N., Rakhmangulov A.N. Ispol'zovanie imitacionnogo modelirovaniya dlya ocenki pererabatyvayushchej sposobnosti morskikh portov i obosnovaniya neobходимosti sooruzheniya «suhogo» porta [Using a simulation to evaluate the handling capacity of seaports and construction of the «dry» port justification] // Modern problems of the transport complex of Russia. 2013. № 4. P. 66–72. ISSN 2222-9396.
14. Roso V., Woxenius J., Lumsden K. The dry port concept: connecting container seaports with the hinterland // Journal of Transport Geography. 2008. № 17 (5). P. 338–345. ISSN 0966-6923.
15. Roso V., Lumsden K. The dry port concept: moving seaport activities inland? // Transport and Communications Bulletin for Asia and the Pacific. 2009. № 78. P. 87–101. ISSN 0252-4392.
16. Muraviev D.S., Rakhmangulov A.N. Osobennosti postroeniya imitacionnoj modeli tekhnologii raboty morskogo porta v sisteme AnyLogic [Features of the construction of a simulation model of the seaport operation technology in AnyLogic system] // Problems and prospects of development of the Euro-Asian transport system: materials of the Vth International scientific-practical conference – Chelyabinsk: SUSU. 2013. P. 207–209.
17. Rodrigue J-P., Notteboom T. Dry ports in European and North American intermodal rail systems: Two of a kind // Research in Transportation Business and Management. 2012. № 5. P. 4–15. ISSN 2210-5395.
18. Bergqvist R., Falkemark G., Woxenius J. Establishing intermodal terminals // World Review of Intermodal Transportation Research. 2010. № 3 (3). P. 285–302. ISSN 1749-4737.
19. Henttu V., Hilmola O. Financial and environmental impacts of hypothetical Finnish dry port structure // Research in Transportation Economics. 2011. № 33 (1). P. 35–41. ISSN 0739-8859.

20. Baginova V.V., Rakhmangulov A.A. Adaptivnaya organizaciya gruzopotokov [Adaptive organization of the freight traffic] // World of Transport. 2011. № 3 (36). С. 132–138. ISSN 1992-3252.
21. Rakhmangulov A.N., Kopylova O. Problema vybora mesta razmeshheniya logisticheskix centrov [The problem of choosing the place of logistics centers] // Modern problems of the transport complex of Russia. 2011. № 1. С. 58–67. ISSN 1815-588H.
22. Rakhmangulov A.N., Kornilov S.N., Kolga A.D. Obespechenie svoevremennosti gruzovyh perevozok v transportno-tekhnologicheskix sistemah [Ensuring the timeliness of freight traffic in the transport-technological systems] // Herald of Magnitogorsk State Technical University n.a. G.I. Nosov. № 1, 2014. (45). P. 115–121. ISSN 1995-2732.
23. Rakhmangulov A.N., Mishkurov P.N. Osobennosti postroeniya imitacionnoj modeli tekhnologii raboty zheleznodorozhnoj stancii v sisteme AnyLogic [Features of a simulation model construction of the train station technology work in AnyLogic system] // collection of scientific works SWorld. 2012. № 4 (1). С. 7–14. ISSN 2224-0187.
24. Rakhmangulov A.N., Trofimov S.V., Kornilov S.N. Upravlenie transportnymi sistemami. Teoreticheskie osnovy [Transport systems management. Theoretical basis]. Magnitogorsk: Publishing House of the MSTU n.a. G.I. Nosov, 2001. 191 p.
25. Rusinov I.A. Analiz metodov mnogokriterial'noj optimizacii processov pererabotki gruzov v kontejnerah [Analysis of methods of multi-criteria optimization processes of cargo handling in containers] // Audit and financial analysis. 2009. № 2. P. 1–3. ISSN 0236-2988.

Статья сдана в редакцию 2 июня 2016 года

А.В. Мартыненко, М.А. Журавская, Цун Цяо

Оценка времени транспортировки грузов в логистической цепи поставок

A.V. Martynenko, M.A. Zhuravskaya, Cong Qiao

Assessment of cargo transportation time in logistics supply chain

Аннотация

В статье рассматриваются вопросы, связанные с моделированием цепей поставок. Основной акцент сделан на оценке времени собственно транспортировки грузов в логистической цепи поставок.

Для получения точных оценок временных характеристик логистической цепи необходимо рассматривать время транспортировки как случайную величину.

В статье рассмотрен вопрос о законе распределения времени транспортировки груза по одному звену логистической цепи и предложено использовать в качестве такого закона бета-распределение. Для обоснования подобного выбора приведена аргументация, содержащая, кроме прочего, общие эвристические и строгие теоретико-вероятностные соображения.

Также в статье предложена методика и выведены формулы, позволяющие рассчитать параметры бета-распределения по трем эмпирическим оценкам времени транспортировки груза – максимальном, минимальном и наиболее ожидаемом. Показаны особенности использования полученного таким образом бета-распределения для расчета временных характеристик функционирования транспортных звеньев логистической цепи.

Ключевые слова: логистическая цепь, моделирование, время транспортировки, показатели логистики, бета-распределение.

DOI:10.20291/2079-0392-2016-3-73-81

Abstract

The article reviews issues related to supply chain modeling. The main focus is made on assessing the time of the actual cargo transportation within a logistics supply chain.

To receive exact time characteristic estimates of a logistics chain, it is necessary to consider transportation time as a random variable.

The article considers the law of cargo transportation time distribution along one link of a logistics chain and offers to use beta-distribution as such law. To explain such a choice, the article contains some reasons including but not limited to general heuristic and strict probability-theoretic considerations.

The article also offers methods and derives formulae which allow calculating the beta-distribution parameters on the basis of three empirical estimates of cargo transportation time – maximum, minimum and most expected time. The article also shows the peculiarities of application of the beta-distribution received by this method in calculations of time characteristics of logistics chain transport link functioning.

Key words: logistics chain, modeling, transportation time, logistics indicators, beta-distribution.

DOI:10.20291/2079-0392-2016-3-73-81

Александр Валерьевич Мартыненко, канд. физ.-мат. наук, доцент; кафедра «Высшая и прикладная математика» Уральского государственного университета путей сообщения; старший научный сотрудник Центра развития и размещения производительных сил Института экономики УрО РАН; Екатеринбург, Россия. E-mail: AMartynenko@usurt.ru.

Марина Аркадьевна Журавская, канд. техн. наук, доцент; кафедра «Мировая экономика и логистика» Уральского государственного университета путей сообщения; Екатеринбург, Россия. E-mail: MZhuravskaya@usurt.ru.

Цун Цяо, аспирант; кафедра «Мировая экономика и логистика» Уральского государственного университета путей сообщения; Екатеринбург, Россия. E-mail: qiaosong@mail.ru.

Работа выполнена при поддержке РФФИ, проект №16-06-00464.

Alexander Valeryevich Martynenko, Cand.Sc. (Physics and Mathematics), Assistant Professor; Department of Higher and Applied Mathematics, Ural State University of Railway Transport; Senior Research Fellow of Center of Productive Forces Development and Distribution of Institute of Economics, the Ural Branch of Russian Academy of Sciences; Ekaterinburg, Russia. E-mail: AMartynenko@usurt.ru.

Marina Arkadyevna Zhuravskaya, Cand.Sc. (Engineering), Assistant Professor; Department of World Economy and Logistics, Ural State University of Railway Transport; Ekaterinburg, Russia. E-mail: MZhuravskaya@usurt.ru.

Cong Qiao, Ph.D. student; Department of World Economy and Logistics, Ural State University of Railway Transport; Ekaterinburg, Russia. E-mail: qiaosong@mail.ru.

The article is prepared with support of the Russian Foundation for Basic Research, project № 16-06-00464.

Современная бизнес-среда предъявляет повышенные требования к эффективности работы не просто конкретного предприятия, а совокупности предприятий, входящих в состав логистической цепи поставок (ЛЦП). На рынке соревнуются именно цепи поставок, и успех бизнеса отдельного предприятия во многом зависит от того, насколько эффективна та логистическая цепь, с которой это предприятие интегрировано [1]. При этом эффективность цепи поставок зависит от таких показателей логистики, как время и стоимость, причем с каждым годом фактору времени отводится даже более значимая роль, чем стоимости. Так, утверждается, что грузоотправители готовы платить больше: премировать перевозчиков за более быстрые поставки товара [2].

Состав времени в разных звеньях логистической цепи (ЛЦ) по содержанию, продолжительности и порядку чередования элементов при выполнении разнообразных транспортно-логистических операций различен. Но для оценки элементов времени в логистической цепи поставок необходимо их проклассифицировать. В качестве классификационной основы возьмем структуру

транспортной системы, где укрупненными элементами выступают бункер и канал [3, 4]. Все элементы транспортной цепи обладают свойством либо канала (переработка материального потока), либо бункера (погашение и порождение всплесков потока). Тогда время в канале – это время собственно на перемещение груза различными видами транспорта по цепи поставок (время транспортировки $T_{тр}$). А время в бункере – это время на различные логистические операции в терминалах: погрузка, выгрузка, консолидация груза, хранение, внутритерминальное перемещение и т.д. (время на логистические операции в бункере $T_{лог}$). Схематично движение материальных потоков по цепи поставок представлено на рис. 1.

Очевидно, что общее время движения материального потока по цепи поставок получается в результате сложения времени транспортировки и времени на логистические операции, и чем оно меньше, тем эффективнее цепь поставок.

В разных странах мира время оказания логистической услуги сильно разнится, например, обработка 20-футового контейнера с текстильной продукцией

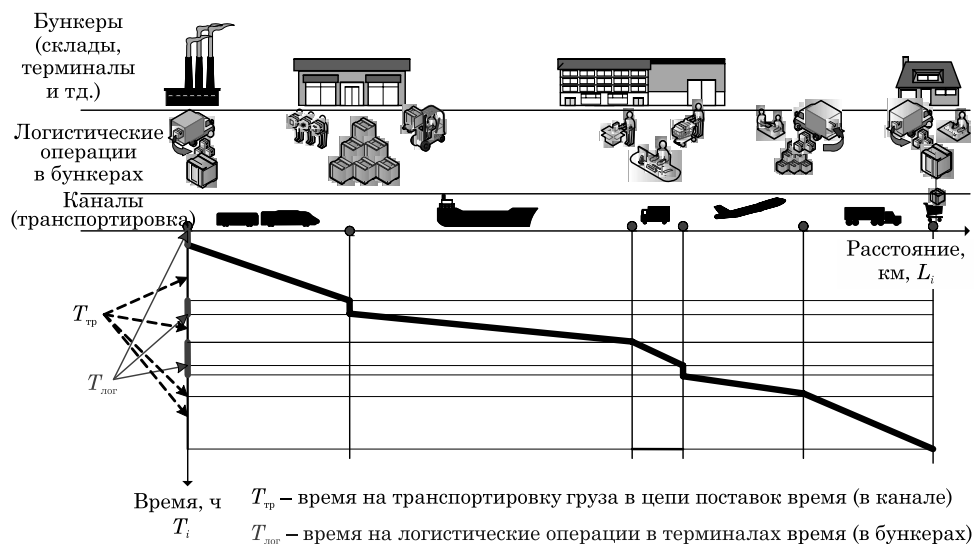


Рис. 1. Различные составляющие фактора «время» в логистической цепи поставок

на экспорт с полной его загрузкой в Казахстан составляет 93 дня, в Мали – 67 дн., а в Швеции – всего шесть [5]. Такая разница во времени обусловлена различиями в качестве услуг инфраструктуры, политических особенностях и др. Все это существенно влияет на позицию страны на международных рынках. Участие предприятий в глобальных цепочках поставок способно улучшить доступ стран к рынкам и стимулировать поток инвестиций, а высокая конкуренция заставляет доставлять товары в кратчайшие сроки. Несмотря на зависимость времени от качества транспортно-логистической инфраструктуры отдельной страны – участницы ЛЦП, время обработки единицы потока как в канале, так и в бункере носит случайный характер. Это означает, что для точной оценки временных затрат в логистической цепи необходимо знать законы распределения величин $T_{тр}$ и $T_{ло}$.

Основная цель настоящей статьи – выявить и обосновать закон распределения величины $T_{тр}$ – времени передвижения единицы материального потока в канале; работа тесно связана с исследованиями [1, 6].

Эффективность цепи поставок зависит от таких ключевых показателей логистики, как среднее время его прохождения по цепи и изменения времени для завершения сделки [5].

Глобальные показатели логистики [7, 8]: общее время логистических процедур (среднее и максимальное количество дней); общее время обработки документов (дни); время разрешения таможенных апелляций (среднее и максимальное количество дней); отключение порта из-за стихийного бедствия или трудового спора (дней в году); время оборота судна (дни).

Все они относятся к фактору «время».

Одним из первых, кто принял во внимание явное транспортное время, а не только стоимость, был Хуммельс [2]. В своей модели импорта из 200 стран в США он оценил неявное значение экономики времени при транспортировке

товаров и показал, что увеличение времени доставки на один день снижает вероятность торговли на 1,5 % для промышленных товаров и на 1 % для всех остальных товаров.

В 2007 г. Всемирный банк и Университет г. Турку (Финляндия) впервые применили индекс эффективности логистики (LPI) для оценки цепи поставок или уровня логистики различных стран [9]. LPI варьируется в диапазоне от 1 до 5, более высокий балл представляет лучшую производительность цепи поставок. Индекс «доставка груза в срок» – один из шести LPI.

Фактор времени был и остается важным показателем логистической цепи и многие ученые уделяют ему большое внимание, но исследования, посвященные отысканию законов распределения времени для различных участков логистической цепи, практически не проводились.

Транспортировка товара подвергается влиянию трудноконтролируемых факторов, что служит причиной возникновения значительных неопределенностей в сроках доставки грузов и, в конечном счете, приводит к увеличению издержек. Для учета возникающих неопределенностей время транспортировки груза по данному маршруту (каналу) необходимо рассматривать как случайную величину, которую мы будем обозначать через T . Тогда вопрос о получении оценок времени транспортировки сводится к отысканию плотности распределения $f(t)$ величины T . Плотность $f(t)$ содержит всю необходимую информацию о времени транспортировки, поскольку она позволяет найти вероятность того, что время транспортировки груза лежит в заданном диапазоне (a, b) :

$$P(a < T < b) = \int_a^b f(t) dt. \quad (1)$$

Вероятность $P(a < T < b)$ можно интерпретировать как долю перевозок, для которых требуется от a до b дней. Поэтому формула (1) позволяет рассчитать

значения различных величин, связанных с временными характеристиками грузовых перевозок. Некоторые из них представлены в таблице.

Характеристики, представленные в таблице, могут быть использованы для решения самых различных задач: выбор маршрутов для оптимальной цепочки поставок, планирования и прогнозирования необходимых объемов поставок, ранжирования перевозчиков и т.д. Причем в зависимости от целей могут быть использованы различные характеристики. Например, при реализации логистической концепции «точно в срок» необходимо использовать величины 3 и 5, а в случае, когда необходимо выполнить перевозку не позднее указанного срока (самый ранний возможный срок не оговаривается), нужно использовать характеристики 4 и 6.

Для того чтобы использовать характеристики из таблицы, необходимо знать закон распределения случайной величины T . Широко используемый в прикладных исследованиях способ получения закона распределения случайной величины основан на анализе случайной выборки: подбирают вид закона распределения, оценивают его параметры и с помощью статистических критериев согласия проверяют соответствие полученного распределения эмпирическим данным.

К сожалению, реализовать такой подход для оценки времени транспортировки достаточно проблематично. Основная трудность заключается в отсутствии в свободном доступе необходимых статистических данных (это внутренняя информация транспортных компаний).

В качестве информации о сроках поставки, компании-перевозчики пре-

Формулы для вычисления некоторых временных характеристик грузовых перевозок

№	Характеристика	Формула
1	Среднее время транспортировки груза ¹	$\bar{T} = M[T] = \int_0^{+\infty} t \cdot f(t) dt$
2	Среднее квадратичное отклонение времени транспортировки груза от среднего значения	$\sigma = \sqrt{M[T^2] - (M[T])^2}$
3	Доля перевозок, для которых время транспортировки отклоняется от среднего значения \bar{T} не более чем на заданную величину τ	$P(\bar{T} - \tau < T < \bar{T} + \tau) = \int_{\bar{T}-\tau}^{\bar{T}+\tau} f(t) dt$
4	Доля перевозок, для которых время транспортировки не превышает заданную величину τ^*	$P(T < \tau^*) = \int_0^{\tau^*} f(t) dt$
5	Величина отклонения τ_0 от среднего времени \bar{T} такая, что не менее θ % перевозок могут быть выполнены за время от $\bar{T} - \tau_0$ до $\bar{T} + \tau_0$ дней	Величина τ_0 является решением уравнения $\int_{\bar{T}-\tau}^{\bar{T}+\tau} f(t) dt = \theta$
6	Величина τ_0^* такая, что не менее θ % перевозок могут быть выполнены за время, которое не превосходит τ_0^* дней	Величина τ_0^* является решением уравнения $\int_0^{\tau} f(t) dt = \theta$

¹ Поскольку случайная величина T не может принимать отрицательные значения, то $f(t) = 0$ при $t < 0$. Поэтому при вычислении среднего значения (математического ожидания) величины T в качестве промежутка интегрирования используется промежуток $(0; +\infty)$. В дальнейшем также будем учитывать, что $f(t) = 0$ при $t < 0$.

доставляют своим клиентам минимально и максимально возможное время транспортировки груза (обозначим эти значения через T_{\min} и T_{\max} соответственно). Эти значения (особенно T_{\max}) имеют юридическую силу и отражаются в договорных обязательствах перевозчика. Значения T_{\min} и T_{\max} могут быть дополнены оценкой наиболее ожидаемого времени транспортировки T_{\exp} , поскольку, как правило, перевозчик готов назвать типичное (наиболее ожидаемое, наиболее вероятное) время выполнения заказа. Таким образом, в подавляющем большинстве случаев учет фактора времени при выборе перевозчика основывается на значениях T_{\min} , T_{\max} и T_{\exp} .

В настоящей работе мы хотим рассмотреть вопрос об отыскании закона распределения случайной величины T на основе оценок T_{\min} , T_{\max} и T_{\exp} .

Среди известных нам работ, посвященных установлению вида закона распределения величины T , можно назвать [10–12]. Малое количество работ в этом направлении объясняется двумя причинами. Кроме того, что крайне сложно получить статистическую выборку необходимого объема и качества, для практических и теоретических нужд во многих случаях применяют грубые методы оценки времени: используют одну из величин T_{\min} , T_{\max} , T_{\exp} или же какое-либо среднее значение, например,

$(T_{\min} + T_{\max})/2$. Безусловным достоинством такого подхода является простота.

Из эвристических соображений следует, что распределение случайной величины T должно быть унимодальным (одновершинным), ассиметричным (левая часть «больше» правой) и иметь «тощие хвосты» при $t < T_{\min}$ и $t > T_{\max}$ либо конечный носитель $[T_{\min}, T_{\max}]$. Таким образом, плотность величины T должна быть близка к кривой, изображенной на рис. 2.

Перечисленные условия являются достаточно общими и существует немало законов распределения, которые им удовлетворяют. В частности, в [12] величина T описывается логнормальным законом, а в работах [10, 11] используется распределение Рэлея. Распределения, предлагаемые в этих работах, обладают всеми вышеуказанными свойствами, и их использование для моделирования затрат времени на транспортировку груза оправданно. Но в этих работах отсутствует какое-либо теоретическое обоснование использования именно этих распределений, что является, на наш взгляд, значительным недостатком.

В настоящей работе мы предлагаем в качестве закона распределения случайной величины T использовать бета-распределение, которое применяется в системе оценки и анализа проектов PERT (Project Evaluation and Review Technique) (см., например, [13]). Система

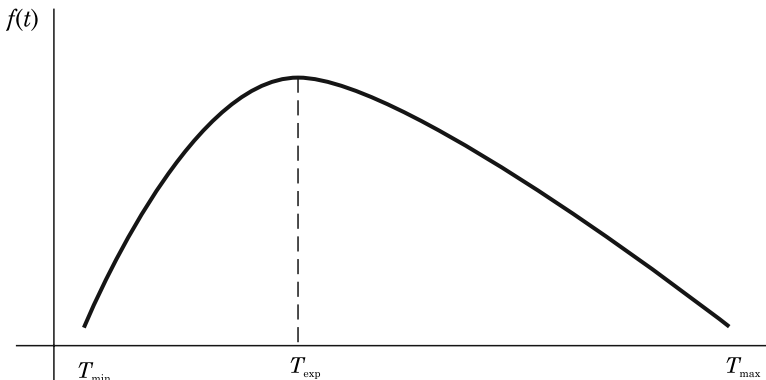


Рис. 2. Ожидаемый вид плотности распределения величины T

PERT используется для оценки временных затрат в масштабных проектах, которые состоят из большого количества отдельных работ, продолжительность каждой из которых предполагается распределенной согласно бета-распределению.

Выбор бета-распределения в системе PERT имеет серьезное теоретическое и эмпирическое обоснование [14]. В частности, установлено, что «...бета-распределение имеет место в случае, когда помимо наличия большого количества случайных факторов, каждый из которых в отдельности оказывает незначительное, несущественное влияние, присутствует несколько, также случайных, факторов, число которых невелико, а влияние существенно. Именно такого рода обстоятельство имеет место при реализации подавляющего большинства входящих в сетевой проект работ» [14].

На наш взгляд, данная аргументация по выбору бета-распределения может быть полностью перенесена на случай моделирования времени транспортировки, поскольку очевидно, что это время определяется несколькими существенными факторами и большим количеством второстепенных, т.е. есть полная аналогия с элементарной работой в системе PERT. Отметим, что бета-распределение удовлетворяет перечисленным выше эвристическим условиям унимодальности, асимметричности и имеет конечный носитель.

Под бета-распределением случайной величины Θ понимают закон распределения, плотность вероятности которого имеет вид

$$f(\theta) = \begin{cases} C\theta^{\alpha-1}(1-\theta)^{\beta-1} & \text{при } \theta \in [0;1], \\ 0 & \text{при } \theta \notin [0;1], \end{cases} \quad (2)$$

где $C = [B(\alpha, \beta)]^{-1}$, $B(\alpha, \beta) = \int_0^1 x^{\alpha-1}(1-x)^{\beta-1} dx$ — бета-функция [16].

Таким образом, бета-распределение имеет конечный носитель $[0, 1]$. Чтобы

перейти к носителю $[T_{\min}, T_{\max}]$, необходимо выполнить линейное преобразование величины Θ :

$$\Theta = \frac{T - T_{\min}}{T_{\max} - T_{\min}}.$$

Тогда плотность вероятности случайной величины T будет задаваться функцией

$$f_T(t) = \frac{1}{T_{\max} - T_{\min}} f\left(\frac{t - T_{\min}}{T_{\max} - T_{\min}}\right). \quad (3)$$

Обозначим моду случайной величины Θ через μ . Очевидно, что

$$\mu = \frac{T_{\exp} - T_{\min}}{T_{\max} - T_{\min}}, \quad (4)$$

кроме того, из свойств бета-распределения следует, что при $\alpha > 1$ и $\beta > 1$ справедлива формула

$$\mu = \frac{\alpha - 1}{\alpha + \beta - 2}. \quad (5)$$

На основе эмпирических соображений было установлено, что $\alpha + \beta = 6$ [14]. Отсюда и из соотношений (4), (5) получаем формулы для отыскания параметров α и β :

$$\alpha = 4\mu + 1 = \frac{T_{\max} + 4T_{\exp} - 5T_{\min}}{T_{\max} - T_{\min}}$$

$$\text{и } \beta = 6 - \alpha = \frac{5T_{\max} + 4T_{\exp} - T_{\min}}{T_{\max} - T_{\min}}. \quad (6)$$

Таким образом, из (2) и (3) окончательно получаем, что случайная величина T имеет плотность вероятности

$$f_T(t) = \begin{cases} C_T(t - T_{\min})^{\alpha-1} & \text{при } t \in [T_{\min}; T_{\max}], \\ 0 & \text{при } t \notin [T_{\min}; T_{\max}], \end{cases} \quad (7)$$

где $C_T = (T_{\max} - T_{\min})^{1-\alpha-\beta} [B(\alpha, \beta)]^{-1}$,

$B(\alpha, \beta) = \int_0^1 x^{\alpha-1}(1-x)^{\beta-1} dx$, и параметры α и β вычисляются по формулам (6).

Математическое ожидание и дисперсия случайной величины Θ вычисляются по формулам [15]:

$$M[\Theta] = \frac{\alpha}{\alpha + \beta} = \frac{\alpha}{6},$$

$$D[\Theta] = \frac{\alpha\beta}{(\alpha + \beta)^2 (\alpha + \beta + 1)} = \frac{\alpha\beta}{252}.$$

Поскольку $T = (T_{\max} - T_{\min})\Theta + T_{\min}$, то

$$\begin{aligned} M[T] &= (T_{\max} - T_{\min})M[\Theta] + T_{\min} = \\ &= \frac{\alpha(T_{\max} - T_{\min})}{6} + T_{\min} = \\ &= \frac{T_{\max} + 4T_{\exp} + T_{\min}}{6}, \end{aligned} \quad (8)$$

$$\begin{aligned} \sigma[T] &= \sqrt{D[T]} = \\ &= \sqrt{(T_{\max} - T_{\min})^2 D[\Theta]} = \\ &= (T_{\max} - T_{\min}) \sqrt{\frac{\alpha\beta}{252}}. \end{aligned} \quad (9)$$

Формулы (8) и (9) позволяют вычислить среднее время транспортировки и его среднее квадратичное отклонение непосредственно через задаваемые величины T_{\min} , T_{\max} и T_{\exp} .

Продemonстрируем использование полученных выше результатов на примере. Предположим, что для некоторого маршрута транспортировки нам известны оценки $T_{\min} = 3$ дн., $T_{\max} = 14$ дн. и $T_{\exp} = 7$ дн. Необходимо найти: среднее время транспортировки; долю перевозок, для которых отклонение от среднего значения времени не превышает двух дней; максимальное количество времени, необходимое для выполнения 90 % перевозок.

Расчеты. По формулам (6) получаем $\alpha = 2,46$ и $\beta = 3,54$, кроме того, $C_T = 1,655 \cdot 10^{-4}$. Следовательно, время

транспортировки T имеет плотность распределения

$$f_T(t) = \begin{cases} 1,655 \cdot 10^{-4} (t-3)^{1,46} (14-t)^{2,54} & \text{при } t \in [3; 14], \\ 0 & \text{при } t \notin [3; 14]. \end{cases}$$

График функции $f_T(t)$ представлен на рис. 3.

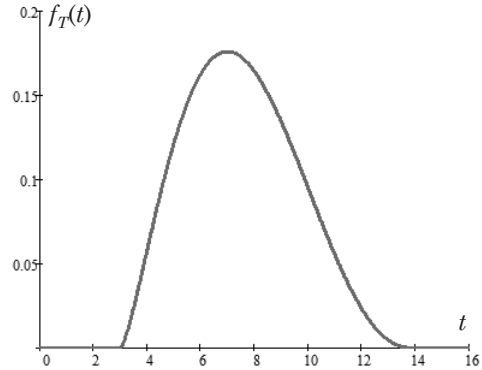


Рис. 3. График функции $f_T(t)$

С помощью полученного распределения рассчитаем искомые значения.

1. Среднее время перевозки вычисляем по формуле (8):

$$M[T] = 7,5 \text{ дн.} \approx 8 \text{ дн.}$$

2. Долю перевозок, для которых отклонение от среднего значения времени не превышает двух дней, вычисляем как характеристику 3 из таблицы:

$$P(\bar{T} - \tau < T < \bar{T} + \tau) = \int_{\bar{T}-\tau}^{\bar{T}+\tau} f(t) dt = 61\%.$$

3. Максимальное количество времени, необходимое для выполнения 90 % перевозок, вычисляем как характеристику 6 из таблицы.

Из уравнения

$$\int_0^{\tau} f(t) dt = 0,9$$

находим $\tau_{0,9}^* = 10,35$ дн. ≈ 11 дн., то есть 90 % перевозок занимают не более 11 дней. ■

Литература

1. Вохмянина А.В., Журавская М.А., Цяо Ц. Анализ влияния эффекта хлыста на уровень обслуживания в логистической цепи поставок // Транспорт: наука, техника, управление. 2015. № 9. С. 38–45. ISSN 0236-1914.
2. Hummels D. Time as a Trade Barrier // Purdue CIBER Working Papers. 2000. Paper 7. URL: <http://docs.lib.purdue.edu/ciberwp/7/> (дата обращения: 24.04.16).
3. Козлов П.А. Поток и бункер-канал в транспортной системе // Мир транспорта. 2014. № 2. С. 30–37. ISSN 2072-8107.
4. Александров А.Э. Расчет и оптимизация транспортных систем с использованием моделей (теоретические основы, методология) : автореф. дисс. ... на соиск. уч. ст. д-ра техн. наук. Екатеринбург, 2008. 38 с
5. Hausman W.H., Hau L., Subramanian U. Global Logistics Indicators, Supply Chain Metrics, and Bilateral Trade Patterns. URL: <http://dx.doi.org/10.2139/ssrn.869999> (дата обращения: 24.04.16).
6. Журавская М.А., Горяев Р.Р., Парскурова П.А. Моделирование логистической цепи поставок в условиях неопределенности // Вестник УрГУПС. 2012. № 3(15). С. 62–69. ISSN 2979-0392.
7. Harrison T., Lee H., Neale J. The practice of supply chain management: where theory and application converge. New York : Springer Science, 2005. 352 p. ISBN 1-4020-7988-5.
8. Lee H., and Seungjin W. Higher Supply Chain Security with Lower Cost: Lessons from Total Quality Management // International Journal of Production Economics. 2005. № 3(96). P. 289–300. ISSN 0925-5273.
9. Индекс эффективности логистики // Всемирный банк. URL: <http://www.worldbank.org/ru/news/press-release/2014/03/20/logistics-performance-index-gap-persists> (дата обращения: 24.04.16).
10. Лукинский В.С., Шульженко Т.Г. Моделирование временных составляющих логистического цикла при реализации технологии «точно в срок» // V Всерос. научн.-практ. конф. по имитационному моделированию и его применению в науке и промышленности «Имитационное моделирование. Теория и практика». Т. II, СПб. 2011. С. 145–151. ISBN 978-5-905526-02-2.
11. Андронов С.А. Обоснование расписаний логистических циклов средствами имитационного моделирования // Системный анализ и логистика. 2014. № 11(11). С. 41–48. ISSN 2077-6587.
12. Зайцев Е.И. Экономико-математические методы и модели в логистике / Иллюстрации и информационные материалы. М. : НИУ-ВШЭ, 2009. 245 с. ISBN 648-4-203334-82-8.
13. Филлипс Д., Гарсиа-Диас А. М. Методы анализа сетей / Пер. с англ. – М. : Мир, 1984. 496 с. ISBN 926-6-567234-64-2.
14. Голенко-Гинзбург Д.И. Стохастические сетевые модели планирования и управления разработками. Воронеж : «Научная книга», 2010. 284 с. ISBN 978-5-98222-646-4.
15. Королюк В.С., Портенко Н.И., Скороход А.В., Турбин А.Ф. Справочник по теории вероятностей и математической статистике. М. : Наука, 1985. 640 с. ISBN 834-5-223444-52-4.

References

1. Vokhmyanina A.V., Zhuravskaya M.A., Qiao C. Analiz vliyaniya ehffekta hlysta na uroven' obsluzhivaniya v logisticheskoy cepi postavok [Analysis of the bullwhip effect impact on service level in a logistics supply chain] // Transport: science, technics, management. 2015. Issue № 9. P. 38–45. ISSN 0236-1914.
2. Hummels D. Time as a Trade Barrier // Purdue CIBER Working Papers. 2000. Paper 7. URL: <http://docs.lib.purdue.edu/ciberwp/7/> (accessed date: April 24, 2016).
3. Kozlov P.A. Potok i bunker-kanal v transportnoj sisteme [The flow and the bunker-channel in transportation system] // World of transport. 2014. Issue № 2. P. 30–37. ISSN 2072-8107.
4. Aleksandrov A.E. Raschet i optimizaciya transportnyh sistem s ispol'zovaniem modelej (teoreticheskie osnovy, metodologiya) : avtoref. diss. ... na soisk. uch. st. d-ra tekhn. nauk [Calculation and optimization of transportation systems by using models (theoretical foundations, methodology): author's abstract of Ph.D. Thesis for obtaining a doctor's degree in technical science]. Ekaterinburg. 2008. 38 p.

5. Hausman W.H., Hau L., Subramanian U. Global Logistics Indicators, Supply Chain Metrics, and Bilateral Trade Patterns. URL: <http://dx.doi.org/10.2139/ssrn.869999> (accessed date: April 24, 2016).
6. Zhuravskaya M.A., Goryaev R.R., Parsurova P.A. Modelirovanie logisticheskoy cepi postavok v usloviyah neopredelennosti [Modelling of logistics supply chain under uncertainty] // Herald of USURT. 2012. № 3 (15). S. 62–69. ISSN 2979-0392.
7. Harrison T., Lee H., Neale J. The practice of supply chain management: where theory and application converge. New York: Springer Science, 2005. 352 p. ISBN 1-4020-7988-5.
8. Lee H., Seungjin W. Higher Supply Chain Security with Lower Cost: Lessons from Total Quality Management // International Journal of Production Economics. 2005. № 3 (96). P. 289–300. ISSN 0925-5273.
9. The Logistics Performance Index [Indeks ehffektivnosti logistiki] // World Bank [electronic resource] URL: <http://www.worldbank.org/ru/news/press-release/2014/03/20/logistics-performance-index-gap-persists> (accessed date: 04.24.16).
10. Lukinskiy V.S., Shulzhenko T.G. Modelirovanie vremennyh sostavlyayushchih logisticheskogo cikla pri realizacii tekhnologii «tochno v srok» [Modeling of the components of the logistics cycle in the implementation of the «just in time» technology] // Vth All-Russia scientific-practical conf. on modelling and its application in science and industry «Modeling. Theory and practice». T. II, St. Petersburg. 2011. P. 145–151. ISBN 978-5-905526-02-2.
11. Andronov S.A. Obosnovanie raspisanij logisticheskikh ciklov sredstvami imitacionnogo modelirovaniya [Justification of logistics cycles scheduling modelling tools] // System analysis and logistics. 2014. № 11 (11). P. 41–48. ISSN 2077-6587.
12. Zaitsev E.I. EHkonomiko-matematicheskie metody i modeli v logistike [Economic-mathematical methods and models in logistics] / Pictures and information materials. M. : HSE, 2009. 245 p. ISBN 648-4-203334-82-8.
13. Phillips D., Garcia-Diaz A.M. Metody analiza setej [Methods of analysis of networks] / Trans. from English. – M. : Mir, 1984. 496 p. ISBN 926-6-567234-64-2.
14. Golenko-Ginzburg D.I. Stohasticheskie setevye modeli planirovaniya i upravleniya razrabotkami [Stochastic models of network planning and development management]. Voronezh: «Nauchnaya kniga», 2010. 284 p. ISBN 978-5-98222-646-4.
15. Koroljuk V.S., Portenko N.I., Skorokhod A.V., Turbin A.F. Spravochnik po teorii veroyatnostej i matematicheskoy statistike [Handbook on probability theory and mathematical statistics]. M. : Nauka, 1985. 640 p. ISBN 834-5-223444-52-4.

Статья сдана в редакцию 8 июня 2016 года

Д.А. Брусянин

**Экономико-математическая модель
полигона транспортной инфраструктуры
Тюменского железнодорожного узла для организации
городских перевозок**

UDC 625.45

D.A. Brusyanin

**Economic and mathematical model of transport
infrastructure operation ground of Tyumen railway junction
for urban transportation arrangement**

Аннотация

Рассмотрена экономико-математическая модель полигона транспортной инфраструктуры тюменского железнодорожного узла. Прогнозное распределение транспортных потоков, тяготеющих на общественный и индивидуальный виды транспорта, выполнено с учетом развития прилегающих к железнодорожной линии территорий, введения платных парковок, темпов изменения автомобилизации населения, вариантов интеграции будущих маршрутов городской электрички в действующую маршрутную сеть общественного транспорта. Модель реализована в программном комплексе PTV VISUM; для ее верификации использована текущая транспортная ситуация в г. Тюмени. Среди показателей, оцениваемых при верификации модели, – интенсивность автомобиль- и пассажиропотоков, их распределение по участкам транспортной сети, среднее время движения на корреспонденцию для индивидуального и общественного транспорта.

Ключевые слова: транспортная модель, железнодорожный транспорт, узел, граф, маршрутная сеть общественного транспорта, инфраструктура, пассажиропоток, автомобильный поток, калибровка.

DOI:10.20291/2079-0392-2016-3-82-97

Abstract

The article analyzes an economic and mathematical model of transport infrastructure operation ground of the Tyumen railway junction. Expected arrangement of the traffic biased to public and individual means of transport is carried out taking into account development of areas adjacent to railways, introduction of paid parking areas, rate of changes in vehicle-to-population ratio, variants of integration of future city train routes into the existing public transport route network. The model is implemented in PTV VISUM software package; the current transport situation in Tyumen was used for the model verification. Volume of automobile and passenger traffic, traffic distribution among transport network areas, average travel time of public and individual means of transport in terms of correspondence are among criteria to be assessed during verification.

Key words: transport model, railway transport, railway junction, flow chart, public transport route network, infrastructure, passenger traffic, automobile traffic, calibration.

DOI:10.20291/2079-0392-2016-3-82-97

Дмитрий Алексеевич Брусянин, канд. техн. наук, доцент; кафедра «Путь и железнодорожное строительство» Уральского государственного университета путей сообщения; Екатеринбург, Россия. E-mail: dbrusyanin@mail.ru.

Dmitriy Alekseevich Brusyanin, Cand.Sc. (Engineering), Assistant Professor; Department of Railway Construction and Railway Track, Ural State University of Railway Transport; Ekaterinburg, Russia. E-mail: dbrusyanin@mail.ru.

Развитие современных мегаполисов влияет на функционирование транспортной системы: это и устойчивый рост мобильности городского населения, и автомобилизация населения (рис. 1), и увеличение плотности транспортных потоков. В результате перегружаются автотранспортные коммуникации, снижается безопасности дорожного движения, уменьшается востребованность общественного транспорта (рис. 2), ухудшается экологическая обстановка.

Необходимо отметить, что в странах Европейского Союза сложилась обрат-

ная закономерность – при росте автомобилизации населения (рис. 3) повышается востребованность общественного транспорта (рис. 4).

К основным причинам повышения привлекательности общественного транспорта отнесены: комфорт, регулярность, надежность, безопасность [4] с одной стороны, с другой, введение ограничительных экономических мер (платные парковки, платный въезд в центральные части города и т.д.).

Повысить привлекательность общественного транспорта в региональных

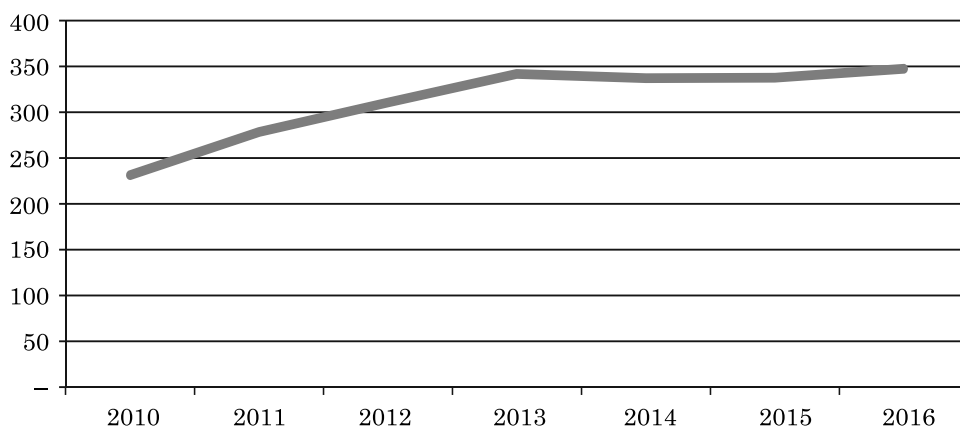


Рис. 1. Автомобилизация населения в Тюмени, авт./1000 жит.

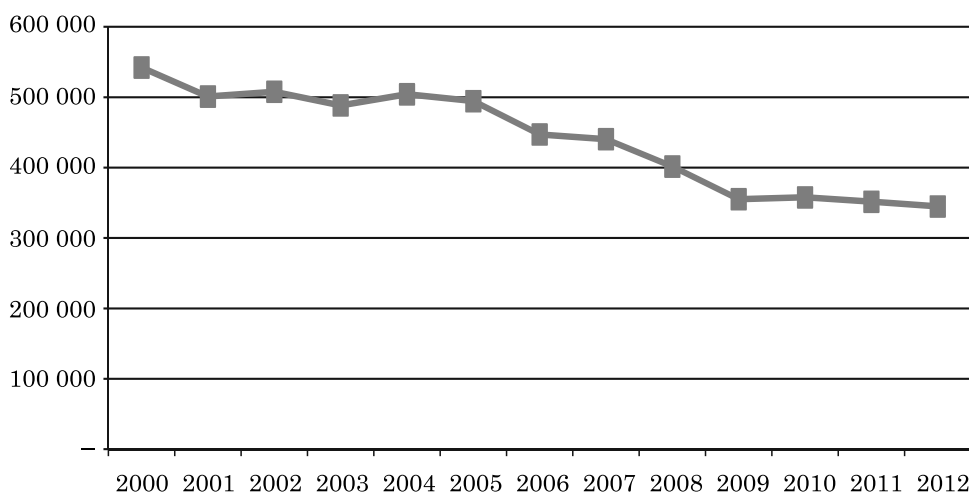


Рис. 2. Динамика изменения количества перевезенных пассажиров по Тюменской области автобусами общего пользования, пасс./год [1]



Рис. 3. Изменение уровня автомобилизации по годам [2]

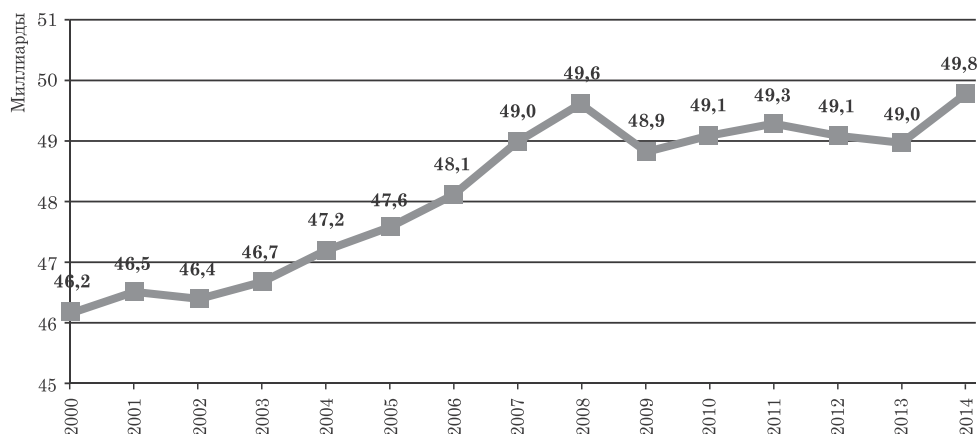


Рис. 4. Количество поездок на общественном транспорте (автобус, трамвай, метро) в Евросоюзе, 2000–2014 гг. [3]

мегаполисах и формируемых вокруг них агломерациях можно усовершенствовать комфорт и сократить время поездки. И если комфорт повышается путем обновления подвижного состава, то сокращение времени поездки требует инфраструктурных, технологических и организационных мероприятий. Один из путей снижения

продолжительности поездки – использование внеуличных видов транспорта*. Так, например, в [4] показана статистика использования в странах Евросоюза так называемых Light Railway Transport (LRT) – трамвайных линий, расположенных, как правило, на выделенных участках улично-дорожной сети (рис. 5).

* Для городских перевозок железнодорожный транспорт используется в Екатеринбурге [5] и Тюмени [6], рельсовый транспорт (метро, трамвай) развивается в Вильнюсе [7], полоса для общественного транспорта выделена в Иркутске [8], сеть водных маршрутов и магнитолевитационного транспорта действует в Санкт-Петербурге [9, 10].

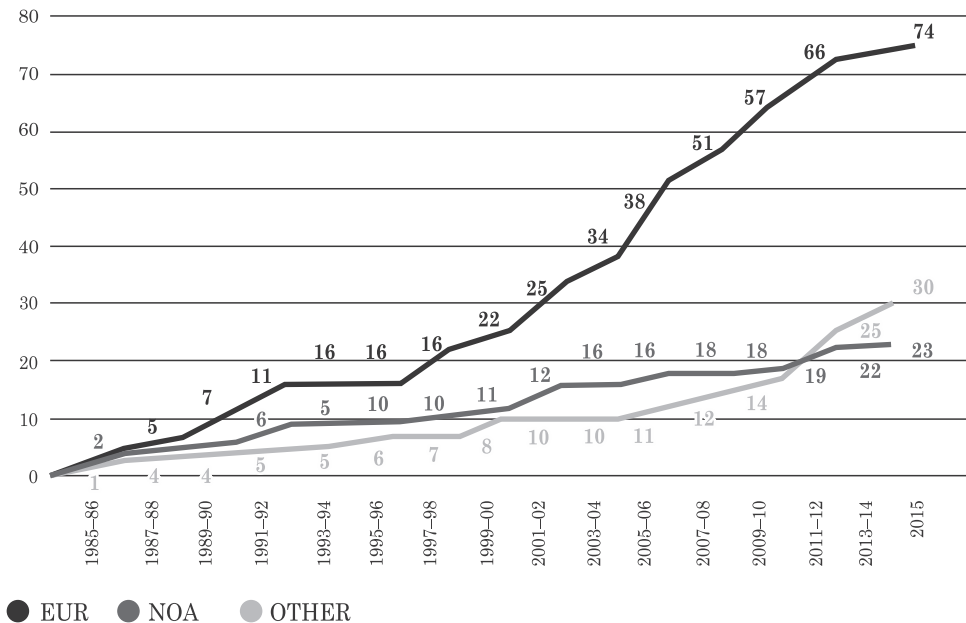


Рис. 5. Количество линий LRT в Евросоюзе [4]

Опыт развития транспортных систем ведущих стран Евросоюза может быть применим в российских региональных городах и формирующихся вокруг них агломерациях. В настоящей статье исследована транспортная система города Тюмени. Рассмотрим недостатки существующей системы

транспортного обслуживания населения Тюмени:

- ярко выраженная меридионально-широтная структура; развитие автомобильных перевозок ограничено путепроводами (рис. 6);
- система пассажирских перевозок монотранспортная (автомобильная),

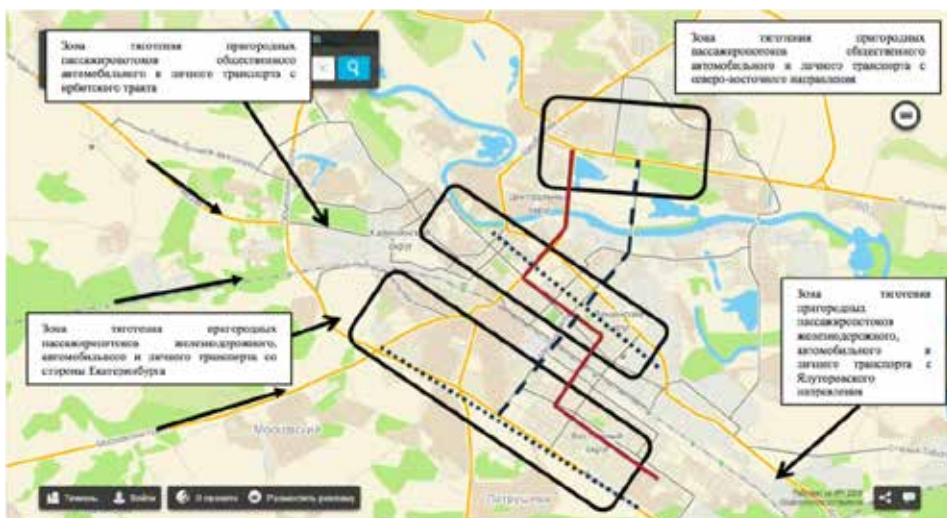


Рис. 6. Существующие и перспективные пассажиропотоки, тяготеющие к железной дороге, в Тюмени

поэтому на пассажиров действуют все негативные факторы при поездках в общественном транспорте (загазованность, пробки, срывы расписания, шум, ожидание транспорта на открытых остановочных пунктах);

– развитие улично-дорожной сети ограничено плотной жилой и промышленной застройкой, р. Турой и Транссибирской магистралью;

– автовокзал расположен в восточной части Тюмени, поэтому пригородные и междугородные маршруты автотранспорта проходят по загруженным участкам улично-дорожной сети города. Это неблагоприятно влияет на увеличение времени в пути, загруженность городских автодорог, безопасность пассажирских перевозок, экологическую ситуацию в городе;

– высокая интенсивность движения автобусов, недостаточная длина остановочных пунктов, несогласованность расписания движения городских и пригородных автобусов провоцируют конфликтные ситуации на остановочных

пунктах широтного хода, что негативно влияет на безопасность пассажирских перевозок.

В настоящее время по территории города на участках Войновка – Тюмень, Утяшево – Войновка пассажирские перевозки выполняют пригородные поезда. По результатам натурных обследований на этих участках установлено, что они используются населением и для городских перемещений. Так, например, в нечетном направлении (на Тюмень) на ст. Войновка в рабочий день суточная посадка составила 475 чел., а высадка в четном направлении (в направлении из Тюмени) 260 чел. (рис. 7) [1].

Эпюра пассажиропотока на городском маршруте № 25 «Ж.-д. вокзал – ул. Таллинская», дублирующего маршрут городского электропоезда, показана на рис. 8.

Организация городских железнодорожных перевозок на участке Войновка – Утяшево с продлением отдельных поездов до ст. Озеро-Андреевское изменит существующую модель городских

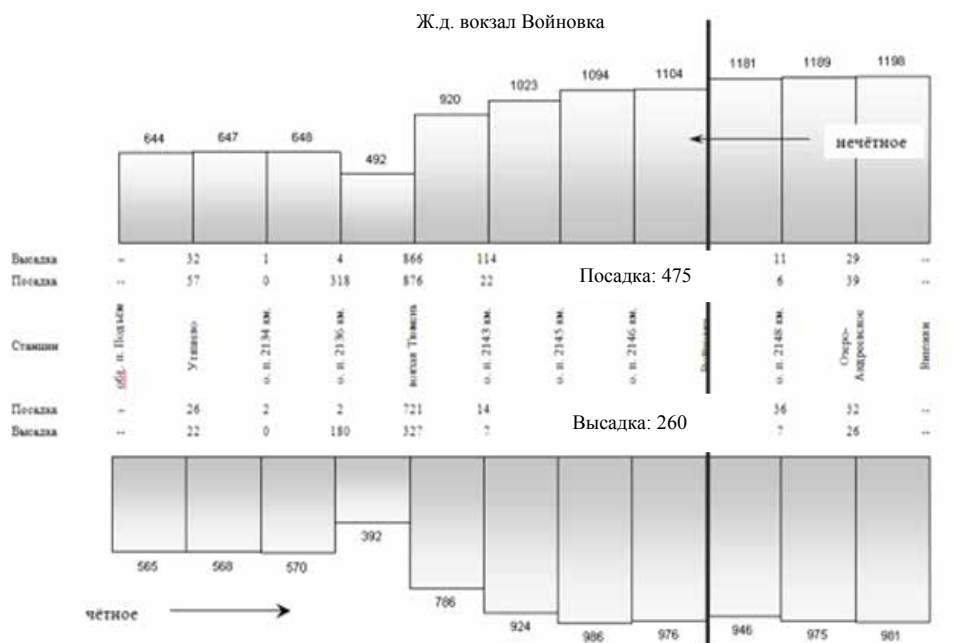


Рис. 7. Среднесуточные эпюры пассажиропотоков в пригородных поездах на участке «Утяшево – Тюмень – Войновка», пасс./сут

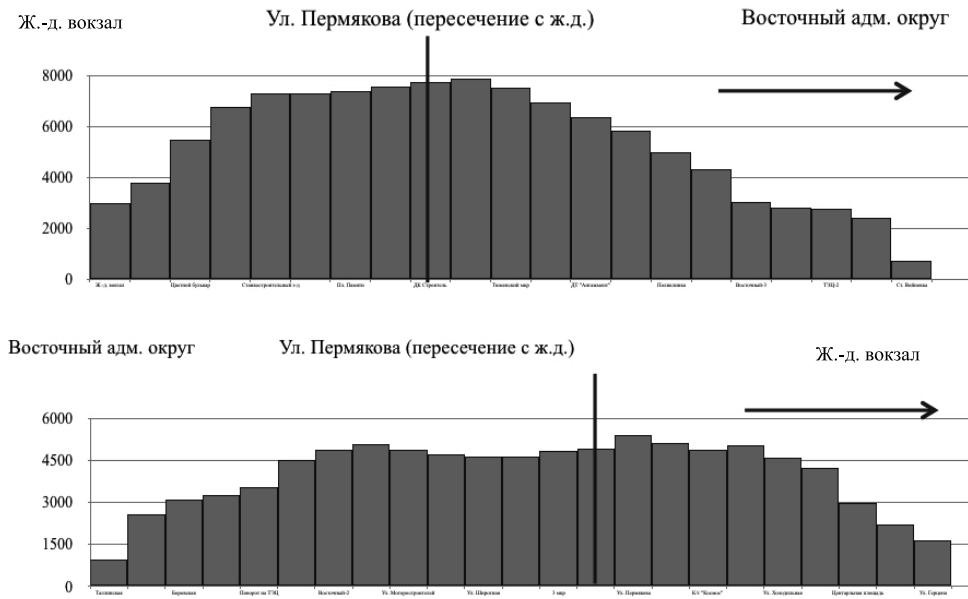


Рис. 8. Среднесуточные эпюры пассажиропотока на маршруте №25
«Ж.-д. вокзал – ул. Таллиннская», пасс./сут

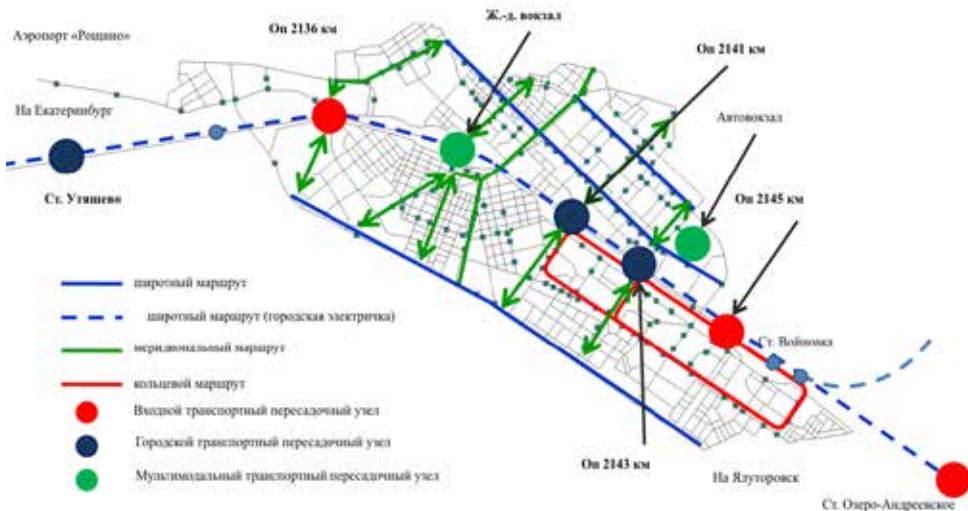


Рис. 9. Схема организации пассажирских перевозок в Тюмени
с использованием городского электропоезда

перевозок на широтно-меридиональную с основной широтной магистралью на базе городской электрички. Это позволит повысить число переходов через Транссиб до 8 мест и, как следствие, качество транспортного обслуживания населения (время в пути, безопасность, экологичность и др.) [12] (рис. 9).

Для организации тактового движения городской электрички необходимо комплексное развитие железнодорожной и городской инфраструктуры. Развитие железнодорожной инфраструктуры предполагает строительство дополнительных путей: третьего главного на перегоне ст. Утяшево – ст. Тюмень

и четвертого главного пути на перего- не ст. Тюмень – ст. Войновка, на город- ской – обустройство транспортной ин- фраструктуры (развитие улично-дорож- ной сети для организации быстрой пе- ресадки с одного вида транспорта на другой, дополнительных съездов с пу- тепроводов, строительство пешеходных мостов и др.).

Обоснование эффективности реа- лизации инфраструктурных проектов предполагает определение экономи- ческого (срок окупаемости, доходность и пр.) и социального эффектов [12–15]. Оба эффекта могут быть достигнуты при условии востребованности марш- рута городского электропоезда. Такое прогнозирование может быть выпол- нено с помощью математического мо- делирования [16, 17]. Имитационному моделированию подлежат технологи- ческие процессы на имеющейся (задан- ной в модели) инфраструктуре. В обла- сти транспортного планирования совер- шенствуется технология имитационного

отдельных элементов улично-дорож- ной сети (микроуровень) [17] и мате- матического моделирования (оптими- зация) транспортных потоков террито- рий (микрорайон, район, город) на го- родской инфраструктуре (макроуро- вень) [18, 19]. Однако прогнозирование транспортных ситуаций во многом за- висит от начальных условий – разви- тия территорий в средне- и долгосроч- ной перспективе, поведенческих моде- лей людей при выборе вида транспор- та (индивидуального, общественного), экономической обстановки и др.

В настоящей статье ставится задача разработать экономико-математическую модель полигона тюменского железно- дорожного узла на участке Утяшево – Войновка для прогнозирования спроса на новые маршруты с учетом развития тяготеющих к железной дороге терри- торий, уровня автомобилизации насе- ления, влияния платных парковок на интенсивность использования лично- го автотранспорта, вариантов увязки

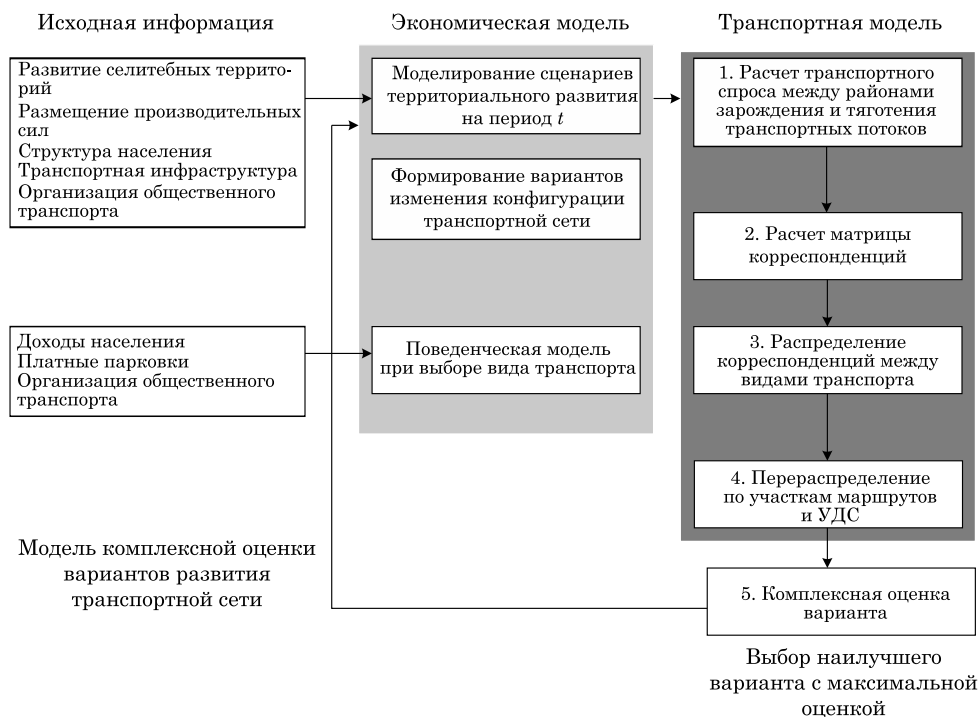


Рис. 10. Схема модели

маршрута городского электропоезда в существующую маршрутную сеть развития улично-дорожной сети.

Под прогнозной экономико-математической моделью полигона тюменского железнодорожного узла (рис. 10) – прогнозная или просто транспортная модель – будем понимать совокупность математических алгоритмов, имитирующих распределение транспортных потоков на транспортной инфраструктуре (железнодорожной, городской), установленной на ней организацией движения, маршрутной сети общественного транспорта с заданной погрешностью расчетов.

Представим транспортную инфраструктуру на полигоне Тюмени и прилегающих территорий как мультиграф: $G = \langle G, N; \{f^{(k)}\}, \{\rho^{(l)}\}, \{P^{(m)}\} \rangle$ [20]. Здесь $G = \{g_i | i \in N\}$ – узлы (железнодорожные станции и остановочные пункты, городские остановочные пункты) и $N = \{1, 2, \dots\}$; $N = \{n\}$ – дуги (железные и автомобильные дороги) (рис. 11).

Сигнатура мультиграфа $\sigma = \langle \{f^{(k)}\}, \{\rho^{(l)}\}, \{P^{(m)}\} \rangle$ содержит:

а) бинарное отношение $\rho^{(l)}; l \in L \subseteq N$, которое делит узлы G и дуги N на типовые элементы с требуемыми свойствами, например, железнодорожные и городские автобусные остановочные пункты;

б) функцию $f^{(k)} : G \cup N \rightarrow R^+$, $k \in K \subseteq N$, моделирующую потоки (например, пассажиропотоки, потоки личного автотранспорта) и характеристики узлов и дуг мультиграфа G .

с) оператор $P^{(m)} : G \rightarrow \tilde{G}, m \in M \subseteq N$, который определяет внешнее воздействие на сеть G .

Формирование в модели возможных вариантов транспортного обеспечения (автобусные маршруты, пригородные поезда) – задача многовариантная. Обозначим r -й конфигурацию маршрутов общественного транспорта (городской электрички, автобусных маршрутов) как $G_r, G_r \subseteq G$. Подходы к формированию маршрутных сетей общественного транспорта исследованы в работах [6, 9, 21, 22]. В модель включены все маршруты общественного транспорта, имеющие дублирующие (преимущественно городские маршруты) и смежные (преимущественно пригородные и междугородные автобусные маршруты) участки с городской электричкой.

Второй составляющей модели является определение транспортного спроса – общего числа поездок людей из i -го района зарождения Out_i в j -й район тяготения In_j за рассматриваемый интервал времени T (например, час, сутки) и по целям поездки (например, дом – работа).

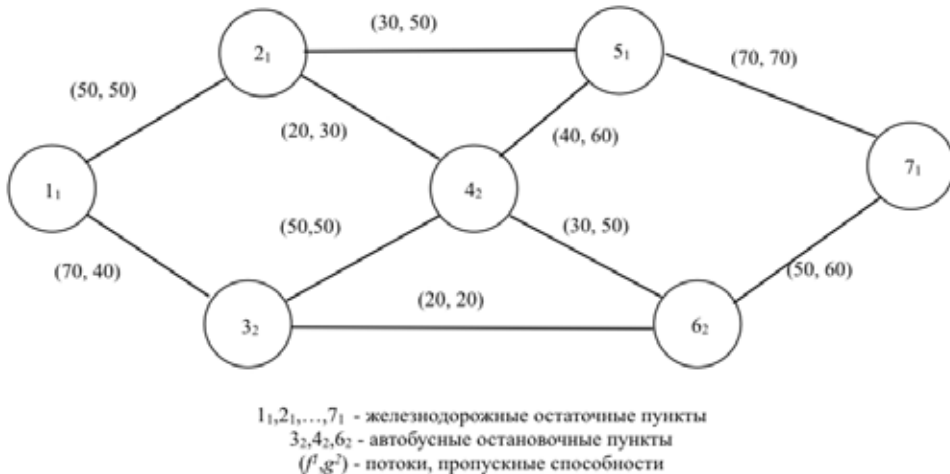


Рис. 11. Пример графа транспортной инфраструктуры

Таблица 1

Пример расчета

Адрес	Кол-во квартир	Коэфф. за-селенности дома	Размер до-мохозяй-ства, чел.	Расчетное кол-во жите-лей, чел.	Расчетное число поез-док/сут
Ул. Н. Ростовцева, 4	120	0,96	2,7	311	210
...
Всего по району i					Σ

Транспортный спрос Out_i из i -го района определяется населением Pl_i этого района, исследованного в [23]:

$$Pl_i = f(p_i),$$

где p_i – плотность застройки i -го района.

Пример расчета количества экономически активного населения в районе i приведен в таблице 1.

Пример прогноза жителей Восточного административного округа, тяготеющего к железной дороге, определен по двум сценариям: оптимистичный (с учетом плановых показателей компаний-застройщиков) и пессимистичный (с учетом сложившихся трендов строительства нового жилья для Тюмени) (рис. 12).

Количество человек In_j , тяготеющих в район j , определено аналогично. Например, для моделирования трудовых корреспонденций использована информация о площадях помещений деловых центров и среднестатистическая

площадь, приходящаяся на одного работника.

Расчётное количество поездок из района i и в район j :

$$Out_i = f(Pl_i^{(g)}), In_j = f(Jb_j^{(g)}).$$

Дополнительное условие:

$$\sum_i Out_i = \sum_j In_j.$$

Третья составляющая транспортной модели – это расчет матрицы корреспонденций по целям поездки. Матрица корреспонденций $[Cr]$ для полигона тяготения железной дороги сформирована с использованием гравитационного метода:

$$Q_{ij} = a \cdot \frac{Out_i \cdot In_j}{C_{ij}},$$

где a – константа; C_{ij} – расстояние между i -м и j -м районами; k – коэффициент, учитывающий трудность транспортных связей.



Рис. 12. Прогноз населения Восточного административного округа Тюмени нарастающим итогом [1]

Достоверность матрицы корреспонденций для Восточного административного округа Тюмени установлена по результатам социологических опросов на остановочных пунктах.

Далее – расчет распределения транспортных потоков $[Cr]$ на количество людей, использующих личный и общественный транспорт.

Вероятность выбора вида K -го способа поездки (индивидуальный, общественный транспорт) определена мультиномиальной логит-функцией:

$$P(K) = \frac{e^{U_K}}{\sum_x e^{U_K}},$$

где U_K – функция полезности, определяемая по формуле:

$$U_K = a_0 + a_1 \cdot X_1 + a_2 \cdot X_2 + a_3 \cdot X_3 + a_4 \cdot X_4,$$

где a_0, a_1, a_2, a_3, a_4 – весовые коэффициенты уравнения регрессии; X_1 – параметр, учитывающий изменение временных затрат при выборе вида транспорта; X_2 – параметр, учитывающий изменение стоимостных затрат при выборе вида транспорта; X_3 – параметр, учитывающий автомобилизацию населения; X_4 – параметр, учитывающий стоимостные затраты с введением платных парковок в Тюмени.

Влияние первых двух факторов – временных и стоимостных затрат на выбор вида транспорта – исследовано в [18]. В настоящей работе изучено влияние третьего и четвертого факторов.

Рост автомобилизации населения, определенный с учетом изменения продаж новых автомобилей и снижения дисконтированной средней заработной платы, описывается трендом (рис. 13).

Из рис. 13 видно, что регрессионная модель имеет высокий коэффициент детерминированности $R^2 = 0,8227$, близкий к 1. Тогда зависимость продажи новых машин от заработной платы за период t :

$$Car_t = 0,00005 \cdot Sl^2 + 0,1054 \cdot Sl - 1235,6,$$

где Sl – среднемесячная заработная плата, руб.

Третий параметр уравнения регрессии U_K :

$$X_3 = \gamma_3 \frac{\sum_t Car_t}{\sum_{t=1}^T Car_t},$$

где γ_3 – статистический поправочный коэффициент.

Влияние четвертого фактора – ввода платных парковок на переключение части населения с индивидуального на общественный транспорт в транспортной модели учтено следующим образом. Положим, что снижение доли населения,

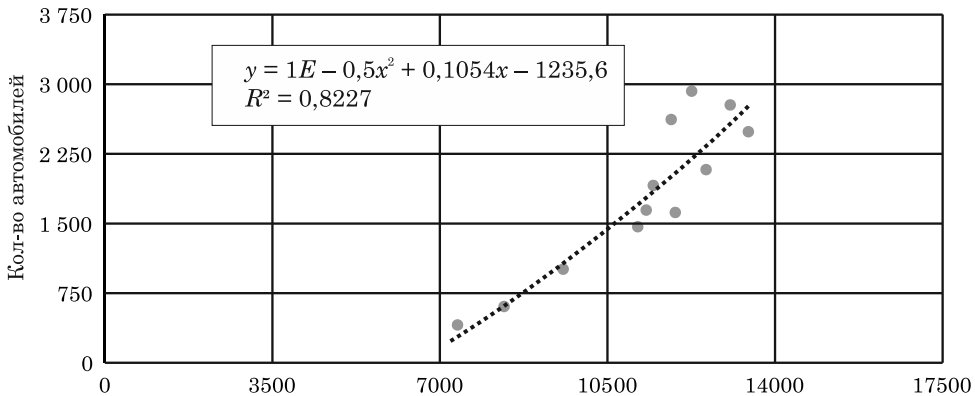


Рис. 13. Зависимость продаж новых автомобилей от дисконтированной заработной платы (на примере РФ)

использующего с введением платных парковок личный автотранспорт, пропорционально месячным затратам за парковочное место в течение рабочего времени Prk . Тогда изменение количества человек, перешедших с индивидуального на общественный транспорт:

$$X_4 = \gamma_{prk} \left(\frac{Sl - Prk}{Sl} \right),$$

где γ_{prk} – статистический поправочный коэффициент.

Расчет коэффициента выполнен с учетом опыта Москвы [24]*.

Последняя составляющая транспортной модели – перераспределение транспортных потоков по участкам транспортной сети. Для общественного транспорта – распределение пассажиропотоков по участкам маршрутов, индивидуального – автомобилепотоков по элементам улично-дорожной сети.

В модели тюменского железнодорожного узла использована процедура распределения потоков по сети. Для маршрутов общественного транспорта – городской электрички, дублирующих и смежных автобусных маршрутов – распределение пассажиропотоков выполнено по принципу выбора оптимальной стратегии поездки, минимизирующей общие затраты поездки:

$$\min = \left\{ \sum_s Q_k \cdot t_{trip} + \sum_{ij} \tau \right\},$$

$$\tau = \frac{Q_{ij}}{\sum_{k \in s_{ij}} n_k},$$

где Q_k – количество пассажиров на участке маршрута k , прилегающих к узлу i , чел.; s – массив участков, прилегающих к узлу i и входящих в возможный маршрут от i к j ; t_{trip} – время в пути, мин; t – величина, отражающая затраты пассажиров на ожидание транспорта, мин; Q_{ij} – количество пассажиров,

желающих воспользоваться общественным транспортом от i к j , чел.; n_k – частота движения транспортных средств на участке маршрута k .

Тогда стратегия выбора представлена на гиперболической функцией:

$$f = \sum_{ij} \frac{Q_{ij} \left(\sum_s t_{trip} n_k + 1 \right)}{\sum_{k \in s_{ij}} n_k} \rightarrow \min.$$

Распределение индивидуального транспорта по участкам транспортной сети выполнено согласно первому принципу Вардропа с учетом того, что на каждом шаге итерации при поиске нового пути используется информация о путях. Более подробно данный алгоритм описан в работах [18, 19].

Программная реализация модели выполнена в PTV VISUM (рис. 14).

Достоверность прогнозной модели для существующей транспортной ситуации общественного транспорта определена с учетом пространственных эпюр пассажиропотоков на учитываемых в модели маршрутах, времени в пути (рис. 15).

Относительная погрешность расчетных пассажиропотоков, полученных на прогнозной модели, и результатов натурных обследований не превышает 15 %, что является удовлетворительным показателем точности выполняемых расчетов.

Достоверность распределения индивидуального транспорта по транспортной сети установлена по информации о суточных интенсивностях транспортных потоков, полученных по натурным замерам и информации сервиса «Яндекс-пробки».

Расчетное перераспределение индивидуального транспорта по элементам улично-дорожной сети, тяготеющей к железной дороге, адекватно описывает транспортные потоки, наблюдаемые в действительности.

* В 2013 г. в центре Москвы введены платные парковки: с 1 июня в пределах Бульварного, с 25 декабря – внутри всего Садового кольца. По информации Яндекса, в феврале 2014 г. внутри Садового кольца загруженность уменьшилась на 18%, а в остальной части города – только на 3 %.

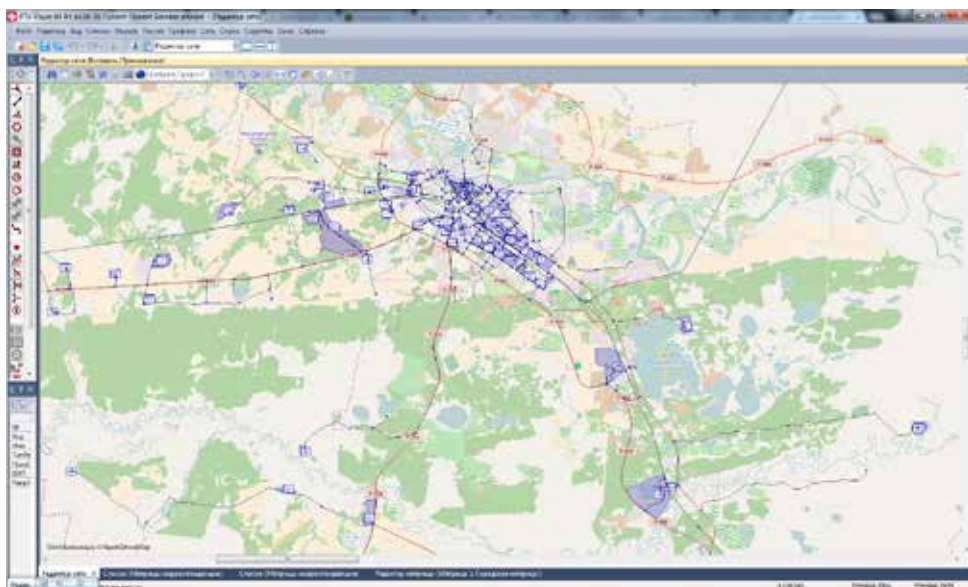


Рис. 14. Общий вид модели полигона в программном комплексе PTV VISUM

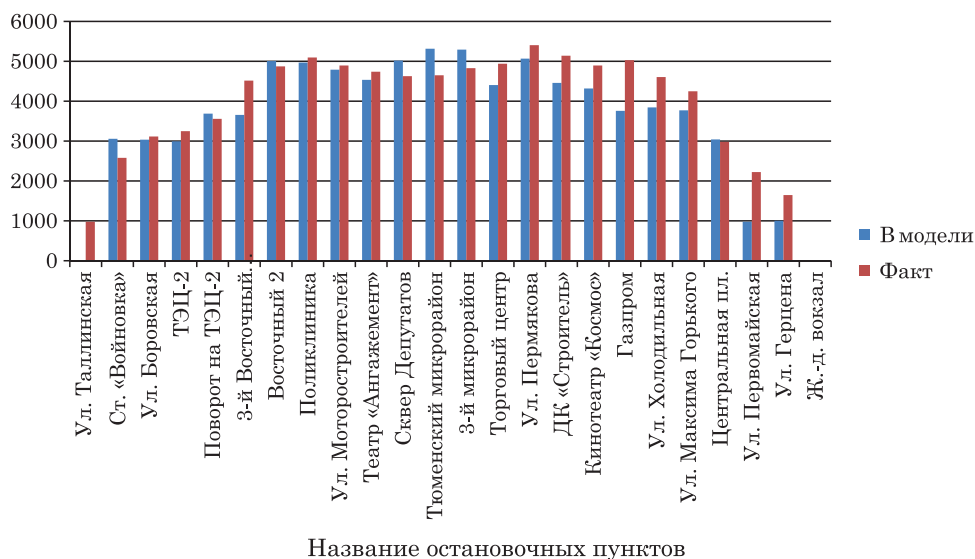


Рис. 15. Пример сопоставления расчетного и фактического пассажиропотоков на фрагменте маршрута № 25

Верификация прогнозной модели полигона тюменского железнодорожного узла выполнена путем сопоставления результатов моделирования и фактических данных, полученных по натурным замерам для текущей транспортной ситуации.

В настоящей работе верификация модели выполнена по существующей на 15.10.2015 г. транспортной ситуации.

Верификация выполнена на каждом этапе решения транспортной задачи:

– формирование транспортного спроса (калибровка выполнена по натурным

замерам посадки пассажиров и автомотопотоков, формируемых в Восточном административном округе Тюмени);

– определение корреспонденций (верификация осуществлена по социологическим обследованиям на остановочных пунктах);

– перераспределение потоков (по замеренным показателям транспортных потоков на улично-дорожной сети города, маршрутам общественного транспорта в 2014 г.).

Дополнительно верификация основных корреспонденций произведена по времени достижения цели основных корреспонденций.

Таким образом, разработанная прогнозная модель, имитирующая транспортные потоки, адекватно описывает суточные транспортные ситуации.

В заключение отметим общие выводы.

1. Для прогнозирования транспортного спроса на городскую электричку использован программный комплекс PTV Vision® VISUM – один из

зарекомендовавших в мировой практике инструментов моделирования транспортных городских систем.

2. Верификация и уточнение модели выполнены на каждом этапе ее построения: обоснование транспортного спроса и предложения, расчет корреспонденций, распределение транспортных потоков по индивидуальному и общественному видам транспорта, перераспределение пассажиро- и автомотопотоков по маршрутам и элементам улично-дорожной сети района тяготения железной дороги.

Окончательная верификация и уточнение модели выполнены по следующим показателям: время в пути, интенсивность транспортного потока, формирующегося в Восточном административном округе, величина затора.

В результате сравнения расчетных и фактических параметров установлено, что модель адекватно отражает текущую транспортную ситуацию и может быть использована для дальнейших расчетов. ■

Литература

1. Концепция организации городских железнодорожных перевозок в г. Тюмень : отчет о научно-исследовательской работе / АО «Свердловская пригородная компания». Екатеринбург : СПК, 2014. 324 с.
2. International Traffic Safety Data and Analysis. URL: <http://demoscope.ru/weekly/2014/0593/demoscope593.pdf>. (дата обращения: 01.06.2016).
3. Statistics brief. Local public transport in the European Union. URL: http://www.uitp.org/sites/default/files/cck-focus-papers-files/UITP_Statistics_PT_in_EU_DEF_web.pdf. (дата обращения: 01.06.2016).
4. Light railway transport. URL: http://www.uitp.org/sites/default/files/LRT_Knowledge%20Brief_LQ.pdf. (дата обращения: 01.06.2016).
5. Скоростную трамвайную линию до Верхней Пышмы начнут строить в ноябре. URL: <http://ekb.rbc.ru/ekb/19/01/2016/569dc17d9a7947ea0c790417>. (дата обращения: 24.06.2016).
6. Сай В.М., Бруснянин Д.А. Об организации пассажирских перевозок городским электропоездом // Вестник УрГУПС. 2014. № 3(23). С.10–17. ISSN 2079-0392.
7. Bureika G., Steišūnas S. Complex evaluation of electric rail transport implementation in Vilnius city // Transport problems. 2016. № 11. С.49–60. ISSN 1896-0596.
8. Занозина Н.М., Левашев А.Г., Шаров М.И. Оценка возможности введения приоритета общественного транспорта на примере г. Иркутска // Сб. научн. тр. Ангарского государственного технического университета. 2014. Т. 1. С. 201–203.
9. Селиверстов Я.А., Селиверстов С.А. Применение метода имитационного моделирования для оценки эффективности новых видов городского пассажирского транспорта // Вестник Государственного университета морского и речного флота им. адмирала С.О. Макарова. 2013. № 1(3). С. 83–92. ISSN 2309-5180.
10. Федорова М.В. Решение транспортных проблем мегаполисов за счет развития магнитолевитационного транспорта // Известия Петербургского университета путей сообщения. 2014. № 2. С. 153–159. ISSN 1815-588X.

11. Сай В.М., Брусянин Д.А. Этапность создания маршрута «Городская электричка» // Экономика железных дорог. 2014. № 12. С.68–78. ISSN 2079-0392.
12. Сай В.М., Брусянин Д.А. Оценка методом линейной свертки частных критериев вариантов маршрутной сети пассажирских перевозок // Экономика железных дорог. 2014. № 10. С.63–72. ISSN 2079-0392.
13. Плахотич С.А., Чемоданова К.Е. Социально-экономические критерии выбора транспортных средств для обслуживания пассажиров в городском сообщении // Транспорт Урала. 2080. № 2. С.52–56. ISSN 1815-9400.
14. Якунина Н.В., Якунин Н.Н. Организация и критерии отбора на право перевозки пассажиров автомобильным транспортом по регулярным маршрутам // М-лы Всерос. науч.-практ. конф. с междунар. участием. – Оренбург : Изд-во ОГУ. 2013. С. 600–606.
15. Левашев А.Г. Развитие градостроительных критериев оценки качества транспортного обслуживания населения // Известия вузов. Инвестиции. Строительство. Недвижимость. 2014. № 6 (11). С. 108–115. ISSN 1814-3520.
16. Козлов П.А., Александров А.Э. Имитационная экспертиза – необходимая процедура в составе транспортного проекта // Железнодорожный транспорт. 2010. № 3. С. 52–53. ISSN 0044-4448.
17. Sonntag H., Meimbresse B., Lautendieck U. Entwicklung eines Wirtschaftsverkehrsmodells, Forschungsbericht. Berlin, 1995.
18. Основы транспортного моделирования : практическое пособие / А.Э. Горев, К. Бетгер, А.В. Прохоров, Р.Р. Гизатуллин (Сер. : «Библиотека транспортного инженера»). – СПб : ООО «Изд.-полиграф. комп. «КОСТА», 2015. 168 с. ISSN 2079-0392.
19. Якимов М.Р. Транспортное планирование: создание транспортных моделей городов. М. : Логос. 2013. 188 с. ISBN 978-5-98704-729-3.
20. Сай В.М., Сизый С.В. Образование, функционирование и распад организационных сетей : монография. – Екатеринбург : Изд-во УрГУПС, 2011. 270 с. ISSN 978-5-94614-199-4.
21. Брусянин Д.А., Шавзис С.С., Вихарев С.В. Классификация маршрутных схем с учетом размещения транспортно-пересадочных узлов // Логистика. 2015. № 4 (101). С.40–47. ISSN 2219-7222.
22. Брусянин Д. А., Вихарев С.В. Формирование оптимальной маршрутной сети арамилско-сысертского направления Екатеринбургской агломерации // Инновационный транспорт. 2015. № 2 (16). С. 22–26. ISSN 2311-164X.
23. Кочнева Д.И., Брусянин Д.А. Методика прогнозирования транспортного спроса в пунктах зарождения пассажиропотока на градуированной транспортной сети // Вестник УрГУПС. 2014. № 4 (24). С. 50–58. ISBN 2079-0392.
24. Как платные парковки влияют на дорожную ситуацию в Москве. URL: https://yandex.ru/company/researches/2014/ya_parking. (дата обращения: 24.06.2016).

References

1. Concept for arrangement of urban railway transportation in Tyumen: Report on research work [Koncepciya organizacii gorodskih zheleznodorozhnyh perevozok v g. Tyumen': otchet o nauchno-issledovatel'skoj rabote] / Open Join-Stock Company «The Sverdlovsk Suburban Company». Ekaterinburg: SPK, 2014. 324 p.
2. International Traffic Safety Data and Analysis. URL: <http://demoscope.ru/weekly/2014/0593/demoscope593.pdf>. (accessed date: June 1, 2016).
3. Statistics brief. Local public transport in the European Union. URL: http://www.uitp.org/sites/default/files/cck-focus-papers-files/UITP_Statistics_PT_in_EU_DEF_web.pdf. (accessed date: June 1, 2016).
4. Light railway transport. URL: http://www.uitp.org/sites/default/files/LRT_Knowledge%20Brief_LQ.pdf. (accessed date: June 1, 2016).
5. Construction of high-speed street-railway to Verkhnyaya Pyshma starts in November [Skorostnyyu tramvajnyuyu liniyu do Verhnej Pyshmy nachnut stroit' v noyabre]. URL: <http://ekb.rbc.ru/ekb/19/01/2016/569dc17d9a7947ea0c790417>. (accessed date: June 24, 2016).
6. Say V.M., Brusyanin D.A. Ob organizacii passazhirskih perevozok gorodskim ehlektropoezdom [On the passenger transportation management by urban electric train] // Herald of the Ural State University of Railway Transport. 2014. Issue № 3(23). P. 10–17. ISSN 2079-0392.

7. Bureika G., Steišūnas S. Complex evaluation of electric rail transport implementation in Vilnius city // *Transport problems*. 2016. Issue № 11. C.49–60. ISSN 1896-0596.
8. Zanozina N.M., Levashev A.G., Sharov M.I. Ocenka vozmozhnosti vvedeniya prioriteta obshchestvennogo transporta na primere g. Irkutsk [Assessment of capability to introduce priority of public transport using city of Irkutsk as an example] // *Collection of scientific papers published by Angarsk State Technical University*. 2014. Volume 1. P. 201–203.
9. Seliverstov Ya.A., Seliverstov S.A. Primenenie metoda imitacionnogo modelirovaniya dlya ocenki ehffektivnosti novyh vidov gorodskogo passazhirskogo transporta [Application of simulation method to assess efficiency of new kinds of urban passenger transport] // *The scientific journal of Admiral Makarov State University of Maritime and Inland Shipping*. 2013. Issue № 1 (3). P. 83–92. ISSN 2309-5180.
10. Fedorova M.V. Reshenie transportnykh problem megapolisov za schet razvitiya magnitolevitacionnogo transporta [Megalopolis transportation problems solution by developing magnetic levitation transport] // *Proceedings of Petersburg Transport University*. 2014. Issue № 2. P. 153–159. ISSN 1815-588X.
11. Say V.M., Brusyanin D.A. Ehtapnost' sozdaniya marshruta «Gorodskaya ehlektrichka» [Stages of creating a «City Train» route] // *The Railway Economics magazine*. 2014. Issue № 12. P. 68–78. ISSN 2079-0392.
12. Say V.M., Brusyanin D.A. Ocenka metodom lineinoi svertki chastnykh kriteriev variantov marshrutnoy seti passazhirskikh perevozok [Evaluation of partial criteria of passenger route network by method of linear convolution] // *The Railway Economics magazine*. 2014. Issue № 10. P. 63–72. ISSN 2079-0392.
13. Plakhotich S.A., Chemodanova K.E. Social'no-ehkonomicheskie kriterii vybora transportnykh sredstv dlya obsluzhivaniya passazhirov v gorodskom soobshchenii [Social and economic criteria for selection of means of transport to render urban passenger services] // *Transport of the Urals*. 2008. Issue № 2. P. 52–56. ISSN 1815-9400.
14. Yakunina N.V., Yakunin N.N. Organizatsiya i kriterii otbora na pravo perevozki passazhirov avtomobil'nym transportom po regul'yarnym marshrutam [Selection arrangement and determination of criteria for eligibility to automobile transportation of passengers on regular routes] // *Materials of all-Russian research and training conference with international engagement*. – Orenburg: OSU Press. 2013. P. 600–606.
15. Levashev A.G. Razvitie gradostroitel'nykh kriteriev ocenki kachestva transportnogo obsluzhivaniya naseleniya [Development of town-planning criteria for quality assessment of public transport services] // *News of Higher Educational Institutions. Investments. Construction. Real Estate*. 2014. Issue № 6 (11). P. 108–115. ISSN 1814-3520.
16. Kozlov P.A., Aleksandrov A.E. Imitacionnaya ehkspertiza – neobhodimaya procedura v sostave transportnogo proekta [Simulation expert examination is a must-have procedure within transportation project] // *Railway transport*. 2010. Issue № 3. P. 52–53. ISSN 0044-4448.
17. Sonntag H., Meimbresse B., Lautendieck U. Entwicklung eines Wirtschaftsverkehrsmodells, Forschungsbericht. Berlin, 1995.
18. Fundamentals of transport modelling: practical guide / A.E. Gorev, K. Bettger, A.V. Prokhorov, R.R. Gizatullin (Series: «Library of transport engineer») [Osnovy transportnogo modelirovaniya : prakticheskoe posobie / A.E.H. Gorev, K. Bettger, A.V. Prokhorov, R.R. Gizatullin]. – St. Petersburg: Publishing and printing company KOSTA LLC, 2015. 168 p. ISSN 2079-0392.
19. Yakimov M.R. Transportnoe planirovanie: sozdanie transportnykh modelej gorodov [Traffic planning: Creation of urban transport models]. M. : Logos. 2013. 188 p. ISBN 978-5-98704-729-3.
20. Say V.M., Sizyi S.V. Obrazovanie, funkcionirovanie i raspad organizatsionnykh setej : monografiya [Formation, operation and destruction of management networks : monograph]. – Ekaterinburg: Publishing company of Ural State University of Railway Transport, 2011. 270 p. ISSN 978-5-94614-199-4.
21. Brusyanin D.A., Shavzis S.S., Vikharev S.V. Klassifikatsiya marshrutnykh skhem s ucheto razmeshcheniya transportno-peresadochnykh uzlov [Classification of routing schemes based on the location of transport hubs] // *Logistics*. 2015. Issue № 4 (101). P.40–47. ISSN 2219-7222.

22. Brusyanin D.A., Vikharev S.V. Formirovanie optimal'noj marshrutnoj seti aramil'sko-sysertskego napravleniya Ekaterinburgskoj aglomeracii [Development of the optimal route network of Aramil-Sysert sector of Ekaterinburg agglomeration] // Innotrans. 2015. Issue № 2 (16). P. 22–26. ISSN 2311-164X.
23. Kochneva D.I., Brusyanin D.A. Metodika prognozirovaniya transportnogo sprosa v punktah zarozhdeniya passazhiropotoka na graduirovannoj transportnoj seti [A method to forecast transportation demand in passenger traffic starting points of gradable transport network] // Herald of the Ural State University of Railway Transport. 2014. Issue № 4 (24). P. 50–58. ISBN 2079-0392.
24. How paid parking areas influence traffic situation in Moscow [Kak platnye parkovki vliyayut na dorozhnuyu situaciyu v Moskve]. URL: https://yandex.ru/company/researches/2014/ya_parking. (accessed date: June 24, 2016).

Статья сдана в редакцию 14 июля 2016 года

УДК 625.111

В.С. Миронов, А.В. Петрушин

Рекомендации по укладке трассы новой железнодорожной линии в условиях высокой сейсмичности

UDC 625.111

V.S. Mironov, A.V. Petrushin

Recommendations on laying new railway track under high seismic conditions

Аннотация

В статье рассмотрены вопросы проектирования трассы, плана и продольного профиля грузообразующих линий, а также способ выполнения одного из требований норм проектирования по защите земляного полотна железной дороги от сейсмического воздействия – устройство однородной площадки земляного полотна за счёт корректировки её положения в плане и продольном профиле при укладке трассы. При фиксированном плане трассы необходимо определять отметки насыпи и выемки, ограничивающие положение проектной линии по условию сохранения однородности основной площадки. Так можно получить некий коридор профиля, вне пространства которого располагается проектная линия. Применение этого коридора в практике проектирования возможно в двух случаях: а) при укладке трассы

на стадии проекта. На основе уложенного плана трассы на продольном профиле указываются линия земли и коридор профиля, вне пространства которого должна быть уложена проектная линия; б) на стадии корректировки при проектировании рабочей документации. На уже имеющемся продольном профиле с уложенной проектной линией строится коридор профиля и корректируется положение проектной линии с тем, чтобы она находилась вне пространства коридора.

Предложена методика проектирования трассы железнодорожной линии на косогорных участках в районах с высокой сейсмичностью с учетом требований к конструкции земляного полотна. Приведен алгоритм её реализации и результаты апробации на примере реального проекта.

Представлены результаты анализа предельных значений высот насыпей

и глубин выемок для обеспечения однородности основной площадки земляного полотна. Даны рекомендации по укладке трассы новой железнодорожной линии при различных грунтах основания, крутизне откосов, ширине основной площадки и количестве главных путей в условиях высокой сейсмичности.

Ключевые слова: высокая сейсмичность, однородность основной площадки земляного полотна, методика проектирования трассы, фиксированный план, «коридор профиля», фиксированная проектная линия, «коридор плана», полунасыпь-полувыемка.

DOI:10.20291/2079-0392-2016-3-98-107

Abstract

The article is devoted to design issues of railroad layout, horizontal alignments and profile elevations of cargo-generating lines, as well as to a way of compliance

Виктор Степанович Миронов, канд. техн. наук, профессор; кафедра «Проектирование и строительство железных дорог» Московского государственного университета путей сообщения; Москва, Россия. E-mail: vsm46@mail.ru.

Алексей Валерьевич Петрушин, инженер; кафедра «Проектирование и строительство железных дорог» Московского государственного университета путей сообщения; Москва, Россия. E-mail: petrushin1189@gmail.com.

Viktor Stepanovich Mironov, Cand.Sc. (Engineering), Professor; Department of Design and Construction of Railways, Moscow State University of Railway Engineering; Moscow, Russia. E-mail: vsm46@mail.ru.

Aleksey Valeryevich Petrushin, engineer; Department of Design and Construction of Railways, Moscow State University of Railway Engineering; Moscow, Russia. E-mail: petrushin1189@gmail.com.

with one of the design regulation requirements regarding protection of the railway roadbed from seismic impacts, i.e. arrangement of a uniform roadbed ground due to adjustment of its location in horizontal alignments and profile elevations during the road laying. In case of the fixed horizontal alignment of the railroad it is necessary to take the altitudes of banks and cuttings limiting the grade line location as per the condition of the uniformity of the main roadbed ground. In this case it is possible to get a kind of a window in the profile elevation, outside which the grade line is located. The practical use of this «window» is possible in two cases: a) during the road laying at the project stage. On

the basis of the laid horizontal alignment, the profile elevation will be marked with the ground line and the «profile window» outside which the grade line shall be laid; b) at the adjustment stage during detailed documentation development. On the already existing profile elevation with the laid grade line the «profile window» is made and the position of the grade line is adjusted so that it is located outside the window space.

The article offers methods of railway road design at hillside sections in high seismic regions taking into account the requirements to the railway roadbed structure. The article also gives the method implementation procedure and test results using the real-life project as an example.

Moreover the article submits the results of analysis of bank heights and cutting depths limits in order to ensure the uniformity of the main roadbed ground. The authors of the article give recommendations on laying a new railway track in case of different foundation soils, slope grades, width of the main ground and quantity of main lines under high seismic conditions.

Key words: high seismic regions, uniformity of the main roadbed ground, methods of railway road design, fixed horizontal alignment, «profile window», fixed grade line, «plan window», semi-bank – semi-cutting.

DOI:10.20291/2079-0392-2016-3-98-107

Основная территория России находится на относительно спокойной Евразийской тектонической плите, но наша страна тоже подвержена разрушительным землетрясениям. Такие регионы, как Дальний Восток, Южная Сибирь, Северный Кавказ известны не только своим трудным рельефом и суровым климатом, но и как территории с высокой сейсмичностью [1]. Сейсмичность здесь достигает 7–10 баллов по шкале Рихтера [2]. А в соответствии со «Стратегией развития железнодорожного транспорта в РФ до 2030 года», большая часть из запланированных к строительству 4,6 тыс. км грузообразующих линий будет проложена именно по этим территориям [3].

Угроза и опасность сейсмического воздействия на инфраструктуру железнодорожного транспорта очевидны. Для повышения надёжности и устойчивости земляного полотна и других постоянных устройств обязателен учёт высокой сейсмичности при проектировании новых железнодорожных линий уже на этапе укладки трассы.

Опыт проектирования и строительства магистральных железнодорожных линий показывает, что особое внимание следует уделять участкам на косогорах, отличающихся неблагоприятными инженерно-геологическими условиями, где велика вероятность возникновения аварийных (чрезвычайных) ситуаций (отказов), что может приводить к сбоям в движении поездов [4].

В этих условиях при трассировании линии необходимо также соблюдать антисейсмические требования, среди которых – устройство однородной основной площадки земляного полотна и исключение поперечных профилей в виде полунасыпей-полувыемок. Это позволяет повысить устойчивость и сохранность земляного полотна и уменьшить вероятность масштабных разрушений при землетрясениях.

Не стоит забывать об экономическом аспекте: принимаемые проектные решения должны быть рациональны и эффективны с позиции строительной стоимости и дальнейшей эксплуатации

железнодорожной линии, а также учитывать вероятностный характер возникновения землетрясений и интенсивности их воздействия.

В условиях высокой сейсмичности уже на стадии разработки проекта трассы следует предусматривать меры по повышению надёжности и сохранности железнодорожного пути и других объектов инфраструктуры железной дороги.

Методика проектирования трассы с учётом обеспечения надёжности земляного полотна в районе с высокой сейсмичностью

В районах с высокой сейсмичностью при выборе конструкции земляного полотна необходимо обеспечить однородность основной площадки [5]. Это требование особенно актуально на косогорных участках, где по параметрам продольного профиля и плана трассы возможны поперечные профили земляного полотна, предполагающие размещение его частично на насыпи и частично в выемке.

Однородность основной площадки можно обеспечить при укладке

трассы линии за счёт сдвига в плане или изменения продольного профиля. При этом необходимо при фиксированном плане трассы определить отметки насыпи $H_{\min(n)}$ и выемки $H_{\max(v)}$, ограничивающие положение проектной линии по условию сохранения однородности основной площадки. Так можно получить некий коридор профиля, вне пространства которого должна располагаться проектная линия (рис. 1).

В практике проектирования этот коридор используется в двух случаях.

В первом случае – при укладке трассы на стадии проекта. На основе уложенного плана трассы на продольном профиле указываются линия земли и коридор профиля, вне пространства которого должна быть уложена проектная линия (рис. 2).

Анализу подлежат все ходы трассы, за исключением поперечно-водораздельного, имеющегося при расположении плана трассы перпендикулярно горизонталям.

Минимальные высоты насыпей (h_n) и глубины выемок (h_v) определяются по формуле:

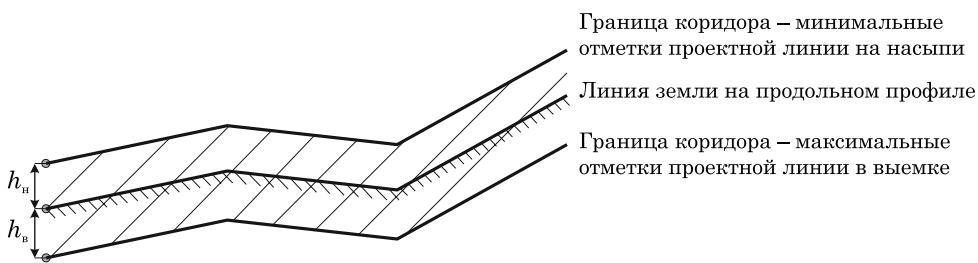


Рис. 1. Граничные значения отметок насыпей и выемок

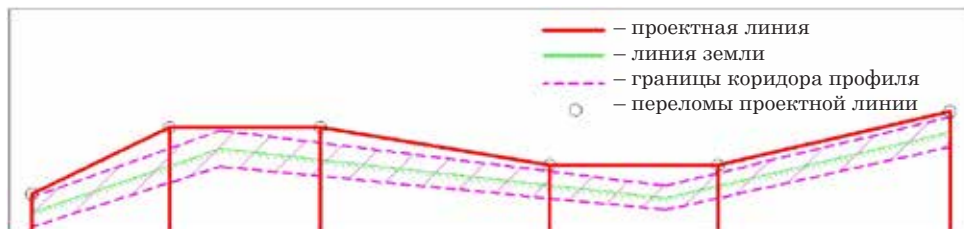


Рис. 2. Укладка проектной линии в районе с высокой сейсмичностью

$$h_n = h_b = \frac{0,5B}{k}, \quad (1)$$

где B – ширина основной площадки земляного полотна; k – заложение откоса косогора, характеризующего его крутизну.

Однородность основной площадки можно обеспечить также корректировкой плана трассы при фиксированной проектной линии. Величины необходимых сдвигов трассы для насыпи и выемки определяются по формуле:

$$\Delta_{\text{нас}} = \Delta_{\text{выем}} = 0,5B. \quad (2)$$

Во втором случае имеем дело с трассой на стадии корректировки при проектировании рабочей документации. На уже имеющемся продольном профиле с уложенной проектной линией строится коридор профиля и корректируется положение проектной линии с тем, чтобы она находилась вне пространства коридора (рис. 3).

Минимальные высоты насыпей (h_n) и глубины выемок (h_b) во втором случае определяются по формулам:

$$h_n = \frac{0,5B}{k} - h_p, \quad (3)$$

$$h_b = \frac{0,5B}{k} + h_p, \quad (4)$$

где h_p – высота насыпи/глубина выемки в i -м сечении трассы.

Величины необходимых сдвигов трассы для насыпи и выемки:

$$\Delta_n = 0,5B - h_p k, \quad (5)$$

$$\Delta_b = 0,5B + h_p k. \quad (6)$$

При трассировании железнодорожных линий должны использоваться

рациональные и наиболее эффективные методы проектирования трассы, реализация которых помогла бы экономить время, обеспечивая соблюдение требований нормативно-технической документации.

Для решения подобной проблемы предлагается технология (методика) проектирования трассы железнодорожной линии в условиях высокой сейсмичности (рис. 4).

Предлагаемая методика основана на анализе трассы в плане и профиле с целью сокращения протяжённости переходных участков линии и позволяет при укладке трассы не только учесть однородность основной площадки, но и выявить рациональное решение в каждом поперечном сечении, связанное со сдвигом в плане или продольном профиле с использованием координатной модели профиля [6, 7].

Предложенная технология может использоваться как на начальной стадии проектирования, когда по намеченному положению трассы в плане необходимо уложить проектную линию в продольном профиле, так и на стадии корректировки уже уложенной проектной линии и плана.

Проектирование трассы с использованием предложенной методики на участке железной дороги Кызыл – Курагино

Приведенная методика проектирования трассы применена в проектировании участка железнодорожной линии Кызыл – Курагино, расположенной между ст. Курагино Красноярского края и тувинским Элегестским угольным месторождением [8, 9]. В исследовании

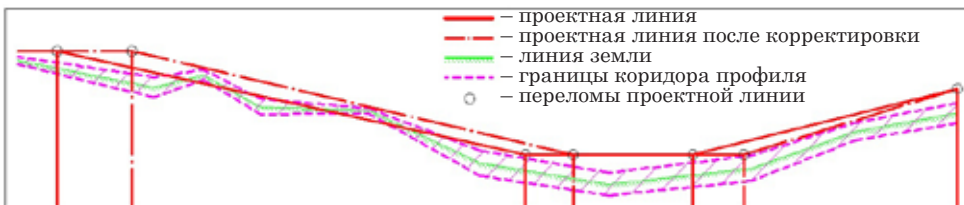


Рис. 3. Корректировка проектной линии для обеспечения однородности основной площадки

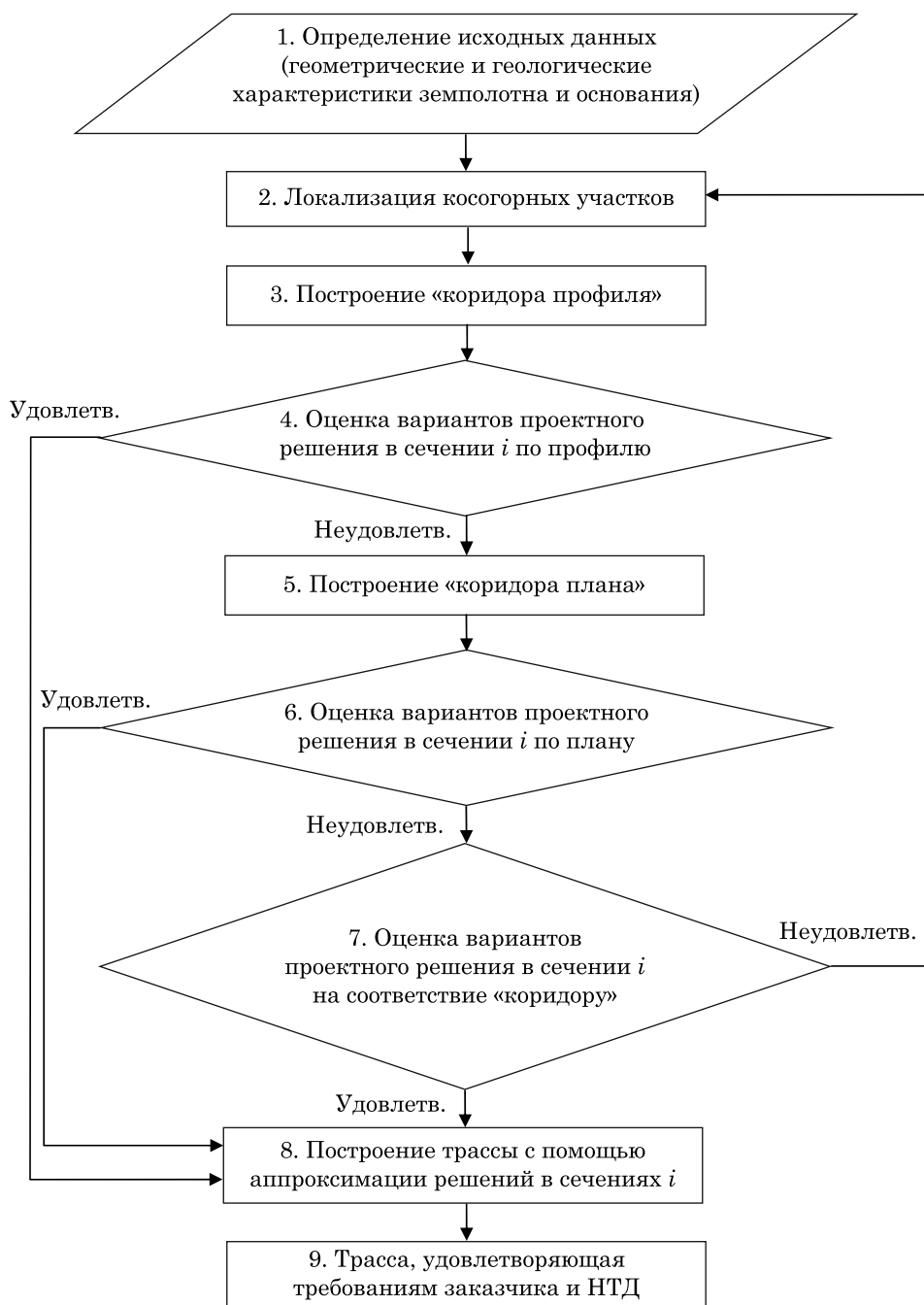


Рис. 4. Блок-схема алгоритма укладки трассы в районе с высокой сейсмичностью



Рис. 5. Схема проектируемой железной дороги Кызыл – Курагино [10]

рассмотрен участок трассы между разъездом Куртушибинским и станцией Аржаан протяжённостью 21 км (рис. 5).

Участок характеризуется наличием Куртушибинского тоннеля, разъезда Чинжаш и объектов культурного наследия (Долина царей). Трасса запроектирована при тепловозной тяге тяжёлыми подъёмами и спусками общей протяжённостью около 13 км при руководящем уклоне 9 ‰ (уклон кратной тяги – 18,5 ‰).

В результате анализа трассы выявлены косогорные участки, на которых поперечный профиль земляного полотна имеет вид полунасыпи-полувыемки. Всего таких участков 29. Их суммарная протяжённость равна 711 м, что составляет около 3,4 % от общей длины рассматриваемого участка (таблица 1).

При применении методики проектирования трассы железнодорожной линии в условиях высокой сейсмичности из 29 выявленных участков на девяти

использована возможность корректировки трассы в продольном профиле и плане [11].

Анализ граничных высот насыпей и глубин выемок для обеспечения однородности основной площадки земляного полотна

Для анализа минимальных значений высот насыпей и глубин выемок, при которых основная площадка будет однородной, выполнены варианты расчёты для различных условий проектирования (косогорность, вид грунта, категория линии, число путей).

Рассмотрены следующие виды грунтов основания: глинистые и пылеватые грунты в районах избыточного увлажнения, а также пески однородные, мелкие и пылеватые; глинистые грунты тугопластичной консистенции и крупнообломочные грунты с глинистым заполнителем такой же консистенции; пески мелкие и пылеватые, глинистые грунты

Таблица 1
Характеристики трассы до и после применения методики

Показатель	До корректировки	После корректировки
Длина рассматриваемого участка, км	21,0	21,1
Количество косогорных участков с полунасыпями-полувыемками	29	20
Суммарная протяжённость косогорных участков с полунасыпями-полувыемками, % от длины рассматриваемого участка	711 м (~4 %)	370 м (~2 %)

Таблица 2

Границы коридоров при обыкновенных грунтах

Крутизна косогора k	Ширина основной площадки B , м	Кол-во путей	Коридор профиля		Коридор плана	
			$h_{\text{нас}}, \text{ м}$	$h_{\text{выем}}, \text{ м}$	$\Delta_{\text{нас}}, \text{ м}$	$\Delta_{\text{выем}}, \text{ м}$
10	11,7	2	0,58	-0,58	5,85	-5,85
8	11,7	2	0,73	-0,73	5,85	-5,85
6	11,7	2	0,97	-0,97	5,85	-5,85
4	11,7	2	1,46	-1,46	5,85	-5,85
3	11,7	2	1,95	-1,95	5,85	-5,85
10	7,6	1	0,38	-0,38	3,80	-3,80
8	7,6	1	0,47	-0,47	3,80	-3,80
6	7,6	1	0,63	-0,63	3,80	-3,80
4	7,6	1	0,95	-0,95	3,80	-3,80
3	7,6	1	1,27	-1,27	3,80	-3,80
10	7,3	1	0,36	-0,36	3,65	-3,65
8	7,3	1	0,46	-0,46	3,65	-3,65
6	7,3	1	0,61	-0,61	3,65	-3,65
4	7,3	1	0,91	-0,91	3,65	-3,65
3	7,3	1	1,22	-1,22	3,65	-3,65
10	7,1	1	0,35	-0,35	3,55	-3,55
8	7,1	1	0,44	-0,44	3,55	-3,55
6	7,1	1	0,59	-0,59	3,55	-3,55
3	7,1	1	1,18	-1,18	3,55	-3,55

Таблица 3

Границы коридоров при дренирующих грунтах

Крутизна косогора k	Ширина основной площадки B , м	Кол-во путей	Коридор профиля		Коридор плана	
			$h_{\text{нас}}, \text{ м}$	$h_{\text{выем}}, \text{ м}$	$\Delta_{\text{нас}}, \text{ м}$	$\Delta_{\text{выем}}, \text{ м}$
10	10,7	2	0,53	-0,53	5,35	-5,35
8	10,7	2	0,67	-0,67	5,35	-5,35
6	10,7	2	0,89	-0,89	5,35	-5,35
4	10,7	2	1,34	-1,34	5,35	-5,35
3	10,7	2	1,78	-1,78	5,35	-5,35
10	6,6	1	0,33	-0,33	3,30	-3,30
8	6,6	1	0,41	-0,41	3,30	-3,30
6	6,6	1	0,55	-0,55	3,30	-3,30
4	6,6	1	0,82	-0,82	3,30	-3,30
3	6,6	1	1,10	-1,10	3,30	-3,30
10	6,4	1	0,32	-0,32	3,20	-3,20
8	6,4	1	0,40	-0,4	3,20	-3,20
6	6,4	1	0,530	-0,53	3,20	-3,20
4	6,4	1	0,80	-0,80	3,20	-3,20
3	6,4	1	1,07	-1,07	3,20	-3,20
10	6,2	1	0,31	-0,31	3,10	-3,10
8	6,2	1	0,39	-0,39	3,10	-3,10
6	6,2	1	0,52	-0,52	3,10	-3,10
4	6,2	1	0,77	-0,77	3,10	-3,10
3	6,2	1	1,03	-1,03	3,10	-3,10

(в том числе лёссовидные) твердой и полутвердой консистенции, крупнообломочные с глинистым заполнителем такой же консистенции; раздробленные скальные легко выветривающиеся; раздробленные скальные выветривающиеся; пески мелкие барханные в районах с засушливым климатом.

При ширине основной площадки, равной 11,7, 7,6, 7,3 и 7,1 м, рекомендуемые границы коридоров плана и профиля представлены в таблице 2.

Кроме того, расчёты сделаны при следующих видах грунтов основания: пески гравелистые крупные и средней крупности; крупнообломочные и крупнообломочные с песчаным заполнителем; раздробленные скальные слабо-выветривающиеся.

Ширина основной площадки для этих грунтов в зависимости от числа путей и категории линии может быть равной 10,7, 6,6, 6,4 и 6,2 м.

Рекомендуемые границы коридоров плана и профиля представлены в таблице 3.

Рекомендации по укладке трассы новой железнодорожной линии в условиях высокой сейсмичности

На основе формул (1)–(6), а также результатов проведённого авторами исследования зависимости стоимости производства земляных работ от крутизны косогора при различных видах грунтов при уклоне косогора k от 1:10 до 1:3 можно дать следующие рекомендации (таблица 4).

Таблица 4

Рациональные решения при различных видах грунтов при уклоне косогора k от 1:10 до 1:3

	Категория по сейсмическим свойствам, грунты		
	I	II	III
Уклон	Раздробленные скальные слабовыветривающиеся	Крупнообломочные и крупнообломочные с песчаным заполнителем пески гравелистые крупные и средней крупности пески мелкие барханные в районах с засушливым климатом раздробленные скальные выветривающиеся раздробленные скальные легко выветривающиеся пески мелкие и пылеватые глинистые грунты (в том числе лёссовидные) твердой и полутвердой консистенции крупнообломочные с глинистым заполнителем такой же консистенции глинистые грунты тугопластичной консистенции и крупнообломочные грунты с глинистым заполнителем такой же консистенции	Глинистые и пылеватые грунты в районах избыточного увлажнения, а также пески однородные, мелкие и пылеватые
1:10–1:7	Смещение в продольном профиле и плане в выемку на величину от 0,35 до 1,95 м и от 3,55 до 5,85 м соответственно		Смещения оси трассы в плане и продольном профиле в выемку на величину от 3,10 до 5,35 м и от 0,31 до 0,76 м соответственно
1:7–1:3			Смещение оси трассы в плане и продольном профиле в насыпь на величину от 3,1 до 5,35 м и от 0,43 до 1,78 м соответственно

Выводы

Получены аналитические зависимости предельных значений высот насыпей и глубин выемок, при которых основная площадка земляного полотна будет однородной (либо насыпь, либо выемка). Однородность основной площадки обусловлена требованиями норм проектирования для районов, в которых велика вероятность землетрясений.

Разработана новая технология (методика) укладки трассы на косогорных участках с учётом обеспечения однородности земляного полотна. Методика апробирована на примере реально-го проекта железной дороги Кызыл – Курагино.

Для различных условий проектирования при фиксированном плане линии выполнены массовые вариантные расчёты и получены граничные значения высот насыпей и глубин выемок, меньше которых проектировать продольный профиль не рекомендуется.

Установлены также необходимые смещения плана для обеспечения однородности основной площадки земляного полотна при фиксированном положении проектной линии.

Даны рекомендации по укладке трассы при различных грунтах основания, крутизне откосов, ширине основной площадки и количестве главных путей. ■

Литература

1. Шестопёров В.Г. Сейсмическое микрорайонирование участков строительства мостов : дис... на соиск. уч. ст. канд. техн. наук: 05.23.11. М., 2006, 104 с.
2. Уломов В.И., Богданов М.И. Новый комплект карт общего сейсмического районирования территории Российской Федерации (ОСР-2012) // Инженерные изыскания. № 8. 2013. С. 30–39. ISSN 1997-8650
3. Стратегия развития железнодорожного транспорта в Российской Федерации до 2030 года. URL: <http://doc.rzd.ru/doc/public/> (дата обращения: 31.05.2016).
4. Переселенков Г.С., Тавлинов В.К., Ткачевский И.Д. и др. Железные дороги в долинах рек / под ред. Г.С. Переселенкова. – М. : Транспорт, 1991. – 344 с.
5. Свод правил. СП 14.13330.2014. Строительство в сейсмических районах. Актуализированная редакция СНиП II-7–81*. – 131 с. URL: <http://docs.cntd.ru/> (дата обращения: 31.05.2016).
6. Миронов В.С., Петрушин А.В. Укладка трассы в районах с высокой сейсмичностью // Путь и путевое хозяйство. № 12. 2014. С. 22–24. ISSN 0033-4715.
7. Миронов В.С., Петрушин А.В. Проектирование трассы железной дороги на косогорных участках в районах с высокой сейсмичностью / Труды Международной научно-практической конференции «Транспорт-2013», ч. 3. Естественные и технические науки – Ростов-на-Дону, Рост. гос. ун-т. путей сообщения, 2013. С. 39–40.
8. Подвербный В.А., Курочкин В.А., Благоразумов И.В., Филатов Е.В. Проблемы и перспективы строительства линии «Кызыл – Курагино» / Безопасность регионов – основа устойчивого развития : материалы четвертой Международной научно-практической конференции, 22–26 сентября 2014 г. Иркутск : Изд-во ИрГУПС, 2014. – 612 с. ISBN 978-5-98710-274-9.
9. Леви К.Г., Козырева Е.А., Мирошниченко А.И., Чечельницкий В.В., Гилева Н.А. Транспортная инфраструктура Сибирского региона и факторы природных опасностей // Транспортная инфраструктура Сибирского региона : материалы Шестой международной научно-практической конференции, 30 сентября – 03 октября 2015 г. Иркутск : в 2 т., Т. 1. – Иркутск : ИрГУПС, 2015 – 700 с. ISBN 978-5-98710-294-7.
10. ТЭПК. Строительство железной дороги Элегест – Кызыл – Курагино. URL: <http://tepkinvest.ru/rail/> (дата обращения: 31.05.2016).
11. Миронов В.С., Петрушин А.В. Корректировка положения трассы на косогорных участках в районах с высокой сейсмичностью на примере железной дороги «Кызыл – Курагино» / Труды XI научно-технической конференции, посвящённой памяти профессора Г.М. Шахунянца. – М. : МИИТ, 2014. С. 169–172.

References

1. Shestoporov V.G. Seismicheskoe mikrorajonirovanie uchastkov stroitel'stva mostov : dis... na soisk. uch. st. kand. tekhn. nauk [Seismic micro zoning areas of bridge construction: Thesis for obtaining a doctor's degree in technical science: 05.23.11: MII]. M., 2006, 104 p.
2. Ulomov V.I., Bogdanov M.I. Novyj komplekt kart obshchego seismicheskogo rajonirovaniya territorii Rossijskoj federacii (OSR-2012) [A new set of maps of general seismic zoning of the territory of the Russian Federation (GSZ 2012)] // Engineering survey. № 8. 2013. P. 30–39. ISSN 1997-8650.
3. Strategy of development of railway transport in the Russian Federation until 2030 [Strategiya razvitiya zheleznodorozhnogo transporta v Rossijskoj Federacii do 2030 goda]. URL: <http://doc.rzd.ru/doc/public/> (accessed date: 31.05.2016).
4. Pereselenkov G.S., Tavlinov V.K., Tkachevsky I.D. and others. ZHeleznye dorogi v dolinah rek [The railways in the valleys of the rivers] / ed. G.S. Pereselenkova. – M. : Transport, 1991. 344 p.
5. Set of Rules. SP 14.13330–2014. Construction in seismic areas. The updated edition of SNiP II-7–81* [Svod pravil. SP 14.13330.2014. Stroitel'stvo v seismicheskikh raj-onah. Aktualizirovannaya redakciya SNiP II-7–81*]. URL: <http://docs.cntd.ru/> (accessed date: 31.05.2016).
6. Mironov V.S., Petrushin A.V. Ukladka trassy v rajonah s vysokoj seismichnost'yu [Laying tracks in areas of high seismicity] // Track and track facilities. № 12. 2014. P. 22–24. ISSN 0033-4715.
7. Mironov V.S., Petrushin A.V. Proektirovanie trassy zheleznoj dorogi na kosogornyh uchastkah v rajonah s vysokoj seismichnost'yu [Design of railroad tracks on side-hill sites in the areas of high seismicity] / Materials of the International scientific-practical conference «Transport 2013», Part 3. Natural and Technical Sciences. – Rostov-on-Don, Rostov State Transport University, 2013. P. 39–40.
8. Podverbny V.A., Kurochkin V.A., Blagorazumov I.V., Filatov E.V. Problemy i perspektivy stroitel'stva linii «Kyzyl – Kuragino» [Problems and prospects for the construction of the line «Kyzyl – Kuragino»] / Security of the regions – the basis of sustainable development : Materials of the IVth International Scientific and Practical Conference, 22–26 September 2014, Irkutsk: Publishing department of IrGUPS, 2014. 612 p. ISBN 978-5-98710-274-9.
9. Levi K.G., Kozyrev E.A., Miroshnichenko A.I., Chechelnitsky V.V., Gileva N.A. Transportnaya infrastruktura Sibirskogo regiona i faktory prirodnyh opasnostej [The transport infrastructure of Siberia and natural hazards factors] // The transport infrastructure of Siberia: Material of the 6th international scientific-practical conference, 30.09 – 3.10.2015, Irkutsk : In 2 vols.; V. 1. – Irkutsk : IrGUPS, 2015. 700 p. ISBN 978-5-98710-294-7.
10. TEPK. Construction of the railway Elegest – Kyzyl – Kuragino [TEHPK. Stroitel'stvo zheleznoj dorogi EHlegest – Kyzyl – Kuragino]. URL: <http://tepk-invest.ru/rail/> (accessed date: 31.05.2016).
11. Mironov V.S., Petrushin A.V. Korrektirovka polozeniya trassy na kosogornyh uchastkah v rajonah s vysokoj seismichnost'yu na primere zheleznoj dorogi «Kyzyl – Kuragino» [Adjustment of the position on the track of side-hill stations in areas with high seismic activity on the example of the railway «Kyzyl-Kuragino»] / Materials of the XIth scientific-practical conference, dedicated to the Memory of Prof. G.M. Shahunyantsa. – M. : MIIT, 2014. P.169–172.

Статья сдана в редакцию 31 мая 2016 года

Управление. Экономика

УДК 331.104.2

Н.И. Шаталова, Т.В. Окунева

Методика конструирования культуры организации

UDC 331.104.2

N.I. Shatalova, T.V. Okuneva

Methods of corporate culture creation

Аннотация

На основании обобщения имеющихся теоретических концепций и практики управления персоналом предлагается методика конструирования эффективной корпоративной культуры. Такое конструирование понимается авторами как процесс разработки и внедрения в повседневные поведенческие практики персонала базовых представлений и ценностей, необходимых для эффективной работы предприятия и организации реально го взаимодействия людей.

Цель конструирования корпоративной культуры – создать такую трудовую среду и сформировать такое трудовое поведение работников, которое бы способствовало достижению максимальной эффективности организации.

Приводятся конкретные примеры грамотно сформулированных миссии и целей организации, систем корпоративной символики, мифологии и т.п. Дана авторская

концепция системы функций организационной культуры и специфика их управленческого воздействия. Показаны основные ошибки в конструировании и развитии корпоративной культуры.

Авторы показывают важность учета отраслевой (в том числе и железнодорожной) специфики при подготовке менеджеров всех уровней для адекватного формирования корпоративной культуры, которая способна не просто учитывать потребности организации по мере ее развития, но и отвечать требованиям отрасли, что экономит время, средства и сохраняет благоприятные взаимоотношения руководителей и работников организации.

Ключевые слова: корпоративная культура, организационная культура, менеджмент, управление персоналом, элементы корпоративной культуры, функции организационной культуры, организационные нормы, правила поведения, кодекс

корпоративной этики, имидж организации, репутация компании, организационные ценности.

DOI: 10.20291/2079-0392-2016-3-108-120

Abstract

Based on generalization of the available theoretical concepts and staff management practices, the article offers methods of creation of efficient corporate culture. The authors consider such creation as a process of development and implementation to the everyday staff behavior practices of core ideas and values required for efficient work of enterprises and arrangement of actual interaction of people.

The aim of the corporate culture creation is to establish working environment and to form working behavior which would facilitate achieving the maximum efficiency of an organization.

The authors give specific examples of the properly formulated organization's mis-

Шаталова Нина Ивановна, д-р социол. наук, профессор; зав. кафедрой «Управление персоналом и социология», Уральского государственного университета путей сообщения; Екатеринбург, Россия. E-mail: NShatalova@eka-net.ru.

Окунева Татьяна Владимировна, старший преподаватель; кафедра «Управление персоналом и социологии» Уральского государственного университета путей сообщения; Екатеринбург, Россия. E-mail: tat-okuneva@list.ru.

Nina Ivanovna Shatalova, DSc. (Sociology), Professor; Chairman of Department of Human Resource Management and Sociology, Ural State University of Railway Transport; Ekaterinburg, Russia. E-mail: NShatalova@eka-net.ru.

Tatyana Vladimirovna Okuneva, Senior Lecturer; Department of Human Resource Management and Sociology, Ural State University of Railway Transport; Ekaterinburg, Russia. E-mail: tat-okuneva@list.ru.

sion and targets, systems of corporate brand marks, mythology and so on. The article contains the authors' concept of corporate culture function system and specific nature of its management impact. The article also pays attention to the basic mistakes which can be made when creating and developing the corporate culture.

The authors underline that it is important to take

into account the specific industry nature (including railway industry) during the training of managers of all levels in order to establish a balanced corporate culture which is able not only to take into account the organization's needs as the organization develops, but also to comply with the industry requirements, which saves time and money and maintains favorable relationships bet-

ween an organization's executives and staff.

Keywords: corporate culture, organizational culture, management, staff management, corporate culture elements, corporate culture functions, organizational standards, rules of conduct, code of corporate ethics, image of organization, company reputation, company values, OJSC «RZhD».

DOI: 10.20291/2079-0392-2016-3-108-120

С возрастанием осознания значимости корпоративной культуры (сер. 80-х гг. XX в.) в научном обиходе появились соответствующие термины. Широкое использование понятия «корпоративная культура» связывают с публикациями У. Оучи, А. Петтигрю, Т. Дила и А. Кеннеди, У. Питерса и У. Уотермена, направленных на поиск повышения организационной эффективности. Связь корпоративной культуры и эффективности деятельности предприятия была подтверждена дальнейшими исследованиями в этой области. Так, К. Камерон и Р. Куинн, предложившие один из наиболее популярных инструментов исследования и оценки корпоративной культуры, доказали, что развитая организационная культура создает предприятию преимущества в условиях жесткой конкуренции. Все это говорит о важности разработки кодекса современной корпоративной культуры.

Люди действуют на основе культуры и подвергаются ее обратному воздействию, порождают ее новые формы и значения. Так, сегодня в практике управления и консультирования сложилась традиция разделять понятия «корпоративная культура» и «организационная культура».

Корпоративной культурой называют некий установленный свод (кодекс) правил и норм взаимодействия членов коллектива, который разрабатывается лидерами организации и при помощи

управленческих воздействий внедряется в повседневную практику. Основная ее цель – мобилизация сознания сотрудников на достижение определенных целей. Для руководства важно создание определенного типа трудовых отношений, которые укрепляют корпоративную идентичность членов организации, способствуют повышению мотивации труда, лояльности к предприятию и верности работодателю. По замыслу менеджеров, корпоративная культура должна объединять работников.

Корпоративная культура – это аспект социальной жизни предприятия, уникальная и специфическая система взаимодействия индивидов и групп компании, которая отражает заинтересованное отношение к выполнению миссии, достижению целей и задач организации. Такая культура определяется содержанием интересов предприятия – миссии, целей и задач деятельности и представляет собой механизм организации специфического взаимодействия и реализации интересов предприятия и работников в процессе труда. Корпоративная культура должна отражать особенности трудовых отношений в зависимости от специфики предприятия, личных интересов работников. На практике все происходит гораздо сложнее.

Ценности и цели, символы, идеология, предлагаемые высшим руководством, не обязательно принимаются

всеми работниками. Участники делового взаимодействия не всегда интерпретируют цели и задачи производства, его реальные проблемы, поведение коллег и т.п. так, как этого хотелось бы высшему менеджменту. Трудовая группа в процессе совместной деятельности изобретает и свои коллективные представления, очевидные для всех в данном коллективе ценности, способы восприятия реальности и т.п., которые сложились в результате попытки справиться с проблемами адаптации к внешней среде и интеграции в внутренней среды организации. Индивид, включающийся в коллектив, в первую очередь руководствуется именно этими базовыми коллективными представлениями. Такие представления мы называем организационной культурой.

Сформулированная лидерами корпоративная культура при усвоении и применении в трудовом поведении претерпевает специфическую адаптацию к конкретному коллективу: формируется организационная культура.

Организационная культура включает нормы, обычаи, ритуалы, систему убеждений и т.п., складывающиеся между людьми в совместной деятельности. Ее никто не декларирует и не формулирует, она существует как микроклимат. Организационная культура не противоречит корпоративной, а служит ее природным дополнением, которое формируется независимо от воли и желания менеджмента.

Формирование организационной культуры происходит как стихийно, так и сознательно. Стихийность связана прежде всего с внутренней средой организации, социальным опытом человека, привносимым в организационные отношения и влияющим на качество складывающихся организационных отношений. Сознательность обусловлена внешней необходимостью соответствовать требованиям экономической конъюнктуры. В организационных условиях как стихийность, так и сознательность при формировании

организационной культуры должны находиться в гармоничном единстве, гарантирующим целостность системы организационных отношений, что делает возможным разделить эти два понятия лишь условно. Организационная культура не соответствует целям и задачам деятельности организации без принятия требований рыночной конъюнктуры и менеджмента. Менеджмент при реализации стратегии развития организации должен учитывать специфику трудового поведения персонала для успешного выполнения своих функций [1].

Сформулированная лидерами корпоративная культура при усвоении ее сотрудниками изменяется в соответствии с особенностями конкретного коллектива, системы взаимодействия индивидов, сложившейся в нем. Управляющим необходимо корректировать организационную культуру как нечто стихийно формирующееся в процессе сосуществования людей. Иначе высока вероятность сознательного ограничения профессиональных возможностей, снижения эффективности производства.

Перед руководителями стоит задача постоянной модернизации организационной и корпоративной культур и приведения их в соответствие с потребностями людей и производства. На современном предприятии не могут существовать сколь-нибудь долго стихийно возникшие и неуправляемые формы взаимодействия.

По мере роста коллектива поддержание предписывающих правил взаимодействия становится все более трудным делом: множится число социальных групп, иерархий, а следовательно, специфических практик поведения. Организационная культура коллектива из единого целого может превратиться в ряд субкультур. В этой ситуации возрастает роль корпоративной культуры, сформулированной высшим менеджментом (чаще всего в союзе с профессионалами-социологами, приглашенными для делового

сотрудничества*), – культуры доминирующей. Корпоративную культуру можно конструировать на уровне ее структуры (элементов) и на уровне функций.

Уровень элементов – это структурированные и детально проработанные базисные рамки понимания, способ организации корпоративной культуры.

Функциональный уровень характеризует культуру с точки зрения социальных последствий ее существования. Он реализуется в практике управления и показывает, насколько разработанная корпоративная культура отвечает целям, задачам и условиям функционирования предприятия и потребностям персонала. На этом уровне корпоративная культура активно взаимодействует с культурой организационной – целями, ценностями, принципами поведения работников. Чаще всего организационная культура более оперативно реагирует на изменение потребностей персонала. Но последние не всегда учитывают условия технико-технологического совершенствования и конкурентной борьбы, поэтому нельзя идти у них на поводу. Необходима специальная управленческая работа по минимизации различий и сроков изменений обеих культур.

Конструирование корпоративной культуры понимается нами как процесс разработки и введения в поведенческие

практики работников элементов ее структуры, а также контроль их функционирования в реальной деятельности организации и реальном взаимодействии людей. Цель конструирования корпоративной культуры заключается в том, чтобы с помощью ее элементов создать такую трудовую среду и сформировать такое трудовое поведение работников, которое способствует достижению максимальной эффективности организации.

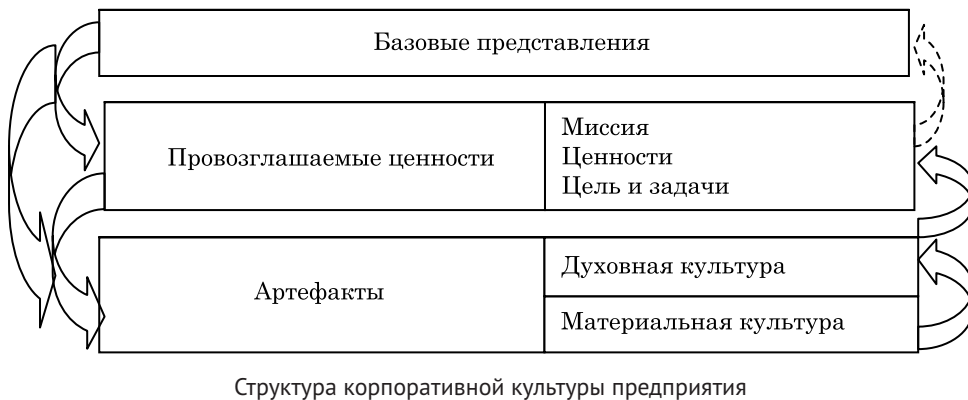
Конструирование элементного уровня корпоративной культуры

Корпоративная культура организации – отправная точка любого решения, принимаемого ее работником, именно поэтому так важна гармоничность и адекватность такой культуры внешним и внутренним условиям. Иначе реальное поведение неминуемо будет отрываться от заранее заданных образцов.

Удобная схема структурирования корпоративной культуры (рис.) предложена Э. Шейном, американским теоретиком и практиком менеджмента [2].

Корпоративная культура включает в себя три уровня: а) базовые представления, б) провозглашаемые ценности и в) артефакты.

Уровень базовых представлений – первый в структуре корпоративной



* Крупные организации стремятся создать особую группу профессионалов, занимающихся поддержанием единой культуры, регулированием и контролем поведения людей в соответствии с требованиями трудового процесса и цивилизованной конкуренции.

культуры; является продуктом общих социальных условий существования коллектива в данном социуме и отражает привычные способы удовлетворения различных потребностей работников в привычных условиях. В качестве культурной памяти он сохраняет стереотипы трудового взаимодействия. Уровень базовых представлений регулирует общую направленность поведения членов коллектива, соответствующую условиям и цели деятельности. Базовый уровень сам по себе сложен для управленческого воздействия, но становится устойчивой основой моделирования желательных способов взаимодействия на последующих уровнях. Это своеобразные десять заповедей жизни коллектива, которые определяют всю систему корпоративной культуры.

Следующий уровень – провозглашаемые культурой ценности. Ценностями компании называют обобщенные представления, которые задают ориентиры поведения и служат основой принятия любого организационного решения. Они указывают на экономическое, социальное и человеческое значение данной организации. Именно на этом уровне, по мнению Э. Шейна, вполне возможно управленческое воздействие. Имеющиеся представления о труде и совместной деятельности, сформированные в предшествующей трудовой деятельности и процессе адаптации к нынешней, реализуются в поведении каждого работника. Человек начинает взаимодействие с организационной средой конкретного предприятия.

Организационными ценностями могут выступать: позитивный имидж предприятия, допустимое и запретное в организации, власть и авторитет, здоровые условия труда, эффективная организация работы и дисциплина, благоприятные взаимоотношения и др. Каждая организация характеризуется специфической системой ценностей – наиболее высоким уровнем социальной регуляции деятельности коллектива. В системе ценностей фиксируются критерии оценки, система нормативного

контроля, целенаправленные действия организации (индивидуальные и коллективные). Принятие этих критериев на уровне личности работника составляет необходимую основу адаптационного процесса и поддержания нормативного порядка на предприятии (в организации).

Ценности организации формулируются через миссию организации. Последняя выражает смысл существования, генеральную стратегическую цель, социальное предназначение или общую идею, ориентирующую в одном направлении интересы и ожидания людей, связанных с организацией (работников, потребителей, партнеров и т.д.).

Требования к формулированию миссии организации

Способность отражать потребности и интересы личности и общества, мотивировать коллектив к поисковому поведению.

Реалистичность (практическая возможность осуществления миссии).

Удобство для восприятия (формулировка миссии должна быть предельно понятной не только образованному человеку, но и женщине, должность которой сегодня красиво называется «мастер по клинингу»).

Способность отражать вид на будущее, возможные перспективы в соответствии с существующими изменениями.

Лаконичность (хорошо, если миссия будет выражена броским лозунгом, который бы воспринимался коллективом как крылатое выражение).

Покажем несколько очень, на наш взгляд, удачно сформулированных миссий, заключенных в простой и яркий лозунг.

Миссия Уральского государственного университета путей сообщения (Екатеринбург): «С нами – к успеху!» Здесь и приглашение к сотрудничеству, и указание на то, что поступивший в университет становится «нашим», и указание на то, что университет не сомневается в удачной будущей карьере своего питомца.

Миссия Государственного университета управления (Москва) – «Принимаем с радостью. Выпускаем – с гордостью!» – как бы проследивает весь путь молодого человека в учебном заведении: от статуса абитуриента до выпускника-профессионала, которым гордится сегодня и будет гордиться завтра вуз.

Миссия авиакомпании «Уральские авиалинии» – «Ваши мечты – наши крылья!» – сформулирована лаконично и максимально точно и так же отражает цели и задачи, настоящее и перспективы компании.

Уверенность работников в том, что их работа имеет особое значение, важна для общества, организации и для них лично.

Содержать неявный намек потребителям на выгоду от использования продукции или услуг компании (организации) [3].

Совершенно справедливо мнение, что миссия организации не может быть выражена в терминах извлечения прибыли. Организация не может ограничиваться в своей деятельности только интересами собственников, она должна принимать во внимание интересы всего общества. Смысл деятельности организации ... должен быть гуманным и перспективным [3].

Принципиальная задача руководителя заключается в том, чтобы сделать миссию и ценности рабочим инструментом организации, то есть сформулировать их таким образом, чтобы они выступали критерием качества принятия организационных решений или оценки управленческих действий. Миссия и ценности организации были и есть постоянные элементы корпоративной культуры. Но и они могут быть скорректированы в случае серьезных внешних изменений. Например, ценностью создаваемых в 90-е гг. XX в. компаний было: «Мы все – в равной позиции», потому как они создавались людьми, состоявшими в близких, дружественных (а зачастую и родственных) отношениях.

В ходе развития бизнеса корпорация расширяется, появляются новые

подразделения и отделы, изменяются коммуникативные связи, уровни по вертикали, которые не могут находиться в равных позициях, что объективно ведет к появлению новых ценностей. В ходе работы проявляются индивидуальные качества друзей, которые ранее не были заметны. Это изменяет социальные позиции и в бизнесе: одни уходили, другие перемещались на более ответственные позиции, третьи становились его владельцами. Своевременная реакция менеджмента на эти и другие изменения требует трансформации ценностной системы и организационного поведения, что позволит сохранить и удержать достигнутый уровень организационной эффективности.

Один из ключевых элементов корпоративной культуры – разработка целей организации, определенное предвосхищение результата деятельности организации и пути его реализации. Цель выступает как способ интеграции различных подразделений, коллективов и отдельных людей в некую последовательность или систему. Осуществление цели служит преодолением трудностей (для предприятия – это проблемы и противоречия реального функционирования) и достижением желаемого.

Миссия, цели и ценности представляют собой философию компании, видение ее в настоящем и в будущем, задают критерии и ориентиры развития.

Наибольшая сложность разработки элементов корпоративной культуры состоит в том, что в нее включают формулирование заранее неизвестных и труднопредсказуемых элементов организационного бытия, а именно: точное понимание и предсказание будущего через понимание и предвидение тенденций развития отрасли, региона, организации и рынка.

Далее идет уровень артефактов, который по составу его элементов мы делим на материальную и духовную культуру (см. рис.).

При конструировании корпоративной культуры на уровне артефактов в первую очередь необходимо продумать

элементы духовной культуры, так как именно они создают смысловую и символическую основу материальной культуры. Все элементы этого уровня более очевидны, поддаются анализу и управленческому воздействию.

К элементам духовной культуры относятся прежде всего нормы, правила, традиции, обычаи, обряды и ритуалы, история, мифы и легенды, герои и анти-герои организации. Эти элементы фактически определяют поведение работников и могут восприниматься извне.

Историю предприятия (фотографии членов коллектива и наиболее достойных его представителей, макеты, образцы продукции и т.п.) необходимо сохранять с момента его создания.

Обратим внимание на важность создания системы собственных мифов. Это объясняет происхождение и дальнейшее преобразование, те или иные явления бытия предприятия и его коллектива, способствует передаче социального опыта из поколения в поколение. В роли своего рода мифа зачастую выступает реальность предшествующих лет существования организации или факты биографии ее создателей. Ситуация может быть выдуманной, но построенной как подлинное, реальное событие, и, что еще важнее, событие значительное и служащее примером для подражания. При этом прошлое романтизируется, вызывает уважение. Сотрудники искренне верят в компетентность и преданность руководства, легитимность их силы и власти. Здесь вступает в действие так называемая теорема Томаса*: «Если ситуация определяется как реальная, то она реальна по своим последствиям». Воспитание на примерах идеальных действий отцов-основателей как мифологизированных персонажей формирует в сознании людей систему моральных и этических ценностей, чувство сопричастности к организации и ее истории.

Это становится доминантой поведения сотрудников.

К элементам мифологии можно отнести традиции как поведенческие обычаи, которые необходимо сохранить. Здесь важно внимание не только к содержанию поведения, но и его внешним проявлениям, к стилю, в результате чего внешняя форма поведения становится особенно устойчивой, т.е. организационная культура становится элементом личной культуры.

В систему мифологем входят разного рода клятвы, кодексы профессиональной этики, гимны, обряды и ритуалы (например, на некоторых предприятиях существует обряд посвящения – в рабочие, в студенты и т.п.). Это помогает сохранить преемственность в жизни организации, закрепляет в себе ее наиболее устойчивые моменты. Причем традиции, по мере существования организации, сохраняя форму, могут наполняться новым содержанием. В этом смысле организационная культура выполняет защитные функции.

Способом внедрения мифологем в сознание членов коллектива могут служить публикации в многотиражной газете о людях, наиболее прославивших предприятие, формирование Досок почета, Книг памяти, проведение тематических вечеров, посвященных, например, юбилею предприятия, исполнение гимна предприятия на проходной, коллективное пение его во время торжественных событий и т.п.

К элементам материальной культуры относятся такие артефакты, как здания, сооружения, техника, элементы корпоративного стиля, закрепленные на материальных носителях (флаги, эмблемы, одежда, пошитая в соответствии с корпоративным стилем, символика организации и даже архитектурные особенности зданий, цветовое решение декора рабочих помещений и др.).

* Томас Уильям Айзенк (1863–1947) – американский социолог, один из авторов книги «Польский крестьянин в Европе и Америке», где он с Ф. Знанецким констатировал, что если определение ситуации индивидом не совпадает с групповыми ценностями, то возникает социальная дезинтеграция, порождающая многие болезни современного общества.

Особое внимание на этом уровне заслуживает такой элемент корпоративной культуры, как имидж организации. Создание имиджа можно назвать одним из ярких примеров мифотворчества организации. Имидж выполняет функцию позиционирования организации во внешней среде, формирования определенной корпоративной идентичности на символическом уровне. Здесь уместно говорить, что имидж синтезирует материальную и духовную культуру.

Особое значение компании уделяют корпоративным цветам, подбирая их с учетом особенностей восприятия производимого товара (услуги)*.

Регламент базового стиля ОАО «РЖД»: «Мы хотим быть узнаваемыми. В этой связи мы используем уникальный и характерный логотип ОАО «РЖД» во взаимодействии с запоминающимися цветами, собственными шрифтовыми гарнитурами и гибко изменяющимся стилеобразующим элементом. Это отличительные базовые элементы визуальной идентичности бренда «РЖД». Цвета ОАО «РЖД» являются одними из главных составляющих имиджа бренда «РЖД». Основными цветами являются белый, символизирующий ценность мастерства, проведенного годами, и красный» [5].

Уровень артефактов – это внешнее проявление уровня провозглашаемых ценностей. При создании корпоративной

культуры следует уделять внимание не только содержанию элементов этого уровня, но также их взаимосвязи с миссией, целями и ценностями организации.

Конструирование функционального уровня корпоративной культуры

Итак, элементный уровень корпоративной культуры представляет собой содержательно взаимоувязанную и нацеленную на формирование определенного типа трудового поведения систему элементов. Культура в целом и все ее составляющие несут определенную функциональную нагрузку. Корпоративную культуру необходимо рассматривать как динамическую систему, то есть ориентироваться на ее функции. Функциональный анализ сложившейся организационной культуры позволяет проследить взаимосвязь частей и целого предприятия (организации), состояние порядка и изменений, роль культуры в оптимизации всей организационной системы.

Функции корпоративной культуры реализуются на индивидуальном, групповом и организационном уровнях в отношении внутренней и внешней среды организации [6].

Управленческая. Организационная культура становится субъектом управления, когда обеспечивает самосохранение предприятия как социальной системы, его функционирование и развитие.

* Влияние цвета на психику человека уже давно научно доказано. Швейцарский психолог Макс Люшер уже в 1948 г. представил публике свой цветовой тест, который помогает определить тип личности. Его исследования показали, что цвета могут провоцировать у людей определенные эмоции. Соответственно, компания выбирает корпоративные цвета в зависимости от того, какие эмоции желает вызывать у своих клиентов.

Цвета помогают условно определить принадлежность товаров к тому или иному производителю. «Так, скажем, компании из В2В (В2В – «бизнес для бизнеса» – компании, работающие не на конечного рядового потребителя, а на такие же компании, т.е. на другой бизнес) и финансового секторов в большинстве своем используют спокойные и консервативные цвета. Стоит хотя бы взглянуть на банки, раскрашенные в сине-белые (МДМ-банк, Ситибанк, Внешторгбанк, Уралсиб), бежевые (АКБ «Славянский банк») и зеленые (Сбербанк) цвета. Фармация традиционно раскрашивается на основе белых и зеленых оттенков, что совпадает с восприятием зеленого цвета как символа здоровья и чистоты. А вот компании, работающие на В2С-рынках, стремятся быть максимально заметными и привлекательными для потребителя, используют яркие, энергичные цвета. Особо в этом деле выделяются спортивные и молодежные брэнды: ярко-зеленый Benetton, красно-белый FuturePublishing, красно-желтый McDonald's и т.д.» [4].

Кроме того, цвета можно категоризировать не только по нацеленности торговой марки на ту или иную целевую аудиторию, но и по ее ценовому уровню. Так, например, «премиальность» продукта принято подчеркивать посредством белого, черного, золотого, насыщенного синего и коричневого цветов (бело-коричневый цвет коробок конфет «Коркунов», коричнево-золотой LouisVuitton и черно-белый Chanel и т.д.).

Она способствует развитию адаптивных возможностей системы и уровня ее организации и самоорганизации.

Специфика ее управленческого воздействия заключается в том, что она воздействует на ценностно-ориентационную систему членов коллектива, объединяет людей на достижение организационных целей [6]. В процессе функционирования в коллективе возникает целая система понятий, обязательных для исполнения, — власть культуры как особый порядок отношений, способствующих выполнению целей предприятия. Это происходит при помощи специфических средств воздействия на людей: символические и инструментальные методы воздействия, среди которых важнейшую роль играют ценности, нормы, традиции и т.п. Поэтому управленческое воздействие культуры происходит относительно автономно, без какого-либо принуждения, через правила и образцы поведения, усвоенные членами трудового коллектива.

Организационная культура предполагает также неформальные санкции за нарушение норм, традиций и обычаев, в которых живет коллектив. Эти неформальные санкции обычно неотвратимы и сопровождаются коллективным ostracism, которого даже самый храбрый человек боится гораздо больше, чем наказания руководителя любого ранга.

Управленческую функцию организационной культуры обеспечивают и те нормы и традиции, которые направлены на защиту интересов работника, оказание социальной помощи.

Как субъект управления она может становиться и объектом управления со стороны менеджмента и лидеров организации [7].

Управленческая функция отражает специфику деятельности предприятия, особенности поведения и отношения с другими предприятиями, отражает не просто характер деятельности, отрасль производства, но обеспечивает целостность ценностно-ориентационной системы, единство восприятия и эффективное взаимодействие работников.

Если управленческая функция не реализована, то в деятельности организации неизбежно наступает разлад. Работники не ощущают, что предприятие в них нуждается, не видят смысла своей деятельности, организация не приспосабливается к изменениям во внешней и внутренней средах, что ослабляет организационную культуру и ведет к технико-технологическому застою, а в дальнейшем — к умиранию предприятия.

Реализованная в полной мере управленческая функция ориентирует поведение работников на достижение целей организации, способствует единообразию и согласованности действий в изменяющихся условиях, увеличивает скорость адаптации к ним, а значит, повышает ее жизнеспособность, создает сильную организационную культуру, помогает интеграции работников.

Преобразовательная. Суть данной функции состоит в том, что разработка каких-либо предложений, рекомендаций по обеспечению эффективности работы предприятия не может игнорировать особенности сложившейся организационной культуры.

Сильные организационные культуры провоцируют инновационное поведение, требуют от каждого члена трудового взаимодействия участия в инновационном процессе. Готовность к модификации предоставляет более широкие возможности организации к адаптации в изменяющихся условиях, делает ее более устойчивой. Слабые организационные культуры формируют осторожное отношение к инновациям, тем самым замедляют процесс адаптации, развитие организации.

При реализованной в полной мере преобразовательной функции система организации раскрывает все возможности техники и технологии, способствует удовлетворению потребностей персонала в самореализации, актуализации профессиональных знаний, повышению профессионализма, раскрытию творческого потенциала работника. Организация приобретает гибкость, устойчивость,

сохраняет способность к функционированию. Нереализованная преобразовательная функция организационной культуры тормозит любые процессы, касающиеся изменений, делает организацию хрупкой, статичной системой.

Информационная. Самая оперативная информация – это общественное мнение, слухи, мифы и т.п., которые создают (провоцируют) определенное настроение коллектива. Рождение и функционирование такой информации регулируется особенностями организационной культуры, сложившейся в коллективе. Чем сильнее организационная культура, тем более адекватна (позитивна) информация, которую несут слухи.

Реализация всех возможностей данной функции обеспечивает критическое отношение персонала организации к любой информации, способствует эффективной коммуникации работников, выполнению всех производственных задач, достижению целей предприятия, формирует инновационное сознание работников.

Мировоззренческая. Организационная культура формирует и корректирует мировоззрение индивидов и групп – фундаментальные принципы поведения человека.

Данная функция отражает потребности организации, критерии отношения работников к своей работе. При низком уровне ответственности, добросовестности и дисциплинированности производственный процесс дезорганизован, теряется потребность в инновационном мышлении, а значит, и снижаются адаптационные способности [6]. Готовность к переменам, критичность к получаемым сведениям повышает степень влияния работников на содержание информации, делает коммуникации более эффективными. Любые принципы приобретают первостепенный характер, усиливается сплоченность работников, влияние культуры.

Прогностическая. Качество организационной культуры (сильная или слабая) позволяет прогнозировать

эффективность работы предприятия, ибо выявляет тенденции и закономерности его функционирования. Более того, без учета особенностей организационной культуры невозможен никакой прогноз, потому что любое нововведение, попав на антиинновационное сознание членов коллектива, не принесет желаемого результата. Учет организационной культуры, тенденций и качественных параметров ее развития обеспечивает достоверность прогноза.

Без должной реализации прогностической функции организация как субъект взаимодействия перестает ориентироваться на перспективу, менеджмент утрачивает влияние на работников, преобразование внешней и внутренней сред приостанавливается, адаптивные возможности организации как системы падают.

Прогнозирование важно и при выполнении информационной функции, так как здесь проявляется способность оценивать содержание информационных потоков с учетом последствий изменений внешней и внутренней среды в организации. Прогностическая функция влияет на мировоззрение субъектов культурного взаимодействия организации, так как именно осознание недобросовестного, безответственного поведения может сформировать работника с развитым чувством долга, дисциплинированного, приверженного целям и ценностям организации.

При полноценной реализации прогностической функции организационная культура предоставляет опыт предшествующей ситуации, моделирует будущее с учетом всей специфики внутренней и внешней сред, влияет на актуальное состояние системы организации на всех уровнях культурного взаимодействия, минимизирует негативное воздействие среды, увеличивает скорость реакции на изменения. Преобразование внешней и внутренней сред исходит не просто из актуальных потребностей, но с учетом возможных последствий, повышает ответственность за каждое принятое решение. Тем

самым оно способствует возникновению не только более эффективного менеджмента, но и лояльного к корпоративной культуре работника, формирует мировоззрение, которое не просто отвечает потребностям организации, а обеспечивает осознанное развитие, связанное с личными потребностями и ориентированное на инновационное поведение.

Гуманистическая. Организационная культура является естественной средой разработки программ по преобразованию тех или иных сторон жизни предприятия. Она указывает на необходимость позитивного изменения социальных условий для эффективной реализации человека как субъекта и объекта управления (предполагает воспроизводство и развитие социальных отношений, повышение культуры и эффективности труда, возвышению человека как творческой личности).

Гуманистическая функция открывает для предприятия возможности по реализации собственных потребностей и интересов, а посредством своей деятельности – интересов и потребностей общества, индивидов и групп.

Нереализованная гуманистическая функция делает работу любой организации механическим производством товара или услуги и рано или поздно подобная однобокость приведет к деградации, умиранию предприятия, так как трудовая деятельность – важнейшее приложение человеческих способностей и возможностей.

Функция гармонизации взаимодействия работает тогда, когда на основе ценностно-нормативной системы образуется некое целостное единство. Функция гармонизации представляет собой важнейший аспект культурного взаимодействия, так как обеспечивает способность к самоорганизации системы, поддерживает равновесие, работает на «сохранение структуры системы в условиях изменяющихся характеристик среды» [7].

Функция социализации личности. Организационная культура способствует включению индивида в жизнь

коллектива предприятия через усвоение им социального опыта, знаний, ценностей, норм поведения.

Функция организации поведения, или мобилизационная (побуждение людей к определенным действиям, деятельной, но предсказуемой реакции на полученную информацию).

Социальные функции организационной культуры, с одной стороны, традиционны, с другой, специфичны и многообразны. Они позволяют показать и оценить место организационной культуры в существовании и развитии организации. Организационная культура обеспечивает взаимодействие предприятия с внешней средой и адаптацию к ней, а также внутреннюю интеграцию индивидов в коллективе [3].

Дисфункциональность корпоративной культуры, как, впрочем, и любой другой управленческой системы, проявляется в организационных показателях эффективности и производительности, показателях работы с персоналом. Большая текучесть одной или нескольких категорий работников, снижение результативности деятельности организации, ухудшение репутации, снижение удовлетворенности персонала – основные показатели, по которым можно определить, что организационные отношения неэффективны, а значит, и корпоративная культура как основной элемент, связующий эти отношения, не в полной мере выполняет свою функциональную нагрузку.

Ошибки в конструировании и развитии корпоративной культуры

Первая – несоответствие заявленных элементов корпоративной культуры возможностям ее реализации в конкретном коллективе. Нередки случаи, когда, казалось бы, продуманные планы и намерения не могут реализоваться. «У нас все хорошо, и решения мы принимаем хорошие, но народец подкачал» – принцип объяснения своих неудач слабыми руководителями. Корпоративная культура – лишь конструкт возможных реальных отношений в организации,

и насколько чётко менеджмент будет понимать все детали трудовых условий деятельности работников, тем более действенной она будет. Не следует забывать, что корпоративная культура все-таки должна содержать в себе основы более совершенного, идеального мира организационных отношений, которые могут быть (и даже должны быть) достигнуты при имеющемся реальном положении дел.

Вторая частая ошибка – неспособность менеджеров организовать поведение коллектива в соответствии с заявленными принципами. Нередко сами руководители пренебрегают выполнением декларируемых норм – подобная неисполнительность спускается на низкие уровни организационной иерархии. Классики менеджмента подчеркивают роль руководителя в создании и изменении организационной культуры. Корпоративная культура, соответствующая всем требованиям и условиям функционирования предприятия, останется сухой догмой, если реальное поведение работников организации, прежде всего руководителей, не будет соответствовать ее требованиям.

Очень распространено и неверное понимание членами коллектива основных положений корпоративной культуры.

Опрос работников транспортного предприятия, проведенный авторами дважды – в 2006 г. (год внедрения кодекса корпоративной культуры) и повторно в 2015 г. – показал: более 80 % рабочих видят миссию предприятия как «обеспечение безопасности перевозочного процесса». Но в кодексе корпоративной культуры этого предприятия сказано, что его миссией является «качественное удовлетворение потребности в перевозке грузов и пассажиров, сохранение окружающей среды через ответственное выполнение всех этапов перевозочного процесса».

Налицо проблема недостаточной информированности: миссия не усвоена работниками.

Цели и ценности со временем устаревают, актуальность миссии предприятия

теряется, поэтому время от времени нужно анализировать их актуальность. Это диктуется в первую очередь внешними по отношению к предприятию условиями.

Значим и уровень профессионализма менеджеров организации: они не просто должны понимать важность и действенность корпоративной культуры, но и учитывать специфику деятельности организации [8]. Это позволяет организации получить не просто квалифицированных управленцев, но работников, ориентирующихся именно на особенности функционирования предприятия.

Можно сказать, что корпоративная культура – современный и действенный инструмент менеджера любого уровня, но необходимо помнить, что применение его требует учета множества возмущающих факторов (как и вся работа с персоналом). Правила работы с персоналом имеют очень короткие статистические ряды: что помогло в одном случае – не пригодно в другом. Но качественно сформированная корпоративная культура – окупаемая инвестиция в человеческие ресурсы, которая способна стать существенным конкурентным преимуществом в условиях рынков с любым уровнем конкуренции.

Детальное изучение процесса конструирования организационной культуры показывает, насколько она влияет на организационное поведение, а значит, и на эффективность работы организации. Технологически это достаточно сложный процесс, требующий учета множества факторов и обстоятельств деятельности организации, касающейся внешней среды организации и определяемой рыночной конъюнктурой, а также внутренней среды, главным образом, особенностей сложившихся практик поведения работников. Сложность конструирования состоит еще и в том, что необходимо учитывать не только актуальную ситуацию, но и предвидеть тенденции развития рынка и отрасли.

Сформированная в соответствии со всеми указанными требованиями

и правилами корпоративная культура способствует формированию у работников определенного типа трудового поведения; действуют все функции организационной культуры как культуры не спроектированной, а реальной. Именно от полноценной реализации всех

функций организационной культуры, в конечном счете, зависит эффективность деятельности организации: успешная реализация конкурентных преимуществ, экономное расходование ресурсов организации и ориентация на стабильное развитие и успех. ■

Литература

1. Окунева Т.В. Особенности культуры труда современных рабочих // Дискуссия. 2014. № 6. С. 62–69. ISSN 2077-7639.
2. Шейн Э. Х. Организационная культура и лидерство / Пер. с англ. под ред. В.А. Спивака. – СПб : Питер, 2002. 336 с.
3. Организационная культура / под ред. Н.И. Шаталовой – М. : Изд-во «Экзамен», 2006. ISBN 5-472-01728-9.
4. Кодекс деловой этики ОАО «РЖД». URL: http://doc.rzd.ru/doc/public/ru?STRUCTURE_ID=704&layer_id=5104&refererLayerId=5101&id=6582#4703972 (дата обращения: 8.05.2016).
5. Казаков А. Как компании столбят за собой цвета? URL: <http://ko.ru/arhiv/item/117638-boevaya-raskraska> (дата обращения: 14.01.2016).
6. Шаталова Н.И., Окунева Т.В. Ценностно-ориентационное единство коллектива // Социология. 2010. № 4. С. 93–100 ISSN 1812-9226.
7. Парсонс Т. О социальных системах / под ред. В.Ф. Чесноковой и С.А. Белановского. – М. : Академический проект, 2002. 832 с. ISBN 5-8291-0242-0.
8. Нелишние люди // Гудок. 2016.

References

1. Okuneva T.V. Osobennosti kul'tury truda sovremennyh rabochih [Modern work culture workers features] // Discussion. 2014. № 6. P. 62–69. ISSN 2077-7639.
2. Shane E.H. Organizacionnaya kul'tura i liderstvo [Organizational Culture and Leadership] / translated from English. Ed. V.A. Spivaka. – SPb : Piter, 2002. 336 p.
3. Organizational culture [Organizacionnaya kul'tura] / ed. N.I. Shatalova. – M. : «Egzamen» Publishing House, 2006. ISBN 5-472-01728-9.
4. Code of Business Conduct and Ethics of OJSC «Russian Railways» [Kodeks delovoj ehtiki ОАО «RZHD»]. URL: http://doc.rzd.ru/doc/public/ru?STRUCTURE_ID=704&layer_id=5104&refererLayerId=5101&id=6582#4703972 (accessed date: 05.08.2016).
5. Kazakov A. Kak kompanii stolbyat za soboj cveta? [How the companies choose the colors?]. URL: <http://ko.ru/arhiv/item/117638-boevaya-raskraska> (accessed date: 14.01.2016).
6. Shatalova N.I., Okuneva T.V. Cennostno-orientacionnoe edinstvo kollektiva [Value-orientation unity of a team] // Sociology. 2010. №4. P. 93–100 ISSN 1812-9226.
7. Parsons T. O social'nyh sistemah [About social systems] / ed. V.F. Chesnokova, S.A. Belanovsky. – M. : Akademicheskij proekt, 2002. 832 p. ISBN 5-8291-0242-0.
8. Not useless people [Nelishnie lyudi] // Gudok. 2016.

Статья сдана в редакцию 6 июня 2016 года

И.В. Воскресенский

Анализ стоимостных параметров организации автомобильных перевозок по кольцевым маршрутам

UDC 330322

I.V. Voskresenskiy

Analysis of cost parameters of automobile transportation arrangement on circular routes

Аннотация

Развивающиеся новые экономические районы (например, районы северо-востока России) формируются как агломерации, предусматривающие хозяйственную взаимосвязь отдельных предприятий, а значит, взаимные корреспонденции грузовых перевозок. Применение методов логистики в части создания цепей поставок обуславливает перевозки, как по маятниковым, так и по кольцевым сборным и развозочным маршрутам.

Освоение кольцевых маршрутов (сборных и развозочных) при планировании перевозок представляет собой двудединую задачу: с одной стороны, достигается минимизация порожних пробегов, с другой, снижается коэффициент использования грузоподъемности автомобиля. Поэтому планирование кольцевых маршрутов является оптимизационной задачей и требует выбора рациональных единиц измерения себестоимости при предоставлении транспортных услуг.

В настоящей работе расчет себестоимости транспортных выполнен по показателям себестоимости: перевозки одной тонны груза (руб./т); единицы транспортной работы (руб./т·км); часа работы автомобилей (руб./ч); пробега автомобилей с грузом (руб./км).

Анализ показывает, что единой сбалансированной единицы для сравнения вариантов организации перевозок по кольцевым маршрутам нет, так как тенденции изменения себестоимости перевозок по различным единицам измерения транспортных услуг конфликтны друг другу и имеют существенный разброс по значениям.

Приведенный анализ зависимости себестоимости перевозок позволяет определить доминирующую единицу оценки транспортной услуги, которая обеспечивает максимальную экономическую эффективность работы автотранспортных предприятий, работающих в условиях децентрализованных перевозок или в интегрированных цепях поставок на полигонах агломераций.

Ключевые слова: кольцевой развозочный/сборный маршрут, себестоимость транспортной услуги, эффективность работы автотранспортных предприятий.

DOI:10.20291/2079-0392-2016-3-121-127

Abstract

New developing economic regions (e.g. regions in the northeast of Russia) are being formed as agglomerations providing for economic interrelation of separate enterprises and therefore mutual freight flow correspondence. Application of logistics methods in part of supply chain development determines transportation on both shuttle and circular cargo consolidation and delivery routes.

Development of circular routes (cargo consolidation and delivery routes) during transportation planning constitutes a twin challenge: on the one side minimum empty runs are achieved, on the other side the load factor is reduced. That is why circular route planning is an optimization problem and requires selection of reasonable units of production cost measurement when rendering transportation services.

The present article contains the calculation of production costs for transportation services performed on the basis of the following production cost indicators: transportation cost of one ton of cargo (rub./t); cost of transportation work unit (rub./t·km); cost of one hour of automobile work (rub./h); cost of mileage with load (rub./km).

The analysis shows that there is no one unified well-balanced unit of measurement to compare different arrangement options of circular route transportation as trends of production cost changes in different units of measurement of transportation services are in conflict with each other and have a considerable scatter in values.

The analysis of transportation cost dependences given in the article allows determining the primary unit of transportation service assessment which ensures the maximum economic efficiency of performance of motor transport enterprises working under conditions of decentralized transport operations or in integrated supply chains at agglomerations' operation grounds.

Key words: circular cargo consolidation/delivery route, production cost of transportation service, performance efficiency of motor transport enterprises.

DOI:10.20291/2079-0392-2016-3-121-127

Игорь Владимирович Воскресенский, канд. техн. наук, доцент; кафедра «Мировая экономика и логистика» Уральского государственного университета путей сообщения; Екатеринбург, Россия. E-mail: wwti@mail.ru.

Igor Vladimirovich Voskresenskiy, Cand.Sc. (Engineering), Assistant Professor; Department of World Economy and Logistics, Ural State University of Railway Transport; Ekaterinburg, Russia. E-mail: wwti@mail.ru.

Возможными целями бизнес-плана автотранспортного предприятия (АТП) могут быть: увеличение прибыли предприятия; увеличение уставного капитала предприятия; освоение определенной доли рынка; освоение других видов деятельности (диверсификация производства); освоение новых направлений и маршрутов перевозок, а также новых видов транспортно-экспедиционных услуг [1]. Развивающиеся новые экономические районы (например, районы Северо-Востока России) формируются как агломерации, предусматривающие хозяйственную взаимосвязь отдельных предприятий, следовательно, взаимные корреспонденции грузовых перевозок. Применение методов логистики в части создания цепей поставок обуславливают перевозки как по маятниковым, так и по кольцевым сборным и развозочным маршрутам. Актуальность задачи планирования кольцевых маршрутов связана с непредсказуемостью экономической эффективности предоставления транспортных услуг. Освоение кольцевых маршрутов (сборных и развозочных) при планировании перевозок представляет собой двуединую задачу: с одной стороны, достигается минимизация порожних пробегов, с другой – снижается коэффициент использования грузоподъемности автомобиля, следовательно, и производительность автомобиля. Отсюда следует, что планирование кольцевых маршрутов является оптимизационной задачей и требует изучения формирования экономических параметров и выбора рациональных единиц измерения себестоимости при предоставлении транспортных услуг [2].

Себестоимость транспортных услуг может быть представлена величинами: себестоимость перевозки одной тонны (руб./т); себестоимость транспортной работы (руб./т·км); себестоимость одного часа работы автомобиля (руб./ч); себестоимость одного километра пробега автомобиля (руб./км). Выбор целесообразной единицы измерения транспортных услуг позволит обеспечить финансовую успешность автотранспортного предприятия.

Цель нашего исследования – выявление закономерностей формирования стоимостных показателей работы автомобилей на кольцевых развозочных (сборочных) маршрутах. Для анализа выбран полигон (шесть объектов; один из них – А – поставщик-отправитель, остальные – Б, В, Г, Д и Е – получатели груза).

Расстояние, $l_{икм}$	5–60
Длина всего маршрута, l_i , км	30–360
Автомобиль КамАЗ, грузоподъемность g_i , т	5–25
Объем перевозок, константа, т/сут	500

Груз каждому получателю распределяется равномерно, т.е. каждый потребитель получает 100 т/сут; партионность поставки в каждый пункт назначения одинаковая и определяется грузоподъемностью автомобиля, т.е. при грузоподъемности автомобиля, равной 5 т, за один оборот в каждом пункте назначения выгружается одна тонна; при другой грузоподъемности, соответственно, пятая часть от грузоподъемности автомобиля; в пункте отправления коэффициент использования грузоподъемности для всех автомобилей принят равным единице.

Анализ стоимостных показателей работы автомобилей проводился следующим образом: автомобиль грузоподъемности $g_i = 5$ т (затем автомобили грузоподъемностью 10, 15, 20 и 25 т) выполнял перевозки по кольцевому маршруту с расстоянием между пунктами назначения (выгрузки) $l_{икм} = 5, 10, 20, 40$ и 60 км.

Рассчитывались следующие параметры организации перевозок для автомобилей каждой грузоподъемности:

- суточное количество автомобилей для выполнения заданного объема перевозок, ед./сут;
- суммарный километраж, км/год;
- суммарное время занятости автомобилей, ч/год;
- суммарная транспортная работа, т·км/год;
- суммарные эксплуатационные расходы, связанные с выполнением заданного объема перевозок, руб./год.

Формулы для расчета параметров перевозочного процесса представлены в таблице 1 [2].

Показатели перевозочного процесса определялись при варьировании длины маршрута (от 30 до 360 км) и грузоподъемности автомобилей (от 5 до 25 т).

По показателям перевозочного процесса определена стоимость перевозок по всем вариантам кольцевых маршрутов и для всего ряда варьирования грузоподъемности автомобилей [3]. Формулы для расчета стоимости перевозок по всем вариантам кольцевых маршрутов перевозок представлены в таблице 2.

Таблица 1

Расчет параметров перевозочного процесса

Расчетная величина, ед.	Формула
Годовой объем перевозок, $Q_{\text{год}}$, т/год	$Q_{\text{год}} = 250 \cdot Q_{\text{см}}$
Время одного оборота, $t_{\text{об}}$, ч	$t_{\text{об}} = \frac{l_i}{v_t} + t_{\text{п}} + 5 \cdot t_{\text{заезд}}$
Число оборотов в смену, $Z_{\text{об}}$, ед.	$z_{\text{об}} = \frac{T_{\text{см}}}{t_{\text{об}}}$
Количество автомобилей, A_i , ед./сут	$A_i = \frac{Q_{\text{см}}}{\gamma_{\text{ст}} \cdot g_i \cdot z_{\text{об}}}$
Общее количество оборотов в сутки всех автомобилей, Z_i , ед./сут	$Z_i = A \cdot z_{\text{об}}$
Суммарный пробег автомобилей, $L_{\text{игод}}$, км/год	$L_{\text{игод}} = 250 \cdot l_i \cdot z_{\text{об}}$
Суммарное время занятости автомобилей, ч/год,	$T_{\text{игод}} = 250 \cdot A_i \cdot Z_i \cdot t_{\text{об}}$
Суммарная транспортная работа, $W_{\text{игод}}$, т·км/год	$W_{\text{игод}} = 250 \cdot Q_{\text{см}} \cdot l_i \cdot z_{\text{об}}$

$Q_{\text{см}}$ – сменный объём перевозок (500 т/см); 250 – число рабочих дней в году; $T_{\text{м}}$ – время работы автомобилей на маршруте, ч;

l_i – длина i -го кольцевого маршрута, км; v_t – техническая скорость автомобиля, км/ч; $t_{\text{п}}$ – время погрузки, (расчетах принято 1 ч); $t_{\text{заезд}}$ – время на один заезд (равное для всех маршрутов, в расчетах – 0,4 ч);

$L_{\text{игод}}$ – суммарный годовой пробег автомобилей, км; $T_{\text{см}}$ – количество часов за смену, $T_{\text{см}} = 12$ ч; g_i – фактическая грузоподъемность автомобиля.

Таблица 2

Расчет стоимости перевозок грузов по вариантам кольцевых маршрутов, руб./год

Расчетная величина, ед.	Формула
Затраты на покупку автомобилей, $C_{\text{авт}}$, ед.	$C_{\text{авт}} = A_i \cdot \Pi_{\text{авт}} \cdot E$
Затраты на топливо, $C_{\text{топ}}$	$C_{\text{топ}} = \frac{L_{\text{игод}} \cdot \Pi_{\text{топ}} \cdot H_{\text{икм}}}{100}$
Затраты на смазки и шины, $C_{\text{ш,см}}$	$C_{\text{ш,см}} = 0,25 \cdot C_{\text{топ}} + 0,05 \cdot C_{\text{топ}}$
Заработная плата водителей, $C_{\text{изп}}$	$C_{\text{изп}} = A_i \cdot T_{\text{м}} \cdot C_{\text{т}}$
Накладные расходы, $C_{\text{исеб}}$	$C_{\text{себ}} = 0,35 \cdot (C_{\text{авт}} + C_{\text{топ}} + C_{\text{ш,см}} + C_{\text{изп}})$
Суммарные эксплуатационные расходы, $C_{\text{изк}}$	$C_{\text{изк}} = C_{\text{топ}} + C_{\text{ш,см}} + C_{\text{изп}} + C_{\text{исеб}}$

$\Pi_{\text{авт}}$ – цена автомобиля, руб.;

E – коэффициент экономической эффективности;

$\Pi_{\text{топ}}$ – стоимость топлива (в расчетах – 30 руб./л);

$H_{\text{икм}}$ – норма расхода топлива, 1 л/100 км; $C_{\text{т}}$ – часовая ставка водителей, руб./ч.

Расчет себестоимости перевозок выполнен по каждому типу автомобилей и всех вариантов маршрутов по дальности для следующих единиц транспортных услуг: себестоимость перевозки одной тонны груза (руб./т); себестоимость единицы транспортной работы (руб./т·км); себестоимость часа работы автомобилей (руб./ч); себестоимость пробега автомобилей с грузом (руб./км). Реальные показатели себестоимости зависят от большого количества факторов организации перевозок и типов автомобилей, трудноучитываемых в формализованных зависимостях, при этом тенденции изменения показателей себестоимости сохраняются, поэтому себестоимость приведена в условных единицах (у.е.), характеризующих относительное изменение соответствующих показателей от протяженности маршрута и грузоподъемности автомобиля.

Формулы для расчета приведены в таблице 3.

Анализ себестоимости по приведенным показателям позволил построить кривые зависимости этих показателей от расстояний перевозок и грузоподъемности автомобилей.

На рис. 1 представлен трехмерный график зависимости относительной себестоимости перевозок в у.е./т (S_{it}) от протяженности маршрута

и грузоподъемности автомобиля. На данном (и последующих) рисунках шкала x (протяженность маршрута, км) нелинейная, в виде геометрической прогрессии, шкалы y (относительная себестоимость) и j (грузоподъемность автомобиля) – линейные.

Анализ графика показывает, что себестоимость перевозок (S_{it}) на кольцевых маршрутах при их малой протяженности меняется незначительно для всего диапазона грузоподъемности автомобилей, а когда протяженность маршрута увеличивается, то себестоимость перевозок для автомобилей большой грузоподъемности значительно повышается.

На рис. 2 представлен трехмерный график зависимости относительной себестоимости транспортной работы ($S_{it·км}$) от протяженности маршрута и грузоподъемности автомобиля.

Анализ графика показывает, что себестоимость транспортной работы $S_{it·км}$ на кольцевых маршрутах при малой грузоподъемности автомобиля практически не меняется при увеличении протяженности маршрута, а при увеличении грузоподъемности автомобилей и малой протяженности маршрута себестоимость транспортной работы $S_{it·км}$ резко возрастает, достигает своего максимума и почти в шесть раз превышает это значение для автомобилей малой грузоподъемности.

Таблица 3

Расчет себестоимости перевозок по вариантам кольцевых маршрутов

Расчетная величина, ед.	Формула
Себестоимость перевозки одной тонны груза, S_{it} , руб./т (у.е./т)	$S_{it} = \frac{C_{iэк}}{Q_{iгод}}$
Себестоимость единицы транспортной работы, $S_{it·км}$, руб./т·км (у.е./т·км)	$S_{it·км} = \frac{C_{iэк}}{W_{iгод}}$
Себестоимость часа работы, $S_{ич}$, руб./ч (у.е./ч)	$S_{ич} = \frac{C_{iэк}}{T_{iгод}}$
Себестоимость пробега автомобиля, $S_{икм}$, руб./км (у.е./км)	$S_{икм} = \frac{C_{iэк}}{L_{iгод}}$

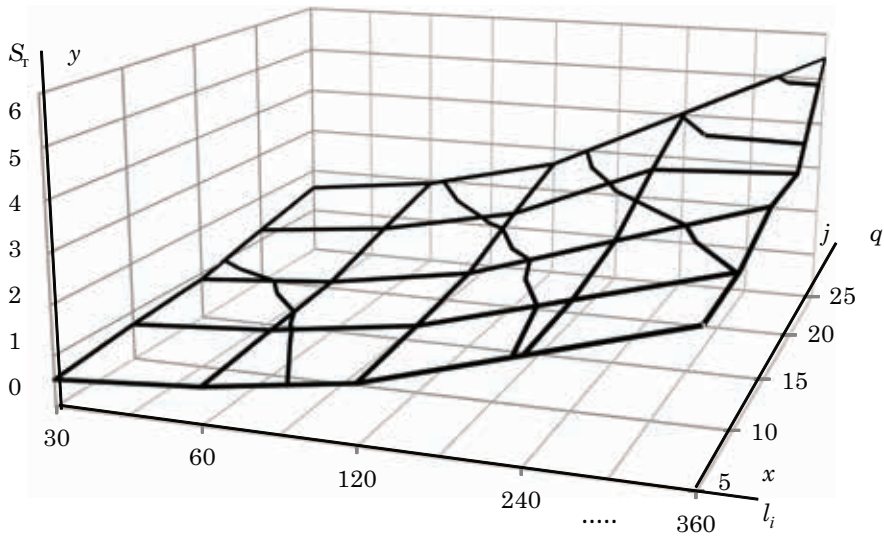


Рис. 1. Зависимость себестоимости перевозок (S_n) от грузоподъемности автомобиля и протяженности маршрута

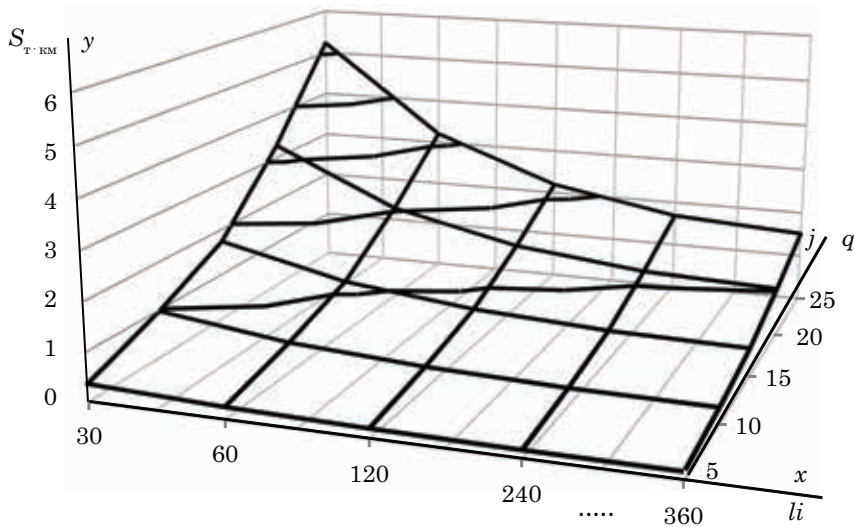


Рис. 2. Зависимость себестоимости $S_{n \cdot км}$ от грузоподъемности автомобиля и протяженности маршрута

На рис. 3 представлен трехмерный график зависимости относительной часовой себестоимости перевозок ($S_{ич}$) от протяженности маршрута и грузоподъемности автомобиля.

Анализ графика показывает, что себестоимость перевозок $S_{ич}$ на кольцевых маршрутах при минимальной

протяженности маршрута практически не зависит от грузоподъемности автомобиля, но с увеличением протяженности маршрута часовая себестоимость пробега автомобилей увеличивается по всему диапазону применяемых автомобилей, причем для автомобилей большой грузоподъемности

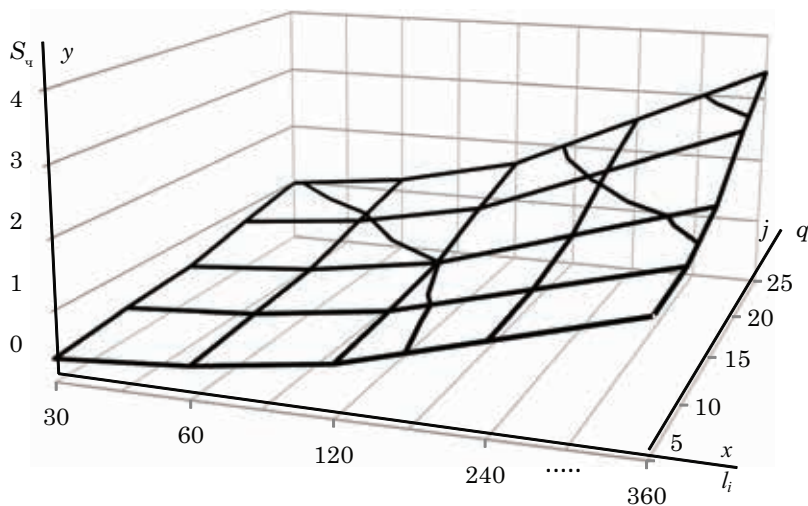


Рис. 3. Зависимость себестоимости S_q от грузоподъемности автомобиля и протяженности маршрута

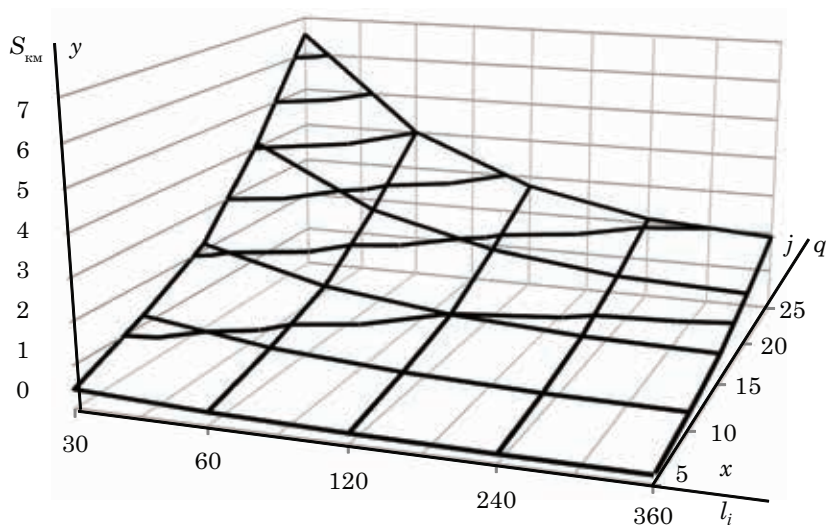


Рис. 4. Зависимость себестоимости $S_{км}$ от грузоподъемности автомобиля и протяженности маршрута

это увеличение значительнее (почти в 1,5 раза).

На рис. 4 представлен трехмерный график зависимости относительной километровой себестоимости перевозок ($S_{км}$) от протяженности маршрута и грузоподъемности автомобиля.

Анализ графика показывает, что себестоимость перевозок $S_{км}$ на кольцевых маршрутах для минимальной

протяженности маршрута резко возрастает при увеличении грузоподъемности автомобилей и постепенно падает при увеличении протяженности маршрута; для автомобилей малой грузоподъемности себестоимость перевозок практически не зависит от протяженности маршрута.

Как следует из приведенных графиков, единой сбалансированной единицы

для сравнения вариантов организации перевозок по кольцевым маршрутам и получения рационального варианта по формализованным зависимостям безотносительно к единицам измерения транспортных услуг, гарантирующего минимизацию затрат на перевозку, нет, так как тенденции изменения себестоимости перевозок по различным единицам измерения транспортных услуг конфликтны друг другу и имеют существенный разброс по значениям.

Использование транспортной задачи линейного программирования для поиска оптимального варианта организации перевозок по кольцевым маршрутам к решению не приводит, т. к. в ней в качестве критерия оптимальности принят

минимум порожнего пробега автомобилей без анализа конкретных эксплуатационных условий, и определить разницу в экономических показателях при применении различных единиц оценки транспортных услуг при реализации перевозок невозможно [4].

Приведенный анализ зависимости себестоимости перевозок от конкретных эксплуатационных условий позволит выбрать рациональную единицу измерения транспортной услуги, обеспечивающую максимальную экономическую эффективность работы автотранспортных предприятий, работающих в условиях децентрализованных перевозок, но и в интегрированных цепях поставок на полигонах агломераций. ■

Литература

1. Горев А.Э. Грузовые перевозки : учебник для студ. учреждений высш. проф. образования / 6-е изд., перераб. – М. : Академия, 2013. – 304 с.
2. Афанасьев Л.Л. Единая транспортная система и автомобильные перевозки : учебник для вузов / Л.Л. Афанасьев, Н.Б. Островский, С.М. Цукерберг. – М. : Транспорт, 1984. – 333 с.
3. Российская автотранспортная энциклопедия : справочное и учебное пособие. В 2-х т. Т. 1 : Основы эксплуатации автомобильного транспорта и бухгалтерского учета автотранспортных средств / под ред. В.Н. Луканина. – М., 2001. – 591 с.
4. Расчеты оптимальных перевозок и составление плана перегона ТС в Excel. Применение симплекс-метода и транспортных задач. URL: <http://www.economic-s.ru>_(дата обращения: 15.06.2015).

References

1. Gorev A.E. Gruzovye perevozki : uchebnik dlya stud. uchrezhdenij vyssh. prof. obrazovaniya [Cargo transportation: textbook for students of higher vocational schools] / 6th edition, revised. – M. : Akademia, 2013. – 304 p.
2. Afanasyev L.L. Edinaya transportnaya sistema i avtomobil'nye perevozki : uchebnik dlya vuzov [Integrated transport system and automobile transportation: textbook for Higher Educational Institutions] / L.L. Afanasyev, N.B. Ostrovskiy, S.M. Tsukerberg. – M. : Transport, 1984. – 333 p.
3. Russian motor transport encyclopedia: reference book and workbook. In 2 volumes. Volume 1: Fundamentals of automobile transport operation and accounting of motor vehicles [Rossijskaya avtotransportnaya ehnciklopediya : spravochnoe i uchebnoe posobie. V 2-h t. T. 1 : Osnovy ehkspluatacii avtomobil'nogo transporta i buhgalterskogo ucheta avtotransportnyh sredstv] / edited by V.N. Lukanin. – M., 2001. – 591 p.
4. Calculations of optimum transportation routes and development of transport vehicle driving plan in Excel format. Application of simplex method and transportation models [Raschety optimal'nyh perevozok i sostavlenie plana pereгона TS v Excel. Primenenie simpleks-metoda i transportnyh zadach]. URL: <http://www.economic-s.ru> (accessed date: 15.06.2015).

Статья сдана в редакцию 1 июня 2016 года

Безопасность деятельности человека

УДК 504.75 (075)

В.А. Корчагин, В.А. Антропов, С.А. Ляпин, Ю.Н. Ризаева

Экологические проблемы развития России

UDC 504.75 (075)

V.A. Korchagin, V.A. Antropov, S.A. Lyapin, Yu.N. Rizaeva

Environmental issues of development of Russia

Аннотация

Разработаны научные основы решения проблем экологической ситуации и охраны окружающей среды, обеспечивающие гармоничное взаимодействие природы и общества. Мировоззренческой базой содержания статьи являются естественнонаучная картина мира, законы биосферы и разработанный новый объект исследования – социоприродоэкономическая транспортная система (СПЭТС). Большое внимание уделено развитию теории функционирования саморазвивающихся СПЭТС. При использовании системной методологии, дающей цельное представление о фундаментальных закономерностях взаимодействия природы и общества, которую авторы сформировали из существующих в изданиях «кубиков», добавив ряд собственных.

Ключевые слова: инновационная экоэкономика, природа, человек, равновесие, экологический менеджмент.

DOI:10.20291/2079-0392-2016-3-128-138

Abstract

The article provides the science behind solutions for environmental concerns occurring particularly in the railway industry and for environment protection which would ensure harmonious interaction between nature and society. The vision of the article's content is based on the natural science world view, the laws of biosphere, and a newly developed subject of research, which is a social-natural-economical transportation system (SNETS). A great attention is paid to the theory development of functioning of self-developing SNETS. The authors applied the comprehensive methods which give the complete presentation of fundamental regularities in nature-society interaction and put together the existing «bricks» found in the published materials, adding a number of their own «bricks».

Key words: innovative environmental economics, nature, man, balance, eco-management.

DOI:10.20291/2079-0392-2016-3-128-138

Виктор Алексеевич Корчагин, д-р техн. наук, профессор, заслуженный деятель науки РФ; заведующий кафедрой управления автотранспортом Липецкого государственного технического университета; Липецк, Россия. E-mail: kafedrauat@mail.ru.

Владимир Алексеевич Антропов, д-р экон. наук, профессор; кафедра «Управление в социально-экономических системах» Уральского государственного университета путей сообщения; Екатеринбург, Россия. E-mail: antrvl@list.ru.

Сергей Александрович Ляпин, д-р техн. наук, профессор, декан факультета Липецкого государственного технического университета; Липецк, Россия. E-mail: lyapinserg2012@yandex.ru.

Юлия Николаевна Ризаева, д-р техн. наук, доцент; кафедра управления автотранспортом Липецкого государственного технического университета; Липецк, Россия. E-mail: rizaeva.u.n@yandex.ru.

Viktor Alekseevich Korchagin, DSc. (Engineering), Professor, Honored Scientist of the Russian Federation; Chairman of Department of Road Transport Management, Lipetsk State Technical University; Lipetsk, Russia. E-mail: kafedrauat@mail.ru.

Vladimir Alekseevich Antropov, DSc. (Economics), Professor; Department of Management in Social and Economic Systems, Ural State University of Railway Transport; Ekaterinburg, Russia. E-mail: antrvl@list.ru.

Sergey Aleksandrovich Lyapin, DSc. (Engineering), Professor; Dean of Faculty, Lipetsk State Technical University; Lipetsk, Russia. E-mail: lyapinserg2012@yandex.ru.

Yuliya Nikolaevna Rizaeva, DSc. (Engineering), Assistant Professor; Department of Road Transport Management, Lipetsk State Technical University; Lipetsk, Russia. E-mail: rizaeva.u.n@yandex.ru.

Проблемы во взаимоотношении общества и природы заставляют человечество задуматься о необходимости постоянного развития фундаментального знания о сущности человека и его отношений с окружающей природной средой и миром в целом, образуя открытую динамическую систему природа-общество.

Изучение этой системы необходимо для последующего регулирования их взаимоотношений человека и природы, предотвращения нежелательных последствий от внедрения результатов научно-технического прогресса. Это одна из актуальных задач современности [1].

Нет никаких сомнений в объективной необходимости принципиальных изменений в отношениях между человеком и природой. Продолжение экономических и экологических тенденций, которые сложились в XX столетии, ведет к глубочайшему экологическому и экономическому кризисам цивилизации, разрушающим геном человека и развивающим антагонизм в обществе. Человечеству необходимо решение глобальной первостепенной задачи дальнейшего развития мировой экономики и социума в строгом подчинении природным закономерностям или, по крайней мере, в их коэволюционном развитии.

Мировое научное сообщество все настойчивее заявляет о необходимости строгого следования экологическому императиву. Развитие мировой экономики нуждается в изменении приоритетов, ценностей и целей, так как в XXI веке именно экологические проблемы, а пренебрежение этими процессами в развитии мировой социально-экономической системы приведет человечество к катастрофе.

При оценке сложившейся экологической ситуации необходимо исходить

из понимания, что общественный прогресс должен основываться на научных знаниях, осмысленных в органическом единении с законами природы. Сформулированное на этой базе экологическое поведение человека является существенным элементом его экологического сознания.

В основу создания современной теории и методологии взаимодействия общества и природы должно быть положено главное требование: хозяйственная деятельность человека должна быть подчинена закону сбалансированного природопользования, обеспечивающего ассимиляционные способности природы к самовосстановлению. В таком подходе необходимо отказаться от ряда привычных представлений и понятий, по-иному посмотреть на роль человека в протекающих на Земле процессах.

Фундаментом разрабатываемой методологии должен служить системный подход как способ исследования объекта во взаимосвязи с его составляющими частями. В соответствии с этим подходом, деятельность любой части (элемента) системы оказывает влияние на действие всех других частей.

Взаимодействие общества и природы должно отвечать свойствам единой целостной системы, что дает основание для перенесения на общество диалектических законов соотношения части и целого. При этом частью по отношению к биосфере является общество и, следовательно, общество должно нести функциональную значимость в отношении к биосфере. Люди, общество в целом, должны подчиняться естественным, природным законам в своей хозяйственной деятельности, а социальные процессы должны регулироваться в том числе и законами биосферы [2]*.

Устойчивое развитие цивилизации возможно при выполнении законов

* Системная организация должна развиваться устойчиво, стремясь к достижению цели своего развития. О понятии устойчивости в концепции развития общества рассуждают в своих трудах Л.И. Абалкин [3], В.В. Горшков [4], В.И. Данилов-Данильян [5], В.А. Казначеев [6], В.А. Корчагин [7], К.С. Лосев [8], Н.Н. Моисеев [9] и др. Они предлагают рассматривать социальные и культурные среды как устойчивые системы, где человек имеет возможность удовлетворить свои все возрастающие потребности, при этом не ограничивая таковые будущих поколений.

всеобщей связи вещей и явлений в природе и в обществе. Оно связано с такими законами, как закон физико-химического единства живого вещества, развитие системы за счет окружающей ее среды, константность количества живого вещества и др. По мысли В.И. Вернадского, любая система может развиваться только за счет использования материально-энергетических и информационных возможностей окружающей ее среды [10].

Сложившаяся на планете Земля современная ситуация характеризуется органическим сочетанием трех основополагающих компонентов: население, природа и экономика. Она привела к необходимости введения в научный оборот нового понятия, сложившегося во второй половине XX в.: социально-эколого-экономическая ситуация (СЭЭС). На его базе возникло и новое научное направление, рассматривающее совокупность природных (биологических), социальных явлений и экономических процессов в их интегральном единстве и коэволюционной связи развития.

Используя это понятие и проведя анализ имеющихся данных, многие исследователи делают вывод о наличии в обществе социально-экономического кризиса, в ходе которого разрушается не только природа, техносфера, но и популяционное здоровье человека.

В связи с этим задача современного поколения заключается в создании необходимых и исключении неблагоприятных последствий хозяйственной деятельности человека за счет введения прямых и косвенных нормативов регулирования, предотвращающих ухудшение экологической ситуации.

Причина сложившихся экологических проблем заключается в нравственной несовместимости людей и природной среды, утрате ими экологического самосознания, составляющего обязательный элемент культуры человека. Экологическое самосознание предполагает понимание физической зависимости человека от среды обитания,

осознание единства человека с природным целым.

Чтобы выжить человеку в созданной им антропогенной среде, должно не столько изменять природу вокруг себя (природную среду), сколько изменять, психологически развивать самого себя в соответствии с универсальными принципами и закономерностями развития природы вообще [2]. Следовательно, как альтернативу антропоцентрическому сознанию нужно формировать эоцентрическое экологическое сознание и мышление, когда Человек начинает выступать и осознавать себя в качестве процессуальной единицы самосуществления природы внутри самого себя. Только в этом случае Человек будет ощущать и вести себя как экологический субъект развития природы, самого себя (своих способностей) и окружающей среды.

Поиск собственной ниши – дело значимое и важное. Первоочередной целью является разрушение стереотипов отношения человека к природе и решительный отказ от мифов, касающихся наших возможностей управлять окружающим миром. Естественный внутренний выбор единения с природой остается для каждого человека более или менее осознанной высокой ценностью.

В России до сих пор не завершена практика использования экологически опасных стратегий, не обеспечивающих устойчивого развития, которое открывает человечеству экономические, социальные, экологические и политические возможности. Для их реализации необходимо провести коррекцию современной экономической системы, которая позволяла бы осуществить постепенный сдвиг в сторону длительного качественного развития, тогда как в настоящее время обеспечивается лишь сиюминутный точечный рост. Экономический рост, который достигается путем разрушения человеческой жизни и природной среды, не может называться развитием.

Для сохранения темпов роста уровня жизни стране объективно необходим

новый подход. Правильный лозунг – «Из России сырьевой – в Россию технологическую, инновационную» – провозглашает совершенно новую задачу. Не жить за счет своих геологических преимуществ, а перейти в другое качество – в инновационную эконномику, которая предполагает серьезную перестройку всей нашей системы.

Развитие – это не только и не столько рост ВВП, сколько создание, поддержание, наращивание совокупного национального потенциала, обеспечивающего конкурентоспособность России в экономической, политической, военной, научно-технологической, культурной и других сферах в стратегической перспективе. Представляется, что развитие как собственное производство и коммерциализация инноваций – научно-технологических, организационных, социокультурных и других – это единственная гарантия сохранения России как мощного субъекта мирового процесса в XXI в.

Императив нового века – последовательная реализация идеи социоэко-развития во всем богатстве ее проявления при улучшении качества продукции, услуг и сохранении целостности биосферы на основе инновационно-конкурентного качественного развития. По существу, речь идет об обеспечении фундаментальных прав: права на благоприятную окружающую среду и развитие человека, общества и всего человечества.

Но что же кроется за понятием «социоэко-развитие»? С нашей точки зрения, это процесс движения субъектов или объектов к качественно новому состоянию, процесс, содержание которого заключается в формировании и реализации человеческого потенциала для сознательной регуляции качеств окружающей среды и благоприятных социальных изменений общества. Это взаимообусловленный процесс экономического роста, базирующийся на участии всех граждан в развитии и справедливом распределении его результатов, преодолении отчуждения, эксплуатации,

неравенства и несправедливости в экономике и обществе в целом.

У России должна быть своя идеология [11], самостоятельно выработанная, подчиненная интересам всемирного развития во благо человека. Главная задача – это повышение производительности общественного труда и создания новой хозяйственной и социальной реальности, опирающейся на продуцирование эффективных и биосферно-совместимых технологий на базе новых знаний.

Общемировой социоэкологоэкономический кризис будет иметь затяжной характер. Он достанет и ныне развивающиеся и процветающие страны, так как его причина скрывается в неэффективном управлении развитием человеческой деятельности и непоправимом уничтожении биосферы как самовоспроизводящейся системы.

Об этом же говорит великий хранитель природы Жак-Ив Кусто: «Рыночная система в том виде, в каком она у нас сегодня существует, вредит планете больше, чем что-либо, поскольку все у нас имеет цену, но не рассматривается как ценность; нынешний рынок не принимает во внимание отдельных последствий, судьба будущих поколений не является одной из составных частей экономического управления».

Необходимо помнить о непреходящем правиле деятельности природы: любой природный индивид свободен в выборе своих действий, но целенаправленность и эффективность этих действий при получении системного результата, а следовательно, востребованность и долговечность этого индивида, определяется и формируется сообща в гармонии взаимодействия окружающей среды и сообщества индивидов.

Выдающийся мыслитель Н.Н. Моисеев еще в 2000 г. предупреждал: «Планета и мировое сообщество вступают в новую стадию развития. Человечество превращается в основную геологообразующую силу. Необходимо признать, что в результате человеческой деятельности нарушилось естественное равновесие природных циклов, восстановить

которые известными нам методами невозможно. Деятельность человечества, вероятнее всего, ведет к деградации биосферы и не способна гарантировать существование Человека в ее составе».

Причина заключается в том, что антропогенная нагрузка на биосферу стремительно возрастает и, похоже, близка к критической. Человек подошел к пределу, который нельзя переступить ни при каких обстоятельствах.

По данным Росстата и Росгидромета за 2015 г., Екатеринбург, например, вошел в число самых грязных городов России. Концентрация этилбензола в воздухе в столице Среднего Урала превышает допустимую норму в 11 раз. Также в списке присутствует Нижний Тагил: в этом городе концентрация бензпирена в воздухе в 13 раз больше нормы.

Отметим, что самым грязным городом России признали Читу: здесь в воздухе концентрация бензпирена превышена в 34 раза, а взвешенных веществ – в 21 раз. Также в список городов-грязнуль вошли Улан-Удэ, Магнитогорск, Белоярский (ХМАО-Югра), Пермь, Уфа, Челябинск, Красноярск.

Один неосторожный шаг – и человечество сорвется в пропасть. Одно необдуманное движение – и биологический вид *Homo sapiens* может исчезнуть с лица Земли. При этом глобальная экологическая катастрофа может подкрасться совсем незаметно, совершенно неожиданно и столь внезапно, что никакие действия людей уже ничего не смогут изменить. Такая катастрофа может случиться не в каком-то неопределенном будущем, а, может быть, уже в середине XXI в.

Итак, проблемы социоэкологического развития на Земле следует решать незамедлительно. Один из проверенных вариантов – поставить во главу угла методологию междисциплинарного экологического менеджмента (ЭМ). Такой подход позволяет обеспечить жесткую корреляцию между экологией и качеством жизни. Те же проблемы можно решать и в других теоретических построениях, вводя дополнительные критерии.

Например, используя понятие здоровье как состояние полного физического, психического и социального благополучия человека, по определению Всемирной организации здравоохранения (ВОЗ) – уровень счастья [12] и др.

Решение обсуждаемых проблем помогут в разработке методологических и практических рекомендаций по формированию экологически ориентированного российского рынка труда, созданию системы зеленой занятости России [13]. А это еще одна экологическая проблема, практически не осознанная в России.

Дело в том, что такие понятия, как «зеленое рабочее место» и «зеленая занятость» до сих пор окончательно не сформировались. В докладах и отчетах ООН в рамках программы по окружающей среде (ЮНЕП) содержится трактовка понятий «зеленая экономика», «зеленое рабочее место», «зеленая занятость». В отчетах этих организаций указаны ключевые факторы создания экологически ориентированного рынка труда, содержится статистика по созданным «зеленым рабочим местам» в «озелененных» странах мира. Представители ООН не раз в своих выступлениях заявляли, что «зеленая экономика» может не только решить насущные экологические и социальные проблемы, но и стимулировать рост экономики, повысить уровень занятости населения в мире.

Перечисленные проблемы актуальны, сверхобъемны и многоаспектны. Они приобретают еще больший смысл, если поставить вопрос, находящийся на грани между научным и вненаучным знанием: есть ли жизнь после смерти [14]? Последние работы физиков указывают на ее наличие, по крайней мере, теоретическую допустимость. С каким багажом ответственности мы будем переходить в другие миры и «там» отвечать за содеянное «здесь»?

Эти глобальные космические проблемы, одновременно касающиеся каждого человека нашей планеты, требуют своего решения. Они могут быть решены только в синергетическом взаимодействии коллективом ученых на основе

продуманной методологически и теоретически осмысленной экологической концепции с привязкой к конкретной отрасли экономики.

Для нас, работников транспортного вуза, это транспортная отрасль. Разрабатываемая концепция должна ответить на ее вызовы [15].

Сами транспортные компании выступают с экологическими инициативами. В «Белой книге» ОАО «РЖД», в числе ключевых приоритетов обозначены повышение энергоэффективности и охрана окружающей среды [16]. Один из вариантов снижения уровня загрязнения атмосферного воздуха – это так называемыми передвижные источники. Так, рельсовый электротранспорт, конечно, экологически более чистый, чем автомобильный.

Сегодня повышенное внимание уделяется также городам с наиболее интенсивным автомобильным движением – тем, где вклад выхлопов в загрязнение воздуха составляет 90–95 %. В их число входят Москва, Санкт-Петербург и Сочи.

Актуальность поднятых экологических проблем демонстрирует их обсуждение на правительственном уровне [17]. На одном из совещаний В. Путин предложил разработать механизм поддержки компаний, применяющих в работе наилучшие доступные экологически чистые технологии. Производство оборудования, соответствующего принципам наилучших доступных технологий, необходимо локализовать, для чего будут созданы необходимые условия. Для компаний, работающих на старом оборудовании и применяющих устаревшие технологии, предлагается ввести санкции в виде дополнительной налоговой нагрузки.

В поддержку «эконоваций» Федеральным агентством по техническому регулированию и метрологии разработаны и действуют национальные стандарты РФ [18–21].

Анализ литературы показывает, что в категорию «экологический менеджмент» вкладывается, например, такой смысл: это ключевая доминанта

устойчивого развития, высший приоритет промышленной деятельности и предпринимательства (документы «Повестка дня на XXI век»); это эффективный метод управления в области защиты окружающей среды и др. Подходы самые разные, от высших приоритетов до конкретного метода управления.

Все доступные нам издания рассматривают нижеследующие аспекты и проблемы экологического менеджмента, а также пути их решения.

Методология экологического менеджмента

Здесь на первом месте стоит рассмотрение понятийно-терминологического аппарата проблем экологического менеджмента. Он в необходимой мере не разработан. Нужна его конкретизация в аспекте родовидовых отношений, выделения категорий и понятий в их существенных признаках. Не следует забывать имеющиеся международные стандарты, внедряемые в России, где такой понятийный аппарат уже формализован.

Далее на базе созданного понятийного аппарата возможен следующий алгоритм формирования методологии и введения новых понятий (таблица).

1) Ноосфера и биосфера. Ноосфера (греч. nous – разум и sphaira – шар) – это сфера взаимодействия общества и природы, в границах которой разумная человеческая деятельность становится определяющим фактором развития. Она является высшей стадией эволюции биосферы, становление которой связано с развитием человеческого общества, глубоко воздействующего на природные процессы.

В целях своего сохранения человечество должно взять на себя ответственность за развитие биосферы, превращающейся в ноосферу, а это потребует от него определённой социальной организации и новой, экологической и одновременно гуманистической этики [10].

В настоящее время под ноосферой понимается сфера взаимодействия человека и природы, в пределах которой

разумная человеческая деятельность становится главным определяющим фактором развития.

2) Экосфера (греч. *oikos* – место обитания + *sphaira* шар) – это экологическая оболочка Земли, совокупность ее свойств как планеты, создающих условия для развития биологических систем.

В отличие от биосферы, понятие «экосфера» включает в себя характеристику состояния окружающей среды, в которой находятся биологические системы, а также области, где могут находиться живые организмы (в том числе за пределами естественной среды обитания).

3) Понятие «экосфера» позволяет говорить об экосфере территории (государства, субъекта федерации, муниципалитетов).

В экосфере территории находятся конкретные организации, где возникают и решаются все экологические проблемы.

4) И еще один уровень – самый главный: экосфера конкретной личности.

Теоретические основы экологического менеджмента (ЭМ)

В основу методологии ЭМ можно положить работы Э.М. Короткова [22] и других исследователей [23–26].

Работ по теории экологического менеджмента достаточно, каждая из них представляет свой теоретический интерес. Однако в них нет единства понятийного аппарата, сформулированных теоретических построений, выявленных закономерностей.

Так, например, в [22] сформулированы многие теоретические положения ЭМ (закономерности, принципы и т.д.), но не со всеми из них можно согласиться в полной мере.

Экологический менеджмент как учебная дисциплина

Анализ вузовских учебников показывает, что они основаны на разных подходах, в них нет единого понимания системы экологического менеджмента (СЭМ).

Для транспортных вузов вопросы качественного преподавания ЭМ, равно как и других курсов, связаны с осмыслением всех компонентов технологии обучения [27], а также созданием пространственно-временной среды подготовки кадров [28], которая обеспечивала бы экологическую безопасность, эффективность [29] и качество обучения [30].

Мы считаем, что система обучения в вузе – это система массового образовательного производства [31] и строится

Сферы экологии как объекты междисциплинарного исследования и учебных дисциплин

Сфера	Сфера науки	Объект научного исследования	Дисциплина
Ноосфера	Философия	Космос	«Концепции современного естествознания»
Биосфера	Науки о природе	Планета Земля	«Биология»
Экосфера государства	Мировая экология	Макросфера	«Экологический менеджмент: мировая экономика»
Экосфера территории (отрасли)	Региональная (отраслевая) экология	Мезосфера	«Экологический менеджмент: региональная экономика»
Экосфера предприятия (фирмы)	Экология предприятия (фирмы)	Микросфера	«Экологический менеджмент: экономика фирмы (предприятия)»
Экосфера личности	Экология личности	Экология личности	«Экологический менеджмент: экология человека»

она должна по всем законам экологически ориентированного расширенного воспроизводства и законам профессионального образования.

Правильный же вариант должен быть основан на системном и процессном подходах, учитывающих как индуктивный, так и дедуктивный методы исследования.

Экологические проблемы устойчивого развития России должны быть рассмотрены в их целостном единстве (системный подход) на основе междисциплинарного подхода. Однако каждая из них в связи со своей глобальностью может рассматриваться и как отдельная проблема для конкретной области научного знания.

Но ясно и то, что внедрение экологического менеджмента в организациях и формирование экологического мышления должно проходить параллельно как в самих организациях, так и в образовательных учреждениях.

Разработанные теоретико-методологические подходы развития теории саморазвивающихся систем, фундаментальные основы гармонизации взаимодействия «человечество – искусственный мир – биосфера» позволят обеспечить оптимальное сочетание научно-технической и производственной деятельности общества с процессами, протекающими в биосфере. Предложенные важные аспекты концепции устойчивого развития и стратегия будущей цивилизации, методы разрешения ее глобальных проблем на основе функционирования ноосферно-совместимой нравственной экоэкономики знаний, качества и парадигмы инновационного импортозамещения обеспечат значительный вклад в развитие экономики страны и улучшение качества окружающей среды за счет повышения эффективности работы обслуживаемых предприятий. ■

Литература

1. Конференция ООН по окружающей среде и развитию. URL: www.un.org/ru. (дата обращения: 25.05.2016).
2. Корчагин В.А. Экоправственная новая экономика. Липецк : ЛГТУ, 2006. 200 с.
3. Абалкин Л.И. О новой концепции долгосрочной стратегии // Вопросы экономики. 2008. №2. С. 37–38. ISSN 0042-8736.
4. Горшков В.В. Биотическая регуляция окружающей среды // Экология. 1999. № 2. С. 24–28. ISSN 0367-0597.
5. Данилов-Данильян В.И., Лосев К.С., Рейф И.Е. Перед главным вызовом цивилизации. Взгляд из России. М. : ИНФРА-М, 2005. 224 с. ISBN 5-16-001846-8.
6. Казначеев В.А. На перекрестках судьбы. Пятигорск : КМБ, 2007. 668 с. ISBN 100-0-00004-094-8.
7. Корчагин В.А. Инновационная экоэкономика. Липецк : ЛГТУ, 2009. 131 с. ISBN 978-5-9000-3766-0.
8. Лосев К.С. Устойчивое развитие в свете экономических и экологических стереотипов // Ноосфера. 2002. № 13. С. 20–23. ISSN 1997-2512.
9. Моисеев Н.Н. Судьба цивилизации. Путь разума. М. : МНЭПУ, 1998. 196 с. ISBN 5-86646-131-5.
10. Вернадский В. И. Биосфера и ноосфера. М. : Наука, 1989. 261 с. ISBN 5-02-004618-3.
11. Антропов В.А., Мезенцев Е.В. Развитие понятийно-терминологического аппарата функционирования сетевых структур // Известия УрГЭУ. 2015. № 2. С. 23–29. ISSN 2073-1019.
12. Антропов В.А. Может ли стать «счастье» экономическим понятием? // Экономическая теория. 2013. № 1. С. 61–64. ISSN 2073-6517.
13. Навстречу «зеленой» экономике России (обзор) / Институт устойчивого развития Общественной палаты Российской Федерации. Центр экологической политики. 2012. 82 с. URL: www.sustainabledevelopment.ru. (дата обращения: 25.05.2016).
14. Медведев Ю. Ученые объяснили существование «того света» с позиций квантовой механики // Росс. газ. – 13 февраля – 2014.

15. О внесении изменений в Транспортную стратегию Российской Федерации, утв. распоряжением правительства РФ от 22.11.2008 № 1734-р. URL: http://www.mintrans.ru/activity/detail.php?SECTION_ID=2203. (дата обращения: 25.05.2016).
16. Транспорт встанет на «зелёные колёса». Но помочь в этом должно государство // Пульс управления. 2014. №2. URL: <http://www.pult.gudok.ru/archive/detail.php?ID=917644>. (дата обращения: 25.05.2016).
17. Милюкова Я., Темкин А. Семь шагов Путина: Кремль представил план технологической революции // РБК. Весь мир. URL: <http://top.rbc.ru/> (дата обращения: 25.05.2016).
18. ГОСТ Р 54003–2010. Экологический менеджмент / Оценка прошлого, накопленного в местах дислокации организаций экологического ущерба. Общие положения. М. : Стандартинформ, 2011. 25 с.
19. ГОСТ Р 54134–2010 Экологический менеджмент / Руководство по применению организационных мер безопасности оценки рисков. Выбросы парниковых газов. М. : Стандартинформ, 2011. 19 с.
20. ГОСТ Р 54135–2010. Экологический менеджмент/ Руководство по применению организационных мер безопасности и оценки рисков. Защита экологических природных зон. Общие аспекты и мониторинг. М. : Стандартинформ, 2011. 40 с.
21. ГОСТ Р 54139–2010. Экологический менеджмент / Руководство по применению организационных мер безопасности и оценки рисков. Изменение климата. М. : Стандартинформ, 2012. 33 с.
22. Коротков Э.М. Концепция российского менеджмента. М. : ДеКА, 2004. – 896 с. ISBN 5-89645-036-2.
23. Краснослободцев В.О. Организационно-экономический механизм экологического менеджмента на предприятиях военно-промышленного комплекса : дис. ... на соиск. уч. ст. канд. экон. наук. – М., 2011. 146 с.
24. Мудрая А.В. Экономическая эффективность региональных систем экологического менеджмента // Вестник КГУ им. Н. А. Некрасова. Системный анализ: теория и практика. 2009. № 2. С. 76–78. ISSN 1998-0817.
25. Пшеничный В.А. Учетно-аналитическое обеспечение экологического менеджмента предприятий газовой отрасли : дис. ... на соиск. уч. ст. канд. экон. наук. – Ставрополь, 2012. 149 с.
26. Байсултанова Л.Б. Формирование организационно-экономического механизма управления развитием экологического туризма: на примере Кабардино-Балкарской Республики : дис. ... на соиск. уч. ст. канд. экон. наук. – Ставрополь, 2012. 167 с.
27. Антропов В.А., Нестеров В.Л. Кадровое обеспечение железнодорожной отрасли. М. : ВИНТИ РАН, 2003. 112 с. ISBN 5-900242-37-4.
28. Антропов В.А. Проблемы модернизации и инноваций в российском профессиональном образовании. Екатеринбург : Институт экономики УрО РАН, 2013. 104 с. ISSN 2072-6414.
29. Антропов В.А., Мочалин В.В., Нестеров В.Л. Мониторинг профессионального становления личности специалиста железнодорожного транспорта. М. : Учебно-методический центр по образованию на железнодорожном транспорте, 2007. 301 с. ISBN 978-5-89035-424-2.
30. Антропов В.А., Киселева Н.Н., Нестеров В.Л. Система управления качеством подготовки специалистов в отраслевом высшем учебном заведении. М. : ВИНТИ РАН, 2007. 236 с. ISBN 978-5-902928-17-1.
31. Нестеров В.Л. Методологические основы организации кадрового обеспечения железнодорожного транспорта : дис. ... на соиск. уч. ст. д-ра техн. наук. – М., 2005. 46 с.

References

1. United Nations Conference on Environment and Development [Konferenciya OON po okruzhayushchej srede i razvitiyu]. URL: www.un.org/ru. (accessed date: 25.05.2016).
2. Korchagin V.A. Eco-moral new economics [Ehkonravstvennaya novaya ehkonomika]. Lipetsk: LSTU, 2006. 200 p.
3. Abalkin L.I. On a new concept of long-term strategy [O novej koncepcii dolgosrochnoj strategii] // Issues of Economics. 2008. Issue № 2. P. 37–38. ISSN 0042-8736.
4. Gorshkov V.V. Biotic environmental control [Bioticheskaya regulyaciya okruzhayushchej sredy] // Ecology. 1999. Issue № 2. P. 24–28. ISSN 0367-0597.

5. Danilov-Danilyan V.I., Losev K.S., Reif I.E. Before the main challenge of civilization. A view from Russia [Pered glavnym vyzovom civilizacii. Vzglyad iz Rossii]. M.: INFRA-M, 2005. 224 p. ISBN 5-16-001846-8.
6. Kaznacheev V.A. At fate's crossings [Na perekrestkah sud'by]. Pyatigorsk: KMV, 2007. 668 p. ISBN 100-0-00004-094-8.
7. Korchagin V.A. Innovative environmental economics [Innovacionnaya ehkoeekonomika]. Lipetsk: LSTU, 2009. 131 p. ISBN 978-5-9000-3766-0.
8. Losev K.S. Sustainable development in view of economic and environmental stereotypes [Ustojchivoe razvitie v svete ehkonomicheskikh i ehkologicheskikh stereotipov] // Noosphere. 2002. Issue № 13. P. 20–23. ISSN 1997-2512.
9. Moiseev N.N. The fate of civilization. The path of mind [Sud'ba civilizacii. Put' razuma]. M. : MNEPU, 1998. 196 p. ISBN 5-86646-131-5.
10. Vernadskiy V.I. Biosphere and noosphere [Biosfera i noosfera] . M. : Nauka, 1989. 261 p. ISBN 5-02-004618-3.
11. Antropov V.A., Mezentsev E.V. Development of definitions for network structures functioning [Razvitie ponyatijno-terminologicheskogo apparata funkcionirovaniya setevykh struktur] // Journal of the Ural State University of Economics. 2015. Issue № 2. P. 23–29. ISSN 2073-1019.
12. Antropov V.A. Can «happiness» become the economic concept? [Mozhet li stat' «schast'e» ehkonomicheskim ponyatiem?] // Economics theory. 2013. Issue № 1. P. 61–64. ISSN 2073-6517.
13. Towards the «green» economics of Russia (review)/ Institute of sustainable development of the Civic Chamber of the Russian Federation. Center of environmental policy [Navstrechu «zeleno» ehkonomie Rossii (obzor) [Institut ustojchivogo razvitiya Obshchestvennoj palaty Rossijskoj Federacii. Centr ehkologicheskoy politiki]. 2012. 82 p. URL: www.sustainabledevelopment.ru. (accessed date: 5.25.2016).
14. Medvedev Yu. Scientists explained the existence of «the next world» from the quantum mechanics point of view [Uchenye ob'yasnili sushchestvovanie «togo sveta» s pozicij kvantovoj mekhaniki] // Rossiyskaya Gazeta. – 2014. – February.
15. Regarding changes in transportation strategy of the Russian Federation approved by the Order of the Government of the Russian Federation dated November 22, 2008 № 1734-p. [O vnesenii izmenenij v Transportnuyu strategiyu Rossijskoj Federacii, utv. rasporyazheniem pravitel'stva RF ot 22.11.2008 № 1734-r.] URL: http://www.mintrans.ru/activity/detail.php?SECTION_ID=2203. (accessed date: 5.25.2016).
16. Transport will get the «green wheels». But the government is to help [Transport vstanet na «zelyonye kolyosa». No pomoch' v ehtom dolzhno gosudarstvo] // Control board. 2014. Issue № 2. URL: <http://www.pult.gudok.ru/archive/detail.php?ID=917644>. (accessed date: 5.25.2016).
17. Milyukova Ya., Temkin A. Sem' shagov Putina: Kreml' predstavil plan tekhnologicheskoy revolyucii [Putin's seven steps: The Kremlin introduced the technological revolution plan] // RBK. Whole world. URL: <http://top.rbc.ru/> (accessed date: 5.25.2016).
18. National State Standard (GOST) R 54003–2010. Ecological management [GOST R 54003–2010. EHkologicheskij menedzhment / Ocenka proshlogo, nakoplennoho v mestah dislokacii organizacij ehkologicheskogo ushcherba. Obshchie polozheniya] / Evaluation of the past ecological damage accumulated in places of arrangement organizations. General principles. M. : Standartinform, 2011. 25 p.
19. National State Standard (GOST) R 54134–2010. Environmental management/ Guidance for organizational safeguards application and risk assessment. Greenhouse gas emissions [GOST R 54134–2010 EHkologicheskij menedzhment / Rukovodstvo po primeneniyu organizacionnykh mer bezopasnosti ocenki riskov. Vybrosy parnikovyh gazov]. M. : Standartinform, 2011. 19 p.
20. National State Standard (GOST) R 54135–2010. Environmental management/ Guidance for organizational safeguards application and risk assessment. Native zone protection. General aspects and monitoring [GOST R 54135–2010. EHkologicheskij menedzhment/ Rukovodstvo po primeneniyu organizacionnykh mer bezopasnosti i ocenki riskov. Zashchita ehkologicheskikh prirodnykh zon. Obshchie aspekty i monitoring]. M. : Standartinform, 2011. 40 p.
21. National State Standard (GOST) R 54139–2010. Environmental management/ Guidance for organizational safeguards application and risk assessment. Climate fluctuation [GOST

- R 54139–2010. EHkologicheskij menedzhment / Rukovodstvo po primeneniyu organizacionnyh mer bezopasnosti i ocenki riskov. Izmenenie klimata]. M.: Standartinform, 2012. 33 p.
22. Korotkov E.M. Konceptiya rossijskogo menedzhmenta [Concept of the Russian management]. M. : DeKA, 2004. – 896 p. ISBN 5-89645-036-2.
23. Krasnoslobodtsev V.O. Organizacionno-ehkonomicheskij mekhanizm ehkologicheskogo menedzhmenta na predpriyatiyah voenno-promyshlennogo kompleksa : dis. ... na soisk. uch. st. kand. ehkon. nauk [Business mechanism of environmental management at military-industrial complex enterprises: Ph.D. Thesis for obtaining a candidate's degree in economic science]. – M., 2011. 146 p.
24. Mudraya A.V. EHkonomicheskaya ehffektivnost' regional'nyh sistem ehkologicheskogo menedzhmenta [Economic efficiency of regional environmental management systems] // Scientific and methodological journal «Vestnik of Nekrasov Kostroma State University». System analysis: Theory and practice. 2009. Issue № 2. P. 76–78. ISSN 1998-0817.
25. Pshenichnyi V.A. Uchetno-analiticheskoe obespechenie ehkologicheskogo menedzhmenta predpriyatij gazovoj otrasli : dis. ... na soisk. uch. st. kand. ehkon. nauk [Accounting and analytical support of environmental management at gas industry enterprises: Ph.D. Thesis for obtaining a candidate's degree in economic science]. – Stavropol, 2012. 149 p.
26. Baisultanova L.B. [Formirovanie organizacionno-ehkonomicheskogo mekhanizma upravleniya razvitiem ehkologicheskogo turizma: na primere Kabardino-Balkarskoj Respubliki : dis. ... na soisk. uch. st. kand. ehkon. nauk [Formation of business mechanism to control eco-tourism development: using the Kabardino-Balkar Republic as an example: Ph.D. Thesis for obtaining a candidate's degree in economic science]. – Stavropol, 2012. 167 p.
27. Antropov V.A., Nesterov V.L. Kadrovoe obespechenie zheleznodorozhnoj otrasli [Staffing of the railway industry]. M. : All-Russian Scientific and Technical Information Institute of Russian Academy of Sciences, 2003. 112 p. ISBN 5-900242-37-4.
28. Antropov V.A. Problemy modernizacii i innovacij v rossijskom professional'nom obrazovanii [Problems of modernization and innovations in professional education in Russia]. Ekaterinburg : Institute of Economics, the Ural Branch of Russian Academy of Sciences, 2013. 104 p. ISSN 2072-6414.
29. Antropov V.A., Mochalin V.V., Nesterov V.L. Monitoring professional'nogo stanovleniya lichnosti specialista zheleznodorozhnogo transporta [Monitoring of professional personality development of railway transport experts]. M. : Training and Methodology Centre for Railway Transport, 2007. 301 p. ISBN 978-5-89035-424-2.
30. Antropov V.A., Kiseleva N.N., Nesterov V.L. Sistema upravleniya kachestvom podgotovki specialistov v otraslevom vysshem uchebnom zavedenii [Quality management system for training of specialists at industry higher educational institutions]. M. : All-Russian Scientific and Technical Information Institute of Russian Academy of Sciences, 2007. 236 p. ISBN 978-5-902928-17-1.
31. Nesterov V.L. Metodologicheskie osnovy organizacii kadrovogo obespecheniya zheleznodorozhnogo transporta : dis. ... na soisk. uch. st. d-ra tekhn. nauk [Methodological bases of the organization of the staffing railway transport: Ph.D. Thesis for obtaining a doctor's degree in technical science]. – M., 2005. 46 p.

Статья сдана в редакцию 13 июля 2016 года

Ю.В. Дементьева

Корреляционный анализ влияния количественных факторных признаков на статистические показатели производственного травматизма (на примере хозяйства пути Куйбышевской железной дороги)

UDC 656.2:658.382.3

Yu.V. Dementyeva

Correlation analysis of quantitative factor characteristic influence on statistic indicators of workplace injuries (using the Kuibyshev railway track facilities as an example)

Аннотация

В статье рассматриваются условия труда работников, занятых на работах по текущему содержанию и ремонту железнодорожного пути, как специфичные и перманентно связанные с повышенной опасностью труда.

Результаты апостериорно-агрегированного анализа статистических показателей производственного травматизма определяют наличие в хозяйстве пути несчастных случаев не только легкой степени тяжести, но и с тяжелым, смертельным исходом.

Трагические и фатальные происшествия на производстве происходят с работниками весьма неслучайно. Практически есть причины, вызывающие травмирование работающих, т.е. те или иные факторы, потенциально влияющие на безопасность их трудовой деятельности.

В статье проведен корреляционный анализ влияния возраста и стажа работника по специальности как

количественных факторных признаков на статистические показатели производственного травматизма в хозяйстве пути Куйбышевской железной дороги за ряд последовательных лет. Посредством математических расчетов статистическая взаимосвязь между возрастом пострадавших и их количеством не установлена, между стажем работы по специальности и соответствующим количеством пострадавших — установлена с учетом степени тяжести повреждения здоровья работников, пострадавших от несчастных случаев на производстве.

В рамках путевого хозяйства Куйбышевской железной дороги подтверждена гипотеза влияния продолжительности стажа работника на количество пострадавших от несчастных случаев на производстве, а также отмечена высокая степень их взаимной сопряженности.

Показана практическая значимость полученных результатов корреляционного

анализа в части формирования и (или) корректировки планов и программ, направленных на обучение безопасным методам и приемам выполнения работ категорий лиц, имеющих малый и непродолжительный стаж работы по специальности.

Предложенный подход представлен как инструмент по снижению уровня риска наступления несчастного случая на производстве и повышению безопасности труда работников, занятых текущим содержанием и ремонтом пути, с учетом продолжительности стажа их работы по специальности.

Ключевые слова: путевое хозяйство, количественные факторные признаки, статистические показатели производственного травматизма, несчастный случай на производстве, степень тяжести повреждения здоровья, возраст пострадавшего, стаж работы по специальности, корреляционная зависимость.

DOI:10.20291/2079-0392-2016-3-139-147

Юлия Васильевна Дементьева, аспирант кафедры «Безопасность жизнедеятельности и экология» Самарского государственного университета путей сообщения; Самара, Россия. E-mail: yulia_dementyeva@bk.ru.

Yuliya Vasilievna Dementyeva, Ph.D. student, Department of Health, Safety and Ecology, Samara State Transport University; Samara, Russia. E-mail: yulia_dementyeva@bk.ru.

Abstract

The article considers working conditions of employees engaged in railway track maintenance and repair works as specific and permanently connected with increased risk during work performance.

The results of posterior and aggregate analysis of statistic indicators showing workplace injuries prove that track facility maintenance and repair may involve accidents resulting not only in minor injuries but also in serious injuries and fatal cases.

It is not by chance that tragic and fatal events at workplaces occur. There are practical reasons causing injuries of employees, i.e. these or that factors potentially influencing the employees' work safety.

The article performs the correlation analysis of how an employee's age and period of service in the same occupation, as quantitative

factor characteristics, influence the statistic indicators showing workplace injuries at the Kuibyshev railway track facilities for a number of consecutive years. Application of mathematical calculations has not detected the statistic correlation between the age of the injured and their quantity; the correlation between the period of service in the same occupation and the corresponding quantity of the injured is determined taking into account the severity of injuries received by employees during accidents at workplaces.

In terms of the Kuibyshev railway track facilities the idea was proved that the period of service in the same occupation influences the quantity of the injured during accidents at workplaces, as well as a high level of mutual contingency of these two factors was noticed.

The article shows the practical relevance of the received

correlation analysis results in part of development and/or adjustment of plans and programs aimed at training of employees with short and not long period of service in the same occupation on safe methods and techniques of work performance.

The approach offered is provided as a tool to decrease risk level of workplace accident occurrence and improve work safety for employees engaged in railway track maintenance and repair works, taking into account the period of their service in the same occupation.

Key words: railway track facilities, quantitative factor characteristics, statistic indicators of workplace injuries, workplace accident, severity of injuries to health, age of an injured, period of service in the same occupation, correlation dependence.

DOI:10.20291/2079-0392-2016-3-139-147

Отраслевая специфика функционирования железнодорожного транспорта, особенности, сложность и разнообразие технологических процессов, эксплуатация оборудования и железнодорожного подвижного состава характеризуются потенциальным воздействием на работников опасных производственных факторов. Осуществление экономическими субъектами компании ОАО «РЖД» производственной деятельности сопряжено с риском наступления несчастного случая [1].

Служба пути – одно из основных и наиболее фондоемких хозяйств ОАО «РЖД», главной задачей которого является безопасное и бесперебойное движение поездов при безусловном обеспечении исправного содержания железнодорожного пути и путевых устройств [2].

Большинство работников путевого хозяйства по основным направлениям деятельности занято на работах по

текущему содержанию и ремонту пути, специфичность которых связана с перманентной повышенной опасностью труда. Апостериорно-агрегированный анализ статистических показателей производственного травматизма показал, что в 2004–2015 гг. в хозяйстве пути Куйбышевской железной дороги произошло 124 несчастных случая, в результате которых пострадали 146 человек, из них 73 получили травмы легкой степени тяжести, 54 – пострадали от несчастных случаев с тяжелым исходом и 19 человек травмированы смертельно [1, 3].

Для определения количественных факторных признаков, влияющих на показатели производственного травматизма в рамках предприятий хозяйства пути Куйбышевской железной дороги, были идентифицированы и ранжированы статистические данные за ряд последовательных лет исследуемого периода, основанные на изучении актов

о несчастных случаях на производстве по форме Н-1.

Количественными факторными признаками являются возраст и стаж пострадавшего по специальности на момент наступления несчастного случая. Влияние этих факторов в интервальной шкале наблюдений и ранжированием по годам в 2004–2013 гг. рассмотрено в работах [4, 5]. В нашем случае определим степень влияния этих факторов в дискретной шкале при условии увеличения изучаемого периода и ранжирования статистических данных по степени тяжести повреждения здоровья пострадавших на производстве.

Возраст работника является предпосылкой к тому, что человек составлял как грамотный специалист в определенном виде деятельности с возрастным развитием растет профессиональная компетентность работника, накапливается уровень его мастерства, что влияет на безопасность труда и снижение уровня риска наступления несчастного случая.

Для научного подтверждения или опровержения данной гипотезы необходимо определить наличие или отсутствие взаимосвязи возраста работников, пострадавших в результате несчастных случаев на производстве, и статистических количественных показателей производственного травматизма, на основе проведенного апостериорно-агрегированного статистического анализа за исследуемый период в хозяйстве пути Куйбышевской железной дороги [1, 3].

Возраст пострадавших от несчастных случаев на производстве рассмотрим как количественный факторный признак, потенциально влияющий на статистические показатели производственного травматизма в дискретной шкале измерений (18, 19, 20, ..., 65 лет). Посредством математических расчетов определим, насколько тесны и непротиворечивы статистические связи между показателями, характеризующими влияние возраста пострадавшего на статистические показатели производственного травматизма.

Так как показатели возраста работника и количества пострадавших в результате несчастных случаев на производстве – это случайные величины, их степень взаимосвязи характеризует корреляционная статистическая зависимость, математической мерой которых служит коэффициент корреляции [6].

Корреляционная зависимость предполагает, что пара рассматриваемых переменных – возраст пострадавшего и количество пострадавших в результате несчастных случаев на производстве, допущенных в хозяйстве пути Куйбышевской железной дороги в 2004–2015 гг., – измерены в дискретной шкале, где x – входная переменная и независимая случайная величина, y – выходная переменная и зависимая случайная величина. Для оценки степени зависимости между ними следует знать как величину корреляции, так и ее значимость. Для расчета коэффициента корреляции r_{xy} используем идентифицированные и ранжированные количественные значения по общему количеству пострадавших по фактору «возраст пострадавшего» и подставляем их в формулу вычисления коэффициента корреляции:

$$r_{xy} = \frac{\sum (x_i - \bar{x}) \cdot (y_i - \bar{y})}{\sqrt{\sum (x_i - \bar{x})^2 \cdot \sum (y_i - \bar{y})^2}}, \quad (1)$$

где x_i – значения, принимаемые переменной x ; y_i – значения, принимаемые переменной y [6].

Полученные расчетные данные трансформируем в таблицу 1.

Из произведенных расчетов следует, что коэффициент корреляции $r_{xy} = 0,28804$. Теперь следует выяснить, о чем свидетельствуют полученное значение. Для этого изначально выполним коррекцию коэффициента корреляции по модулю с помощью формулы:

$$|\bar{r}| = 1 - \sqrt{1 - r^2} \frac{n-1}{n-2}, \quad (2)$$

где $|\bar{r}|$ – скорректированное значение коэффициента корреляции;

Таблица 1

Расчетные данные для вычисления коэффициента корреляции

Возраст пострадав- шего, x , лет	Кол-во пострадав- ших, y , чел.	$x_i - \bar{x}$	$y_i - \bar{y}$	$(x_i - \bar{x})^2$	$(y_i - \bar{y})^2$	$(x_i - \bar{x}) \cdot (y_i - \bar{y})$
18	0	-23,5	-3,04166667	552,25	9,25173611	71,47916667
19	0	-22,5	-3,04166667	506,25	9,25173611	68,43750000
20	1	-21,5	-2,04166667	462,25	4,16840278	43,89583333
21	1	-20,5	-2,04166667	420,25	4,16840278	41,85416667
22	3	-19,5	-0,04166667	380,25	0,00173611	0,81250000
23	7	-18,5	3,95833333	342,25	15,66840278	-73,22916667
24	5	-17,5	1,95833333	306,25	3,83506944	-34,27083333
25	4	-16,5	0,95833333	272,25	0,91840278	-15,81250000
26	6	-15,5	2,95833333	240,25	8,75173611	-45,85416667
27	6	-14,5	2,95833333	210,25	8,75173611	-42,89583333
28	4	-13,5	0,95833333	182,25	0,91840278	-12,93750000
29	5	-12,5	1,95833333	156,25	3,83506944	-24,47916667
30	3	-11,5	-0,04166667	132,25	0,00173611	0,47916667
31	4	-10,5	0,95833333	110,25	0,91840278	-10,06250000
32	4	-9,5	0,95833333	90,25	0,91840278	-9,10416667
33	3	-8,5	-0,04166667	72,25	0,00173611	0,35416667
34	2	-7,5	-1,04166667	56,25	1,08506944	7,81250000
35	1	-6,5	-2,04166667	42,25	4,16840278	13,27083333
36	5	-5,5	1,95833333	30,25	3,83506944	-10,77083333
37	6	-4,5	2,95833333	20,25	8,75173611	-13,31250000
38	2	-3,5	-1,04166667	12,25	1,08506944	3,64583333
39	3	-2,5	-0,04166667	6,25	0,00173611	0,10416667
40	8	-1,5	4,95833333	2,25	24,58506944	-7,43750000
41	3	-0,5	-0,04166667	0,25	0,00173611	0,02083333
42	4	0,5	0,95833333	0,25	0,91840278	0,47916667
43	1	1,5	-2,04166667	2,25	4,16840278	-3,06250000
44	4	2,5	0,95833333	6,25	0,91840278	2,39583333
45	5	3,5	1,95833333	12,25	3,83506944	6,85416667
46	8	4,5	4,95833333	20,25	24,58506944	22,31250000
47	3	5,5	-0,04166667	30,25	0,00173611	-0,22916667
48	2	6,5	-1,04166667	42,25	1,08506944	-6,77083333
49	3	7,5	-0,04166667	56,25	0,00173611	-0,31250000
50	2	8,5	-1,04166667	72,25	1,08506944	-8,85416667
51	2	9,5	-1,04166667	90,25	1,08506944	-9,89583333
52	6	10,5	2,95833333	110,25	8,75173611	31,06250000
53	5	11,5	1,95833333	132,25	3,83506944	22,52083333
54	6	12,5	2,95833333	156,25	8,75173611	36,97916667
55	3	13,5	-0,04166667	182,25	0,00173611	-0,56250000
56	1	14,5	-2,04166667	210,25	4,16840278	-29,60416667
57	0	15,5	-3,04166667	240,25	9,25173611	-47,14583333
58	3	16,5	-0,04166667	272,25	0,00173611	-0,68750000
59	1	17,5	-2,04166667	306,25	4,16840278	-35,72916667
60	0	18,5	-3,04166667	342,25	9,25173611	-56,27083333
61	0	19,5	-3,04166667	380,25	9,25173611	-59,31250000
62	0	20,5	-3,04166667	420,25	9,25173611	-62,35416667
63	1	21,5	-2,04166667	462,25	4,16840278	-43,89583333
64	0	22,5	-3,04166667	506,25	9,25173611	-68,43750000
65	0	23,5	-3,04166667	552,25	9,25173611	-71,47916667

 \bar{x}_i – средняя по $x = 41,5$, \bar{y}_i – средняя по $y = 3,042$.

r – расчетное значение коэффициента корреляции, вычисленное по формуле (1) [6].

Подставив расчетные значения в формулу (2), получим:

$$|\bar{r}| = 1 - \sqrt{1 - 0,28804^2} \frac{48 - 1}{48 - 2},$$

$$|\bar{r}| = 0,291158.$$

Далее необходимо вычислить среднюю ошибку вычисленного коэффициента корреляции и вероятность достоверности наличия взаимосвязи между возрастом пострадавших и количеством происшедших несчастных случаев соответственно. При количестве сопоставляемых пар (наблюдений) $n < 100$ средняя ошибка коэффициента корреляции m_r составит:

$$m_r = \sqrt{\frac{1 - r^2}{n - 2}}. \quad (3)$$

Подставив расчетные значения в формулу (3), получим:

$$m_r = \sqrt{\frac{1 - 0,28804^2}{48 - 2}},$$

$$m_r = 0,141193.$$

Для оценки существенности (значимости) коэффициента корреляции определим статистическое значение по формуле:

$$t_{\text{ст}} = \frac{|\bar{r}|}{m_r}, \quad (4)$$

$$t_{\text{ст}} = \frac{0,291158}{0,141193} = 2,062128.$$

Полученное статистическое значение сравниваем с теоретическим, используя таблицу квантили t -распределения Стьюдента для доверительной вероятности $1 - \alpha = 0,99$ в зависимости от числа степеней свободы $\nu = n - 2$, $\alpha_1 = 0,05$ и $\alpha_2 = 0,01$ [6].

Если $t_{\text{ст}} \leq t_{\alpha=0,05}$, то принимается нулевая гипотеза, т.е. $r = 0$ и, следовательно, связь между изучаемыми явлениями несущественна.

Если $t_{\text{ст}} > t_{\alpha=0,01}$, то нулевая гипотеза отклоняется и связь между явлениями считается установленной [6].

В данном случае получаем: $2,062128 < 2,690$, $t_{\text{ст}} \leq t_{\alpha=0,05}$.

На основании результата сравнения полученного статистического значения с теоретическим ясно, что взаимосвязь между парой рассматриваемых переменных «возраст пострадавшего» и «количество пострадавших в результате несчастных случаев на производстве» с вероятностью 0,99 % не установлена.

Для определения потенциальной взаимосвязи между факторным признаком «возраст пострадавшего», с учетом степени тяжести повреждения здоровья пострадавших работников ранжируем рассматриваемые количественные показатели на «легкие», «тяжелые» и «смертельные». Затем проведем дополнительный корреляционный анализ влияния количественных факторных признаков «возраст пострадавшего с легким исходом», «с тяжелым и смертельным исходом» на «количество пострадавших в результате несчастных случаев на производстве».

Посредством аналогичного способа с использованием формулы (1) произведем расчет коэффициента корреляции по анализируемым факторам. В результате получаем следующие коэффициенты корреляции: $r_{\text{ху легкий}} = -0,217$; $r_{\text{ху тяжелый}} = -0,18408$; $r_{\text{ху смертельный}} = -0,165$.

Выполнив коррекцию полученных значений коэффициента корреляции по модулю с помощью формулы (2), получаем:

$$r_{\text{ху легкий}} = -0,217;$$

$$r_{\text{ху тяжелый}} = -0,18408;$$

$$r_{\text{ху смертельный}} = -0,165.$$

$$|r|_{\text{легкий}} = 0,219449;$$

$$|r|_{\text{тяжелый}} = 0,186075;$$

$$|r|_{\text{смертельный}} = 0,167021.$$

Средняя ошибка коэффициента корреляции m_r , рассчитанная по формуле (3):

$$m_{r \text{ легкий}} = 0,143925;$$

$$m_{r \text{ тяжелый}} = 0,144922;$$

$$m_{r \text{ смертельный}} = 0,145415.$$

Оценим значимость полученных коэффициентов корреляции с помощью статистических значений $t_{\text{ст}}$, рассчитанных по формуле (4). Произведенные математические расчеты показывают, что $t_{\text{ст легкий}} = 1,52474$; $t_{\text{ст тяжелый}} = 1,28396$; $t_{\text{ст смертельный}} = 1,14858$.

Полученные статистические значения сравниваем с теоретическим t -распределением Стьюдента для доверительной вероятности $1 - \alpha = 0,99$ и в результате получаем, что $1,52474 < 2,690$; $1,28396 < 2,690$; $1,14858 < 2,690$.

В итоге $t_{\text{ст легкий}}$; $t_{\text{ст тяжелый}}$; $t_{\text{ст смертельный}} < t_{\alpha=0,05}$, что с вероятностью 0,99 % свидетельствует об отсутствии взаимосвязи между рассматриваемыми переменными «возраст пострадавшего с легким исходом», затем – «с тяжелым и смертельным исходом» на «количество пострадавших в результате несчастных случаев на производстве». Проведенный корреляционный анализ показывает, что возраст работников, пострадавших в результате несчастных случаев на производстве, не влияет на статистические количественные показатели производственного травматизма, и поставленную гипотезу в рамках путевого хозяйства Куйбышевской железной дороги следует опровергнуть.

Подобным способом определим наличие или отсутствие взаимосвязи между стажем работников по специальности, пострадавших в результате несчастных случаев на производстве, и статистическими количественными показателями производственного травматизма.

Гипотеза: стаж работника по специальности влияет на безопасность труда, и с увеличением его продолжительности у работников растут профессиональная компетентность и мастерство, как следствие, снижается уровень риска наступления несчастного случая.

Используя данные проведенного апостериорно-агрегированного ста-

тистического анализа по факторному признаку «стаж работника по специальности», определим степень его влияния на признак «количество пострадавших в результате несчастных случаев на производстве».

Стаж пострадавших от несчастных случаев на производстве рассмотрим в дискретной шкале наблюдений 0, 1, 2, ..., 23, где количество наблюдений равно 24. Для расчета коэффициента корреляции r_{xy} используем идентифицированные и ранжированные количественные значения по общему количеству пострадавших по фактору «стаж работы по специальности» и подставляем их в формулу вычисления коэффициента корреляции (1). Полученные расчетные данные трансформируем в таблицу 2.

Коэффициент корреляции $r_{xy \text{ общий}} = -0,78762$.

Корреляционный анализ влияния количественных факторных признаков «стаж работника по специальности с легким исходом», далее – «с тяжелым и смертельным исходом» на «количество пострадавших в результате несчастных случаев на производстве» показывает, что $r_{xy \text{ легкий}} = -0,77482$; $r_{xy \text{ тяжелый}} = -0,78762$; $r_{xy \text{ смертельный}} = -0,65459$.

Выполнив коррекцию полученных значений коэффициента корреляции по модулю с помощью формулы (2), получаем:

$$|\bar{r}|_{\text{общий}} = 0,805321;$$

$$|\bar{r}|_{\text{легкий}} = 0,792233;$$

$$|\bar{r}|_{\text{тяжелый}} = 0,686798;$$

$$|\bar{r}|_{\text{смертельный}} = -0,6693.$$

Средняя ошибка коэффициента корреляции m_r , рассчитанная по формуле (3), составит: $m_{r \text{ общий}} = 0,131366$; $m_{r \text{ легкий}} = 0,134781$; $m_{r \text{ тяжелый}} = 0,157943$; $m_{r \text{ смертельный}} = 0,16523$.

Для оценки существенности (значимости) полученных коэффициентов корреляции рассчитаем статистические значения $t_{\text{ст}}$ по формуле (4): $t_{\text{ст общий}} = 6,130343$; $t_{\text{ст легкий}} = 5,878947$; $t_{\text{ст тяжелый}} = 4,348376$; $t_{\text{ст смертельный}} = 4,152591$.

Таблица 2

Расчетные данные для вычисления коэффициента корреляции

Стаж работы по специальности, x , лет	Кол-во пострадавших, y , чел.	$x_i - \bar{x}$	$y_i - \bar{y}$	$(x_i - \bar{x})^2$	$(y_i - \bar{y})^2$	$(x_i - \bar{x}) \cdot (y_i - \bar{y})$
0	20	-11,5	13,91666667	132,25	193,6736111	-160,0416666
1	21	-10,5	14,91666667	110,25	222,5069444	-156,6250000
2	16	-9,5	9,91666667	90,25	98,34027778	-94,20833333
3	12	-8,5	5,91666667	72,25	35,00694444	-50,29166667
4	9	-7,5	2,91666667	56,25	8,50694444	-21,87500000
5	7	-6,5	0,91666667	42,25	0,84027778	-5,95833333
6	8	-5,5	1,91666667	30,25	3,67361111	-10,54166667
7	3	-4,5	-3,08333333	20,25	9,50694444	13,87500000
8	4	-3,5	-2,08333333	12,25	4,34027778	7,29166667
9	4	-2,5	-2,08333333	6,25	4,34027778	5,20833333
10	4	-1,5	-2,08333333	2,25	4,34027778	3,12500000
11	4	-0,5	-2,08333333	0,25	4,34027778	1,04166667
12	6	0,5	-0,08333333	0,25	0,00694444	-0,04166667
13	7	1,5	0,91666667	2,25	0,84027778	1,37500000
14	1	2,5	-5,08333333	6,25	25,84027778	-12,70833333
15	0	3,5	-6,08333333	12,25	37,00694444	-21,29166667
16	2	4,5	-4,08333333	20,25	16,67361111	-18,37500000
17	4	5,5	-2,08333333	30,25	4,34027778	-11,45833333
18	5	6,5	-1,08333333	42,25	1,17361111	-7,04166667
19	2	7,5	-4,08333333	56,25	16,67361111	-30,62500000
20	3	8,5	-3,08333333	72,25	9,50694444	-26,20833333
21	1	9,5	-5,08333333	90,25	25,84027778	-48,29166667
22	0	10,5	-6,08333333	110,25	37,00694444	-63,875
23	3	11,5	-3,08333333	132,25	9,50694444	-35,45833333

x_i – средняя по $x = 11,5$, y_i – средняя по $y = 6,21733$.

Полученные статистические значения сравниваем с теоретическим t -распределением Стьюдента для доверительной вероятности $1 - \alpha = 0,99$ и в результате получаем соответственно, что $6,130343 > 2,819$; $5,878947 > 2,819$; $4,348376 > 2,819$; $4,152591 > 2,819$.

В итоге $t_{\text{ст общий}}$; $t_{\text{ст легкий}}$; $t_{\text{ст тяжелый}}$; $t_{\text{ст смертельный}} > t_{\alpha} = 0,01$, что с вероятностью 0,99 % свидетельствует об установленной взаимосвязи между рассматриваемыми переменными «стаж работника по специальности» и «количество

пострадавших в результате несчастных случаев на производстве».

По полученным значениям коэффициентов корреляции определим направление и степень влияния стажа работника по специальности на показатели производственного травматизма.

Значение коэффициента корреляции заключается между -1 и $+1$. При значении r_{xy} , равном -1 и $+1$, связь между исследуемыми переменными обратная или прямая.

Поэтому $r_{\text{хуобщий}} = -0,78762 \pm 0,13$; $r_{\text{хулегкий}} = -0,77482 \pm 0,13$; $r_{\text{хутяжелый}} = -0,6717 \pm 0,16$; $r_{\text{хусмертельный}} = -0,65459 \pm 0,16$ удостоверяют обратную корреляционную зависимость, подтверждающую постановочную гипотезу: с увеличением стажа работника по специальности наблюдается тенденция к снижению количественных показателей производственного травматизма.

Качественную оценку тесноты связи корректированных значений коэффициентов $|\bar{r}|_{\text{общий}} = 0,805321$; $|\bar{r}|_{\text{легкий}} = 0,792233$; $|\bar{r}|_{\text{тяжелый}} = 0,686798$; $|\bar{r}|_{\text{смертельный}} = -0,6693$ определим на основе шкалы Чеддока [4, 7]:

- $0,1 < |\bar{r}| < 0,3$ (слабая);
- $0,3 < |\bar{r}| < 0,5$ (умеренная);
- $0,5 < |\bar{r}| < 0,7$ (заметная);
- $0,7 < |\bar{r}| < 0,9$ (высокая);
- $0,9 < |\bar{r}| < 1,0$ (весьма высокая).

Проведенные научные исследования за период 2004–2015 гг. в рамках хозяйства пути Куйбышевской железной дороги показывают, что между стажем работника по специальности и статистическими показателями производственного травматизма есть высокая взаимосвязь. Полученные результаты корреляционного анализа показывают, что с увеличением продолжительности стажа работника по специальности снижается

профессиональный риск в результате воздействия опасного фактора, следовательно, наступления несчастного случая на производстве.

Для повышения безопасности труда и минимизации травмирования работников руководителям структурных подразделений предприятий хозяйства пути Куйбышевской железной дороги необходимо использовать результаты проведенного корреляционного анализа. Это можно сделать идентификацией и ранжированием работников по продолжительности стажа.

Предложенный подход имеет практическое значение в части формирования и (или) корректировки планов и программ, направленных на обучение безопасным методам и приемам выполнения работ категорий лиц, имеющих малый и непродолжительный стаж работы по специальности.

Применение предложенных профилактических мероприятий с учетом продолжительности стажа работника по специальности способствует снижению уровня риска наступления несчастного случая на производстве, следовательно, повышает безопасность труда работников, занятых текущим содержанием и ремонтом пути. ■

Литература

1. Дементьева Ю.В. Апостериорно-агрегированный анализ абсолютных и относительных показателей производственного травматизма // Инновационная наука. 2016. № 2. С. 64–67. ISSN 2410-6070.
2. Терешин В.С., Каменский В.Б. Охрана труда в путевом хозяйстве. М. : Транспорт, 1999. 320 с.
3. Анализ состояния условий и охраны труда, промышленной пожарной и электробезопасности на Куйбышевской железной дороге за период 2004–2015 гг. – Самара : ОАО «РЖД» Куйбышевская железная дорога – филиал ОАО «РЖД», 2016. – 52 с.
4. Анфилофьев Б.А., Дементьева Ю.В. Степень взаимосвязи динамики производственного травматизма и возраста работника в хозяйстве дистанции пути (на примере Куйбышевской ж.д.) // Вестник транспорта Поволжья. 2014. № 4 (46). С. 131–136. ISSN 1997-0722.
5. Дементьева Ю.В. Оценка влияния стажа работы по специальности работника на показатели производственного травматизма (на примере дистанции пути Куйбышевской ж.д.) // Мир транспорта. 2015. № 1 (56). С. 198–204. ISSN 1992-3252.
6. Чернов Е.Д. Математико-статистические методы исследования причин производственного травматизма. – Нижний Новгород : НИИЖТ, 1979. 40 с.
7. Спирин А.А., Башина О.Э. Общая теория статистики. Статистическая методология в изучении коммерческой деятельности. М. : Финансы и статистика, 1997. 296 с.

References

1. Dementyeva Yu.V. Aposteriorno-agregirovannyj analiz absolyutnyh i otnositel'nyh pokazatelej proizvodstvennogo travmatizma [A posterior and aggregate analysis of absolute and relative indicators of workplace injuries] // Innovative science. 2016. Issue № 2. P. 64–67. ISSN 2410-6070.
2. Tereshin V.S., Kamenskiy V.B. Ohrana truda v putevom hozyajstve [Occupational health and safety at railway track facilities]. M. : Transport, 1999. 320 p.
3. Analysis of working conditions and work safety, fire and electrical safety at the Kuibyshev railway for the period of 2004–2015 [Analiz sostoyaniya uslovij i ohrany truda, promyshlennoj pozharnoj i ehlektrobezopasnosti na Kujbyshevskoj zheleznoj doroge za period 2004–2015 gg.]. – Samara: OJSC RZhD Kuibyshev Railway – branch of OJSC RZhD, 2016. – 52 p.
4. Anfilofiev B.A., Dementyeva Yu.V. Stepen' vzaimosvyazi dinamiki proizvodstvennogo travmatizma i vozrasta rabotnika v hozyajstve distancii puti (na primere Kujbyshevskoj zh.d.) [Degree of correlation between workplace injuries and employees' age at railway track facilities (using the Kuibyshev railway as an example)] // Vestnik transporta Povolzhya. 2014. Issue № 4 (46). P. 131–136. ISSN 1997-0722.
5. Dementyeva Yu.V. Ocenka vliyaniya stazha raboty po special'nosti rabotnika na pokazateli proizvodstvennogo travmatizma (na primere distancii puti Kujbyshevskoj zh.d.) [Impact assessment of the period of employee's service in the same occupation on workplace injury indicators (using the Kuibyshev railway as an example)] // World of transport. 2015. Issue № 1 (56). P. 198–204. ISSN 1992-3252.
6. E.D. Chernov. Matematiko-statisticheskie metody issledovaniya prichin proizvodstvennogo travmatizma [Mathematical and statistical methods for research of workplace injury causes]. – Nizhny Novgorod: NIIZhT, 1979. 40 p.
7. A.A. Spirin, O.E. Bashina. Obshchaya teoriya statistiki. Statisticheskaya metodologiya v izuchenii kommercheskoj deyatel'nosti [General Theory of Statistics. Statistical methodology in studying business activities]. M. : Finances and statistics, 1997. 296 p.

Статья сдана в редакцию 18 апреля 2016 года

Строительные конструкции

УДК 624.012

С.М. Скоробогатов, А.В. Куршпель

К расчету остаточного ресурса железобетонных конструкций существующих зданий и сооружений

UDC 624.012

S.M. Skorobogatov, A.V. Kurshpel

On calculation of remaining life time of reinforced concrete structures of existing buildings and facilities

Аннотация

Работа посвящена изучению вопросов долговечности железобетонных конструкций зданий и сооружений (в том числе на железных дорогах) с различным сроком эксплуатации. Рассмотрены теоретические основы образования дефектов, накапливающихся в бетоне с течением времени и приводящих к разрушению железобетонных конструкций. На базе проведенных авторами экспериментальных исследований с бетонными образцами, выпиленными из конструкций, находящихся в эксплуатации более 70 лет, в сравнении с образцами-близнецами из бетонов различной прочности в возрасте одного года, определены значения критического коэффициента интенсивности напряжений K_{IC} , по величине которого можно определить остаточный ресурс существующих зданий и сооружений. Экспериментальная установка состояла из опорной балки, шарнирных тяг, домкрата с насосной станцией и силовых элементов из прокатных швеллеров, между которыми устанавливали опытный образец с надрезами. До начала испытаний на боковые поверхности бетонных образцов в зоне чистого изгиба с двух сторон наклеивались тензометрические датчики на бумажной основе с базой 50 мм. Регистрацию показаний датчиков проводили с помощью тензометрической системы СИИТ-2. В ходе эксперимента на экране монитора строилась диаграмма $F-\epsilon$, по характеру которой принималось решение о дальнейшем увеличении нагрузки или о разгрузке образцов.

Ключевые слова: бетон, скрытые дефекты, характеристики трещиностойкости, остаточный ресурс, железобетонные конструкции.

DOI:10.20291/2079-0392-2016-3-148-155

Abstract

The article is devoted to issues of lifetime of concrete structures installed in buildings and facilities with different length of useful life. The authors consider the theoretical foundations of occurrence of defects accumulating in concrete over time and resulting in destruction of reinforced concrete structures. On the basis of the experimental analysis conducted by the authors who used the concrete cores cut out from structures being in operation for more than 70 years and compared them with the similar 1-year-old cores made of concrete with different strength characteristics, values of the critical stress intensity factor K_{IC} were defined which enable us to determine the remaining life time of the existing buildings and facilities. The experimental unit consisted of a support beam, articulated rods, jack with a pump station and load-bearing elements made from rolled channels between which the notched test cores were installed. Before the tests, paper-based strain-gauge transducers with 50 mm measurement base were fixed on two sides of concrete cores in the area of pure bending. Transducer readings were registered using SIIT-2 strain-measurement system. During the experiment the $F-\epsilon$ diagram was being built on the monitor screen; on the basis of the diagram behavior the decisions were made regarding further load increase or unloading of the cores.

Key words: concrete, concealed defects, crack resistance characteristics, remaining life time, reinforced concrete structures.

DOI:10.20291/2079-0392-2016-3-148-155

Семен Макеевич Скоробогатов, д-р техн. наук, профессор, член-корр. РАН; кафедра «Строительные конструкции и строительное производство» Уральского государственного университета путей сообщения; Екатеринбург, Россия.

Алексей Владимирович Куршпель, канд. техн. наук; доцент кафедры «Строительные конструкции и строительное производство» Уральского государственного университета путей сообщения; Екатеринбург, Россия. E-mail: a.kurshpel@yandex.ru.

Semen Makeevich Skorobogatov, DSc (Engineering); Professor, correspondent member of Russian Academy of Architecture and Construction Sciences; Department of Building Structures and Building Industry, Ural State University of Railway Transport; Ekaterinburg, Russia.

Aleksey Vladimirovich Kurshpel, Cand.Sc. (Engineering); Assistant Professor, Department of Building Structures and Building Industry, Ural State University of Railway Transport; Ekaterinburg, Russia. E-mail: a.kurshpel@yandex.ru.

В отрасли железнодорожного хозяйства используется множество объектов различного назначения, возведенных из железобетона. Это мосты, туннели, здания и сооружения различного назначения, которые эксплуатируются в сложных условиях многократно повторных нагрузок и агрессивных факторов окружающей среды. С течением времени в железобетонных конструкциях накапливаются дефекты, определяющие их пригодность к дальнейшей эксплуатации. В результате старения, понимаемого как естественный временной процесс, происходит изменение структуры бетона, проявляются скрытые дефекты – микро- и макротрещины, приводящие к разрушению бетонных и железобетонных конструкций при длительной эксплуатации.

Основы механики хрупкого разрушения были заложены А. Гриффитсом [1]. Он показал, что рост трещин в материалах связан с уменьшением количества энергии, запасенной телом при действии нагрузок. В процессе распространения трещины в материале, непосредственно примыкающем к ней, напряжения уменьшаются, а упругая энергия, запасенная в этой части тела, высвобождается, переходя в потенциальную энергию деформации материала.

Величину удельной потенциальной энергии деформации, высвобождаемой в зоне чистого изгиба балки при образовании макротрещины, можно рассчитать по формуле:

$$U = \frac{\sigma \pi l^2}{2E}, \quad (1)$$

где σ – номинальное напряжение в материале; πl^2 – площадь релаксации бетона вокруг образовавшейся трещины; l – полудлина трещины.

С другой стороны, энергия, которая расходуется на образование двух новых поверхностей вокруг новой трещины внутри объема материала, равна

$$G = 2l\gamma, \quad (2)$$

где γ – удельная плотность поверхностной энергии.

Общая энергия тела W равна поверхностной энергии $G = 2l\gamma$ минус энергия

$$U = \frac{\sigma \pi l^2}{2E}, \text{ которая высвобождается при}$$

образовании трещины длиной $2l$:

$$W = 2l\gamma - \frac{\pi \sigma^2 l^2}{2E}. \quad (3)$$

При плоском напряженном состоянии удельную плотность поверхностной энергии при образовании и развитии трещины можно рассчитать по формуле:

$$\gamma = K_{IC}^2 / 2E, \quad (4)$$

где K_{IC} – критический коэффициент интенсивности напряжений, определяемый из экспериментов по диаграммам состояния F – f или F – ϵ и рассматриваемый как некоторая постоянная характеристика, связанная с долговечностью работы бетона при эксплуатации.

Подставляя (4) в (3), получим формулу общей энергии для изгибаемого бетонного элемента, в котором поверхностная энергия и высвобождаемая при образовании или подрастании трещины выражены через известные параметры.

$$W = \left(l \cdot K_{IC}^2 - \frac{\pi \sigma^2 l^2}{2} \right) \frac{1}{E}. \quad (5)$$

Как видно, количество энергии, высвобождаемой при образовании или развитии трещины, пропорционально квадрату ее длины, а количество энергии, расходуемое на образование новых поверхностей трещины (на развитие трещины), пропорционально первой степени ее длины. В результате при увеличении длины трещины с некоторого момента выделяется больше энергии, чем необходимо для развития трещины. Поэтому при неравновесных испытаниях образуется одна магистральная трещина, которая развивается стремительно и безостановочно, разрушая испытываемый образец бетона.

При равновесных испытаниях, когда развитие магистральной трещины

может быть остановлено на любом уровне действующей нагрузки, избыточная энергия, высвободившаяся при ее развитии, расходуется на образование новых мелких трещин в растянутом бетоне, прилегающем к магистральной трещине.

Кроме того, наличие в бетоне зерен крупного заполнителя и значительных пустот на пути движения магистральной трещины существенно влияет на направление ее развития, искривляя ее движение и способствуя образованию новых ветвей трещины на более слабых участках материала.

Критическое напряжение в растянутой зоне бетона для заданной длины трещины определены по формуле

$$\sigma^* = \frac{\sqrt{2E\gamma}}{(\pi l)}. \quad (6)$$

Подставляя выражения (4) и (6) в формулу (3), получим значение избытка высвобождаемой энергии, идущей на образование новых трещин на каждом последующем витке приложения нагрузки, который увеличивается

ется по мере роста магистральной трещины

$$W_i = 2l\gamma - l\gamma = \frac{K_{1C^2} \cdot l}{2E}. \quad (7)$$

В результате происходит разрыхление структуры бетона в растянутой зоне с образованием сети мелких трещин в локальных объемах бетона.

Для определения характеристик вязкости бетонов с различным сроком службы в растянутой зоне изгибаемых элементов использованы диаграммы $F-\varepsilon$ с нисходящей ветвью, которые получали при равновесных испытаниях, изгибаемых бетонных образцов на достаточно простой экспериментальной установке (рис. 1 [2, 3]).

До начала испытаний на боковые поверхности бетонных образцов в зоне чистого изгиба с двух сторон наклеивались тензометрические датчики на бумажной основе с базой 50 мм.

Геометрические размеры, схема расположения испытываемого образца в испытательной установке и места наклейки тензометрических датчиков показаны на рис. 2.

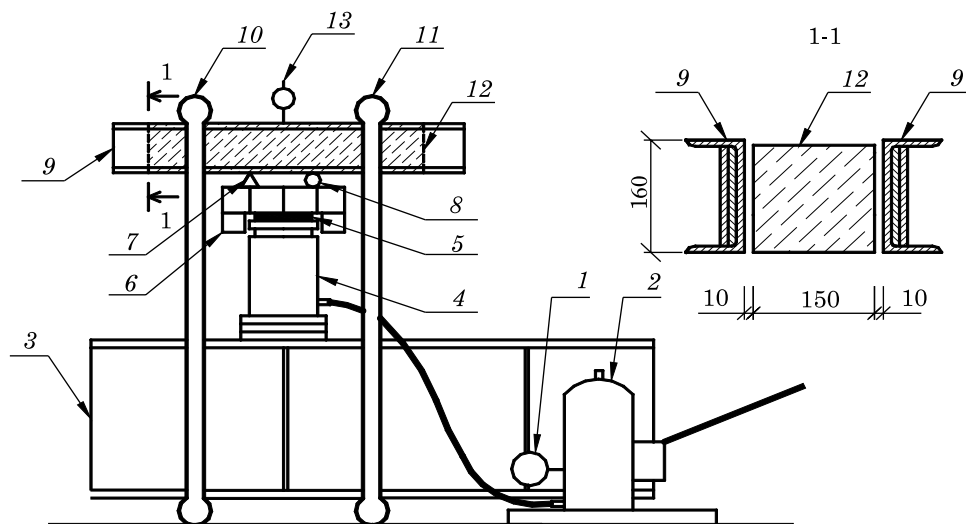


Рис. 1. Схема экспериментальной установки

1 – манометр; 2 – ручная насосная станция; 3 – опорная балка; 4 – гидравлический домкрат; 5 – шарнир; 6 – траверса; 7 – ножевая опора; 8 – катковая опора; 9 – силовой элемент из усиленных швеллеров 16П/ГОСТ 8240-93; 10 – неподвижная тяга; 11 – подвижная тяга; 12 – испытываемый образец; 13 – индикатор с ценой деления 0,1 мм

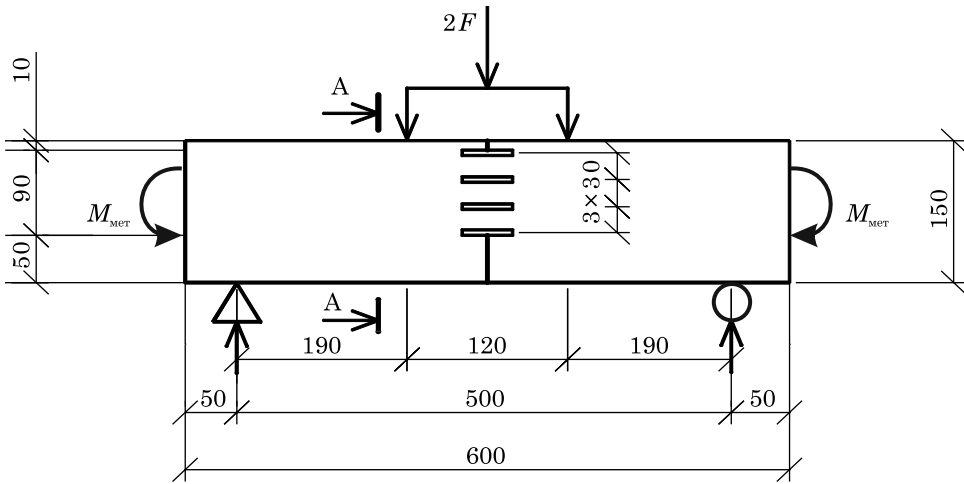


Рис. 2. Схема испытания опытных образцов

Часть опытных балок для испытаний были выпилены из бетонных конструкций существующего здания шихтового пролета мартеновского цеха со сроком службы в агрессивных условиях окружающей среды в течение более 70 лет. Проектная марка бетона по

проекту – М110. Действительная прочность бетона на сжатие и растяжение непосредственно перед экспериментом определена путем испытания бетонных кубов размером 150×150×150 мм в лабораторных условиях (рис. 3).

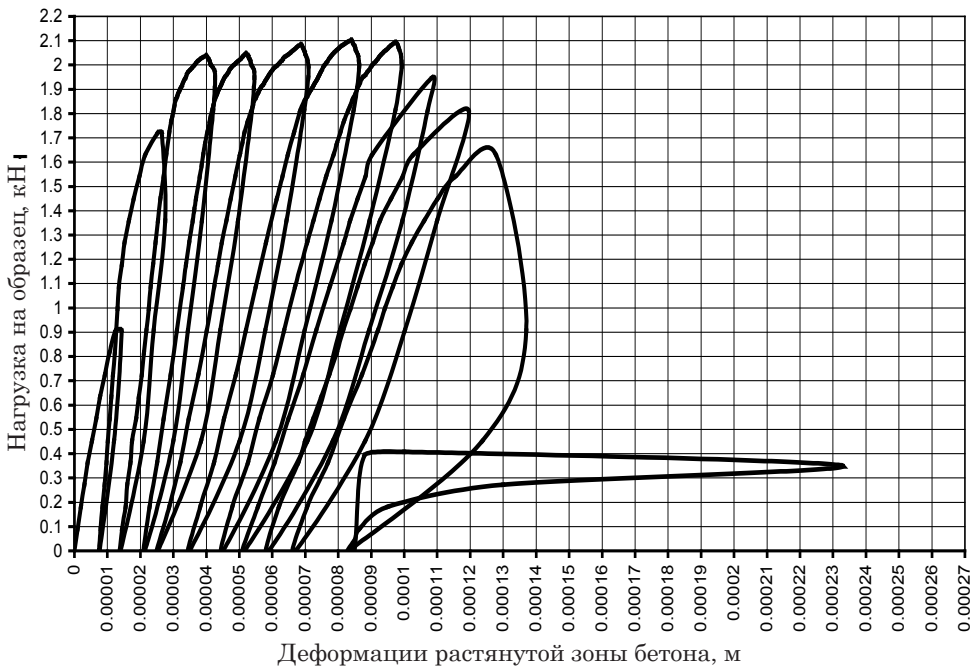


Рис. 3. Характерная диаграмма $F-\epsilon$ при повторно-статических нагрузках бетонной балки при изгибе (возраст 70 лет)

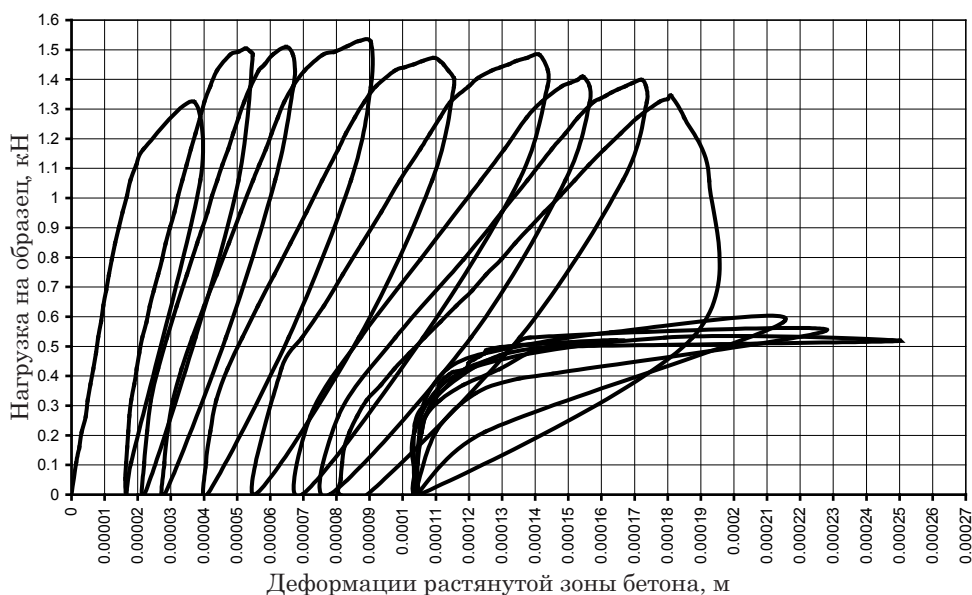


Рис. 4. Характерная диаграмма F – ϵ при повторно-статических нагрузках бетонной балки при изгибе (возраст 1 год)

В эксперименте одновременно испытывали бетонные балки-близнецы в возрасте 1 года (рис. 4).

Регистрацию показаний датчиков проводили с помощью тензометрической системы СИИТ-2. В ходе эксперимента на экране монитора строилась диаграмма F – ϵ , по характеру которой принималось решение о дальнейшем увеличении нагрузки или о разгрузке образцов в случае интенсивного роста деформаций бетона в растянутой зоне на очередном этапе приложения нагрузки.

При интенсивном нарастании деформаций производилась разгрузка образца ступенями до нулевого уровня. После пяти-, десятиминутной выдержки испытания образца повторялось по той же схеме. При этом на каждом последующем этапе нагрузки-разгрузки происходило постепенное нарастание

остаточных деформаций бетона, что свидетельствовало о накоплении внутренних повреждений в массиве бетона, вызванных образованием новых микро- и макротрещин.

В таблице представлены результаты определения величин коэффициентов K_{1C} и критических напряжений σ^* по результатам экспериментов с вышленными образцами из бетона со сроком эксплуатации более 70 лет (серия I) в сравнении с образцами из бетона различной прочности в возрасте 1 года (серии II, III).

Представленные материалы свидетельствуют, что значения характеристик вязкости разрушения, определенные нами по указанной методике, в целом совпадают с данными других авторов, опубликованными в литературных источниках [4–7].

Образец	R_b , МПа	R_{bt} , МПа	E_b , МПа	σ^* , МПа	K_C , Мпа · м ^{0.5}	σ^*/R_{bt}
Серия I	11,6	1,15	24400	0,580	0,230	0,504
Серия II	7,4	0,84	18580	0,813	0,322	0,968
Серия III	17,5	1,51	29860	1,300	0,514	0,861

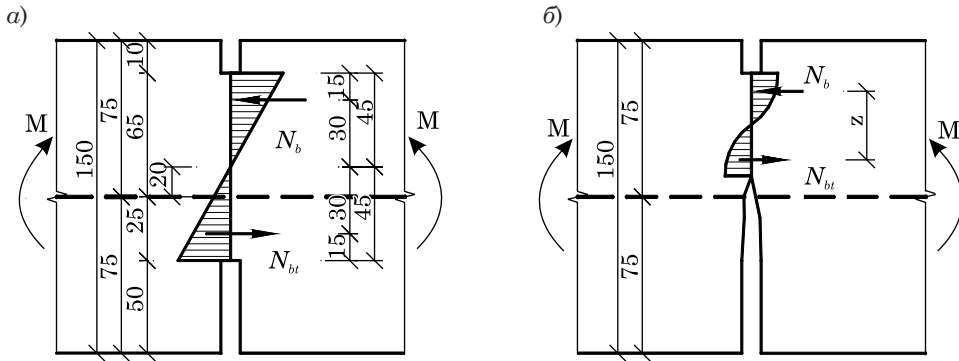


Рис. 5. Напряженное состояние бетонного образца
а – в начале нагружения; б – в конце испытаний

Как видно, средняя величина коэффициента K_{1C} для монолитного бетона построечного изготовления длительного срока эксплуатации оказалась равной $0,23 \text{ МПа} \cdot \text{м}^{0,5}$, что существенно меньше, чем для образцов-близнецов заводского изготовления, равных $0,322$ и $0,514 \text{ МПа} \cdot \text{м}^{0,5}$, несмотря на то, что прочностные показатели этого бетона (R_b , R_{bt} , E_b) за прошедшие более чем 70 лет эксплуатации оказались значительно выше по сравнению с исходной прочностью старого бетона проектной марки М110 в стадии его изготовления.

Схема напряженного состояния бетонного образца с начальными надрезами при движении магистральной трещины представлена на рис. 5.

Указанная схема работы бетона в растянутой зоне изгибаемых элементов предполагает развитие микротрещин в объеме бетона растянутой зоны в месте предполагаемого развития магистральной трещины (над искусственными надрезами в бетонных образцах). Причем с каждым новым витком нагружения-разгрузки в работу вовлекаются все новые, не разрушенные ранее участки растянутого бетона, с микродефектами вблизи магистральной трещины, поскольку с уменьшением высоты сжатой зоны бетона энергии на образование трещин требуется все меньше, а величина ступеней статической нагрузки

остается практически постоянной. Поэтому зона поражения бетона растянутой зоны изгибаемого элемента локальными трещинами с каждым последующим витком нагружения-разгрузки должна увеличиваться.

Зависимость остаточного ресурса бетона в конструкциях от величины критического коэффициента интенсивности напряжений при деформациях нормального отрыва K_{1C} , $\text{МПа} \cdot \text{м}^{0,5}$ для старых бетонов получена путем аппроксимации аналогичной зависимости, опубликованной в статье [5] (рис. 6).

Выводы

1. При равновесных испытаниях бетонных образцов, когда развитие магистральной трещины можно остановить на любом этапе нагружения, высвобождающаяся энергия в материале расходуется на образование новых трещин в неразрушенных на предшествующих ступенях участках бетона, что снижает срок службы железобетонных конструкций в стадии эксплуатации.

2. Основные показатели вязкости разрушения (K_{1C} , σ^*) для старого бетона длительного срока службы оказались значительно ниже, чем у свежесформованных бетонов, что свидетельствует о невысоком остаточном ресурсе этого бетона в конструкциях, эксплуатируемых на открытом воздухе в агрессивных условиях окружающей среды.

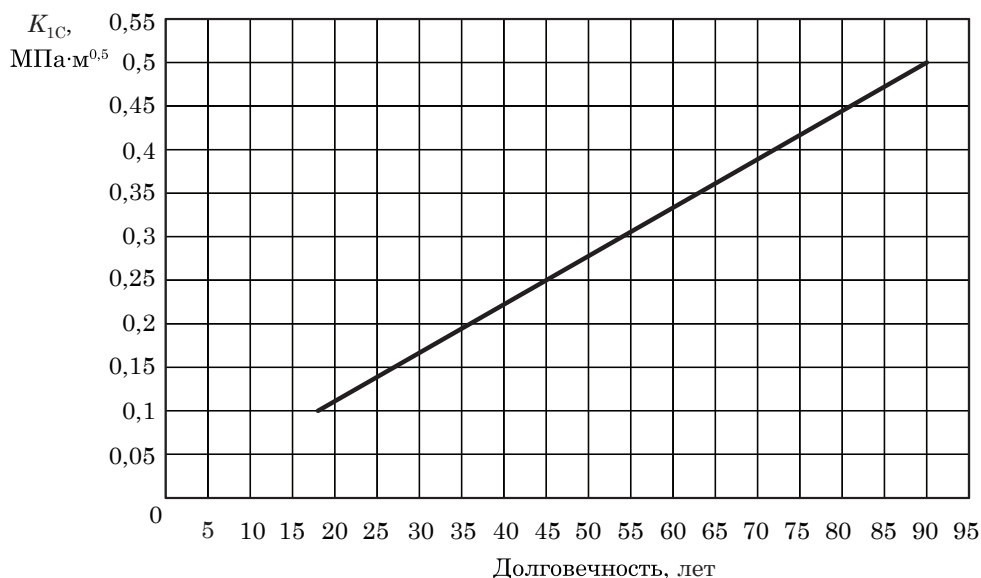


Рис. 6. Зависимость долговечности бетона в конструкциях от величины критического коэффициента интенсивности напряжений K_{1C} , МПа · м^{0,5}

3. По величине K_{1C} – критического коэффициента интенсивности напряжений – можно определить остаточный ресурс железобетонных конструкций

в эксплуатирующихся зданиях и сооружениях. С уменьшением величины K_{1C} остаточный ресурс уменьшается. ■

Литература

1. Гузеев Е.А., Леонович С.Н., Пирадов К.А. Механика разрушения бетона: вопросы теории и практики. Брест : БПИ, 1999. 218 с.
2. Куршпель А.В., Скоробогатов С.М. Методика определения характеристик трещиностойкости для бетона с различным сроком службы. Екатеринбург, 2004. С. 112–117.
3. Куршпель А.В., Скоробогатов С.М., Куршпель В.Х. Опыт построения кривой напряжения-деформации при равновесных испытаниях бетонных образцов // Вестник УГТУ-УПИ. 2004. С. 62–65.
4. Пирадов К.А. Теоретические и экспериментальные основы механики разрушения бетона и железобетона. Тбилиси : Энергия, 1998. 318 с.
5. Пирадов К.А. и др. Физико-механические, силовые, энергетические и структуроформирующие параметры бетона // Бетон и железобетон. 2002. № 2.
6. Зайцев Ю.В. Моделирование деформаций и прочности бетона методами механики разрушений. М. : Стройиздат, 1982. 196 с.
7. Черепанов Г.П. Механика хрупкого разрушения. М. : Наука, 1974. 640 с.

References

1. Guzeev E.A., Leonovich S.N., Piradov K.A. Mekhanika razrusheniya betona: voprosy teorii i praktiki [Concrete Fracture Mechanics: Theory and Practice]. Brest: BPI, 1999. 218 p.
2. Kurshpel A.V., Skorobogatov S.M. Metodika opredeleniya harakteristik treshchinostojkosti dlya betona s razlichnym srokom sluzhby [Methods of determining the crack resistance characteristics of concrete with different life]. Ekaterinburg, 2004. P. 112–117.
3. Kurshpel A.V., Skorobogatov S.M., Kurshpel W.H. Opyt postroeniya krivoj napryazheniya-deformatsii pri rovnovesnyh ispytaniyah betonnyh obrazcov [The stress-strain curve construction experience at equilibrium tests of concrete samples] // Herald of Ural State Technical University, 2004. P. 62–65.

4. Piradov K.A. Teoreticheskie i ehksperimental'nye osnovy mekhaniki razrusheniya betona i zhelezobetona [Theoretical and experimental fundamentals of fracture mechanics of concrete and reinforced concrete]. Tbilisi: Energiya, 1998. 318 p.
5. Piradov K.A. and others. Fiziko-mekhanicheskie, silovye, ehnergeticheskie i strukturoformiruyushchie parametry betona [Physical-mechanical, power, energy and structure forming parameters] // Concrete and reinforced concrete. 2002. №2.
6. Zaitsev Y. Modelirovanie deformacij i prochnosti betona metodami mekhaniki razrushenij [Modelling of deformation and resistance of concrete using the methods of fracture mechanics]. M. : Stroyizdat, 1982. 196 p.
7. Cherepanov G.P. Mekhanika hрупкого razrusheniya [The mechanics of brittle fracture]. M. : Nauka, 1974. 640 p.

Статья сдана в редакцию 20 мая 2016 года

Организация образовательного процесса

УДК 377.031

Я.В. Чуб

Формирование общепрофессиональных компетентностей студента средствами непрофильных учебных дисциплин в контексте будущей профессиональной деятельности

UDC 377.031

Ya.V. Chub

Forming of student's general professional competence using means of non-major subjects within context of future professional activity

Аннотация

Актуализирована проблема формирования общепрофессиональной компетентности студента вуза в контексте его будущей профессиональной деятельности в условиях непрофильных учебных дисциплин. Проведен анализ структуры деятельности человека, выявлены универсальные признаки и формы их проявления в различных её видах. Представлен способ погружения студента в ситуацию профессиональной деятельности на внешнем и внутреннем уровнях. Внешний контекст обеспечивается подбором физкультурно-спортивной деятельности, схожей по основным признакам с профессиональной деятельностью, внутренний – применением методов активного обучения

и самостоятельной работой студента, стимулирующих мыследеятельность в соответствии с этапами технологического мышления от анализа проблемной ситуации до выявления способа устранения проблемы. Предложены организационно-методические условия формирования общепрофессиональной технологической компетентности в непрофильной дисциплине «Физическая культура», основанные на концепции контекстно-компетентностного обучения.

Представлены результаты опытно-поисковой работы по реализации профессионально ориентированной методики обучения по дисциплине «Физическая культура», разработанной в соответствии с теоретической моделью, которые показывают

статистически значимое повышение уровня сформированности общепрофессиональной технологической компетентности.

Ключевые слова: классификатор деятельности, контекстно-компетентностное обучение, физкультурно-спортивная деятельность, общепрофессиональная технологическая компетентность.

DOI:10.20291/2079-0392-2016-3-156-165

Abstract

The article updates the issue of forming the general professional competence of a railway higher educational institution student within the context of his/her future professional activity under conditions of non-major subjects. The author conducts the analysis of man activity structure

Яна Владимировна Чуб, канд. пед. наук, доцент; кафедра «Физическое воспитание» Уральского государственного университета путей сообщения; Екатеринбург, Россия. E-mail: uralbasket@bk.ru.

Работа выполнена по заказу Уральского государственного университета путей сообщения.

Yana Vladimirovna Chub, Cand.Sc. (Teaching), Assistant Professor; Department of Physical Education, Ural State University of Railway Transport; Ekaterinburg, Russia. E-mail: uralbasket@bk.ru.

The article is prepared on request of the Ural State University of Railway Transport.

and detects universal features and forms of their appearance in different kinds. The article submits the way of external and internal immersion of a student into a professional activity situation. The external context is provided by selection of physical and sport activities similar to the professional activity in their main features, the internal context is arranged by applying methods of active learning and individual work of a student encouraging mental activity in accordance with the

stages of production thinking starting from the analysis of a problem situation to the finding of a way to solve that problem. The article offers organizational and methodological conditions of forming the general professional technology competence in the non-major subject «Physical education» based on the concept of context and competence education.

The article contains the results of the experimental and survey work on implementation of the profession-orient-

ted teaching methods on the subject «Physical education», developed in accordance with the theoretical model. These results show the statistically significant improvement of the formed level of general professional technology competence.

Key words: activity classifier, context and competence education, physical and sport activities, general professional technology competence.

DOI:10.20291/2079-0392-2016-3-156-165

Переход цивилизации в новое (иное) состояние, отмечаемое как постиндустриальное, информационное и др., обеспечивает рост материального благополучия людей, удобства и комфорта жизни. Но стремление людей повысить комфорт и устойчивость существования ведет к возрастанию их личностного, социального и профессионального дискомфорта и неустойчивости в средне- и долгосрочной перспективе.

Одну из ключевых ролей в профессиональном становлении личности играет процесс высшего профессионального образования. На современном этапе система высшего профессионального образования подвергается разностороннему обновлению. Требования к формированию компетенций и компетентностей, применение личностно-развивающих технологий, повышение доли самостоятельной работы студента становятся нормой организации учебного процесса в вузе. Но из-за недостаточности методических разработок и организационных мер, обеспечивающих профессионально-ориентированный вектор личностного развития, характер внедряемых обновлений вызывает беспокойство.

Зачастую подготовка студента вуза строится на формировании компетенций по выполнению отдельных процедур целостного процесса профессиональной деятельности. У студента – будущего

специалиста – профессиональная компетентность, позволяющая разрешать вновь возникающие проблемные ситуации в условиях непрерывных перемен, формируется на недостаточно высоком уровне [1].

Профессиональное образование часто строится и реализуется вне контекста культуры (культура как контекст, как среда профессиональной деятельности) и без учета скрытого (латентного) влияния многих непрофильных («непрофессиональных») и профессиональных учебных дисциплин на данный конкретный вид деятельности, обозначенный терминами «профессия» и «специальность» [2].

Связь непрофильных учебных дисциплин (в техническом вузе – это «История», «Социология», «Социальная экология», «Экономика», «Культурология», «Экология», «Физическая культура» и др.) с профессиональной деятельностью и их воздействие на формирование профессиональной компетентности студента неочевидно проявляется через контекст широкой социокультурной реальности. Контекст же профессиональной действительности (деятельности), встроенной в социокультурную действительность, несет те же смысловые контексты – исторический, социальный, личностный, экономический, здоровьесберегающий, культурный и др. Однако эти смыслы представлены

в непрофильных дисциплинах отнюдь не через призму профессиональной деятельности.

Чтобы студенты лучше включились в профессиональную деятельность средствами непрофильных учебных дисциплин, в дополнение к широкому социокультурному контексту может быть использован конкретный профессиональный, отражающий профессиональную деятельность специалиста в условиях конкретного производства.

На сближение сложившейся системы профессионального образования с реальной профессиональной действительностью направлена методология контекстного обучения: «Контекст – это система внутренних и внешних условий жизни и деятельности человека, которая влияет на восприятие, понимание и преобразование им конкретной ситуации, придавая смысл и значение этой ситуации как целому и ее компонентам. Внутренний контекст представляет собой индивидуально-психологические особенности, знания и опыт человека, внешний – предметные, социокультурные, пространственно-временные и иные характеристики ситуаций, в которых он действует» [3, с. 45]. Моделирование в обучении предметного и социального контекстов будущей профессиональной деятельности студента придает учению личностный смысл и вызывает интерес к освоению содержания профессионального образования.

Смысл высшего профессионального образования состоит в формировании заданных профессиональной деятельностью компетенций, которые в условиях контекстно-компетентностного обучения определяются нами как готовность и способность осуществлять эту профессиональную деятельность. То есть смысл заключается в формировании компетенций, заданных деятельностью и ГОСами, путём погружения студента не только в учебную академическую, но и в квазипрофессиональную деятельность.

Позитивные и негативные последствия современности – это результат

деятельности людей по преобразованию природы и по совершенствованию «второй природы» (техносфера, антропосфера, техногенная среда), поэтому и искать причины происходящего нужно в структуре и характере этой деятельности. Данные, полученные в результате анализа свойств и особенностей деятельности человека в современном мире, могут, на наш взгляд, составить необходимую и достаточную основу построения педагогической технологии подготовки студента к профессиональной деятельности и, как следствие, обеспечить условия его профессиональной самореализации.

Взаимосвязь различных видов деятельности, их тождественность и контрастность, а также возможность их взаимной адаптации и адаптации под потребности человека может быть установлена на основе совместного рассмотрения сущности и структуры деятельности, сознания, мышления и среды (реальная действительность) в их единстве. На исследовании этих категорий основаны принцип единства сознания и деятельности, теория среды, теория переноса, принцип единства культуры и технологии (деятельности), теория самоорганизации, технология проектирования и др.

Традиционно термин «деятельность» определяется в философии как «процесс, в ходе которого человек целенаправленно и творчески преобразует природу, делая тем самым себя деятельным субъектом, а осваиваемые им явления природы – объектами своей деятельности» [4, с. 153]. В культурологических, социологических и педагогических интерпретациях это определение деятельности дополняется уточняющими признаками. Обозначено, в частности, что: а) человек (субъект деятельности) воздействует на объект посредством орудий (средств), б) в деятельности исходный материал превращается в продукт, в) одновременно с преобразованием объекта происходит изменение состояния самого субъекта и его предметной, социальной и культурной среды, то есть

социокультурной действительности (человек есть создатель среды и себя), г) деятельность включает в себя цель, средства, сам процесс преобразования и его результат, д) в зависимости от многообразия потребностей человека и общества определяется и многообразие видов деятельности, в том числе в профессиональных ее отраслях.

Структура любой деятельности инвариантна, а разные виды деятельности тождественны по составу компонентов. «Каждая из <...> базисных инвариантных сторон деятельности не существует вне других. Иначе говоря, каждая из этих сторон деятельности — лишь проекция целого, человеческой деятельности, ее особый аспект. Именно поэтому каждая конкретная реальная деятельность одновременно является и преобразовательной, и познавательной, и ценностно-ориентационной, и общением, и эстетической, и физической. Таким образом, все шесть инвариантных базовых сторон деятельности являются взаимопересекающимися и при этом входят в любой вид деятельности» [5, с. 80].

Деятельность рассматривается как внешняя активность человека. В процесс преобразования объекта (внешняя деятельность) входят выбор необходимых ресурсов, способов и средств изменения объекта, осуществление преобразования, мониторинг преобразуемого объекта и коррекция процесса. При этом, хотя и в недостаточно детализированном виде, но отмечается, что истоки внешней деятельности (активности) находятся в самом человеке. На это указывают такие признаки рассматриваемого понятия, как целесообразность деятельности, её творческий характер, направленность на удовлетворение потребностей [6, с. 34].

Деятельность имеет коллективный характер; «в сущности, деятельность предполагает не только действия отдельно взятого человека, но и действия его в условиях деятельности других людей, то есть предполагает некоторую совместную деятельность» [1, с. 22]. Кроме

того, отмечается социальный и культуросообразный аспект деятельности. «Мы обнаруживаем здесь и другое: все виды человеческой деятельности, взятые в качестве культурных феноменов, в определенном отношении суть одно и то же» [7, с. 34].

Закономерно, что все виды деятельности, которыми обладает человек, связаны между собой, прямо или косвенно влияют друг на друга. Закономерно также, что, развивая себя в одном виде деятельности, человек способствует или препятствует развитию других. В условиях современного изменяющегося мира человек включен в «поток деятельности» [8].

Инвариантность состава и структуры деятельности дает основания для построения классификатора различных её видов. В качестве универсальных классификационных признаков различных видов деятельности, проявляющихся в какой-либо конкретной форме, и их вариантов могут быть приняты:

- субъект деятельности (человек, коллектив, социальная и/или профессиональная группа (коллегия, совет, собрание и др.));
- объект воздействия субъекта (явление, предмет, техника, технология, информация, человек, коллектив, социальная и/или профессиональная группа и др.);
- средство деятельности (техника, информация, речь, знаковая система, человек-исполнитель, социальная и/или профессиональная группа и др., а также отсутствие каких-либо специальных средств);
- способ (познавательный, исследовательский, проектный, преобразовательный и др.);
- время выработки и принятия решения, заданное деятельностью (оперативное, тактическое, неопределенно длительное);
- среда (природная, социальная, специальная, неопределенная и др.);
- условия межличностного взаимодействия в деятельности [2].

Процесс обучения в вузе тоже представляет собой определенного рода деятельность. Однако состав этой деятельности не всегда способствует направленному формированию профессиональных качеств и навыков. Условия погружения студента в ситуацию профессиональной деятельности возникают только тогда, когда студенту предложена такая деятельность, которая схожа по универсальным признакам с его будущей профессиональной деятельностью. Очевидна необходимость и возможность выявления в учебном процессе элементов, которые способствовали бы сближению по основным универсальным признакам деятельности в образовании и профессиональной сфере, формируя тем самым среду квазипрофессиональной деятельности студента.

Внешний контекст профессиональной деятельности в дисциплине «Физическая культура» моделируется за счет подбора вида физкультурной деятельности, схожей по классификационным признакам с профессиональной деятельностью. Результаты проведенного анализа, базой которого стал Уральский государственный университет путей сообщения, позволяют сделать вывод, что условия контекстно-компетентностного обучения максимально обеспечиваются, если физкультурно-спортивная деятельность студента по направлениям подготовки «Организация и управление на транспорте» происходит в командных игровых видах спорта, по направлениям «Эксплуатация транспортно-технологических машин и комплексов» — средствами атлетической подготовки, а по направлениям «Строительство» — в циклических видах спорта.

Конкретный характер, форма, содержание, свойства деятельности, сознания и мышления специалиста определяются особенностями отрасли профессиональной деятельности, которая в современных условиях динамично изменяется и требует от человека способностей к непрерывному поиску оптимальных решений возникающих проблем. То есть профессиональная (специализированная)

деятельность и мышление человека независимо от содержания и особенностей конкретной сферы деятельности должны быть технологичными и инновационными.

Таким образом, внутренний контекст будущей профессиональной деятельности студентов технических специальностей и направлений подготовки может быть обеспечен за счет направленного формирования инновационного, технологического, креативного, инженерного стиля мышления, которое служит основой общепрофессиональной технологической компетентности.

Общепрофессиональная технологическая компетентность человека в профессиональной деятельности определяется его готовностью и способностью к устранению проблем и повышению её продуктивности. Технологическое мышление как основа технологической компетентности выражено в последовательном выполнении мыслительных процедур: анализ проблемной ситуации, конкретизация проблемы, формулирование задач, поиск вариантов решения задач, определение критериев выбора и выбор лучшего варианта, проработка образа объекта/процесса, пригодного для практической реализации, определение условий и технологии выполнения практической деятельности по реализации принятого решения, мониторинг и коррекция практической деятельности, анализ полученных результатов, подготовка к следующему циклу устранения проблемной ситуации. Продукты рациональной и технологичной мыследеятельности проявляются в форме результата решения проблем и становятся доступными для восприятия в виде проектов [9].

В качестве основного инструмента для обеспечения внутреннего контекста профессиональной деятельности могут быть приняты методы активного обучения: мозговой штурм, проектирование, проблемное обучение, игра и др. Теоретические, практические семинарские и учебно-тренировочные занятия, а также самостоятельная работа

по дисциплине «Физическая культура» не выходят за рамки общепринятых (традиционных) в теории и методике физического воспитания методов, принципов, форм и подходов, но содержат деятельность студента с элементами и процедурами рационального технологического мышления и продуктивной деятельности.

Учебно-тренировочные практические занятия основаны на многократном повторении приемов физкультурно-спортивной деятельности, которые на разных уровнях освоения создают неограниченное количество проблемных ситуаций, формируя личный опыт их решения. Необходимость принимать быстрые и рациональные решения в условиях недостатка времени воспитывает привычку к продуктивному мышлению и оправданному действию, которая контекстно может быть перенесена на профессиональную деятельность. Чередование выполняемых ролей позволяет сформировать у студента разносторонний взгляд на возникающие ситуации аналогично ролям в профессиональной деятельности.

Самостоятельная работа студента, формирующая общепрофессиональную технологическую компетентность, направлена на освоение технологии проектирования. В нее входят: подготовка и участие в дискуссиях о связи физической активности (деятельности) и профессиональной деятельности по избранной профессии; исследование проблемных ситуаций и выработка предложений по их разрешению; решение проблемных и проблемно-познавательных задач по выполнению физкультурно-спортивной деятельности; изучение проектного метода и технологии проектирования; ознакомление с процедурой выполнения проектов; подбор возможных тем проектов.

Объектами проектирования (предметах мысли) в подготовке и выполнении коллективных проектных заданий, основанных на решении реальных практических проблем в контексте профессиональной деятельности, служат:

системы физических упражнений для человека, выполняющего определенную профессиональную деятельность и занимающего определенную должность; известные спортивные игры, совершенствование их тактических приемов и правил в контексте профессиональной деятельности; среда физкультурно-спортивной деятельности для различных нестандартных условий, в том числе для производственных условий («релаксационная пауза») и в бытовых условиях; технико-технологические средства физкультурной деятельности (упражнения); методика проведения конкурсов, олимпиад, соревнований для работников производства и др.

Результатами самостоятельной работы студентов являются исследовательские работы по устранению недостатков и затруднений физкультурно-спортивной деятельности, спортивной игры и соревнования, в которых устанавливается ассоциативная связь с элементами профессиональной деятельности.

Информационно-аналитическое исследование проблемы обеспечения в учебном процессе условий квазипрофессиональной деятельности студентов средствами непрофильных учебных дисциплин в условиях контекстно-компетентностного обучения позволило определить следующие организационно-методические условия реализации профессионально ориентированной учебной дисциплины в учебном процессе.

1. Построение состава и структуры занятий для групп студентов разных специальностей и направлений подготовки с учетом их будущей профессиональной деятельности и на основе сопоставления признаков деятельности.

2. Учебная деятельность студентов основана на выявлении, анализе и решении проблемных ситуаций, возникающих на занятиях по непрофильной учебной дисциплине и представлении результатов в виде проектов.

Подтверждением обоснованности выдвинутых теоретических изысканий служат результаты опытно-поисковой работы по измерению показателей

сформированности общепрофессиональной технологической компетентности студентов до и после внедрения формирующих методик и распределение их по низкому, пороговому, среднему и высокому уровням (таблица 1, рис.).

В ЭГ после проведения опытно-поисковой работы количество студентов на пороговом, среднем и высоком уровнях возросло до 87,5 %, а на низком уровне сократилось до 12,5 %. В КГ – 69,44 % и 30,56 % соответственно.

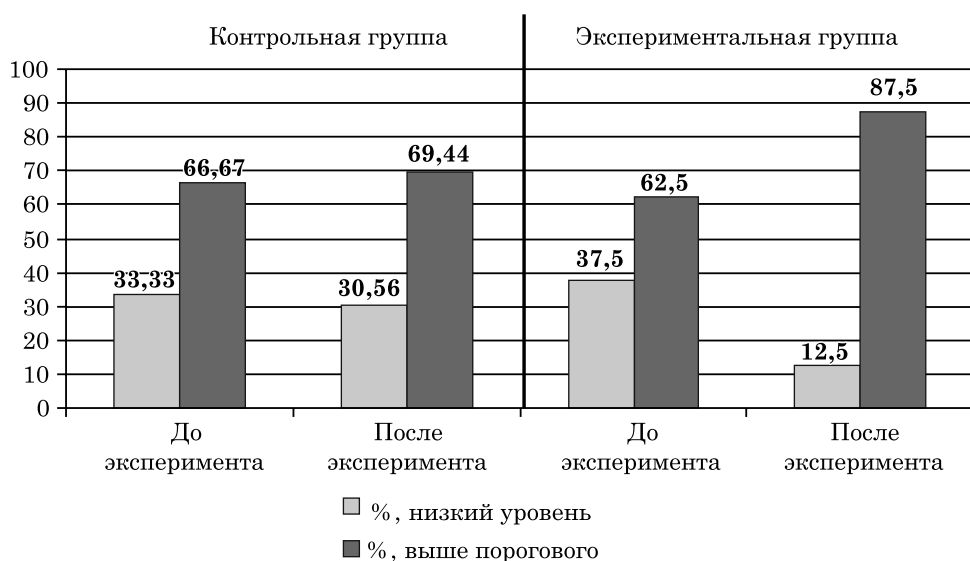
С использованием метода непараметрической статистики – критерия углового преобразования Фишера (ϕ^*) нами определены значения для допустимого уровня сформированности общепрофессиональной технологической компетентности студентов в контрольной и экспериментальной группах до и после опытно-поисковой работы и уровень его статистической значимости (таблица 2).

Исходный уровень сформированности общепрофессиональной технологической компетентности студентов обеих

Таблица 1

Распределение студентов по уровням сформированности общепрофессиональной технологической компетентности, %

Группа студентов	Общий уровень сформированности общепрофессиональной технологической компетентности студентов									
	до эксперимента					после эксперимента				
	Низкий	допустимый				Низкий	допустимый			
		Всего	Пороговый	Средний	Высокий		Всего	Пороговый	Средний	Высокий
Контрольная (КГ)	33,33	66,67	20,37	29,63	16,67	30,56	69,44	19,44	33,33	16,67
Экспериментальная (ЭГ)	37,50	62,50	22,92	43,75	15,63	12,50	87,50	19,79	43,75	23,96



Распределение студентов по низкому и допустимому уровням сформированности общепрофессиональной технологической компетентности в КГ и ЭГ до и после эксперимента

Таблица 2

Результаты статистической обработки допустимого уровня
общефессиональной технологической компетентности студентов КГ и ЭГ
до и после эксперимента

Группа	До эксперимента	После эксперимента	$\Phi_{\text{эмфир}}^*$	Уровень значимости (α)
КГ	66,67 (%)	69,44 (%)	0,252	$> 0,10$
ЭГ	62,50 (%)	87,50 (%)	2,879	$< 0,01$
$\Phi_{\text{эмфир}}^*$	0,444	2,313		
Уровень значимости (α)	$> 0,10$	$< 0,01$		

групп достаточно высок. То же можно наблюдать в контрольной группе после опытно-поисковой работы, что, скорее всего, связано с заметным влиянием других учебных дисциплин, прежде всего дисциплин профессионального цикла. Однако у студентов ЭГ, обучавшихся в соответствии с профессионально-ориентированной моделью и методикой реализации учебной дисциплины «Физическая культура», после проведения опытно-поисковой работы уровень сформированности общефессиональной технологической компетентности более высок.

Статистический анализ полученных результатов показал, что до эксперимента показатели сформированности общефессиональной технологической компетентности студентов контрольной и экспериментальной групп практически не различимы ($\Phi_{\text{эмфир}}^*$ находится вне зоны значимости, $\Phi_{\text{эмфир}}^* = 0,444 \ll \Phi_{\text{крит}}^* = 1,640$ при уровне значимости $\alpha > 0,10$). После эксперимента различия в показателях сформированности общефессиональной технологической компетентности студентов контрольной и экспериментальной групп статистически значимы ($\Phi_{\text{эмфир}}^*$ входят в зону значимости $\Phi_{\text{эмфир}}^* = 2,313 > \Phi_{\text{крит}}^* = 2,31$ при уровне значимости $\alpha < 0,01$).

Показатели сформированности общефункциональной технологической компетентности студентов в контрольной группе до и после опытно-поисковой работы практически не

изменились ($\Phi_{\text{эмфир}}^*$ вне зоны значимости $\Phi_{\text{эмфир}}^* = 0,252 \ll \Phi_{\text{крит}}^* = 1,640$ при уровне значимости $\alpha > 0,10$). Показатели сформированности общефункциональной технологической компетентности студентов в экспериментальной группе на этих этапах изменились существенно. Изменения являются статистически значимыми ($\Phi_{\text{эмфир}}^*$ входят в зону значимости $\Phi_{\text{эмфир}}^* = 2,879 > \Phi_{\text{крит}}^* = 2,31$ при уровне значимости $\alpha < 0,01$).

Реализация профессионально-ориентированной методики обучения по дисциплине «Физическая культура», разработанной в соответствии с теоретической моделью, позволила повысить уровень формирования общефункциональной технологической компетентности студентов и это повышение является статистически значимым. Можно, следовательно, сделать вывод, что произошедшие изменения не являются следствием случайностей, а закономерны.

Представленные организационно-методические условия контекстно-компетентностного обучения позволяют реализовать процесс, удовлетворяющий личностные потребности студента в развитии профессиональных качеств, профессиональной адаптации и самореализации через формирование общефункциональных ключевых компетенций.

Контекстно-компетентностное обучение способствует формированию профессиональной компетентности студента не на стохастической основе,

а на преднамеренном и планомерном вовлечении студента в реальную профессиональную действительность. Деятельностная позиция студента с самого начала подключает весь потенциал его активности, из объекта педагогических воздействий он превращается в субъект познавательной, будущей профессиональной и социокультурной

деятельности. Знания усваиваются студентом в контексте разрешения моделируемых профессиональных ситуаций при использовании обоснованного сочетания индивидуальных и коллективных форм работы студентов, накапливается опыт использования учебной информации как средства регуляции деятельности в целом. ■

Литература

1. Овечкин В.П., Чуб Я.В. Технологическое мышление специалиста: структура и условия формирования в вузе // Педагогическое образование. 2009. № 3. С. 137–144. ISSN 1999-2610.
2. Чуб Я.В. Формирование технологического мышления специалиста на занятиях по физической культуре в вузе // Вестник Удмуртского университета. 2009. Вып. 2. С. 149–153.
3. Вербицкий А. А. Компетентностный подход и теория контекстного обучения. М. : ИЦ ПКПС, 2004. 84 с.
4. Батищев Г.С. Деятельность / Г.С. Батищев, Я.А. Пономарев / под ред. И.Т. Фролова // Философский словарь. – 7-е изд., перераб. и доп. М. : Республика, 2001. С. 153, 154. ISBN 5-250-02742-3.
5. Леднев В.С. Содержание образования : учеб. пособие. М. : Высшая школа, 1991. 224 с. ISBN 5-06-002102-5.
6. Давыдов В.В. Теория развивающего обучения. М. : ИНТОР, 1996. 544 с. ISBN 5-89404-001-9.
7. Визитей Н.Н. Теория физической культуры: к корректировке базовых представлений : Философские очерки. М. : Советский спорт, 2009. 184 с. ISBN 978-5-9718-0353-9.
8. Щедровицкий Г.П. Философия. Наука. Методология / ред.-сост. А.А. Пископсель, В.Р. Рокитянский, Л.П. Щедровицкий. М. : Школа культурной политики, 1997. 656 с. ISBN 5-88969-002-7.
9. Чуб Я.В., Овечкин В.П. Формирование общепрофессиональной компетентности студентов средствами учебной дисциплины «Физическая культура» // Вестник высшей школы «Alma mater». 2015, № 3. С. 79–82. ISSN 1026-955X.

References

1. Ovechkin V.P., Chub Ya.V. Tekhnologicheskoe myshlenie specialista: struktura i usloviya formirovaniya v vuze [Specialist technological thinking: the structure and conditions of formation in high school] // Pedagogical Education. 2009. № 3. P. 137 –144. ISSN 1999-2610.
2. Chub Ya.V. Formirovanie tekhnologicheskogo myshleniya specialista na zanyatiyah po fizicheskoy kul'ture v vuze [Formation of technological thinking of a specialist in physical culture class in high school] // Bulletin of Udmurt University. 2009. V. 2. P. 149–153. ISSN 2412-9518.
3. Verbitsky A.A. Kompetentnostnyj podhod i teoriya kontekstnogo obucheniya [Competence approach and the theory of contextual learning]. M. : ITs PKPS, 2004. 84 p.
4. Batishchev G.S. Deyatel'nost' / G.S. Batishchev, YA.A. Ponomarev / pod red. I.T. Frolova // Filosofskij slovar'. – 7-e izd., pererab. i dop. [Activity / G.S. Batishchev, J.A. Ponomarev / ed. I.T. Frolov // Philosophical Dictionary. – 7th ed., revised. and ext.]. – M. : Respublika, 2001, P. 153, 154. ISBN 5-250-02742-3.
5. Lednev V.S. Soderzhanie obrazovaniya : ucheb. posobie [Education Contents : Textbook]. M. : Vyshaya shkola, 1991. 224 p. ISBN 5-06-002102-5.
6. Davydov V.V. Teoriya razvivayushchego obucheniya [The theory of developmental education]. M. : INTOR, 1996. 544 p. ISBN 5-89404-001-9.
7. Vizitei N.N. Teoriya fizicheskoy kul'tury: k korrektyrovke bazovykh predstavlenij : Filosofskie ocherki [Theory of Physical Culture: adjusting the basic concepts: Philosophical Essays]. M. : Sovetskiy Sport, 2009. 184 p. ISBN 978-5-9718-0353-9.

8. Schedrovitsky G.P. *Filosofiya. Nauka. Metodologiya* / red.-sost. A.A. Piskoppel', V.R. Rokityanskij, L.P. SHCHedrovickij [Philosophy. Science. Methodology / comp. ed. A.A. Piskoppel, V.R. Rokityansky, L.P. Schedrovitsky]. – М. : Shkola kulturnoy politiki, 1997. 656 p. ISBN 5-88969-002-7.
9. Chub Ya.V., Ovechkin V.P. Formirovanie obshcheprofessional'noj kompetentnosti studentov sredstvami uchebnoj discipliny «Fizicheskaya kul'tura» [Formation of general professional competence of students by means of discipline «Physical training»] // Herald of the «Alma mater» high school, 2015. № 3. P. 79–82. ISSN 1026-955X.

Статья сдана в редакцию 30 марта 2016 года

Аспирантская тетрадь

УДК 656.213

В.В. Беляев

Особенности продвижения и переработки вагонопотоков, обслуживающих углепогрузочные районы, в современных условиях

UDC 656.213

V.V. Belyaev

Special aspects of forwarding and yard operations of railway cars servicing coal loading areas under modern conditions

Аннотация

В работе рассматриваются проблемы организации продвижения и переработки порожнего вагонопотока на пути от мест выгрузки к местам погрузки.

Приведены основные принципы построения рациональных взаимосвязей магистрального и промышленного железнодорожного транспорта.

В настоящее время при организации перевозок массовых грузов остро стоит вопрос перенасыщения железнодорожной сети парком частных грузовых вагонов (с 2002-го по 2013-й гг. общий парк грузовых вагонов вырос в два раза).

Излишний парк порожних полувагонов затрудняет работу железнодорожных станций районов массовой погрузки угля, в частности, магистральных станций примыкания, сортировочных станций, расположенных вблизи таких районов,

промышленных станций предприятий.

До недавнего времени весь парк полувагонов находился в оперативном управлении одного государственного перевозчика. Сейчас, когда порожний вагон превратился в «груз на своих осях», следующий по перевозочным документам, способы продвижения вагонопотоков требуют новых подходов. Анализируются технология продвижения порожнего вагонопотока и проблема его переработки на сортировочных и грузовых станциях. Порожний вагонопоток зарождается на станциях выгрузки и погашается на станциях погрузки. За это время с ним происходит несколько переработок на сортировочных устройствах попутных станций. При приближении порожнего вагонопотока к районам массовой погрузки с вагонами при их не востребовавности может осуществляться операция отстоя вагонов (на станциях

примыкания, промышленных станциях, промежуточных станциях).

Резервы сортировочных станций, обслуживающих порожний вагонопоток районов массовой погрузки грузов, практически исчерпаны.

Предлагается создавать специальные сортировочные станции-концентраторы, на которых может производиться переработка порожнего вагонопотока, подготовка к погрузке и отстой невосребованных полувагонов.

Ключевые слова: промышленные сортировочные станции, порожние полувагоны, углепогрузочные районы, пункты отстоя вагонов.

DOI:10.20291/2079-0392-2016-3-166-175

Abstract

The article is devoted to issues of how to arrange empty railcars forwarding and yard operations on the way from points of unloading to points of loading.

Владислав Викторович Беляев, аспирант; кафедра «Железнодорожные станции и узлы» Сибирского государственного университета путей сообщения; Новосибирск, Россия. E-mail: gdsu@rambler.ru.

Vladislav Viktorovich Belyaev, Ph.D. student; Department of Railway Stations and Junctions, Siberian Transport University; Novosibirsk, Russia. E-mail: gdsu@rambler.ru.

The article also gives principles of providing reasonable coordination of main-line and industrial railway transport.

At the moment, when arranging the bulk cargo transportation the issue of private freight cars glut in the railway network becomes critical (from 2002 till 2013 the total freight car fleet has become two times bigger).

Excessive quantity of empty gondola cars causes troubles in operation of railway stations in areas of bulk coal loading, in particular troubles in operation of main-line connecting stations, freight yards located near these areas, and industrial stations of enterprises.

Until recently the entire fleet of gondola cars was managed and controlled by the one state carrier. Now that an empty railway car has become «a self-rolling cargo» which travels in accordance with its carriage documents, we need new approaches to railway car forwarding. The article analyses the forwarding process of empty railway cars and the problem of railway car handling at freight yards and stations for freight operations. The empty railcar traffic volume originates at points of unloading and is cancelled at points of loading. On this way railcars undergo several yard operations at trailing stations. When empty railway cars approach areas of bulk

loading and in case they are not needed, they can be sent to the storage yard (at connecting stations, industrial stations, intermediate depots).

Reserves of freight yards servicing empty railcar traffic volume of areas of bulk loading are practically depleted.

It is suggested that special freight yards-hubs to be arranged to provide the yard operations of empty railway cars, prepare them for loading and to store the gondola cars which are not needed.

Key words: industrial freight yards, empty gondola cars, areas of coal loading, railcar storage yards.

DOI:10.20291/2079-0392-2016-3-166-175

Одной из основных технологических функций железнодорожного транспорта является обеспечение устойчивой работы крупных промышленных предприятий и районов их концентрации. Основные принципы построения рациональных взаимосвязей магистрального и промышленного железнодорожного транспорта, вытекающие из условий работы дорог, характерных для второй половины XX века, сформулированы в [1]:

1) при проектировании и реконструкции схем внешнего промышленного транспорта и организации сортировочной работы с прибывающими и отправляемыми вагонопотоками должны рассматриваться варианты переноса части сортировочной работы на ближайшую сортировочную или участковую станцию;

2) на сортировочной или участковой станции может специализироваться один или группа сортировочных путей для переработки немаршрутизированного вагонопотока предприятия;

3) на ближайшей сортировочной или участковой станции могут быть созданы условия для организации накопления

поездов из вагонов, погруженных предприятиями;

4) должны применяться транспортные схемы, в которых станции примыкания отводится роль объединенной сортировочной станции с возложением на нее функций по переработке транзитных вагонопотоков и вагонопотоков предприятия (группы предприятий);

5) в транспортных схемах, где целесообразно иметь промышленную сортировочную станцию, ее местоположение и техническое оснащение должно быть выбрано с учетом обеспечения наилучшего взаимодействия с магистральным транспортом при исключении повторной переработки вагонов.

Все эти принципы относились в основном к грузным вагонопотокам [2]. Проблемы организации переработки порожнего вагонопотока специально практически не исследовались.

В настоящее время при организации перевозок массовых грузов остро стоит вопрос перенасыщения железнодорожной сети парком частных грузовых вагонов [3–6]. С 2002 по 2013 гг. общий парк грузовых вагонов (рис. 1) вырос с 608,8 тыс. до 1206,5 тыс. ед. [7].

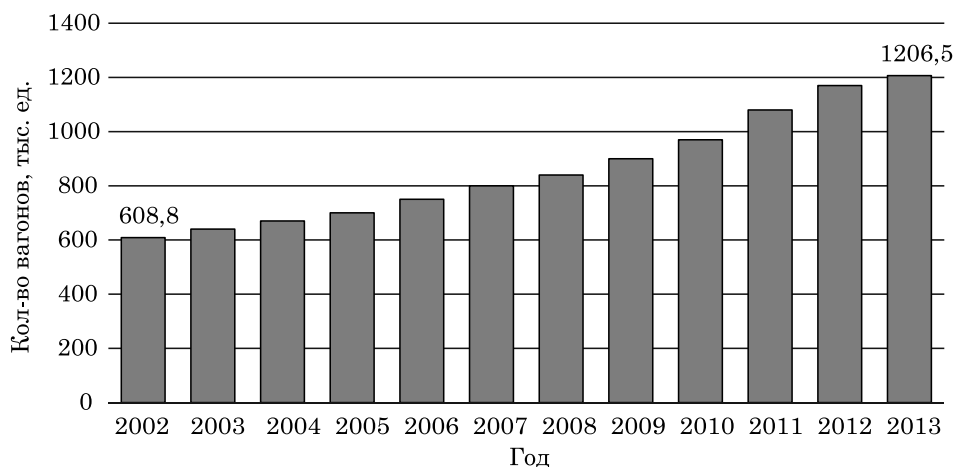


Рис. 1. Величина парка грузовых вагонов, тыс. ед.

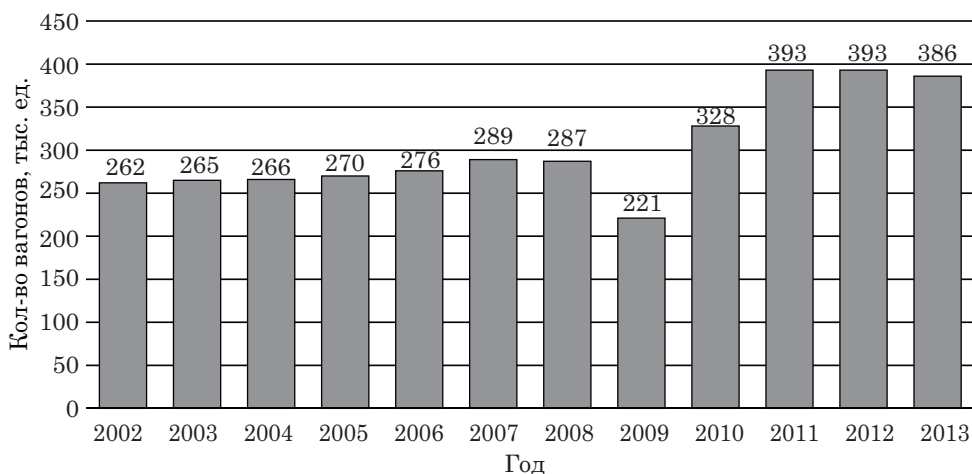


Рис. 2. Рабочий парк груженых железнодорожных вагонов (в среднем в сутки), тыс. ед.

За не представленный на графике период (2013–2015 гг.) динамика роста парка грузовых вагонов на сети несколько замедлилась, однако общая тенденция увеличения их количества сохранилась.

Рабочий парк груженых вагонов (рис. 2) вырос с 262 тыс. (2002 г.) до 386 тыс. (2013 г.) [8].

В 2002 г. количество порожних вагонов в общем парке грузовых вагонов составляло около 56 % (практически поровну с гружеными), то в 2013 г. уже 68 %.

В процессе реформирования железнодорожного транспорта структура

вагонного парка (рис. 3) существенно трансформировалась прежде всего вследствие изменения принадлежности подвижного состава [9]. По существу, вместо одного крупного собственника (МПС) возникли десятки новых.

Согласно данным ОАО «РЖД» [10], около 45 % всего вагонного парка РФ приходится на полувагоны (рис. 4).

Излишний парк порожних полувагонов особенно затрудняет работу железнодорожных станций районов массовой погрузки угля, в частности, магистральных станций примыкания, сортировочных станций, расположенных

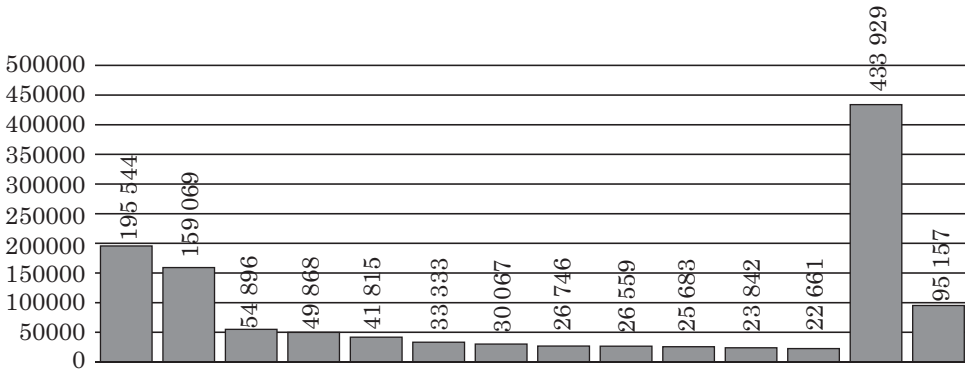


Рис. 3. Вагонный парк операторов подвижного состава в 2014 г., тыс. ваг.

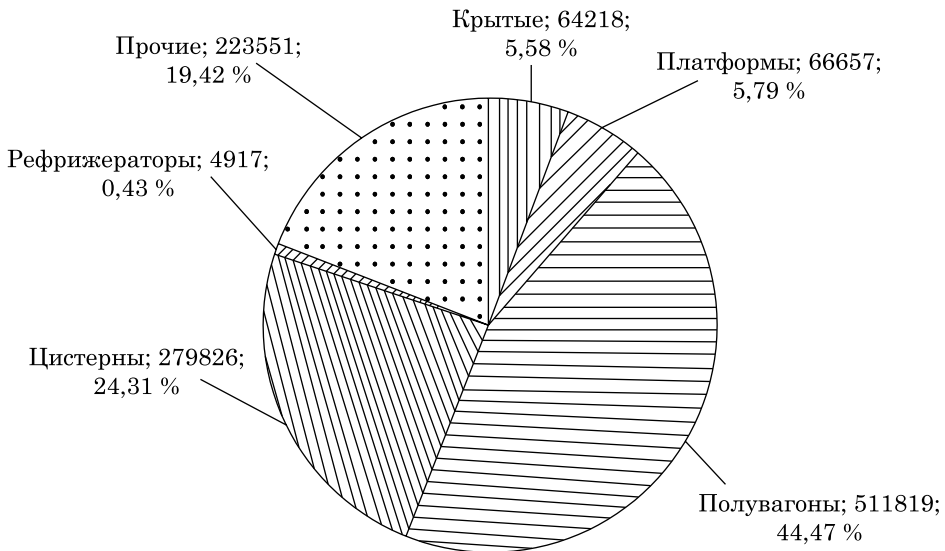


Рис. 4. Вагонный парк по роду подвижного состава

вблизи таких районов, промышленных станций предприятий.

Возникает задача поиска новых конструктивных и технологических решений, соответствующих современному состоянию рынка железнодорожных грузовых перевозок.

До недавнего времени, когда весь парк полувагонов находился в оперативном управлении одного государственного перевозчика, для продвижения порожнего вагонопотока применялся метод так называемой регулировки, когда все полувагоны следовали без какого-либо подбора к местам массовой

погрузки. Однако сейчас, когда порожний вагон превратился в «груз на своих осях», следующий по перевозочным документам, данный способ продвижения вагонопотоков требует новых подходов. Проблема малоизучена, технологических и конструктивных решений практически нет.

Порожний вагонопоток зарождается на станциях выгрузки и погашается на станциях погрузки [11]. За это время с ним происходит несколько переработок на сортировочных устройствах попутных станций (рис. 5). Общие эксплуатационные затраты на переработку

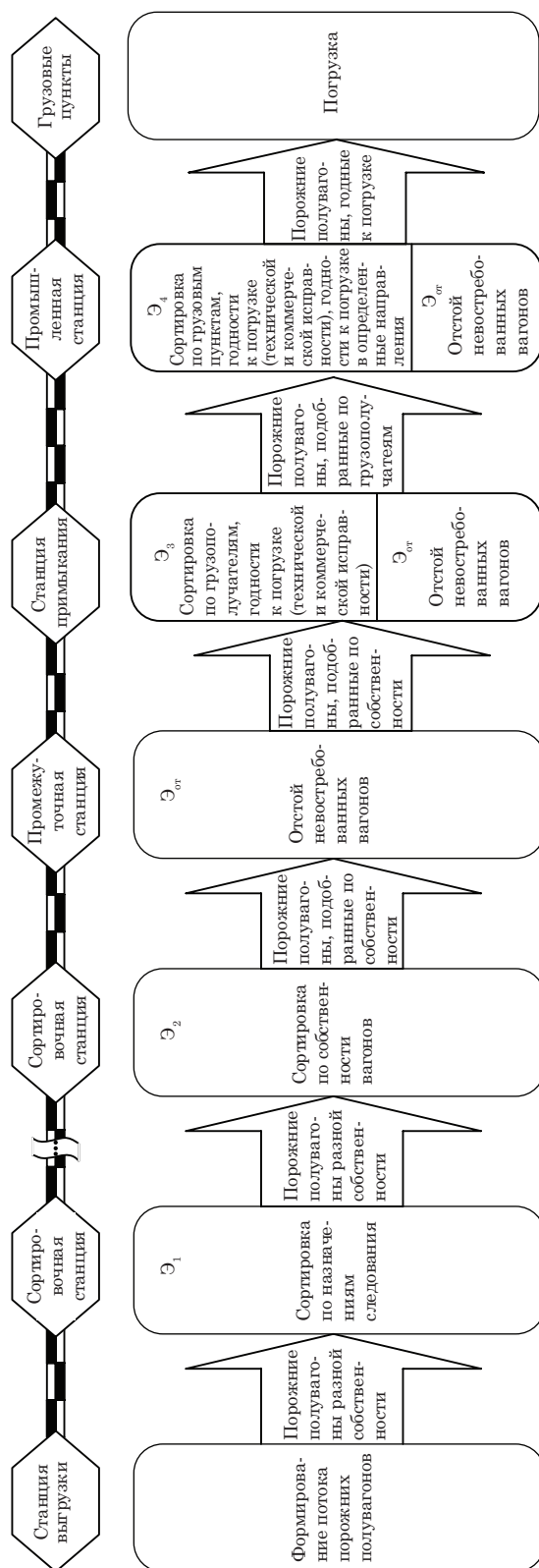


Рис. 5. Существующая схема продвижения порожнего вагонопотока на маршруте от мест выгрузки к местам погрузки

и отстой вагонов в процессе движения от станции выгрузки до станции погрузки можно обозначить как $\Sigma\Theta$.

На станциях выгрузки обычно порожние вагоны без подбора по каким-либо признакам формируются в составы установленной длины и следуют до ближайшей сортировочной станции, на которой переформируются по назначениям следования (Θ_1). Далее вагонопоток продвигается к району массовой погрузки. На сортировочной станции, располагающейся вблизи района массовой погрузки, вагоны подбираются по собственникам подвижного состава (Θ_2) и следуют до станции примыкания или сразу на промышленные станции угледобывающих предприятий.

На станции примыкания после технического и коммерческого осмотра такие вагоны могут сортироваться по грузополучателям, годности к погрузке (технической и коммерческой исправности) (Θ_3) [12]. Далее вагоны следуют на промышленные станции, где сортируются по годности к погрузке в определенные назначения (под определенные заявки, на экспорт, по получателям, способным выгружать глухонные полувагоны и т.д.) – Θ_4 .

При приближении порожнего вагонопотока к районам массовой погрузки с вагонами при их не востребовавности может осуществляться операция отстоя вагонов (на станциях примыкания, промышленных станциях, промежуточных станциях – $\Theta_{от}$).

$$\Sigma\Theta = \Theta_1 + \Theta_2 + \Theta_3 + \Theta_4 + \Theta_{от}.$$

Таким образом, вагонопоток порожних полувагонов, следующий от мест выгрузки к местам погрузки, может быть переработан до четырех-пяти раз, каждый раз затрудняя работу станции переработки. Резервы сортировочных станций, обслуживающих порожний вагонопоток районов массовой погрузки грузов, практически исчерпаны [13].

Исключение повторной переработки вагонов на маршруте следования – это один из основных принципов

построения рациональных взаимосвязей магистрального и промышленного железнодорожного транспорта.

Многие авторы предлагают создавать специальные пункты отстоя порожних вагонов [14–17]. Вопрос создания таких пунктов целесообразно рассматривать совместно с вопросом организации продвижения и переработки порожнего вагонопотока. Если такие пункты будут иметь достаточное путевое развитие, их можно оснастить сортировочным устройством, техническими средствами для проведения текущего отцепочного ремонта и превратить в «концентраторы» порожних вагонов, логистические центры, которые могли бы принимать весь несортированный порожний вагонопоток, перерабатывать его и готовить составы под конкретные заявки предприятий, облегчив и упорядочив управление порожним вагонопотоком. Обеспечение грузоотправителей порожними вагонами могло бы полностью управляться частными компаниями-операторами вагонов без участия магистрального перевозчика. Переработка порожних вагонов в пути следования от станций выгрузки к грузовым пунктам могла бы сократиться с четырех-пяти до одного раза (рис. 6), могло бы быть исключено следование вагонов, негодных к погрузке, на пути необщего пользования.

Такие специальные сортировочные станции-концентраторы должны удовлетворять следующим требованиям: наличие приемо-отправочных путей, обеспечивающих прием поездов длиной сто и более вагонов; сортировочное устройство, позволяющее поточно готовить составы конкретным грузополучателям под конкретные заявки; наличие путей, предназначенных для массового проведения текущего отцепочного ремонта и очистки вагонов; большое количество путей, предназначенных для отстоя не востребовавшихся порожних вагонов.

На рис. 7 приведена возможная принципиальная схема такой станции-концентратора.

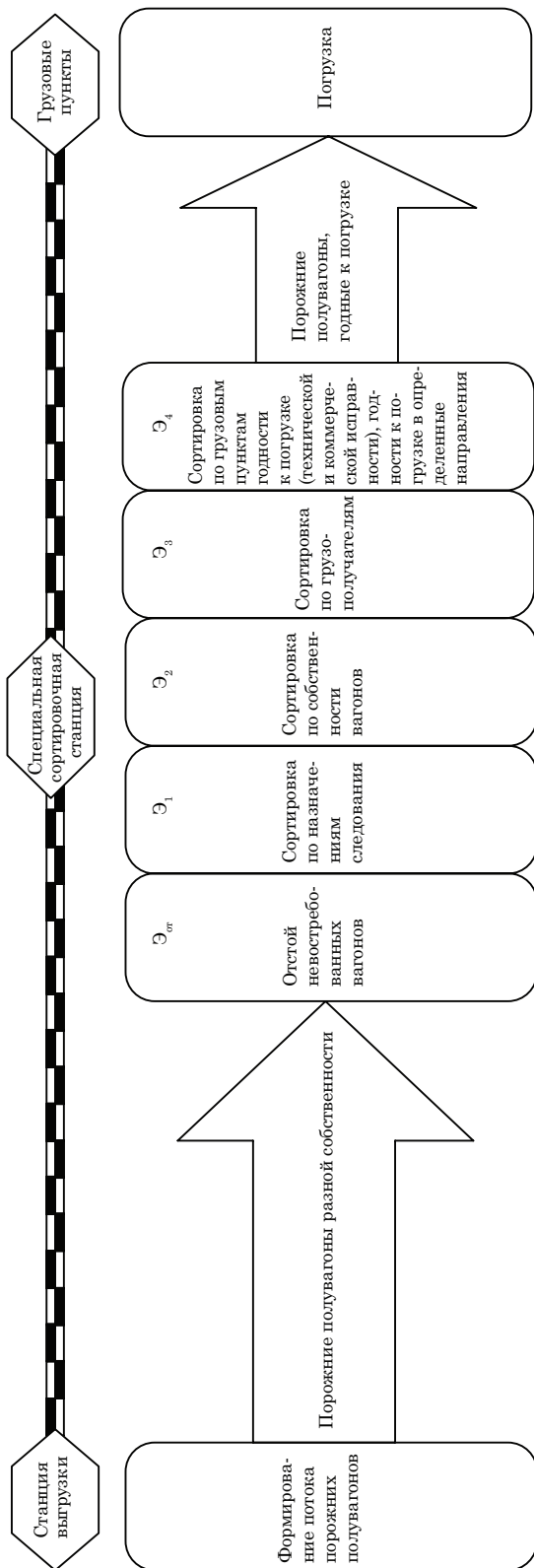


Рис. 6. Предлагаемая схема организации продвижения порожнего вагонопотока на маршруте от мест выгрузки к местам погрузки

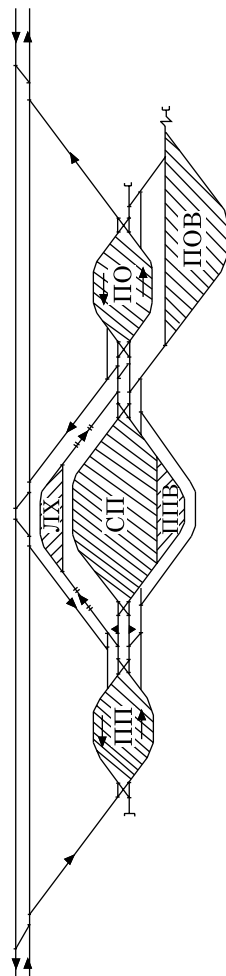


Рис. 7. Специализированная станция-концентратор для переработки и отстоя порожних полувагонов (вариант компоновки)
 ПП – парк приема поездов с порожними полувагонами;
 СП – сортировочный парк; ППВ – группа путей в сортировочном парке, предназначенных для проведения текущего отцепочного ремонта и очистки вагонов; ПО – парк отправления полностью подготовленных к погрузке составов; ПОВ – парк отстоя невооруженных на данный момент порожних полувагонов; ЛХ – локомотивное депо

В настоящее время при организации перевозок массовых грузов остро стоит вопрос перенасыщения железнодорожной сети парком частных грузовых вагонов. Поток порожних полувагонов, следующий от мест выгрузки к местам погрузки, может быть переработан до четырех-пяти раз, каждый раз затрудняя работу станции переработки. Резервы сортировочных станций, обслуживающих порожний вагонопоток районов массовой погрузки грузов, практически исчерпаны.

Таким образом, в результате анализа существующей системы организации продвижения и переработки порожнего вагонопотока на пути от мест выгрузки к местам погрузки можно сделать вывод, что проблема организации порожних вагонопотоков в условиях изменившейся структуры вагонного парка

малоисследована, необходим глубокий анализ, моделирование и выработка новых технологических и конструктивных методов ее решения; существующая технология работы с вагонопотоками порожних полувагонов имеет узкие места.

В качестве технологического решения предложена схема организации продвижения порожнего вагонопотока на маршруте от мест выгрузки к местам погрузки, предусматривающая минимизацию его переработок на попутных сортировочных станциях за счет внедрения станций-концентраторов порожних полувагонов. Определены требования к составу путевого развития, предложен вариант компоновки схемы станции-концентратора для работы с порожними полувагонами. ■

Литература

1. Кукушкин И.И. Комплексное развитие и использование магистрального и промышленного транспорта. М. : Транспорт, 1966. 248 с.
2. Улучшение взаимодействия подъездных путей и грузовых станций / Я.Ф. Гулев [и др.], ред. А.И. Смирнов. – М. : Транспорт, 1969. 160 с.
3. Дмитренко А.В., Карасев С.В., Кончаков В.Э. Перспективы создания специализированных пунктов отстоя порожних грузовых вагонов // Научные проблемы транспорта Сибири и Дальнего Востока. 2014. № 3. С. 31–34. ISSN 2071-3827.
4. Единый процесс – общие правила // РЖД-Партнер. 2012. № 22. С. 14–16. ISSN 1607-3290.
5. Железнов Д.В. Создание специализированных для массового отстоя и подготовки вагонов станций как основной путь повышения качества эксплуатационной работы полигонов в условиях обращения избыточного парка и ограничений пропускной способности // Вестник РГУПС. 2012. № 3. С. 78–86. ISSN 0201-727X.
6. Кищенко А.Г. Резервные парки для регулирования вагонопотоков // Железнодорожный транспорт. 2012. № 7. С. 38–40. ISSN 0044-4448.
7. Поликарпов А.В. Грузовой вагонный парк России: состояние и перспективы // Металлоснабжение и сбыт. 2014. № 3. С. 78.
8. Российский статистический ежегодник – 2015 : стат. сб. – М., 2015. 728 с. ISBN 978-5-89476-412-2.
9. Вагоны рынку не нужны // Business Guide (Подвижной состав) : Тематическое приложение к газете «Коммерсантъ». 2015. № 5. С. 8.
10. Информация об условиях, на которых субъектами естественных монополий осуществляется выполнение (оказание) регулируемых работ (услуг) в сфере грузовых железнодорожных перевозок. URL: http://rzd.ru/openinfo/public/ru?STRUCTURE_ID=5131&archive=1 (дата обращения: 05.04.2016).
11. Беляев В.В. Особенности конструкции железнодорожных станций углепогрузочных районов // Научные проблемы транспорта Сибири и Дальнего Востока. 2015. № 2. С. 89–92. ISSN 2071-3827.
12. Инструкция по техническому обслуживанию вагонов в эксплуатации. М. : Трансинфо, 2010. 128 с.
13. Единый процесс – общие правила // РЖД-Партнер. 2012. № 22. С. 14–16. ISSN 1607-3290.

14. Дмитренко А.В., Карасев С.В., Кончаков В.Э. Перспективы создания специализированных пунктов отстоя порожних грузовых вагонов // Научные проблемы транспорта Сибири и Дальнего Востока. 2014. № 3. С. 31–34. ISSN 2071-3827.
15. Железнов Д.В. Создание специализированных для массового отстоя и подготовки вагонов станций как основной путь повышения качества эксплуатационной работы полигонов в условиях обращения избыточного парка и ограничений пропускной способности // Вестник РГУПС. 2012. № 3. С. 78–86. ISSN 0201-727X.
16. Кищенко А.Г. Резервные парки для регулирования вагонопотоков // Железнодорожный транспорт. 2012. № 7. С. 38–40. ISSN 0044-4448.
17. Кожевников А.А., Нестеренко О.А. Создание станций отстоя на основе частно-государственного сотрудничества как один из путей решения вопроса регулирования вагонопотоков // Молодой ученый. 2014. № 7. С. 127–129. ISSN 2072-0297.

References

1. Kukushkin I.I. Kompleksnoe razvitie i ispol'zovanie magistral'nogo i promyshlennogo transporta [Integrated development and use of main-line and industrial transport]. M. : Transport, 1966. 248 p.
2. Improvement of coordination of approach lines and stations for freight operation / Ya.F. Gulev [et al.], edited by A.I. Smirnov. [Uluchshenie vzaimodejstviya pod"ezdnyh putej i gruzovyh stancij / YA.F. Gulev [i dr.], red. A.I. Smirnov]. – M. : Transport, 1969. 160 p.
3. Dmitrenko A.V., Karasev S.V., Konchakov V.E. Perspektivy sozdaniya specializirovannykh punktov otstoya porozhnykh gruzovykh vagonov [Prospects of arranging specialized storage yards for empty freight cars] // Scientific problems of transportation in Siberia and the Far East. 2014. Issue № 3. P. 31–34. ISSN 2071-3827.
4. Single process – common rules [Edinyj process – obshchie pravila] // RZhD-Partner. 2012. Issue № 22. P. 14–16. ISSN 1607-3290.
5. Zheleznov D.V. Sozdanie specializirovannykh dlya massovogo otstoya i podgotovki vagonov stancij kak osnovnoj put' povysheniya kachestva ehkspluatacionnoj raboty poligonov v usloviyah obrashcheniya izbytochnogo parka i ogranichenij propusknnoj sposobnosti [Arranging specialized stations for mass storage and preparation of railway cars as the main way to improve quality of maintenance works at operation grounds under conditions of excessive fleet and limited railway capacity] // Vestnik RGUPS. 2012. Issue № 3. P. 78–86. ISSN 0201-727X.
6. Kishchenko A.G. Rezervnye parki dlya regulirovaniya vagonopotokov [Reserve fleet for adjustment of railcar traffic volume] // Railway transport. 2012. Issue № 7. P. 38–40. ISSN 0044-4448.
7. Polikarpov A.V. Gruzovoj vagonnyj park Rossii: sostoyanie i perspektivy [Freight railcar fleet in Russia: condition and prospects] // Metal purchase and sale. 2014. Issue № 3. P. 78.
8. Statistical yearbook of Russia–2015: statistics digest [Rossijskij statisticheskij ezhegodnik – 2015 : stat. sb.]. – M., 2015. 728 p. ISBN 978-5-89476-412-2.
9. Market does not need railways cars [Vagony rynku ne nuzhny] // Business Guide (Rolling Stock): Thematic supplement to the Kommersant newspaper. 2015. Issue № 5. P. 8.
10. Information regarding conditions under which natural monopoly entities perform (render) adjustable works (services) in the field of cargo railway transportation [Informaciya ob usloviyah, na kotorykh sub"ektami estestvennykh monopolij osushchestvlyayetsya vypolnenie (okazanie) reguliruemykh rabot (uslug) v sfere gruzovykh zheleznodorozhnykh perevozok]. URL: http://rzd.ru/openinfo/public/ru?STRUCTURE_ID=5131&archive=1 (accessed date: April 5, 2016).
11. Belyaev V.V. Osobennosti konstrukcii zheleznodorozhnykh stancij uglepogruzochnykh rajonov [Structural features of railway stations in areas of coal loading] // Scientific problems of transportation in Siberia and the Far East. 2015. Issue № 2. P. 89–92. ISSN 2071-3827.
12. Manual for maintenance of railway cars in operation [Instrukciya po tekhnicheskomu obsluzhivaniyu vagonov v ehkspluatacii]. M. : Transinfo, 2010. 128 p.
13. Single process – common rules [Edinyj process – obshchie pravila] // RZhD-Partner. 2012. Issue № 22. P. 14–16. ISSN 1607-3290.
14. Dmitrenko A.V., Karasev S.V., Perspektivy sozdaniya specializirovannykh punktov otstoya porozhnykh gruzovykh vagonov [Konchakov V.E. Prospects of arranging specialized storage

- yards for empty freight cars] // Scientific problems of transportation in Siberia and the Far East. 2014. Issue № 3. P. 31–34. ISSN 2071-3827.
15. Zheleznov D.V. Sozdanie specializirovannyh dlya massovogo otstoya i podgotovki vagonov stancij kak osnovnoj put' povysheniya kachestva ehkspluatacionnoj raboty poligonov v usloviyah obrashcheniya izbytochnogo parka i ogranichenij propusknoj sposobnosti [Arranging specialized stations for mass storage and preparation of railway cars as the main way to improve quality of maintenance works at operation grounds under conditions of excessive fleet and limited railway capacity] // Vestnik RGUPS. 2012. Issue № 3. P. 78–86. ISSN 0201-727X.
 16. Kishchenko A.G. Rezervnye parki dlya regulirovaniya vagonopotovkov [Reserve fleet for adjustment of railcar traffic volume] // Railway transport. 2012. Issue № 7. P. 38–40. ISSN 0044-4448.
 17. Kozhevnikov A.A., Nesterenko O.A. Sozdanie stancij otstoya na osnove chastno-gosudarstvennogo sotrudnichestva kak odin iz putej resheniya voprosa regulirovaniya vagonopotovkov [Arrangement of railcar storage yards on the basis of public-private partnership as one of the ways to find solutions for adjustment of railcar traffic volume] // Young scientist. 2014. Issue № 7. P. 127–129. ISSN 2072-0297.

Статья сдана в редакцию 1 июня 2016 года

Уважаемые коллеги!

Информирую вас о требованиях, предъявляемых к оформлению статей.

При наборе используйте Word-2003 или Word-2007; шрифт (по всему тексту, в том числе в рисунках и таблицах) — тип Times, размер шрифта — 14, межстрочное расстояние — 1,5, абзацный отступ — 1,25 (1,27) см, поля — 2 см; расстановка переносов по всему тексту — автоматическая.

Набор формул: простые формулы и сочетания символов ($x^2 < y^2$; $E = mc^2$; $a^2 + b^2 = c^2$; Q_{i-1} ; ψ_j) — только в текстовом режиме, сложные

$$(s^2 = \frac{1}{n-1} \left[\sum_{j=1}^e x_j^2 n_j - \frac{1}{n} \left(\sum_{j=1}^e x_j n_j \right)^2 \right]; \left(\frac{\sigma_a}{[n]} \right)$$

или S_i^m) — только в редакторе формул

Equation или в MathType.

Написание букв: русские (а, б, в, А, Б, В), греческие (Θ, Σ, Ω, Ψ, α, β, δ, ε, λ, π), а также цифры и функции (1, 2, 3; I, II, III; max, lg, sin и т.п.) пишутся только прямо; латинские (*a, b, n, A, B, N* и т.д.) — только курсивом. Исключение — курсив во вспомогательном тексте (слова «Таблица» и «Рис.», примечания в рисунках и ссылки в тексте на эти примечания).

Оформление текста: левый верхний край — инициалы, фамилия; заголовков — все буквы ПРОПИСНЫЕ, жирные, расположение — по центру набора; таблиц и рисунков: в таблицах размер шрифта — на полтора-два размера меньше, чем в основном тексте (11,5–12), расположение текста в «шапке» таблицы — по центру, в столбцах — по ширине; межстрочное расстояние — 1; слово «Таблица» — курсивное начертание, в правый край таблицы; название таблицы — начертание нормальное (прямое), расположение — по центру таблицы. В рисунках (графиках, диаграммах): размер подрисуноч-

ной подписи — 14, расположение — по центру набора, слово «Рис.» — курсив, название рисунка — нормальное начертание, описание рисунка (экспликация) — нормальное начертание, условные обозначения — курсивное начертание, их расшифровка — нормальное. Расположение таблиц и рисунков — строго после ссылки на них.

Кроме того, рисунки обязательно прилагаются к материалу (один рисунок — один файл; формат — *.jpg).

Ссылки на литературу в тексте пишутся в квадратных скобках ([1], [1, 2] или [3–5]); нумерация сквозная. Список литературы/источников оформляется по ГОСТ 7.0.5–2008.

В конце статьи обязательно ставится дата отсыла материала в редакцию.

Объем статьи — не более 14-ти страниц.

Название файла: Фамилия. Первое слово заголовка. Многоточие. Последнее слово заголовка (Сидоров. Синтез... электроприводом).

К материалу (статье) обязательно прилагаются (отдельным файлом): УДК, сведения об авторе, аннотация, ключевые слова (название файла: УДК 000. Сидоров. Синтез... электроприводом).

Материалы для очередного номера журнала «Вестник УрГУПС» принимаются до 30 числа первого месяца квартала (до 30-го января, 30-го апреля, до 30-го июля, до 30-го октября). Материалы, поступившие в редакцию после 30-го числа, будут опубликованы только в следующем номере.

Успешной работы!

*Л. Барышникова,
литературный и выпускающий
редактор журнала «Вестник УрГУПС»*

Уважаемые читатели и авторы журнала «Вестник УрГУПС»!

Если вам нравится наш журнал, вы можете оказать содействие в его развитии, перечислив денежные средства по реквизитам:

Ассоциация выпускников УЭМИИТ-УрГУПС

ИНН-КПП 6670317893/667001001

ОГРН 1156600001470

620075, Свердловская обл., г. Екатеринбург, ул. Шевченко, д. 20, помещение 1

Р/с 40703810863010000192

в ПАО КБ «УБРИР» филиал ССБ

к/с 30101810900000000795

БИК 046577795

Назначение платежа: «Пожертвование для поддержки научных журналов УрГУПС».

Ваша финансовая поддержка позволит нам увеличить число публикаций, повысить индексы цитирования журнала и наших авторов.

Уважаемые руководители инновационных компаний и предприятий!

Предлагаем вам услуги по продвижению вашей продукции через сеть Ассоциации выпускников УЭМИИТ-УрГУПС.

Ассоциация выпускников УЭМИИТ-УрГУПС – это кооперация большого числа неравнодушных людей различных сфер деятельности, окончивших наш университет.

Кроме того, предлагаем услуги по подбору молодых специалистов, по организации поиска решений прикладных и научных задач в рамках диссертационных работ, выполняемых в УрГУПС.

Всю необходимую информацию вы можете получить по тел. (343) 221-24-67

или на сайте <http://www.usurt.ru/vypusnikam/assotsiatsiya-vypusnikov-urgups>

Извещение	<p>Получатель: Ассоциация выпускников УЭМИИТ-УрГУПС</p> <p>КПП: 667001001 ИНН: 6670317893</p> <p>ОКТМО: 65701000 Р/сч.: 40703810863010000192</p> <p>в: ПАО КБ «УБРИР» филиал ССБ</p> <p>БИК: 046577795 К/сч.: 30101810900000000795</p> <p>Код бюджетной классификации (КБК): _____</p> <p>Платеж: Пожертвование для поддержки научных журналов УрГУПС</p> <p>Плательщик: _____</p> <p>Адрес плательщика: _____</p> <p>ИНН плательщика: _____ № л/сч. плательщика: _____</p> <p>Сумма: _____ руб. ____ коп.</p> <p>Подпись: _____ Дата: «____» _____ 2016 г.</p>
Квитанция	<p>Получатель: Ассоциация выпускников УЭМИИТ-УрГУПС</p> <p>КПП: 667001001 ИНН: 6670317893</p> <p>ОКТМО: 65701000 Р/сч.: 40703810863010000192</p> <p>в: ПАО КБ «УБРИР» филиал ССБ</p> <p>БИК: 046577795 К/сч.: 30101810900000000795</p> <p>Код бюджетной классификации (КБК): _____</p> <p>Платеж: Пожертвование для поддержки научных журналов УрГУПС</p> <p>Плательщик: _____</p> <p>Адрес плательщика: _____</p> <p>ИНН плательщика: _____ № л/сч. плательщика: _____</p> <p>Сумма: _____ руб. ____ коп.</p> <p>Подпись: _____ Дата: «____» _____ 2016 г.</p>

ф. СП-1



АБОНЕМЕНТ

на ~~газету~~
журнал

70070

(индекс издания)

Вестник УрГУПС

(наименование издания)	Количество комплектов:	
------------------------	------------------------	--

на 2017 год по месяцам:

1	2	3	4	5	6	7	8	9	10	11	12
X	X	X	X	X	X						

Куда

(почтовый индекс)

(адрес)

Кому

(фамилия, инициалы)

ДОСТАВОЧНАЯ КАРТОЧКА

ПВ	место	литер

на ~~газету~~
журнал

70070

(индекс издания)

Вестник УрГУПС

(наименование издания)

Стои- мость	подписки	руб. ____ коп.	Количество комплектов:	
	переадресовки	руб. ____ коп.		

на 2017 год по месяцам:

1	2	3	4	5	6	7	8	9	10	11	12
X	X	X	X	X	X						

Куда

(почтовый индекс)

(адрес)

Кому

(фамилия, инициалы)